

**284562**

T.C.

HACETTEPE ÜNİVERSİTESİ  
SAĞLIK BİLİMLERİ FAKÜLTESİ

**SEYRELTİK KLORPROMAZİN ÇÖZELTİSİNİN  
FOTOKİMYASAL OKSİDASYONU**

**KİMYA (ECZ) PROGRAMI  
DOKTORA TEZİ**

**SERDAR ATEŞ**

**ANKARA, 1977**

T.C.  
HACETTEPE ÜNİVERSİTESİ  
SAĞLIK BİLİMLERİ FAKÜLTESİ

SEYRELTİK KLOPROMAZİN ÇÖZELTİSİNİN  
FOTOKİMYASAL OKSİDASYONU

KİMYA (ECZ) PROGRAMI  
DOKTORA TEZİ

SERDAR ATEŞ

Rehber Öğretim Görevlisi: Dr. Güler Somer

ANKARA, 1977

## ÖZET

Fenotiyazin grubu ilaçlardan biri olan klorpromazinin, güneş ışığına karşı aşırı hassasiyeti bilinen bir özellikleidir. Bu tez çalışmada, klorpromazin yapısının yakın ultraviyole ışımı alındıza izlenen foto oksidasyon mekanizması, esas olarak dört ayrı yöntem kullanılarak ve pH sıfır ile 6 değerleri arasındaki sulu çözeltilerinde çalışılmıştır. Yapı içersindeki  $n-\pi^*$  geçişini aktive edebilen yeterli enerji, ultraviyole ışık kaynağından ( $\lambda_{\text{mak}} = 366 \text{ nm}$ ) sağlanmıştır.

İşime başlangıcından itibaren birincil elektronik absorpsiyon olayını izleyen reaksiyonlar, ışima süresi içerisinde belirli zaman aralıklarıyla kaydedilen ultraviyole -görünür bölge spektrumları, floresans spektrumları ve elektro-oksidasyon voltamogramları ile izlenmiş, yeni spektral oluşumlar, floresans kaymalar ve ara ürünler incelenmeye çalışılmıştır. Ultraviyole ışima süresince, floresans spektrumlarının kaydedilmesinde veya oksidasyon voltamogramlarının alınmasında yeni bazı uyugulamalara yer verilirken, özellikle foto ürün tanımlamalarında kullanılan yeni ve farklı bir ince tabaka kromatografik analiz yöntemi geliştirilmiştir. Bazi deneyel çalışmalarla, mevcud klorpromazin oksid türevleriyle karşılaştırmalı değerlendirmeler de yapılmıştır.

Klorpromazin çözeltilerinde foto-oksidasyon reaksiyonlarını kontrol eden en önemli etkenler ; çözücü sistem, klorpromazin konsantrasyonu,

molekül oksijen varlığı ve çözelti pH'sı olmaktadır. Çözücü olarak su veya asetonitrilin kullanıldığı ışıma deneylerinde foto-oksidasyon reaksiyonunun hızları mukayese edilecek olursa, sulu ortamda hızlanmaktadır. Örneğin, iki dakikalık ışıma süresi sonunda 256 nm'deki klorpromazin absorpsiyon bandı üzerinden hesaplanan kuvantal verim :

$\phi$  asetonitril = 0.017 iken pH sı 5.25 olan sudaki çözeltisinde,  
 $\phi$  su = 0.111 olmaktadır. Moleküler oksijeni çözeltiden azot gazi geçirerek uzaklaştırılmış sulu çözeltilerde, dimer ve polimer oluşumlar hızlanırken, kuvvetli asidik çözeltilerde ( $pH < 1.0$ ), radikalik ara oluşumlar ; semikinon radikalı, fenazotionyum iyonu veya dikatyon radical, daha kararlı kalabilmekte ve izlenebilmektedir. pH sı 1.0 ile 6.0 arasında değişen seyreltik klorpromazin çözeltilerinde ise ışıma ile oluşan radikaller kararlı kalmamakta ve ortamda moleküler oksijen varsa iki elektron aktarımı ile sulfoksit türevine ve kısmende absorpsiyon spektral karakteristiği 400 nm olan bir geçiş kompleksine dönüşmektedir.

Bu tez çalışmasında elde edilen sonuçlar değerlendirilerek, klorpromazinin foto-oksidasyon reaksiyonları üzerinde ileri sürülen bir mekanizma tartışıldı.

İki farklı yöntemle hesaplanan klorpromazinin tüketimi için aşağıda verilen eşitlik geçerli bulunmuştur:

$$\frac{d C_t}{dt} = - C_0 \cdot k^*$$

Yukarıdaki eşitlikte  $pH = 1.5$  için  $k^* = 0.04437 \text{ dk}^{-1}$  dir.

## ABSTRACT

Serdar Ates, . . . , Hacettepe University, 1977

Chlorpromazine; a drug of phenothiazine derivative, is well known with its photosensitivity against sunlight. In this thesis, the mechanism of photo oxidation of chlorpromazine structure have been studied under near ultraviolet irradiation in its aqueous solutions having pH from 0 to 6.  $n - \pi^*$  transition localized in the structure can be activated with sufficient energy by using an ultraviolet lamp source ( $\lambda_{\text{max}} = 366 \text{ nm}$ ). Four different analytical methods have been used.

Photochemical reactions following the primary electronic absorption were periodically observed and recorded as ultraviolet - visible spectra, fluorescence spectra and electro-oxidation voltamograms. Changes in spectral bands, shifts in fluorescence and transition steps in the photoreaction were further investigated. Besides, some new modifications were adapted for periodical recording of fluorescence spectrum or oxidation voltamogram during the irradiation. A new thin layer chromatographic procedure have been investigated for photo-product analysis. In addition, some experimental studies were also carried out with the reference solutions of chlorpromazine oxide derivatives.

The most important factors controlling the photo oxidation of chlorpromazine were; solvent system, concentration of chlorpromazine, existence of molecular oxygen and the pH of the solution irradiated. Photo oxidation reaction rates, when compared in aqueous and acetonitrile solvent systems, were found faster in the former. For example, after two minutes of irradiation, the quantum yields for disappearance of chlorpromazine in 256 nm absorption band was calculated as:  $\phi$  acetonitrile = 0.017 and for  $\phi$  water = 0.111 at pH = 5.25. In irradiated acidic solutions (pH < 1.0), the radical intermediate forms such as: semiquinone cation radical, phenazathionium ion or dication radical, were rather stable but in dilute aqueous solutions (1.0 < pH < 6.0) the same radical formations were found unstable. Yet, under anaerobic condition (nitrogen atmosphere), ultraviolet light-catalyzed reaction of chlorpromazine predominated the process of dimer and polymer formation. Under aerobic condition, chlorpromazine donating two electrons and using the dissolved molecular oxygen in the solution, gave majorly sulfoxide derivative and partly a transitional complex with characteristic absorption about 400 nm..

By using the data obtained in this thesis, a probable mechanism of photodegradation reactions of chlorpromazine is discussed.

With two different procedure of analysis, the following equation was found valid in calculating the over-all photodegradation of aqueous solutions of chlorpromazine ;

$$\frac{d C_t}{dt} = - C_0 \cdot k^*$$

In this equation for pH = 1.5, the value of  $k^* = 0.04437 \text{ min}^{-1}$ .

TEŞEKKUR

Bu ilginç araştırmayı bana doktora tezi olarak veren ve her konuda büyük yardımlarını gördüğüm Hacettepe Üniversitesi Eczacılık Fakültesi Kimya Bilim Dalı Öğretim Görevlisi Sayın Dr. Güler Somer'e teşekkürlerimi sunarım.

Çalışmanın yapılmasında gerekli ortam ve olanakları sağlayan başta Fakültemiz Dekanı Sayın Prof. Dr. Oğuz Kayaalp olmak üzere Tıp Fakültesi Farmakoloji ve Toksikoloji Enstitüsü ve Eczacılık Fakültesi Kimya Bilim Dalı Öğretim Üye ve yardımcılarına, Kimya Fakültesi Öğretim Üyesi Sayın Doç. Dr. Atilla Yıldız'a, ESR spektrumlarının alınmasında yakın ilgilerini gördüğüm Dr. Gökçe Bingöl ve Dr. Mustafa Korkmaz'a ve çalışmada emeği geçen tüm bu bölüm personel ve teknisyenlerine teşekkürü borç bilirim.

I Ç İ N D E K İ L E R

Sayfa No:

OZET	iii
ABSTRACT	v
TEŞEKKÜR	viii
IÇİNDEKİLER	ix
ÇİZELGELERİN LISTESİ	xiii
ŞEKİLLERİN LISTESİ	xvi
I. GİRİŞ	1
I.I. İşıma enerjisi tabiatı ve fotokimyasal olaylar	1
I.2. Tarihsel gelişim.....	3
I.3 Fotokimyasal olayların teorisi .....	5
I.3.I. Işık absorpsiyonu .....	7
I.3.I.I. Temel kanunlar .....	8
I.3.I.2. Elektronik uyarım .....	11
I.3.2. Birincil ve ikincil fotokimyasal olaylar .....	18
I.3.2.I. Jablonski diagramı .....	21
I.3.2.2. Işımasız geçişler .....	22
I.3.2.3. Işimalı geçişler .....	23
I.3.2.4. Enerji Aktarımı .....	23
I.3.2.5 Fotoduyarlandırma .....	26
I.3.3. Fotokimyasal çalışmalarında amaç .....	28

	<u>Sayfa No.</u>
I.4. Klorpromazin yapısı ve tıbbî önemi.....	30
I.5. Klorpromazin ışık reaksiyonları .....	33
I.5.I. Klorpromazinin özellikleri .....	34
I.5.2. Bu çalışmanın amacı .....	55
2. DENEYSEL ÇALIŞMALAR .....	58
2.I. Ün Deneyler .....	59
2.I.I. Madde temini .....	59
2.I.2. Klorpromazin çözeltilerinin hazırlanması .....	60
2.I.3. İşıma öncesi klorpromazin ve bazı türevlerinin ultraviyole spektrumları.....	61
2.I.4. Klorpromazine konsantrasyon etkileri .....	65
2.I.5. İnce tabaka kromatografik ön analizler .....	69
2.I.6. İşıma öncesi klorpromazin ve türevlerinin floresans spektrumları.....	73
2.I.7. İşıma öncesi klorpromazin elektro-oksidasyon davranışının belirlenmesi .....	77
2.I.8. Puls Polarografisiyle yapılan çalışmalar .....	92
2.I.9. Klorpromazinin havada yükselgenmesi .....	97
2.I.10. Işık şiddetinin ölçülmesi .....	100
2.2. Deneysel Düzenekler .....	102
2.2.I. Işık kaynağı ve deneysel ısıma hücrelerinin seçimi	102
2.2.2. Kullanılan ısıma sistemleri.....	104

	<u>Sayfa No.</u>
2.2.3. Işıma deneylerinde kullanılan cihazlar .....	106
2.3. Deneylerin analizinde kullanılan istatistiksel, metodlar.....	108
3. SONUÇLAR.....	110
3.I. Işıma süresince ultraviyole ve görünür bölge spektrumlarının takibi.....	110
3.I.I. Havası uzaklaştırılmış çözeltilerde ışıma deneyleri .....	110
3.I.2. Havası uzaklaştırılmış çözeltilerde ışıma deneyleri	118
3.I.3. Moleküler oksijen etkisi .....	121
3.I.4. Kuantal verimin hesaplanması ve ışıma süresince değişimi .....	123
3.I.5. Foto ürün oluşumlarının spektral takibi .....	130
3.I.6. Klorpromazin oksid türevlerinin ışıma süresince spektral davranışları.....	134
3.2. Işımanın pH ya etkisi .....	137
3.3. Işımanın ortam sıcaklığına etkisi .....	138
3.4. Işıma süresince floresans spektrumlarının takibi	139
3.5. Işıma süresince klorpromazin elektro-oksidasyon voltamogramlarının takibi .....	155
3.6. Işıma süresince moleküler oksijenin normal polarografik yöntemle tayini.....	162

	<u>Sayfa No.</u>
3.7. Elektron paramagnetik rezonans spektrumları.....	164
3.8. Foto Ürün analizleri .....	166
3.8.1. İnce tabaka kromatografik analizler.....	166
3.8.2. Puls polarografik analizler.....	173
4. SONUÇLARIN YORUMLANMASI VE TARTIŞMA .....	175
EK I - Işık şiddetinin ölçülmesi .....	193
EK II - Redoks Reaksiyonunun serbest Enerjisinin Hesaplanması	198
EK III- $(I-\alpha)_n$ değerlerinin hesaplanması .....	201
EK IV - Farklı tarama hızlarında Elektro-oksidatif pik akım Değerleri. ....	207
EK V - Klorpromazin konsantrasyonuna karşı elektro-oksidatif pik akım değerlerinin kalibrasyonu. ....	208
EK VI - Ultraviyole ve görünür bölge spektroskopik çalışma- larda elde edilen r değerleri arasındaki korelasyon doğrusu ile elektro-oksidasyon voltamogramlarından elde edilen r değerleri arasındaki korelasyon doğru- sunun "Student'in t testi" ile eğilimler arasındaki farkın önem kontrolü .....	210
FAYDALANILAN KAYNAKLAR.....	213

## ÇİZELGELERİN LISTESİ

### Sayfa No.

I.01. Elektromagnetik spektrum bölgeleri ve ışığın taşıdığı enerji miktarı ile o bölgede muhtemel atomik ve moleküler uyarımlar .....	2
I.02. Ultraviyole ve görünür ışık enerjisi ve bağ enerjileri mukayesesİ .....	8
I.03. Bazı fotokimyasal reaksiyonlarda kuantal verim ( $\varphi$ ). ....	11
I.04. $\pi^- \pi^*$ - ve $n - \pi^*$ geçişlerine özgü spektral özelliklerinin karşılaştırılması .....	17
I.05. Bazı yapılarda elektronik uyarım sonrası elektronların hesaplanan ömrü.....	18
2.01. Klorpromazin ve türevlerine ait ultraviyole spektral bilgiler:.....	63
2.02. Orantı katsayısı K nin hesaplanması .....	66
2.03. Bağıl nem yüzdesinin, $H_2SO_4$ : su oranının ağırlık yüzdesi veya yoğunluğu ile değişimi .....	70
2.04. İnce tabaka kromatografik $R_f$ değerleri ve renk oluşumları .....	73
2.05. Klorpromazin floresansına pH ve moleküler oksijen etkisi.....	75

Sayfa No.

3.01. $2.8 \times 10^{-5}$ M klorpromazin içeren çözeltilerde 256 nm spektral bandı üzerinden hesaplanan kuvantil verimin ( $\varphi_{256}$ ), ışınma süresi ve çözelti özellikleri ile değişimi.....	127
3.02. $2.8 \times 10^{-5}$ M klorpromazin içeren çözeltilerde 256 nm spektral bandı üzerinden hesaplanan r değerlerinin ışınma süresi ve çözelti özellikleri ile değişimi....	128
3.03. $2.8 \times 10^{-5}$ M klorpromazin içeren çözeltilerde $\lambda_{\text{mak}} = 400$ nm deki absorpsiyon artışı hızı ( $\Delta A_{400} / \Delta t$ ). ortalamaların pH ile değişimi .....	132
3.04. Klorpromazin oksit türevlerinde ışınma sonucu izlenen spektral değişiklikler.....	136
3.05. Nötral klorpromazin çözeltilerinde ışınmanın pH ya etkisi .....	138
3.06. $5.6 \times 10^{-5}$ M Klorpromazin içeren çözeltilerde bağıl floresans şiddetin ışınma süresince değişimi .....	141
3.07. $5.6 \times 10^{-5}$ M klorpromazin içeren kuvvetli asidik çözel- tilerde bağıl floresans şiddetin ışınma süresince değişimi .....	148
3.08. Klorpromazin oksit türevlerinde bağıl floresans şiddetin ışınma süresince değişimi .....	154

Sayfa No.

3.09. $2.4 \times 10^{-5}$ M Klorpromazin içeren zayıf asidik çözeltilerde pH = 1.5 (HCl), elektro oksidasyon voltamogramlarının ışınma süresince değişiminden hesaplanan r değerleri .....	158
3.10. Konsantrasyon ve foto oksidasyon kinetik hız ifadeleri arasındaki ilişki .....	159
3.11. $1.4 \times 10^{-3}$ M Klorpromazin ve oksit türevleriyle oksijen ve azot atmosferi altında yapılan ışınma deneylerinde ince tabaka kromatografik fotoürün analiz sonuçları...	171

ŞEKİLLERİN LİSTESİ

	<u>Sayfa No.</u>
I.01. Hidrojen molekülünün oluşumu .....	13
I.02. Formaldehid yapısında mümkün elektronik uyarımlar . . . . .	15
I.03. Yeniden düzenlenen Jablonski Diagramı . . . . . . . . .	21
I.04. Klorpromazinin uzaydaki "kelebek" görünümü (A) ve moleküller özellikleri (B) .	34
I.05 Oksidleyici ajan olarak potasyum permanganatın kullanıldığı klorpromazin floresans titrasyonu . . . . . . . . . . . . . . .	41
I.06. Klorpromazin semikinon radikalının zamana karşı karalıktaki sönüm hızı .	45
I.07. 0.I.M klorpromazinin pH=7.4 fosfat tamponlu çözeltilerinde ışıma etkisiyle radikal oluşumlar . . . . . . . . . . . . . . .	48
I.08. Flash fotolitik ışıma deneylerinde 515, 575, 370 nm lerde absorpsiyon gösteren ara yapıların ışıma süresince absorbanslarındaki değişim, . . . . . . . . . . . . . . . . . . .	53
2.01. Klorpromazin ve oksit türevlerinin ultraviole spektrumları, pH=1.5 (HC1) .	62
2.02. Klorpromazinin pH=0.3 (HC 1) çözeltisinde elektro oksidasyon voltamogramları . . . . . . . . . . . . . . . . . . .	68
2.03. İnce tabaka kromatografik analizde yüzde nem miktarının analize etkisi .	71
2.04. Klorpromazin floresansına aktivasyon dalga boyu etkisi ....	75
2.05. Klorpromazin oksit türevlerinin floresans spektrumları . . .	76



Sayfa No.

2.15. Puls polarografisiyle pH =1.5 (HCl) çözüsünde $H_2O_2$ miktar tayini . . . . .	94
2.16. Klorpromazin ilavesinin oksijen puls polarogramına etkisi . . . . .	95
2.17. Puls Polarografisiyle klorpromazin oksit türevlerinin tayini . . . . .	96
2.18. Nötral klorpromazin çözeltilerinde güneş ışığının etkisi, pH =5.25 ve hava doygun . . . . .	99
2.19. Asidik klorpromazin çözeltilerinde güneş ışığının etkisi, pH <0.08 ( $H_2SO_4$ ) ve hava doygun . . . . .	99
2.20. Işık kaynağının dalga boyuna karşı yüzde ışık şiddeti . . . . .	102
2.21. Işıma sistemi (A) . . . . .	105
2.22. Işıma sistemi (B) . . . . .	105
2.23. (A) Vario K.S. çemberi, (B) Spektrofotofluorometre aleti . . . . .	106
2.24. Platin elektrodu temizlemek için kullanılan düzenek . . . . .	107
3.01. Belirli ışıma sürelerinde klorpromazin çözeltisinin (pH =1.5,HCl) ultraviole ve görünür bölge spektrumları . . . . .	112
3.02. Belirli ışıma sürelerinde klorpromazin çözeltisinin (pH=5.25) ultraviole ve görünür bölge spektrumları . . . . .	112
3.03. Belirli ışıma sürelerinde klorpromazin çözeltisinin (pH =0.7, $H_2SO_4$ ) ultraviole ve görünür bölge spektrumları . . . . .	113
3.04. Belirli ışıma sürelerinde klorpromazin çözeltisinin (pH=0.25,HCl) ultraviole ve görünür bölge spektrumları . . . . .	113

3.05. Belirli ışıma sürelerinde klorpromazin çözeltisinin (pH<0.08, H <sub>2</sub> SO <sub>4</sub> ) ultraviole ve görünür bölge spektrumları ..	114
3.06. Kuvvetli asidik klorpromazin çözeltisinde semikion radikalının ultraviole ve görünür bölge spektrumlarında tanımı . . . . .	116
3.07. Belirli ışıma sürelerinde oksijeni uzaklaştırılmış klorpromazin çözeltilerinin (pH = 1.5, HCl) ultraviyole ve görünür bölge spektrumları.....	119
3.08. Belirli ışıma sürelerinde oksijeni uzaklaştırılmış klorpro- mazin çözeltilerinin (pH = 0.25, HCl) ultraviole ve görünür bölge spektrumları .....	120
3.09. Belirli ışıma sürelerinde klorpromazin susuz asetonitril çözeltilerinin ultraviole ve görünür bölge spektrumları.....	123
3.10. r değerinin ışıma süresince değişimi .....	129
3.11. 2.8 x 10 <sup>-5</sup> M klorpromazin çözeltilerinde λ <sub>mak</sub> = 400 nm deki spektral bandın ışıma süresi ve pH ile değişimi .....	131
3.12. 2.8 x 10 <sup>-5</sup> M klorpromazin çözeltilerinde λ <sub>mak</sub> = 275 nm deki spektral bandın ışıma süresi ve pH ile değişimi.....	133
3.13. Belirli ışıma sürelerinde 3.7 x 10 <sup>-5</sup> M klorpromazin N-oksit çözeltilerinin (pH = 1.5, HCl) ultraviole ve görünür bölge spektrumları .....	135
3.14. Belirli ışıma süresinde 3 x 10 <sup>-5</sup> M Klorpromazin sülfoksit çözeltisinin (pH = 1.5, HCl) ultraviole ve görünür bölge spektrumları .....	135

Sayfa No.

3.15. 47 dakikalık ışınma süresince nötral ve 0.1 mg/ml klorpromazin içeren çözeltiden kaydedilen pH değişikliklerine örnek bir kayıt .....	137
3.16. Işınma süresince sıcaklık artışı .....	139
3.17. $5.6 \times 10^{-5}$ M klorpromazin içeren çözeltide ( $\text{pH} = 1.5, \text{HCl}$ ), floresansın ışınma süresince değişimi .....	140
3.18. $5.6 \times 10^{-5}$ M klorpromazin içeren çözeltide ( $\text{pH} = 1.5, \text{HCl}$ ) floresansın ışınma süresince değişimine örnek spektral kayıtlar .....	142
3.19. $5.6 \times 10^{-5}$ M Klorpromazin içeren çözeltide ( $\text{pH} = 5.25$ ), floresansın ışınma süresince değişimine aktivasyon dalga boyunun tesiri .....	145
3.20. $5.6 \times 10^{-5}$ M klorpromazin içeren çözeltide ( $\text{pH} = 0.25, \text{HCl}$ ) floresansın ışınma süresince değişimine örnek spektral kayıtlar .....	146
3.21. $5.6 \times 10^{-5}$ klorpromazin içeren çözeltilerde ( $\text{pH} = 0.08, \text{H}_2\text{SO}_4$ ) floresansın ışınma süresince değişimine örnek spektral kayıtlar .....	147
3.22. $3.3 \times 10^{-5}$ M klorpromazin sulfon çözeltisinde ( $\text{pH} = 1.5, \text{HCl}$ ), ışınma süresince floresansın değişimine örnek spektral kayıtlar .....	152

Sayfa No.

3.23.	$3.7 \times 10^{-5}$ M klorpromazin N-oksit çözeltisinde (pH=1.5,HCl)	
	(A) oksijenli (B) oksijensiz ortamda floresansın ışıma süresince değişimine örnek spektral kayıtlar .....	152
3.24.	$3 \times 10^{-5}$ M klorpromazin sülfovosit çözeltisinde (pH=1.5,HCl)	
	(A)-oksijenli (B) oksijensiz ortamda floresansın ışıma süresince değişimine örnek spektral kayıtlar .....	153
3.25.	$5.6 \times 10^{-5}$ M klorpromazin içeren asetonitril çözeltisinde floresansın ışıma süresince değişimine örnek kayıtlar ....	153
3.26.	Başlangıç konsantrosyonu $1.4 \times 10^{-4}$ M olan klorpromazin çözeltilerinden (pH = 1.5, HCl) kaydedilen oksidasyon voltamogramlarının ışıma süresince değişimine örnek kayıtlar .....	157
3.27.	Oksidasyon voltamogramlarından hesaplanan r değerlerinin ışıma süresince değişimi .....	157
3.28.	Başlangıç konsantrasyonu $1.4 \times 10^{-4}$ M olan klorpromazin çözeltisinden (pH=0.08, $H_2SO_4$ ) kaydedilen oksidasyon voltamogramlarının ışıma süresince değişimine örnek kayıtlar . . . . .	161
3.29.	İşıma süresince moleküller oksijen tüketimini gösteren örnek polarogramlar . . . . .	163
3.30.	Elektron paramagnetik resonans spektrumları . . . . .	165

Sayfa No.

## I. GİRİŞ

### I.I. İŞİMA ENERJİSİ TABİATI ve FOTOKİMYASAL OLAYLAR:

Madde ile ışıma enerjisi temeline dayanan bugün çok kıymetli analitik yöntemler vardır. Detaylı çalışmalar ışıma enerjisi özellikleri arasında iki değişik tabiatta davranışın geçerli olduğunu göstermiş ve kimi zaman dalga özelliklerini incelenirken, aynı anda kesin enerji paketciklerinden, fotonlardan dizişi olduğu şaptanmıştır. Madde ile ışımanın karşılıklı etkilerini çözebilmek için mutlak surette foton tabiatını kabul etmek, çok sayıda fotonların birarada gösterdikleri etkileri yorumlayabilmek için ise dalga görünümündeki şeklini kabul etmek gereklidir.

Fotokimya sözcüğü, en geniş anlamıyla maddenin hangi tip ışıma olursa olsun absorpsiyon veya emisyonu ile ilgili tüm kimyasal etkileri inceleyen bilim dalını ifade eder. Çok farklı konular olmasına rağmen bu tanımlama içersine absorpsiyon, floresans, fosforesans, fotografik reaksiyonlar, her türlü lüminesant kimyasal reaksiyonlar, alev ve sistem içersinden geçirilen yüksek enerjili nükleer partiküllerle izlenen kimyasal etkiler girer.

Fotokimyasal olayları inceleyebilme amacıyla ışığın içerdığı enerji miktarları, bazı temel parçalara bölünerek sınıflandırılır (Tablo 1.01). Kuvantal enerji hesabı ile, görünür bölge ve yakın ultraviyole

TABLO I.OI. ELEKTROMAGNETİK SPEKTRUM BÖLGELERİ X VE İŞİGIN TAŞIDIĞI ENERJİ MIKTARI İLE  
O BÖLGEDE MUHTEMEL ATOMİK VE MOLEKÜLER UYARIMLAR

SPEKTRAL XX	DALGABOYU SINIRLARI	FREKANS SINIRLARI	BİR EINSTEIN'LIK <sup>XXX</sup>	ATOMİK VE MOLEKÜLER
BÖLGİNİN ADI	(Hz.)	İŞIK ENERJİ SINIRLARI	ÜZÜRLÜLER	ÜZÜRLÜLER
Normal Birimler	Metre	( kcal/mol )		
X = İŞİMLARI	$10^{-2} - 10^2$ Å.	$10^{-12} - 10^{-8}$	$10^{20} - 10^{16}$	$2.9 \times 10^7 - 2.9 \times 10^3$ K ve L YÖRÜNGE ELEKTRONLARI
UZAK ULTRAVIOLE	10 ~ 200 nm.	$10^{-8} - 2 \times 10^{-7}$	$10^{16} - 10^{15}$	$2.9 \times 10^3 - 143$ YÖRÜNGE ELEKTRONLARI
YAKIN ULTRAVIOLE	200 ~ 400 nm.	$2 \times 10^{-7} - 4 \times 10^{-7}$	$10^{15} - 7.5 \times 10^{14}$	143 ~ 71.5 DEĞERLİK ELEKTRONLARI
GÖRÜNLÜR BÖLGE	400 ~ 750 nm.	$4 \times 10^{-7} - 7.5 \times 10^{-7}$	$7.5 \times 10^{14} - 4.0 \times 10^{14}$	71.5 ~ 38.1 DEĞERLİK ELEKTRONLARI
YAKIN KIZIL ÖTESİ	0.75 ~ 2.5 u.	$7.5 \times 10^{-7} - 2.5 \times 10^{-6}$	$4.0 \times 10^{14} - 1.2 \times 10^{14}$	38.1 ~ 11.4 TİTREŞİM HAREKETLERİ
ORTA KIZIL ÖTESİ	2.5 ~ 50 u.	$2.5 \times 10^{-6} - 5.0 \times 10^{-5}$	$1.2 \times 10^{14} - 6.0 \times 10^{12}$	11.4 ~ 0.57 TİTREŞİM HAREKETLERİ
UZAK KIZIL ÖTESİ	50 ~ 1000 u.	$5.0 \times 10^{-5} - 1.0 \times 10^{-3}$	$6.0 \times 10^{12} - 1.0 \times 10^{11}$	0.57 ~ 0.02 DÖNME HAREKETLERİ

-2-

X Dalgaboyularına göre yaklaşıklık nümerik değerler verilmektedir.

XX Kızıl Ötesi Bölgenin üç değişik bölge şeklindeki ifadesi " J.Opt.Soc.Am., 52, 476 (1962) referansına göre yapıldı.

XXX Bir Einsteinlik enerji,  $E_2 - E_1 \approx 2.86 \times 10^5 / \lambda (\text{Å})$  formülünden hesaplandı.

bölge ışık enerjilerinin 1.77 eV (7000 Angstrom) ile 6.20 eV (2000 Angstrom) arasında olduğu hesaplanabilir ve kimyasal reaksiyonlarda bağ enerji düzeyinde olması nedeniyle etkinliği muhakkaktır. Spektral bölgelere sınıflandırma ile farklı mekanizmalarla yürüyen fiziksel etkiler, değişik tipteki kimyasal bilgiler ve bu bölgelere özgü davranışlar da sınırlanmış olur.

Bugünkü anlayış içerisinde fotokimya sözcüğü daha çok görünür ışık ve ultraviole ışığın kimyasal reaksiyonlar üzerinde gösterdiği etkilerin incelenmesi anlamında kullanılır.

#### I.2.. TARİHSEL GELİŞİM:

İşımanın, kimyasal sisteme tesir gücünün ve madde yapısı üzerine etkisinin ızahı için ışık yapısının bilinmesi gerekliydi. Kuantum mekanlığında yirminci yüzyıl başlarında kaydedilen aşamalar öncesi fotokimyasal olaylar tek tek bazı izlenimleri açıklayabilme çabası ile başladı.

Eski Yunan ve Roma medeniyetlerinde bazı bitki kökenli boyaların güneş ışığında solduğu bilinir, bitkilerin büyümeye ve yeşermesinde ışığın gerekliliğine inanılırdı. Onyedinci yüzyıl sonuna kadar bu gibi izlenimler fotokimya bilgimize yeterince ışık tutmadı. Stephen Hales (1) fotosentez olaylarının tabiatını ızah ederken, sonraki senelerde Stark, Planck ve Einstein (2) ışık dalgalarının tabiatını aydınlatıcı çalışmalar ile kimyasal yapılarda ışıma sonucu ortaya çıkan reaksiyonlara farklı bir

bakış açısı getirdiler.

Fotokimyanın ilk öncüleri Ciamician, Silber ve Paterno bazı organik yapınlarda ışıma sonucu farklı oluşumlara dikkati çekerek, mevcut sentez metodlarıyla imkansız addedilen ürünlerin ışık reaksiyonlarıyla sentez edilebileceğini gösterdi. Bu yayınlardan sonra, fotokimyasal reaksiyonların temelne yönelik araştırmalar giderek arttı ve deneysel kontrollü, yöntemli çalışmalar ile ileri hamleler sağlandı.

Yirminci yüzyılda Einstein ile başlayan aşamalar, 1940 senelerinde, fotokimyasal reaksiyonun olabilmesi için önce ışığın absorplanması, kuvantal verimin tariflenmesi, enerji düzeylerinin bilinmesi gerçeğini ortaya koydu ve reaksiyon kinetiği üzerinde etkili unsurların tariflenmesi, teorik atılımlar ve çok başarılı deneysel uygulamalar ve değerlendirmeler ile gelişti. 1940-42 senelerine kadar olan tüm gelişmeler üzerine ilgi çekici derlemeler literatürde vardır. (3,4,5). 1950 senesine kadar, genellikle gaz fazında izlenen fotokimyasal reaksiyonlar, fiziko kimyacıların ilgilendiği araştırma konularıydı (6).

Yirmi yedi yıl gibi nispeten kısa süre içerisinde elektronik sınağında kaydedilen korkunç gelişmelere paralel olarak ve yepyeni analiz tekniklerinin sağladığı duyarlı, hassas ve tekrarlanabilir ölçümlerden istifade ederek, fotokimyasal olaylar, binlerce, onbinlerce sistem ve yapıda çeşitli yönleriyle en ince detayına kadar incelenmeye çalışıldı.

Bilinmeyen bir çok temel mekanizma, enerji aktarımıları, uyarılmış moleküle elektron davranışları, fotosentez reaksiyonları bugün için bir gerçektir. Fotokimyasal reaksiyonlarda halen incelenmesi gerekli önemli ve temel sorular vardır; ultraviole ve görünür ışık ile molekül bünyesinde izlenen elektronik uyarının esası nedir, nasıl olmaktadır, hangi ara yapılardan geçmekte ve ne tipte enerji aktarımılarına katılmaktadır, mekanizması nedir, ana yapının parçalanması veya bozunmasına ve foto ürün oluşumunu ortamda kontrol eden faktörler nelerdir? Bütün bu soruların tümüyle veya kısmen cevaplandığı çok az sistem var olduğu düşünülürse, günümüz araştırmalarında fotokimyasal reaksiyonların çalışılmasında faydalı hedefler de belirlenmiş olur.

### I.3. FOTOKIMYASAL OLAYLARIN TEORİSİ:

Genel olarak ultraviyole spektral bölgede çoğu organik yapılar absorpsiyon gösterir ve doymamış grupların yapıya katılması örneğin konjugे çift bağ ihtiva eden gruplar gibi, molekül içersindeki elektronlara hareket serbestliği kazandırarak, molekül tarafından absoplana enerjiyi azaltmaktadır. Bazı kromofor fonksiyonlu gruplar ve karakteristik absorpsiyon bantları aşağıda gösterilmiştir. (7)

<u>KROMOFOR</u>	<u><math>\lambda</math> mak. (Angstrom)</u>
> C = C <	1.800
> C = O	2.800
- N = N -	3.500
> C=C - C = C <	2.200
> C = C - C = O	3.200
- N = O	6.600

Yine aynı organik molekülde, kromofor gruplarından herhangi bir karbon-hidrojen bağı koparılır ve yerine heteroatomlar veya çeşitli atomik gruplar sokulursa, izlenen spektral bantlar daha uzun dalga boyalarına kayar. Bu gruplara Oksokromofor denir:

--NR<sub>2</sub> , --NHR , --NH<sub>2</sub>, --OH , --Cl. --Br gibi.

Organik yapılar, kromofor veya oksokromofor etki ile renklenebilir veya renk değiştirebilir. Bağ yapıları, basit kimyasal reaksiyonarda olduğu gibi, ışıma ile de koparılabilir. Görünür ve ultraviyole bölge ışık kuvantları bağ enerjileri seviyesinde enerji taşımaktadır ve bu nedenle molekül içersindeki bir bağı koparabilir veya üst enerji seviyelerine uyarabilir.

Atomik ve moleküler yapıların, ultraviyole ve görünürlük ışıkla uyarılması sonucunda izlenen tüm kimyasal değişimler fotokimyasal olay-

Tardır ve üç ana kısımda incelenebilir:

- I. Işık absorpsiyonu,
- II. Primer fotokimyasal olaylar ; ışık absorpsiyonu ile başlar ve bağ kopması veya uyarılan elektronların temel enerji seviyelerine hareketi ile sonlanır,
- III. Primer olayları takip eden sekonder veya karanlık (termik) reaksiyonlar.

#### I.3.I. IŞIK ABSORPSİYONU :

Atomlar ve moleküller ışık enerjisini absorplayarak serbest enerjilerini arttırırken, temel enerji seviyesindeki elektronlar yüksek enerjili üst seviyelere sıçrarlar. Ancak elektronların fotokimyasal bir reaksiyona girebilmesi için bağ enerjilerine yakın, genellikle 1 (eV) üzerinde enerji ile uyarılması gerekmektedir. Daha düşük enerjili ışınmalar, molekül içersindeki elektronların yüksek enerjili üst titreşim seviyelerine sıçramasına ve daha fazla hareketlenmesine yarar.

TABLO 1.02. ile ultraviyole ve görünür ışık absorpsiyonunun moleküle kazandırdığı enerji ve organik yapılarda bu enerji seviyelerine yakın bazı bağ enerjileri verilmektedir.

TABLO 1.02. Ultraviyole ve Görünür ışık Enerjisi ve bağ enerjileri  
mukayesesi

Dalgaboyu <u><math>\lambda</math> (Angstrom)</u>	Dalga sayısı <u><math>\nu</math> (cm<sup>-1</sup>)</u>	(E <sub>2</sub> - E <sub>1</sub> ) <sup>a</sup> kkal/mol	eV	bağ	bağ enerjisi (kkal)	ÜRNEK <sup>b</sup>
2000	50.000	143.0	6.20	C = C	145	
2500	40.000	114.4	4.96	O - H	110	
3000	33.333	95.3	4.13	N - H	92	
3500	28.571	81.7	3.54	C-O, C-C	80	
4000	25.000	71.5	3.10	H - I	71	
4500	22.222	63.5	2.76	C - N	59	
5000	20.000	57.2	2.48	C1 - C1	57	
5500	18.182	52.0	2.25	C1 - Br	54	
6000	16.666	47.7	2.07	C - I	46	
6500	15.385	44.0	1.91	Br - Br	46	
7000	14.286	40.8	1.77	I - I	36	

(a) Bir Einstein ışık enerjisi

(b) Bağ enerji değerleri ref. (8) alınmıştır.

### I.3.I.I. TEMEL KANUNLAR:

İŞIK absorpsiyonu üzerinde üç temel kanun vardır (7). İlk genellemeye T.Von Grotthuss tarafından 1817'de yapılmış ve J.W. Draper tarafından 1841'de kanıtlanmıştır. Grotthuss-Draper kanunu, sistemin sadece

absorpsiyon gösterdiği dalgaboylarında ışınmalar sonucu kimyasal değişimlere uğrayabileceğini söyler. Dikkat edilecek olursa bu kanunla da ifade edildiği gibi, fotokimyasal reaksiyonların olabilmesi ancak belirli bir ışık enerjisinin üzerinde enerji absorplanmasını gerekli kılmaktadır.

Absorplanan enerji yetersiz ise, uyarılan molekül içersindeki elektronlar, enerjiyi ısı olarak veya soğrulduğu dalgaboyunda ışınmasız geçişler ile geri verirler. Kimyasal sisteme  $I_0$  ışık gücünde ışınma yapılrsa, çözüçünün absorpsiyon göstermediği herhangi bir dalgaboyunda organik yapının kısmen absorpsiyon göstermesi sonuçunda sistemden çıkan ışık gücünde azalma beklenir ki bu farkın, sistemdeki organik madde konsantrasyonu ile orantılı olduğu 1760 senesinde Lambert tarafından ve ışın demetinin sistem içerisinde kaydettiği yolla orantılı olduğu da 1852 senesinde Beer tarafından gösterilmiştir. Lambert-Beer Kanunu olarak bilinen bu ikinci kanunun matematiksel ifadesi, aşağıda verilmektedir:

$$I_t = I_0 \cdot e^{-\epsilon cl}$$

$\epsilon$  = Molar ekstinksyon katsayısı,

c = Konsantrasyon, mol/lit,

l = Sistem içerisinde geçen ışık yolu, cm,

$I_t, I_0$  = ışık gücü, sisteme giren  $I_0$  ve sistemden çıkan  $I_t$  ile gösterilmiştir.

Üçüncü kanun A. Einstein'in (1905-1912) "fotokimyasal eşdeğerlik" kanunudur ve ışık absorpsiyonu ile kimyasal reaksiyona katılan her atom

ve molekülün bir kuvantılık ışık enerjisi ile uyarıldığını ilk defa ortaya atmıştır.

Fotokimyasal reaksiyonlarda ilk davranış ışık absorpsiyonudur ve Einstein kanununa göre ortamdaki her atom ve molekül, reaksiyonu başlatabilecek enerji içeren sadece bir ışık kuantı absorplayabileceği için, reaksiyon başlangıç kuvantal verimi, birim olarak kabul edilir. Ancak uyarılmış molekül elektronları ikincil (sekonder) reaksiyonlara katılıabilir ve bu fotokimyasal reaksiyonlarda herhangi bir X yapısının oluşum veya parçalanma kuvantal verimi ;  $\varphi_x$ , aşağıdaki formül ile

verilir: Birim zamanda oluşan veya parçalanan X molekül sayısı

$$\frac{\varphi}{x} = \frac{\text{Birim zamanda absorplanan kuant sayısı}}{\text{Birim zamanda absorplanan kuant sayısı}}$$

Dikkat edilmesi gereken bir tarif olarak, fotokimyasal olaylarda, primer kuvantal verim ( $\Phi$ ), ölçülen veya net kuvantal verimden ( $\varphi_x$ ) ifade olarak farklıdır. Klasik örnekleri arasında, ketonların gaz fazında bire yakın  $\varphi$  ve  $\Phi$  değerleri ile parçalandığı ancak oda temperatüründe "kafes etkisi" ile  $\varphi$  net kuvantal veriminin sıfıra düştüğü verilir. Genellikle fotokimyasal olayların net kuvantal verimi birden az veya bir olmasına karşın (7), bazı zincir reaksiyonlarında  $10^7$  ye varan değerlerde tesbit edilmiştir (9). Örnek bazı değerler TABLO 1.03 ile derlenmiştir.

TABLO 1.03 Bazı fotokimyasal reaksiyonlarda Kuvantal verim ( $\psi$ ).

	<u>Reaksiyon</u>	<u>Dalgaboyu (Å<sup>0</sup>)</u>	<u>Kuvantal Verim</u>
Gaz Fazı	$2\text{NH}_3 = \text{N}_2 + 3\text{H}_2$	~ 2100	~ 0.2
	$2\text{NO}_2 = 2\text{NO} + \text{O}_2$	~ 3660	~ 1.5
	$2\text{Cl}_2\text{O} = 2\text{Cl}_2 + \text{O}_2$	3130 ~ 4360	~ 3.5
	$\text{CO} + \text{Cl}_2 = \text{COCl}_2$	4000 ~ 4360	~ 10 <sup>3</sup>
	$\text{H}_2 + \text{Cl}_2 = 2\text{HCl}$	~ 4000	~ 10 <sup>5</sup>
Sıvı Fazı	$2\text{H}_2\text{O}_2 = 2\text{H}_2\text{O} + \text{O}_2$	~ 3100	> 7
	$\text{CH}_2\text{ClOOH} + \text{H}_2\text{O} = \text{CH}_2\text{OHCOOH} \sim 2537$ + HCl		~ 1

### I.3.I.2. ELEKTRONİK UYARIM

Moleküler dalga fonksiyonları ( $\psi$ ), yörünge ve molekül içersindeki elektron özelliklerini tarifler. Elektronların bir bulut şeklinde, merkezi çekirdek etrafında enerjilerini en düşük seviyede tutabilecek düzenlemeye girdiği ve herhangi bir noktada bulunma olasılığının  $\psi^2$  ile belirlendiği bilinir. Her elektronik yük için,  $\psi^2$  olasılığı % 95 in üzerinde bulunan sınırlandırılmış alanlar tariflenebilir ve bunlara elektronik yörünge denir. Karmaşık her molekül yapısında çok sayıda elektronik yörünge vardır ve moleküler dalgıa fonksiyonu, her elektronik yörünge fonksiyonlarının  $\psi$  çarpımı ile verilir.

$$\Psi \sim \Psi_1 \cdot \Psi_2 \cdot \Psi_3$$

Elektronik yörüngeler ( $\Psi$ ), tek bir çekirdek üzerine lokalize olabilir (düzenli atomik yörüngeler) veya iki ve daha fazla çekirdek etrafında dağılırlar (moleküler yörüngeler, M.O.), yanısıra uzayda işgal ettiği yer ( $\emptyset$ ) ve elektronun hareket yönü (spin) bileşkesi olan  $\alpha$  ve  $\beta$  şeklinde ifade edilebilir:

$$\Psi_1 = \phi_1(\alpha) \phi_1(\beta)$$

$\alpha$  tanımı uzayda o elektronik yörüngede ( $\phi_1$ ) dolanan  $+1/2$  spin,  $\beta$  tanımı ise  $-1/2$  spin değerli elektronları temsil eder, (7), (PAULİ Prensibi).

"Tek elektronlu" yörüngeler ( $\phi_1$ ) kabulu ile (HOCKEL Teorisi) bu yörüngelerin enerji seviyeleri ve çözümleri, kuantum mekaniği sayesinde hidrojen ve helyum gibi örnek atomlar için tam olarak yapılmıştır. Elektronlar arasındaki elektrostatik etkileşme ihmali edilir, çekirdeklerin denge pozisyonunda olduğu kabul edilir ve spin fonksiyonları dikkate alınırsa, Schroedinger Denklemi (7) kullanarak moleküler dalga fonksiyonu ( $\Psi$ ) aşağıdaki şekilde ifade edilir:

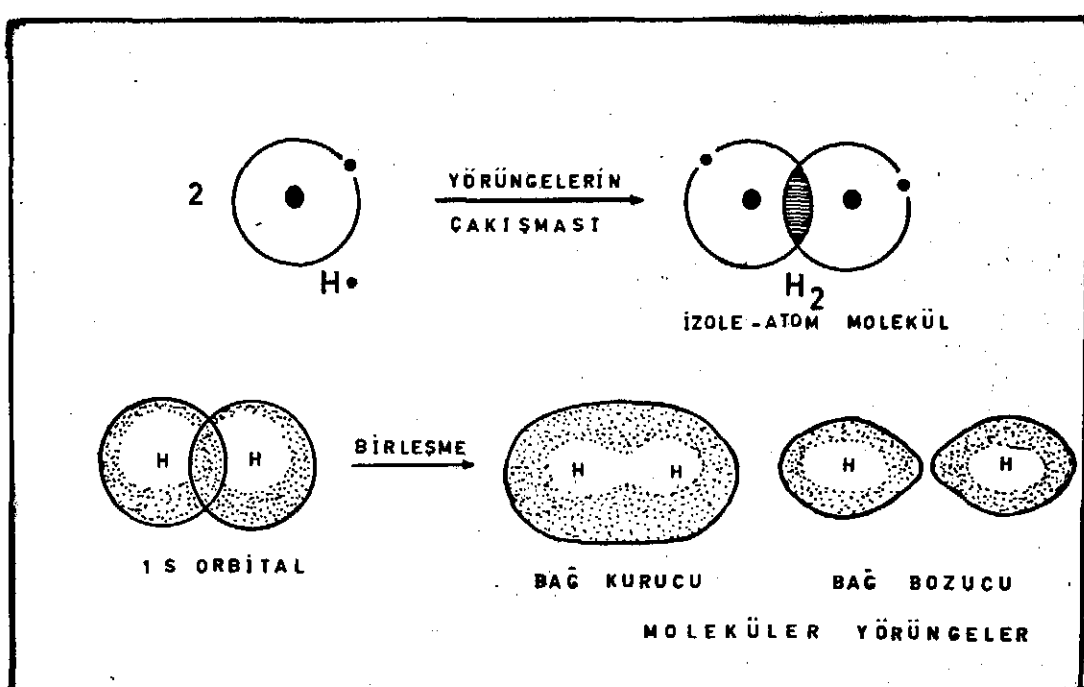
$$\Psi \underset{\sim}{=} \phi \text{ (yörunge)} x \text{ (titreşim)} \delta \text{ (spin)}$$

$\phi$ , tüm dalga fonksiyonunun elektronik yapısı,  $x$  nükleer (titreşim) dalga fonksiyonu ve  $\delta$  ise spin dalga fonksiyonudur. Molekül içerisinde "tek elektronlu" moleküler Eigen değerler, yörüngeler,  $\phi_n$  ( $n = 1, 2, 3, \dots$ )

olarak belirlenirken, her yörüngeye elektron çiftleri Aufbau prensibi-ne göre (düşük enerjili yörüngeler önce dolar) ve Pauli prensibine göre yerleştirilir.

"Moleküler Orbital Teorisine" göre, molekül yapısına katılan atomik yörüngelerdeki elektronlar o şekilde biraraya gelirler ki, yeni moleküler yörüngeler ortaya çıkar (Atomik yörüngelerin lineer kombinasyonu,LCAO). Belirli enerji seviyesindeki elektronlar, daha düşük enerjili bağ yapısına katılılınca, yüksek enerjili bağ bozucu yörüngeler de (antibonding) oluşur (Şekil 1.01).

SEKİL 1.01 Hidrojen molekülünün oluşumu\*



\* BU SEKİL " GRIFFIN, R.W., MODERN ORGANIC CHEM.,  
MC GRAW - HILL BOOK COM., NEW YORK (1969), S=26 "DAN  
ALINMIŞTIR.

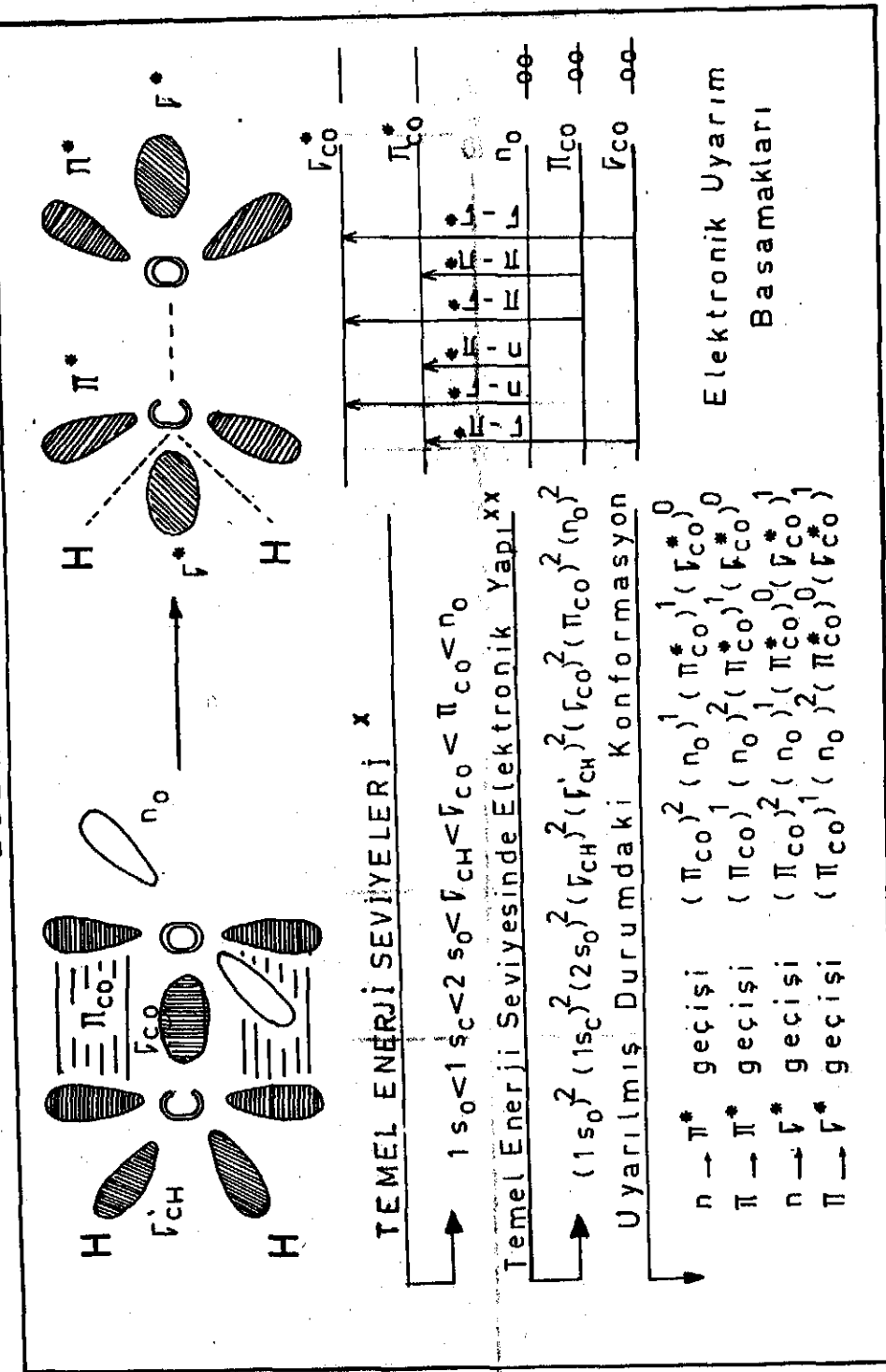
Organik fotokimyada beş tip moleküller yörüngeler tariflenmiştir.(7) Sırasıyla : Pi-bağı ( $\pi$  ), pi-bağ bozucu ( $\pi^*$  ), Sigma bağı (  $\sigma$  ), sigma bağ bozucu (  $\sigma^*$  ) ve bağ dışı kalan (n) moleküller yörüngeler (non bonding).

İki atom arasında oluşan en kuvvetli ve en düşük enerjili tek bağ sigma bağıdır. Lokalize olmuş böyle bir bağda bulunan elektronları koparabilmek için daha fazla enerji katkısı gereklidir,  $\pi$  bağı gibi birden fazla çekirdek üzerinde delokalize olmuş elektronların uyarılması ise çok daha düşük enerji ile mümkündür. Her  $\sigma$  ve  $\pi$  bağına karşılık  $\sigma^*$  ve  $\pi^*$  bağ bozucu yörüngeler vardır, ancak oksijen veya azot gibi heteroatom üzerinde lokalize, bağ yapısına katılmayan n yörüngelerin elektronları için bağ bozucu yörüngeler tariflenemez.

Herhangi bir molekül içersindeki  $\pi$  yörüngelerde elektronlarının ışık absorpsiyonuyla üst enerji seviyelerindeki  $\pi^*$  bağ bozucu yörüngelerde uyarılması,  $\pi - \pi^*$  geçisi olarak, sigma bağlarında ise  $\sigma - \sigma^*$  geçisi olarak adlandırılır.

Molekül yapısındaki heteroatom üzerinden diğer tipte elektronik uyarımlar da mümkün olabilir ve paylaşılmasız, bağ yapısına girmeyen n elektronları, ışık absorpsiyonuyla yeterli enerji kazanarak bir üst boş enerji seviyesine,  $\sigma^*$  veya  $\pi^*$  yörüngelerine sıçrayabilirler. Bu tipeki uyarımlara sırasıyla : n -  $\sigma^*$  veya n -  $\pi^*$  geçişleri denir. Bütün geçişler formaldehit örneğinde, şekil 1.02 ile gösterilmiştir.

**ŞEKİL 1.02. FORMALDEHİD YAPISINDA MÜMKÜN ELEKTRONİK UYARIMLAR**

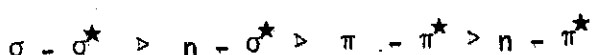


x - 16 elektron, Aufbau ve Pauli kuralına göre enerji seviyelerine yerleştirilir.

xx - Parantez üzerindeki indeks, o yörüngedeki elektron sayısını göstermektedir. Şekil literatürden (7) derlenmiştir.

Elektronik uyarım başlangıcında temel enerji seviyesindeki elektronun hareket yönü, bir üst yörüngeye uyarıldığında aynı kalırsa, bu şekildeki geçiş singlet-singlet veya triplet-triplet geçistir, ancak hareket yönü tersine dönerse (spin-değişikliği), singlet-triplet veya triplet-singlet geçisi izlenir. Direkt olarak bu son iki geçisin olasılığı, kuantum mekaniği kurallarına göre yasaklanmıştır.

Elektronik uyarımda önemli bir kural da aynı kromofor grupta öncelikle düşük enerjili geçişlerin vuku bulmasıdır ve artan enerji gereksinmesine göre geçişler şu şekilde sıralanır:



$\sigma - \sigma^*$  absorpsiyon bandı, organik yapıtlarda genellikle 10-200 nm ler arası uzak ultraviyole ışımıyla,  $\pi - \pi^*$  ve  $n - \pi^*$  absorpsiyon bantları ise 200-750 nm ler arası yakın ultraviyole ve görünür bölge ışımıyla uyarılabilir ve özgü absorpsiyon bantları TABLO 1.04 de verilen kriterler karşılaştırılarak bulunabilir (7).

TABLO 1.04.  $\pi - \pi^*$  ve  $n - \pi^*$  geçişlerine özgü spektral  
özelliklerin karşılaştırılması

OZELLIK	$n - \pi^*$	$\pi - \pi^*$
Maksimum ekstinksiyon katsayısı ( $\epsilon$ mak.)	100 den az	1000 den büyük
Titreşim bantlarının yapısı	nonpolar çözücülerde keskin, polar çözücü- lerde yaygın bantlar	çoğu çözücü sistemler- de keskin bir band
( $\tau_f$ ve $\phi_f$ ) <sup>a</sup>	$\tau_f > 10^{-6}$ Sn. $\phi_f < 0.01$	$\tau_f - 10^{-9} \sim 10^{-7}$ Sn. $\phi_f - 0.5-0.05$
( $\tau_p$ ve $\phi_p$ ) <sup>b</sup>	$\tau_p \sim 10^{-3}$ Sn. $\phi_p \sim 0.5-0.05$	$\tau_p - 0.1-10$ Sn. $\phi_p - 0.5-0.05$
Geçiş anında momentin yönü	Singlet-singlet geçiş- ler moleküler düzleme dik	Singlet-singlet geçiş- ler moleküler düzleme paralel
Çözücü polaritesinin artması veya elektron kayıbedici (donor) özel- liğinin arttığı türevle- rinle	geçişler daha kısa dalgalınlara kayar	geçişler daha uzun dalgalınlara kayar

a- Ölçülen, floresans ömrü,  $\tau_f$  ve floresans ışınma kuvantal verimi,  $\phi_f$

b- Ölçülen, fosforesan ömrü  $\tau_p$  ve fosforesans ışınma kuvantal verimi,  $\phi_p$

Elektronik uyarıyla, direkt singlet-triplet veya triplet singlet geçişlerinin kuantum mekanığı kurallarına aykırı olduğuna degenmişlik ve bu nedenle elektronla, uyarılma sonrası spin değişikliğine uğrayarak dolaylı yollarla ulaşlıklar bu enerji seviyelerinde, daha uzun süre kalırlar. Singlet-singlet geçişlerde elektronun uyarılma sonrası ömrü, spin değişikliğine uğrayarak sistemler arası geçişle ulaşlıklar triplet enerji seviyesindeki ömrü ile kıyaslanırsa  $10^{-6}$  kere daha kısalıdır (Tablo 1.05).

Organik Yapı	Singlet-singlet <sup>a</sup> geçişlerde uyarılmış elektronun ömrü	Singlet-Triplet <sup>b</sup> geçişlerde uyarılmış elektronun ömrü
Antrasen	$13.5 \times 10^{-9}$ Saniye	$90 \times 10^{-3}$ Saniye
Florescein	$4.7 \times 10^{-9}$ Saniye	-
Rodamin B	$6.0 \times 10^{-9}$ Saniye	-
Bromobenzen	-	$3 \times 10^{-3}$ Saniye
2-Bromnaftalin	-	$10 \times 10^{-3}$ Saniye

TABLO 1.05. Bazı yapılarda elektronik uyarım sonrası elektronların hesaplanan ömrü (7).

(a) Singlet-Singlet absorpsiyon bantlarından hesaplanmıştır.

(b) Singlet-Triplet absorpsiyon bantlarından hesaplanmıştır.

Singlet ve triplet enerji seviyelerinde elektron davranışını etkileyen diğer bir özellik ise magnetik özelliklerdir. Triplet seviyesinde her iki elektron spini paralel ve moleküller paramagnetism maksimum iken, singlet seviyesinde her iki elektron spini birbirine zıt ve diamagnetik özellik belirir. Bu davranış farklılığı elektron spin rezonans (ESR) çalışmaları ile tanımlanabilir.

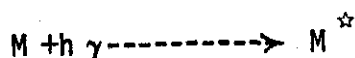
### 1.3.2 Birincil ve ikincil Fotokimyasal Olaylar

Fotokimyasal aktivasyonla molekülün temel enerji seviyesindeki elektronlar, üst uyarılmış enerji düzeyine çıkarlar ve ışimalı ve ışımasız yollarla bu enerjiyi verirler. Birincil fotokimyasal olaylar ne iyi şekilde Jablonski diyagramı ile özetlenebilir (Şekil 1.03).

Birincil olaylar molekülün ışık absorpsiyonu ile başlar ve çeşitli uyarılmış seviyelerden geçerek, molekülde elektron kaybı sonucu bağ kopması veya Jablonski diyagramı ile verilen yollarla temel enerji düzeyine dönmesi ile son bulur.

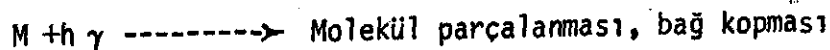
Fotokimyasal olaylarda ve ışıma sonucu bir reaksiyon meydana geliyorsa, fotokimyasal reaksiyonlarda, birincil olayların hangi noktada başlayıp hangi noktada ikincil olaylarla devam ettiği kesin olarak belirlenemez. ışık absorpsiyonu birincil olaylara dahil edilebilirse de bazı fotokimyaçılara göre absorpsiyon sonrası başlar ve üç grupta toplanır:

(a) Basit elektronik uyarım



Uyarılan elektronlar Jablonski diagramı gereğince ışımlı ve ışımasız yollarla söküme uğrar.

(b) Disosiyasyon



Uyarılan elektronlar bağ bozucu yörüngeye sıçrar ve bağ kopması, moleküler parçalanma sonucu ikincil olaylar ve fotokimyasal reaksiyonlar başlar.

(c) Predisosiyasyon



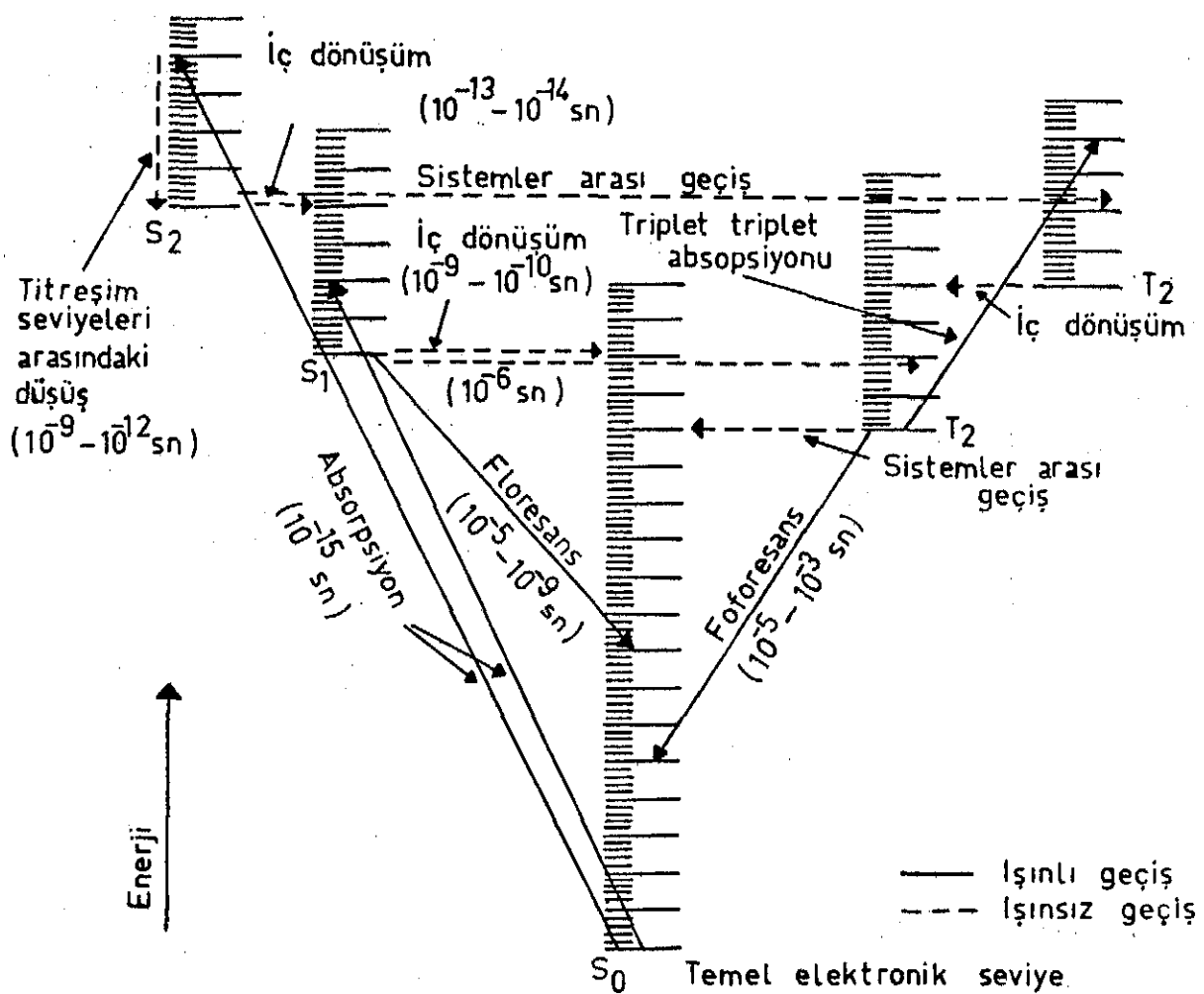
Uyarılan elektronlar Jablonski diyagramı gereğince sö-  
nümeye uğrarken çeşitli enerji aktarım yollarıyla enerji-  
lerini ortamda mevcut diğer yapılara aktarır ve ikincil  
reaksiyonlarla parçalanabilir.

Yukarıda verilen olasılıklar altında birincil olayların, mo-  
teküler bağ yapısındaki elektronların, temel enerji seviyelerine  
hareketi veya bağ yapısının terketmesiyle son bulduğu söyleylenebilir.  
Absorplanan ışık enerjisi, çözücü sistemin kendisi ve ortamındaki mole-  
küllerin yapısal özellikleri birincil olayları kontrol eden faktörler-  
dir.

Birincil olayları takip eden ikincil olaylar ve fotokimyasal  
reaksiyonlar altı genel bölüm altında incelenebilir: Fotokimyasal  
eliminasyon ve bozunma reaksiyonları, fotokimyasal ekleme ve dimer-  
leşme reaksiyonları, fotokimyasal atomik bağ-kopma (abstraction)  
reaksiyonları, fotokimyasal yeniden düzenlenme (rearrangement) reak-  
siyonları, fotokimyasal yer değiştirme reaksiyonları ve fotokimyasal  
başlangıçlı zincirleme reaksiyonlardır. Bütün ikincil reaksiyonlar  
sıcaklık ve ışık şiddeti ile etkilenirler ve bu etkiler genellikle  
reaksiyon kinetik hız ifadelerini değiştirir, hızlandırır veya yavaş-  
latır.

### 1.3.2.1. Jablonski Diagramm

Elektronik uyarı sonunda oluşan uyarılmış seviyelerden ışımlı ve ışımasız geçişler olur. Bu geçişler şekil 1.03 de gösterilen yeniden düzenlenen Jablonski diyagramında en iyi şekilde açıklanabilmektedir.



ŞEKİL 1.03. Yeniden düzenlenen Jablonski Diyagramı

Işık absorpsiyonu sonucunda molekül içerisinde uyarılan elektronlar, So, singlet temel enerji seviyesinden uyarılmış singlet seviyelerinden

birine ( $S_1$  veya  $S_2$ 'ye) gider. Triplet seviyelere geçiş olasılığı az olduğundan gösterilmemiştir. Enerji seviyeleri arasındaki uzaklıklar gösteriş kolaylığı sağlama açısından eşit alınmıştır.

### 1.3.2.2. İşımasız Geçişler

$S_1$ ,  $S_2$  veya  $S_3$  gibi uyarılmış singlet seviyelerine sıçrayan elektronlar temel enerji seviyelerine üç değişik işımasız geçişle hareket edebilir.

Tıtkesim seviyeleri arasındaki işımasız ve çok hızlı geçişlerle izlenen enerji kaybına titreşim şelalesi (Cascade) denir ve aynı uyarılmış seviye içerisindeki geçişleri kapsar. Titkesim şelalesi,  $S_1$  ve  $S_0$ , temel enerji seviyesi arasındaki enerji farkının nisbeten fazla olması, bu düzeydeki elektronlar için iç dönüşümün yanı sıra sistemler arası geçisi de mümkün kılar.

Temel seviyedeki elektronlar yeni bir moleküler orbitalle uyarıldıkları zaman, Pauli Prensibine göre bir kısıtlama olmadığından, spin değiştirebilirler. Her uyarılmış singlet seviyeye karşılık enerjisi daha düşük olan bir triplet seviyesinin varoluğuna debynmiştir. Elektronlar  $S_1$  seviyesine hızla sönerten singlet ve triplet potansiyel enerjilerinin çekistiği noktadan belli bir kuvantal verimle sistemler arası geçişe zorlanırlar. Genellikle  $S_1 \xrightarrow{\text{XXX}} T_1$  ve  $T_1 \rightarrow S_0$  tipinde işımasız geçişler organik yapınlarda sık rastlanan örneklerdir.  $S_2 \rightarrow T_2$  ve  $S_3 \rightarrow T_3$

geçişlerinin olasılığı çok daha azdır ve nedeni ise  $S_3$  ve  $S_2$  seviyelerinden  $S_1$ 'düşmenin çok hızlı olmasıdır. Ağır atomlu moleküllerde: kinon, aromatik ketonlar gibi, ve özellikle temel absorpsiyon bandı  $n \rightarrow \pi^*$  olan yapılarda  $S_1 \rightarrow T_1$  sistemler arası geçiş hızlanmaktadır.

#### 1.3.2.3. Işimalı Geçişler

Işimalı geçişlerden ilki uyarılan molekülün aynı enerjiyi geri vererek temel seviyeye dönmESİdir ve ışık, absorplandığı dalga boyunda geri verilir. Bu olaya rezonans ışıma denilir. Uyarılmış singlet seviyesi  $S_1$ 'den  $S_0$  temel seviyesinin üst titreşim düzeylerine  $10^{-5} - 10^{-9}$  saniyeler arasında ışımıyla dönüş mümkündür ve bu önemli spektroskopik olaya floresans denir. Sistemler arası geçişle triplet seviyesinde yoğunlaşabilen elektronlar temel seviyeye ışımıyla dönebilirler ve bu olaya da fosforesans adı verilir. Son deðinilen her iki işimalı geçişte elektronun absorpladığı enerjiden daha azı geri verildiðinden dolayı izlenen floresans ve fosforesans dalga boyları daha büyük olur.

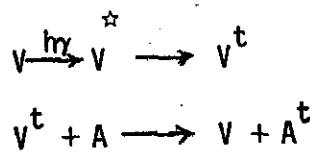
#### 1.3.2.4. Enerji Aktarımı

Enerji aktarımı, uyarılmış molekülün en kısatzaman içersinde temel enerji seviyesine dönmek isterken aktif olan fazla enerjisini ortamda mevcut bir başka moleküle aktarması olayıdır ve bu enerjiyi, büyük enerji paketcikleri şeklinde: elektronik enerji aktarımı veya nisbeten ufak paketcikler şeklinde: titreşim-dönme-enerji aktarımı, verebilir (7).

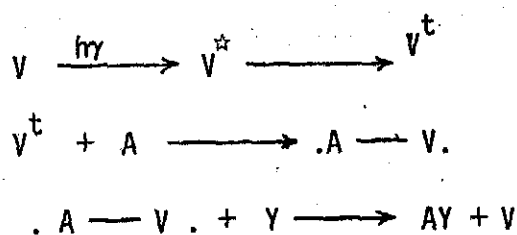
Enerji aktarımında uyarılmış molekül "verici", vericinin temel enerji seviyesine dönerken kaybettiği enerji ile uyarılan yapı ise "alıcı" molekül olarak tanımlanır ve birim zamanda bu tip enerji alış veriş olasılığının moleküller arası uzaklıkla ( $R^{-6}$ ) orantılı olduğu gösterilmiştir (7).

Enerji aktarımı için en az dört teorik mekanizma bulunmaktadır. Bunlardan birincisi en genel tip olup verici molekül tarafından yayılan ışık enerjisinin alıcı tarafından absorpsiyonudur. Moleküller çarpışma olması şart değildir. Çarpışma yoluyla enerji aktarımı da genel örnekleri çok fazla olan ikinci tip mekanizmadır. Verici molekül ister singlet ister triplet seviyede olsun, moleküller çarpışma anında enerjisini diğer yapıya aktarabilir. Çarpışma olasılığı dolaylı olarak moleküllerin bulunduğu çözücü sistem içerisindeki difüzyonu ile orantılıdır. Viskoz çözücülerde enerji aktarımı yavaşlar.

Çarpışma yoluyla enerji aktarımının gerçek tabiatı üzerinde iki genel görüş hakimdir. Bunlardan Hammond ve arkadaşlarına göre (12,13), elektromanyetik enerji, çarpışma anında vericiden alıcıya aktarılır:



Schenck'e göre ise (14,15,16):



alıcı ve verici moleküllerin arasında kovalent bağ oluşmasıyla aktarım gerçekleşebilir. Yukarıdaki reaksiyonlarda:

$V^*$  : Singlet uyarılmış seviyede olan uyarılmış verici molekül

$V^t$  : Triplet " " " " " "

$\gamma$  : Reaksiyona yardımcı molekül (eğer A'nın fotoyükseltgenmesi oluyorsa,  $\gamma$  yükseltgendir.)

A : Alıcı molekül.

$.A - V.$  : Diradikal kompleks tabiatında ara yapı, bazan uyarılmış dimer (excite) diyede bilinir. Oluşum elektron spin rezonans spektrometresiyle yapılan çalışmalarda gösterilebilmiştir.

Üçüncü tip enerji aktarımı alıcı ve verici moleküller arasındaki dipol-dipol etkileşmesinden oluşmaktadır (17). Diğer bir tip enerji aktarımında katılımlarda görülen uyarılmış vericiler üzerinden ışımasız ve eksi yüklerin (exiton) hareketine bağlı enerji aktarımıdır.

Çarpışma yoluyla enerjilerini aktaran verici molekülde izlenen çok sayıda olay not edilmiştir ve klasik örnekleri arasında şu olaylar sayılabilir: Uyarılan atom veya molekül kendi kendiyle çarpışarak üst

tıtteşim ve dönme enerjilerine sıçrayabilir veya sönebilir, kendi floresansını hızlandırabilir, yabancı atom veya molekülle çarpışarak kendisi sönerken alıcı yapıyı uyarır ve yeterli enerji aktarımı sağlıyorsa farklı yapıdan floresans veya fosforesansa neden olabilir, alıcı molekülün parçalanmasına sebeb olabilir ve bu son durumda parçalanma ürünler arasında aktif radikal varsa ikincil kimyasal reaksiyonlar, örneğin: zincirleme reaksiyonlar görülebilir. Son örnekle verilen olaya foto duyarlılandırma denilir.

#### 1.3.2.5. Fotoduyarlılandırma

Fotoduyarlılandırma reaksiyonlarının diğer normal fotokimyasal reaksiyonlardan bariz tek bir farkı vardır. Eğer belli enerji kullanarak bir molekülde bağ uyarılamıyorsa veya koparılmıyorsa, bu enerji ortama ilave edilen yabancı molekül (sensitizör) tarafından enerji aktarımı yoluyla sağlanabilir ve moleküller bağ koparılabilir. Fotoduyarlılandırma reaksiyonunun olabilmesi için aşağıdaki soruların genellikle yanıtlaması gereklidir (7):

- a) Verici ve alıcı yapıların absorpsiyon spektrumları nedir?
- b) Verici ve alıcı yapıların triplet enerji seviyeleri ( $E_t$ ) nedir?
- c) Sensitizör yapıda uyarılmış elektronların  $S_1$  seviyesinden  $T_1$  seviyesine sistemler arası geçişte kuvantal verim nedir?
- d) Verici ve alıcı yapıların triplet enerji seviyesinden yürüyen, bilinen fotokimyasal reaksiyonları nelerdir?

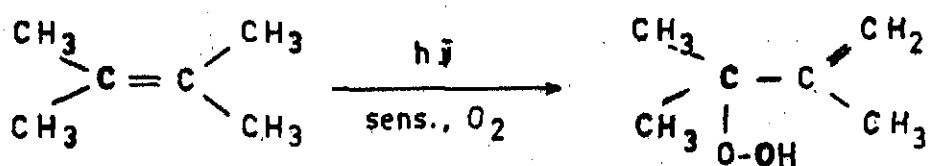
e) Foto ürünlerin ışık absorpsiyonu ne şekildedir?

Absorpsiyon spektrumlarının bilinmesi yapıların ne tip uyarımı hedef olduğunu belirler ve genellikle her iki yapının beraberce uyarıldığı dalga boylarındaki ışıma fotoduyarlandırma reaksiyonlarında kullanılmaz. Fosforesans spektral ve flash fotolitik ön çalışmalarla triplet enerji seviyeleri ( $E_t$ ) belirlenmelidir ve sensitizer yapıdan difüzyon kontrollü enerji aktarımı için  $E_t$  (verici, sensitizör)  $> E_t$  (alıcı) olması gereklidir.

Çalışmalarımıza konu olan 2-kloro-10 [ 3-(dimethylamine) propil] fenotiyazin, kısaca adıyla klorpromazinin fotokimyasal oksidasyonunda moleküler oksijenin önemli etken olduğu düşünülverek ve ilerki tartışmalar temel olabilecek, moleküler oksijen üzerinden yürüyen bazı fotoduyarlandırma reaksiyonlarına örnekler verilecektir. Tiyazin tipi boyar maddelerin fotoduyarlanması sonucu oksidasyona eşlik ettiği bilinmektedir (2).

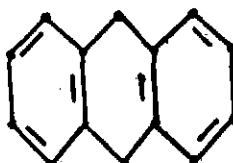
Genellikle iki bölümde toplanan fotoduyarlandırma sonucu oksidasyon örnekleri mevcuttur. Schenck mekanizmasına örnek birinci oksidasyon reaksiyonu, olefinlerden hidroperoksit oluşumları görülmektedir (7):

Net Reaksiyon

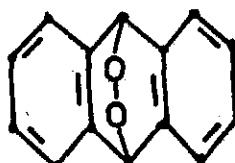


Schenck, tartışmasında bu tür oto oksidasyon reaksiyonlarında seçiciliğin genellikle sterik etkilere bağlı kaldığını söyler. Oksijenin triplet enerji seviyesi 23 Kkal./mol dur. Foote (17) ve Corey (18) fotoduyarlandırma sonucu oksijen triplet seviyelerinin uyarılması sonucunda oluşan singlet seviyelerden fotokimyasal reaksiyonun yürüldüğünü kanıtlamıştır. İkinci tipte fotoduyarlandırma sonucu oksidasyon ürünleri ise endoperoksid, sülfoksid veya sulfon oluşumu gösterir.

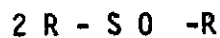
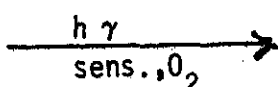
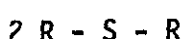
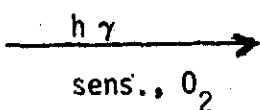
İlgili çekici iki örnek aşağıda verilmiştir:



Antrasen



Antrasen endoperoksit



Sülfoksit

Bu grup reaksiyon ürünleri arasında hidrojen peroksid oluşumuna da rastlanabilir.

### 1.3.3. Fotokimyasal Çalışmalarda Amac

Konuya giderek artan ilgiyi belirli nedenlere bağlamak kabildir.

Işık reaksiyonları ve ışıma ile sistemin karşıt davranışı, kimyasal sistemleri inceleyebilmeme amaca ulaşılan en kısa ve en emin yoldur. Çeşitli kimyasal sentez metodlarının yetersiz kaldığı veya uzun ve yorucu çalışmalar gerektiren sentezler basit ışık reaksiyonları ile yüksek

verimde elde edilebilir. Fotokimyanın en önemli uygulama sahası budur. Yöntemin üstünlüğü sistem içersindeki herhangi bir atom veya molekülün kuvantal enerji paketcikleri ile spesifik olarak uyarılabilmesi ve bazı bağ yapılarının koparılabilmesidir. Termal yollarla sistemin tüm enerji- si arttırıldığı düşünülürse, tek kademeyeyle başlatılabilen fotokimyasal olayların yöntemsel üstünlüğü kabul edilebilir.

Modern fotokimyanın önderliğini yapan yeni spektroskopik analizler uyarılmış seviyelerdeki elektron davranışlarını izah ederken, fotokimyasal reaksiyon ürünleri üzerinde elektro kimyasal, ince tabaka kromatografik fik ve diğer yöntemlerle yapılan analizler önem kazanmıştır.

Floresans ve fosforesans deneyel ölçümleriyle çözücü ve uyarıcıları etkileri, önemli sonuçların elde edilmesine olanak sağlar. Fotokimyasal reaksiyonda ara basamaklarda oluşması mümkün geçiş ürünleri, serbest radikaller veya dimerleşmeler flaş fotoliz ve hızlı kayıt sistemlerinin kullanıldığı spektrumlarla değerlendirilebilir. Foto uyarılmış seviyeler ile bunların yaşam süreleri, geçişlerdeki kuvantal verimler, reaksiyon kinetikleri ve reaksiyon hız ifadeleri bilinmesi istenen unsurlardır.

Fotokimyasal çalışmalarında amaç, belli bir ortam, sıcaklık ve deneyel koşulda araştırılan molekülün uyarılma ve reaksiyon mekanizmasını aydınlatmak ve bahsedilen parametreleri, enerji seviyelerini hesaplayarak reaksiyon ürünlerini saptayabilmektir. Bu alanda geçen on, onbeş

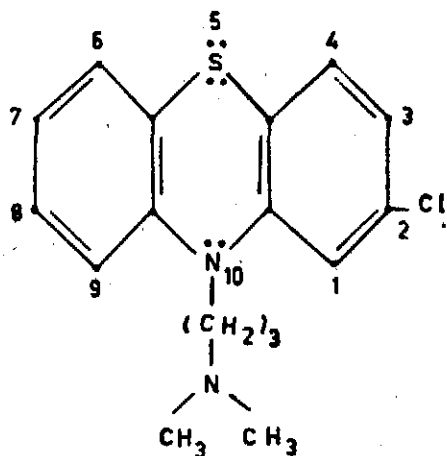
yıl boyunca yapılmış olan uzun araştırmalara rağmen, değişik koşullar altındaki oldukça basit sistemlerde dahi, önceden birşeyler söyleyebilmek için oldukça yoğun araştırma yapmak gerekmektedir ve tümüyle aydınlatılmış fotokimyasal olay ve tabiat yok denecek kadar azdır.

İşığa hassas organik yapıların büyük bir kısmı kimyasal önemi dışında, tıbbi ve ezcaillik yönünden değer taşımaktadır. Örnek verilecek olursa ilaçların ışık hassasiyeti, bu ilaçların vucudun bazı merkezlerinde (göz, saç ve cild gibi) yolaçtığı ışık hassasiyetine bağlı etkiler, ilginç araştırma konularıdır. Fotokimyasal olayların gerçek etkinliğinin yeterince bilinmediği bu önemli oylara neden olan çok sayıda moleküller yapı örneği vardır ki bunlar arasında klorpromazin de sayılabilir.

#### 1.4. Klorpromazin yapısı ve tıbbi önemi

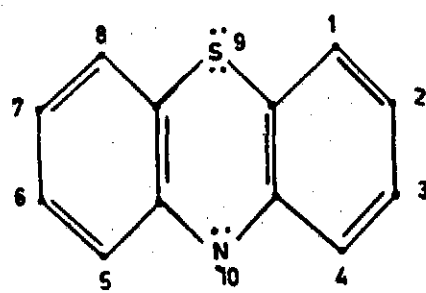
Fenotiyazin grubu ilaçlar, özellikle klorpromazin protipi, tıp dünyasında yaygın şekilde kullanılan ve bilhassa psikiyatrik hastalarda tedavi açısından önemi kabul edilmiş ilaçlardır. Kimyasal adı 2-kloro 10-(3-dimethylaminopropil) fenotiyazin olan, genel adıyla Klorpromazin (I), ilk fenotiyazin halkasının (II) sentezinden (Berndsen, 1883) yetmiş sene sonra Charpentier tarafından sentez edilmiştir. 1963 senesine kadar sentezi gerçekleştirilmiş olan üçbin fenotiyazin

torevinin detaylı derlemesi Schenker ve Herbst tarafından ilk defa yayınlanmıştır (20).



(I) Klorpromazin

(Kimyasal abstract sistemine göre numara-  
landırılmıştır)



(II) Fenotiyazin halkası

(Beilstein sisteme göre numaralandırılmıştır.)

Klorpromazin preparatları yirmisekiz değişik patent altında pi-  
yasaya arzedilmiştir ve Türkiye'de Rhône-Poulenc adlı firmanın "Largactil"  
adı altında satılmaktadır. 1955-65 seneleri arasında Elli milyon hastada  
tedavi amacıyla kullanılmış ve yine aynı seneler arasında yaklaşık 10.000  
makale yayınlanmıştır.

Bu günde benzeri yaygınıkta kullanılan ilaçın 50-100 mgr. doz-  
larda sedatif etki gösterdiği bilinmektedir. Şartlanılmış refleks, kompleks  
davranış, motor aktivite, sinir sistemi, lokal anestezik, otonom sinir sis-  
temi etkileri ve konumuz dışında kalan çok sayıda etkileri bilinmektedir.

Vucutta ne tip bir metabolizmayla parçalandığı üzerinde 168 değişik görüş mevcuttur ve klorpromazin metabolitleri arasında sülfoxit, sülfon, N-oksit, N-S- oksitgibi oksit türlerini de içeren yüze yakın parçalanma ürününün varoluğu teorik olarak kabul edilmektedir ve çoğunluğu izole edilebilmiştir (20,21,22,23).

Yapının ışığa duyarlı olması ve kolay elektron kaybederek yükselgenmesi, bu özellikler açısından çeşitli tıbbi araştırmalara zemin hazırlamıştır. Biokimyasal ve farmakolojik etkileri hariç tutulursa, uzun süreli ilaç kullanımı sonunda izlenen bazı yan etkilerin temel mekanizması fotokimyasal reaksiyonların tabiatı ile ilgilidir (24). Klorpromazin yapısının güneş ışığı ile teması sonucunda ciltte tahriş edici etkisini gösteren, foto-toksik ajan olduğunu belirten çalışmalar (25-43) vardır. Yüksek dozda klorpromazin kullanan bazı hastalarda fotoalerjik reaksiyonlar ve paralelinde gözde de alerjik değişiklikler not edilmiştir (37-38). 1974 senesinde Johnson tarafından yayınlanan bir araştırmada şöyle denmektedir: "Sıcın peritoneal makrofajında toksik olmayan klorpromazin dozlarınınla muamele edilen ve yarım saat suni güneş ışmasına terkedilen hücrelerde ölüm izlenmektedir. Ve benzeri toksik etkilerle foto ürün oluşumunun sebep olduğu hemolis, insan kırmızı kan hücrelerinde de görülebilir".

Yukarıda kısa özetler şeklinde verilen etkilerine çok sayıda vaka ve araştırmalar ilave edilebilir. Klorpromazinin tamamen moleküller

yapısı, fotokimyasal reaksiyonları, yükselgenme tabiatı veya her üç özelligini içeren fotokimyasal oksidasyon reaksiyonları bu etkilerin temel sebebi veya en azından hareket noktasıdır.

### 1.5. Klorpromazin ışık reaksiyonları

Fenotiyazin grubu içeren yapılarının ve tiyazin beyar maddelerinin fotokimyasal indirgenme ve yükseltgenme mekanizmaları için en uygun moleküller olduğu bilinmektedir (44,45,46,47).

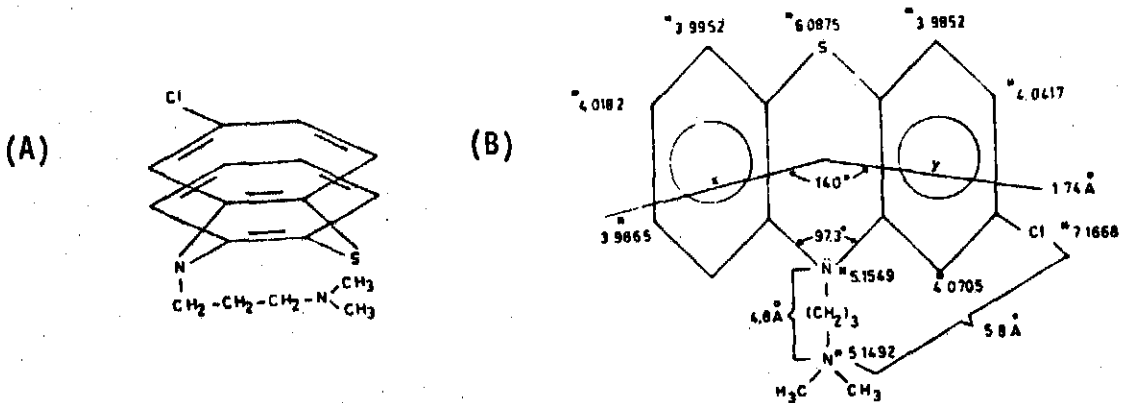
Klorpromazin sulu çözeltilerinde güneş ışığının benzeri etkileri izlenen yakın ultraviyole bölge ışınması ile ( $\lambda_{\text{mak.}}=366$  nm. dalga boyu) oluşan fotokimyasal reaksiyonlar ve enerji aktarım olayları tez konusu olarak seçilmiştir. Yapısında kükürt ve azot gibi heteroatom içeren klorpromazin'in yeterli enerjiyle aktivasyonu, sistemler arası geçisi hızlandırır, triplet elektron yoğunluğunu arttırarak ikincil olayları ve reaksiyonları harekete geçirir. Ultraviyole ve görünür bölge spektrumlarından da görülebileceği gibi (Şekil 2.01.) klorpromazin  $\pi - \pi^*$  geçisi 256nm. ve  $n - \pi^*$  geçisi ise 310 nm. dalga boyunda aktivé edilebilir (71). Benzeri aktivasyonla zayıf asidik ve nötral çözeltilerinde 460 nm. de floresans verirken, bilinen hiçbir fosforesansı yoktur.

Genellikle enerji aktarım mekanizması fenotiyazin ana halkasına özgü konsantrasyona bağımlı olup farklı oluşumlar göstermektedir. Seyreltik çözeltilerinde geçerli mekanizmalar derişik çözeltilerinde önemini kaybederek dimerleşme ve polimerleşme gibi oluşumlara kayar. Bu gibi nedenlerle klorpromazin kimyasal özellikleri ; kararlılık sabiti, redoks özelliği, fiziko kimyasal özellikleri ve fotokimyasal özellikleri incelenerek, bazı literatür çalışmalarının ve bilgilerinin özetlenmesi gereklidir.

### 1.5.1. Klorpromazinin özellikleri

Klorpromazin beyaz-krem renginde kristalize tozdur. Kristal yapısı orthorombik düzende (48) ve ışık kırma indeksi 1.274 - 1.277 dir. X-ışın analizleriyle iki benzen halkası arasında  $139,4^{\circ}$ , C-S-C arasında  $97,3 \pm 0,3^{\circ}$  açı olduğu, C-S bağı  $1.75 \pm 0.01 \text{ \AA}^{\circ}$ , C-Cl bağı  $1.74 \pm 0.01 \text{ \AA}^{\circ}$  olduğu ve kükürt atomu/döşörüngelerinin elektron ilişkisine katıldığı gösterilmiştir (49).

Kaufman (1972)tarafından komputerle yapılan 110 elektronun yapı içerisindeki atomlar üzerinde yoğunluğuna ilişkin nümerik sonuçlara örnek değerler (50) ve klorpromazin hidroklorür tuzunun Gordon'a göre (51) uzaydaki "kelebek - görünümü" ile, bazı yayınlardan (52,53) alınan veriler Şekil 1.04 de özetlenmeye çalışıldı.



ŞEKİL 1.04. Klorpromazinin uzaydaki "kelebek. görünümü" (A) ve bazı moleküller özellikleri (B). x ve y iki benzen halkası düzlemi,  $\text{\AA}^{\circ}$  angstrom bağı mesafesini, \* ise elektron yoğunluğunu ifade etmektedir.

Klorpromazin kristallerinin hidroklorür tuzu takiben bir gramı 1.0 ml. suda, 1.5 ml. alkolde, 1.5 ml kloroformda çözünür (54) ve erime noktası  $195-198^{\circ}\text{C}$  dir. Sudaki % 5 lik çözeltisinin pH'sı 4-5 arasındadır.  $100^{\circ}\text{C}$  da sabit ağırlığa gelinceye kadar kuru tulan hidroklorür tuzunun,  $\text{C}_{17}\text{H}_{19}\text{ClN}_2\text{S.HCl}$ , molekül ağırlığı 355.33 dür.

Klorpromazin hidroklorürün sulu çözeltisine NaOH ilave edilerek bazikleştirilirse berrak kolloidal oluşum görülür. Kolloidal konsantrasyondaki artış, azalan yapısal bozunma (dekompozisyon) sonucu klorpromazin kararlılığını artıran ve foto hassasiyetini zayıflatın misel oluşumu gösterir (55). Çözeltideki konsantrasyon fonksiyonlarına bağımlı olmayan bu misel kolloidlerin oluşumu ortama NaCl ilavesiyle hızlandırılabilir ve yapısal kararlılık daha da arttırılabilir. I. Karl (1974) oluşan miselin molekül ağırlığını % 2 lik NaCl konsantrasyonunda 5900, % 2.5 lik NaCl konsantrasyonunda ise 38500 olarak bulmuştur (55).

H.A.Beckett (1974) klorpromazin molekülünün  $\text{pK}_a$  değerini 305 nm. deki spektral bandını kullanarak 9.3 olarak belirlemiştir (56) ve bu değer potansiyometrik titrasyon deneyleriyle elde edilen önceki bulgulara uymaktadır (57,58) Aynı çalışmada klorpromazin sülfoksit  $\text{pK}_a$  değerleri 7.2, 9.3, N.-O için 4.7 ve N - S- oksit içinse 4.7, 7.0 olarak saptanmıştır.

D.L.Sorby (1965) sulu ortamda kaolin, talk ve aktif kömür üzerine adsorbe olan klorpromazinin  $\text{pK}_a$  değerini 9.21 olarak hesaplarken yapının 256 nm. deki ultikeye spektral bandının değerlendirilmesinde üç noktalı

spektrometrik düzeltme yöntemi geliştirmiştir (64,76) ve bu tez çalışmasında da benzeri düzeltme yöntemi (bölüm 2.1.4.) uygulanmıştır.

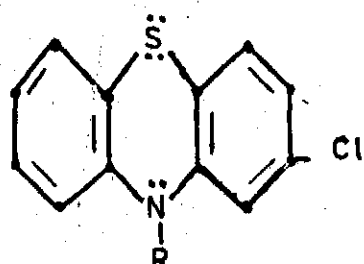
A.Fulton (1968) elektron donörü klorpromazinle, elektron akseptörü tetrasiyanoethilen, chloranil, bromanil ve p-benzokinon gibi yapılar arasında geçiş kompleksleri olduğunu göstermiş ve yük transfer spektrumlarını kullanarak perturbasyon yöntemiyle alıcı verici moleküller arasındaki elektron aktarım enerjilerini hesaplamıştır. Klorpromazin için bulunan iyonizasyon enerjisi  $7.38 \pm 0.13$  eV.tur (80).

Yapı üzerinde 1968 senesine kadar nesredilmiş tayin ve analiz yöntemlerini içeren kapsamlı bir derleme (20) ve ultraviole, infrared, kütle, nükleer magnetik resonans spektroskopik özelliklerini içeren literatür çalışmalar (77,78,79) mevcuttur.

Orloff ve Fitts (1961) moleküler orbital hesaplamalarla yapının fenotiyazin, leyko metilen mavisi gibi temel enerji düzeylerinde delokalize elektronlarla bağ yapısına ancak kükürt atomu "d" yörüngeleriyle katıldığını gösterdiler(61). Gußmann ve Netschey (1961) ise yapının  $32^{\circ}$  C da yarı iletken davranışını belirlediler (63).

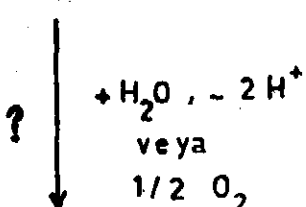
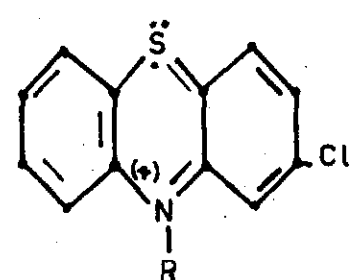
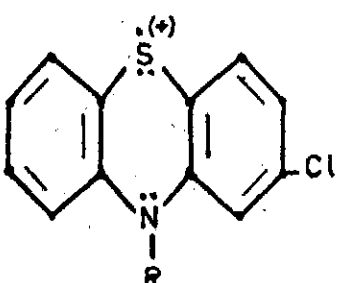
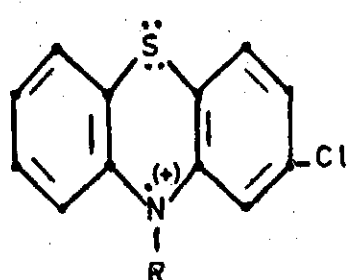
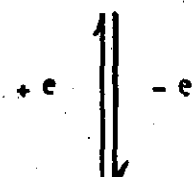
İndirgenmiş veya leyko sekliyle renksiz olan klorpromazin, tek elektronlu yükseltgenmeyle radikal oluşum, daha ileri derecede yükseltgenmeyle sülfovosit oluşumu gösterir (59,60,62,65). Seyretilik nötral ve zayıf asidik (pH 1-6) ortamda yapılan kimyasal oksidasyonun ilk basamağında bir elektron kaybeden yapı, kırmızı, gül kurusu renklenirken ışık absorpsiyonu ultraviole bölgeden görünür bölgeye kayar ve yükseltgenme sonucu klorpromazin benzonoid halka yapısı, renkli radikalde kinoid halka yapısına dönüşerek rezonansın bолжulmasına neden olur (47).

D.C.Borg (1962) bazı metal iyonlarıyla klorpromazin oksidasyonu sonucunda beliren kırmızı renkli kromoforu, ultraviole ve görünür bölge spektrumları, oksidemetric titrasyonlar ve esr spektroskopik çalışmalarla semikinon radikalı olarak tanımlamışdır (65). Semikinon radikalının üç resonans şekli vardır ve kuvvetli asidik çözeltilerde kararlılığı artar. Aşağıda verilen bu tersinir oksidasyon reaksiyonunun N.H.Elektroduna karşı ölçülen standart potansiyeli diğer tiyazinlere kıyasla daha yüksek ve 0.863 voltdur.

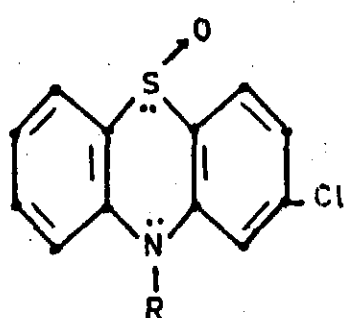


Klorpromazin (renksiz)

(R =  $\text{CH}_2\text{CH}_2\text{CH}_2\text{N}(\text{CH}_3)_2\text{HCl}$ )



Klorpromazin Semikinon serbest radikal rezonans şekilleri  
(kırmızı-gül kurusu)



Klorpromazin Sulfoksiđ (renksiz)

$\text{Ce}^{+4}/\text{Ce}^{+3}$ ,  $\text{Fe}^{+3}/\text{Fe}^{+2}$ , anyon  $\text{S}_2\text{O}_8^{2-}/\text{SO}_4^{=}$ ,  $\text{MnO}_4^-/\text{Mn}^{++}$  gibi

yükseltgen ajanlarla yapılan klorpromazinin potansiyometrik titrasyonlarında semikinon radikalı oluşturulabilir (65). Tek elektronlu yükseltgenme reaksiyonunda ekimolar miktarda oksitleyici ajan kullanılırsa klorpromazin tümüne yakın tüketilebilir ve bu şekilde oluşturulan radikalik semikinon kromoforunun karakteristik spektral bandları 530 ve 274 nm olarak bulunmuştur.

Sülfürik asitli veya fosforik asitli çözeltilerde, düşük konstras-tında metilen mavisiyle birlikte demir (II), askorbik asid veya hidrokinon gibi yapıların seryum (IV) ile titrasyonunda indikatör olarak da kullanılabilir(59).

Aynı kromogenik reaksiyon katalizör veya peroksidaz varlığında  $\text{H}_2\text{O}_2$  ile de gerçekleşir (66), ancak fazlasının ilavesiyle bir sonraki yükseltgenme safhasında semikinon radikaline özgü rengin kaybolarak çözeltinin renksizleştiği ve sülfoksit oluştuğu gösterilmiştir. Sülfoksit yapısına katılan oksijenin, su molekülünden veya ortamda mevcud moleküller oksijenden menşeilendiği görüşü tartışma konusudur.

Ekimolar Mn (II) ilavesiyle yükseltgenme verimi % 10 olmasına karşılık aynı titrasyon oksijeni uzaklaştırılmış ortamda tekrarlanırsa verim % 5 e düşmektedir. Oksijenli ortamda ise, % 80 asetik asid içerisinde hazırlanan bromlu suyla yapılan oksidasyon (65) ve J.E.Wallace sin (1971) tariflediği gibi % 20 tersiyer butanol içeren hekzan çözeltisinde Ce (IV) ile yapılan oksidasyon (81) deneylerinde de ultraviolet ve infrared spektromlarının sülfoksit türev oluşumu gösteridine degniilmektedir ve daha şiddetli yükseltgenmenin sulfon benzeri yapı sentez ettiği belirtilmiştir.

$\text{Fe}^{+3}/\text{Fe}^{+2}$  sistemiyle yapılan potansiyometrik titrasyonlarda çözeltiye titrasyon öncesi veya sonrası ilave edilen etilendiamintetra asid (EDTA) ile, primer oksidasyon reaksiyonunun çift yönlü veya tersinir olduğu kanıtlanmıştır (65):



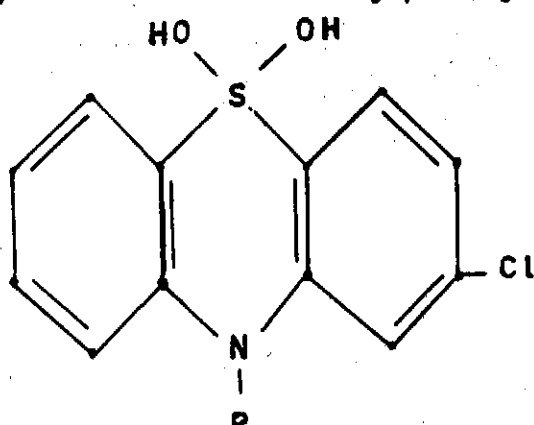
EDTA ile yapılan diğer çalışmalarla, semikinon radikaline ilave edilen Ce (IV) fazlarıyla sülfovits oluşumunun tersinmez reaksiyonla vuku bulduğu da gösterilmiştir (65). Potansiyometrik titrasyon eğrilerinde belirgin sapmalar, semikinon radikaline özgü 530 nm. deki optik ekstinksyon katşayısının artan konsantrasyona karşı belirli eşik değerinin üzerinde hızla azalması, kritik konsantrasyonu  $10^{-4}$  ve  $10^{-3}$  M. arasında olan dimerleşmeye düşündürmüştür. Bu çeşit dimerleşme veya 8-10 molekül içeren polimerleşme klorpromazin gibi diğer tiyazin boyar maddeleri için de mevcut (2,67) karakteristik özelliklidir. Clark formülü kullanarak hesaplanan (65) dimerleşme sabiti klorpromazin için  $10^4$  olarak bulunmuştur. Ultraviole spektrumundaki 256 nm. deki bandın  $10^{-6}$  M ile  $10^{-2}$  M: konsantrasyonlar arasında Beer kanununa uyması, dimerleşme olmadığı veya mevcud dimerleşmenin yapı enerji seviyelerini etkilemediği şeklinde tartışmalara yol açmışdır (65).

Bernard G., biologik dokularda birikebilen klorpromazin tayininde, konsantr  $\text{H}_2\text{SO}_4$  içeren ortam, Fe (III)/Fe (II) sistemiyle oksidasyon titrasyonu kullanarak 530 nm. deki semikinon radikal oluşumunu izlemiştir (68).

H.F.Martin (1963) polarografik yöntemle takip ettiği oksijenin indirgenme pikinin, klorpromazin ilavesiyle daha katodik potansiyellere kaydığını göstermiştir (69) ve bulgular muhtemel geçiş kompleksinin oluştuğunu: klorpromazin ilavesiyle oksijen indirgenme potansiyelindeki kayma -0.33 volt ve klorpromazin sülfovits ilavesiyle -0.23 voltur, spektral Hammett  $\phi$ . p değerleriyle korele elidiğinde ise kompleks bağ yapısının  $\pi$  bağı değil,  $\sigma$  bağı olduğunu kanıtlar mahiyettedir. Azot gazı geçirilmesiyle

tüm indirgen dalgalar söñüme uğramaktadır.

T.S.Forrest (1964) kimyasal veya elektrokimyasal oksidasyonla yükseltgenen klorpromazin molekülünün renkli radikalden sülfoxit veya sulfon son ürününge geçerken muhtemelen klorpromazin tonyum hidroksid (III) yapısına benzer ara geçiş kompleksi oluşturduğuna deðinmektedirler (70). Teklif edilen bu ara yapı aşağıda verilmektedir:



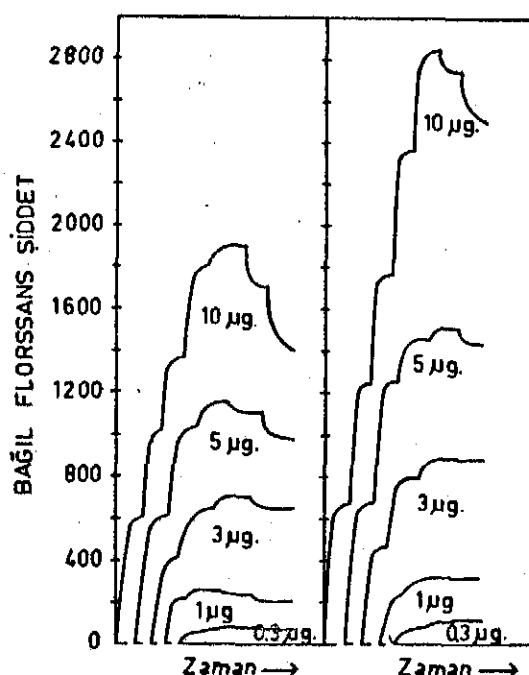
(III) Klorpromazin-Tonyum  
Hidroksid

$$R = (\text{CH}_2)_3 \text{N}(\text{CH}_3)_2$$

J.B.Ragland (1964) klorpromazin ve 31 farklı fenotiyazin yapısının aktivasyon ve floresans spektrumlarını inceleyerek, pH 2 ile 12 arasında tamponlu ve sulu çözeltilerinde hidrogen peroksid oksidasyonu sonrası floresansın 380 nm. de şiddetlendiğini gösterdi ve aynı yöntemi kullanarak idrar ve diğer biologik örneklemelerde nanogram mertebesinde hassas tayinlerin yapılabileceğini kanıtladı. Yükseltgenmiş klorpromazin floresans dalga boyunda kayma ve pH azaldıkça bağıl şiddetinde de artma görüldü (71.75).

	Aktivasyon Dalga boyu (mak.,nm)		Floresans Dalga boyu (mak.,nm)	
	yük.öncesi	yük.sonrası	yük.öncesi	yük.sonrası
Klorpromazin	325	340	456	380
Klorpromazin Sülfoxit	350	340	385	380
Promazin	320	340	450	375

1964 senesinde T.J.Mellinger ve C.E.Keeler tarafından yapılan iki ayrı çalışmada da (73,74)  $0.01\text{ N H}_2\text{SO}_4$  çözeltisinde klorpromazinin, permaganatla yükseltgenmesinden sonra madde konsantrasyonu ile orantılı 380 nm dalga boyunda floresans ışımı yaptığı gösterildi ve bu oluşum (Şekil 1.05) sülfovksit sentezine delil olarak sunuldu.

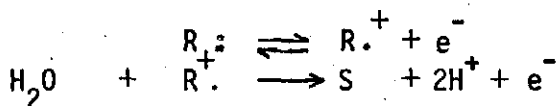


Şekil 1.05. Oksidleyici ajan olarak potasyum permaganatının kullandığı klorpromazin fluoresans titrasyonu.  $0.3-10\text{ }\mu\text{g/ml}$ .

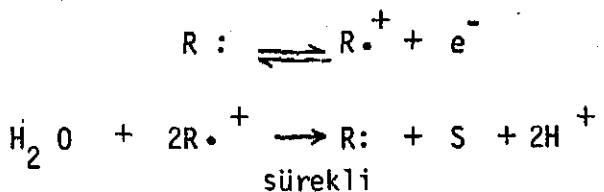
$0.01\text{ N H}_2\text{SO}_4$  klorpromazin titrasyonunda, aktivasyon dalga boyu 340 nm ve fluoresans dalga boyu 380 nm dir. Titrant ilave süresi 1-2 dk.dır. Seyrelme hatası düzeltilmiş (sağda) ve düzeltmemiş (solda) okumalar verilmektedir.

F.H.Merkle ve C.A. Discher (1964) klorpromazinin elektrokimya-sal oksidasyonunda ortam asidliğine bağlı iki farklı mekanizmanın geçerli olduğunu voltametrik, polarografik ve potansiyel kontrollu elektrolit çalışmalarıyla gösterdiler (72). İleri sürdürükleri mekanizmalar şu şekildedir:

12 N H<sub>2</sub> SO<sub>4</sub> çözeltisinde:



1 N H<sub>2</sub> SO<sub>4</sub> çözeltisinde:



R : Klorpromazin

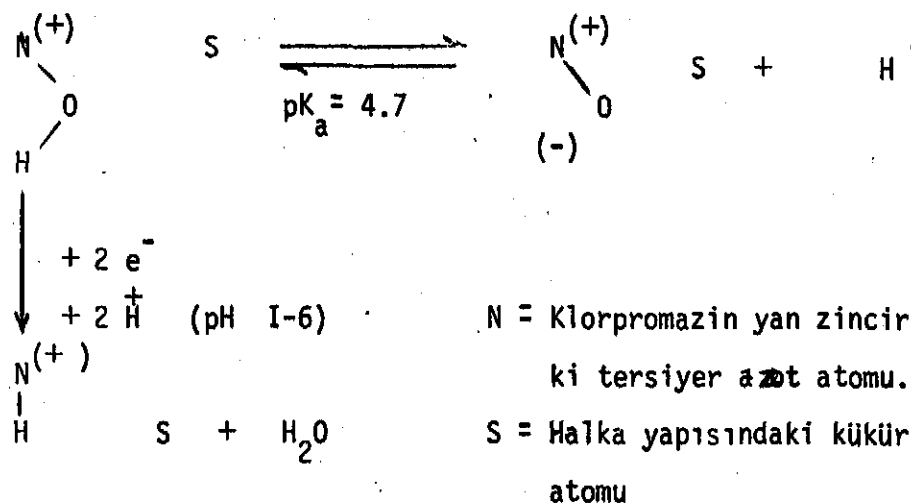
R<sup>·+</sup> : Klorpromazin semikinon radikalı

S : Klorpromazin Sülfoksit

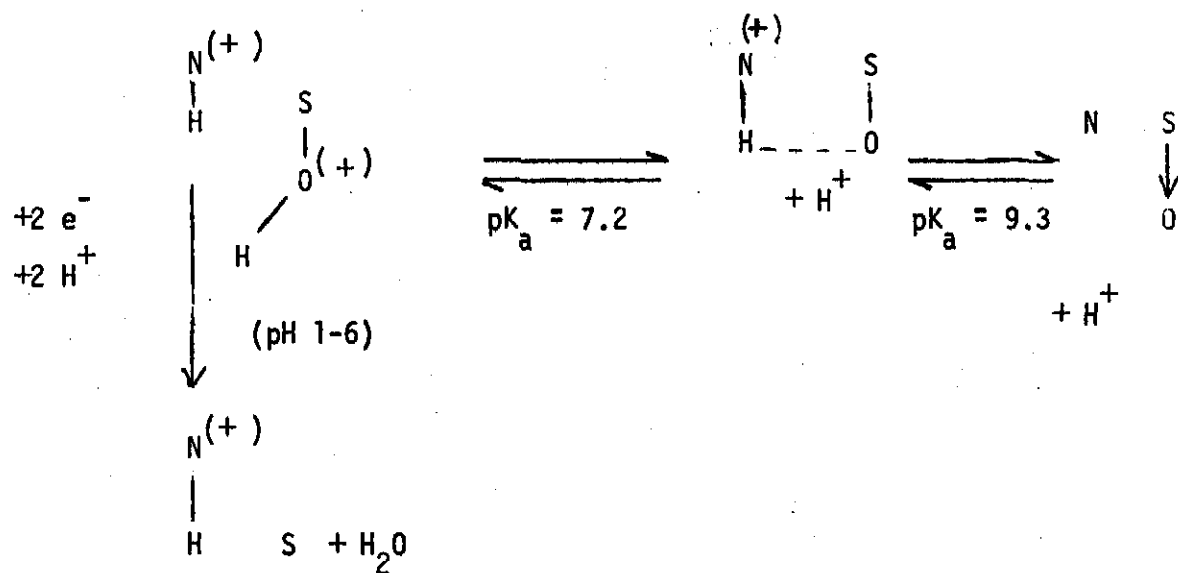
E. Pungor (1971) referans Ag/AgCl elektrodu ve silikon kauçuk tabanlı grafit elektrodu kullanarak çeşitli fenotiyazinlerin -0.5 ile 1.5 volt arasında voltametrik davranışlarını inceledi (82). %2 lik HCl ve 0.1 M KCl içeren  $10^{-3}$  -  $10^{-4}$  M. klorpromazinin 0.8 volt da 338  $\mu\text{Amp}$   $\text{Ait/mol}$  akım sabitiyle yükseltgendigini göstermiştir. A.G. Dumortier (1972) nitratlandırma işlemleriyle fenotiyazin halkasında 3 ve 7 nolu karbon atomlarına iki nitro grubu bağlayarak normal ve ac polarografik yöntemlerle total 12 elektronlu iki indirgenme dalgası kaydederek değişik bir tayin metodu geliştirmiştir (83).

H.A. Beckett (1974), klorpromazin oksit türevlerinin elektroindirgenme mekanizmaları üzerindeki bulgularını şu şekilde özetlemektedir (56) :

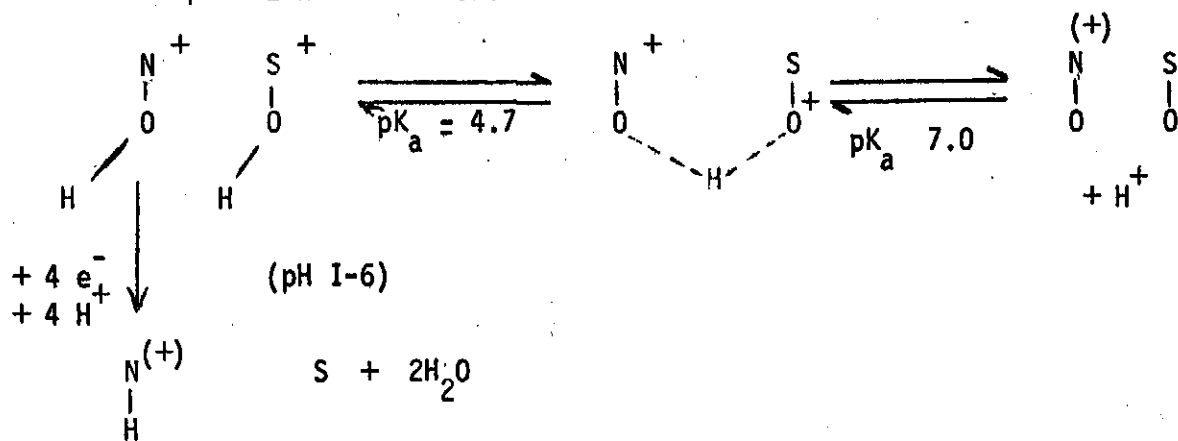
### Klorpromazin N-oksit



### Klorpromazin sülfovksit



### Klorpromazin N-S-oksit



Buraya kadar klorpromazinin çeşitli özellikleri üzerine yapılan çalışmalar özetlendi. Çalışmamızda klorpromazin foto oksidasyonu incelenceği için daha önce yapılmış olan literatür araştırmaları, en önemli kısmı kapsar.

Klorpromazinin sulu çözeltilerinde tek elektronlu yükseltgenme ürünü olan renkli semikinon radikalının metastabil olduğu ve karanlıkta bekletilirse klasik sönüm reaksiyonlarıyla (dismütasyon) parçalandığı ancak ultraviyole ışımının yanında sönümü gerçekleştirdiği bilinmektedir. (65, 84, 85). Karanlıktaki sönüm reaksiyonunda iki radikal molekül serbest elektronları çiftleşerek o şekilde etkileşir ki bir molekül yükseltgenirken, diğer molekül elektronunu alarak indirgenir:

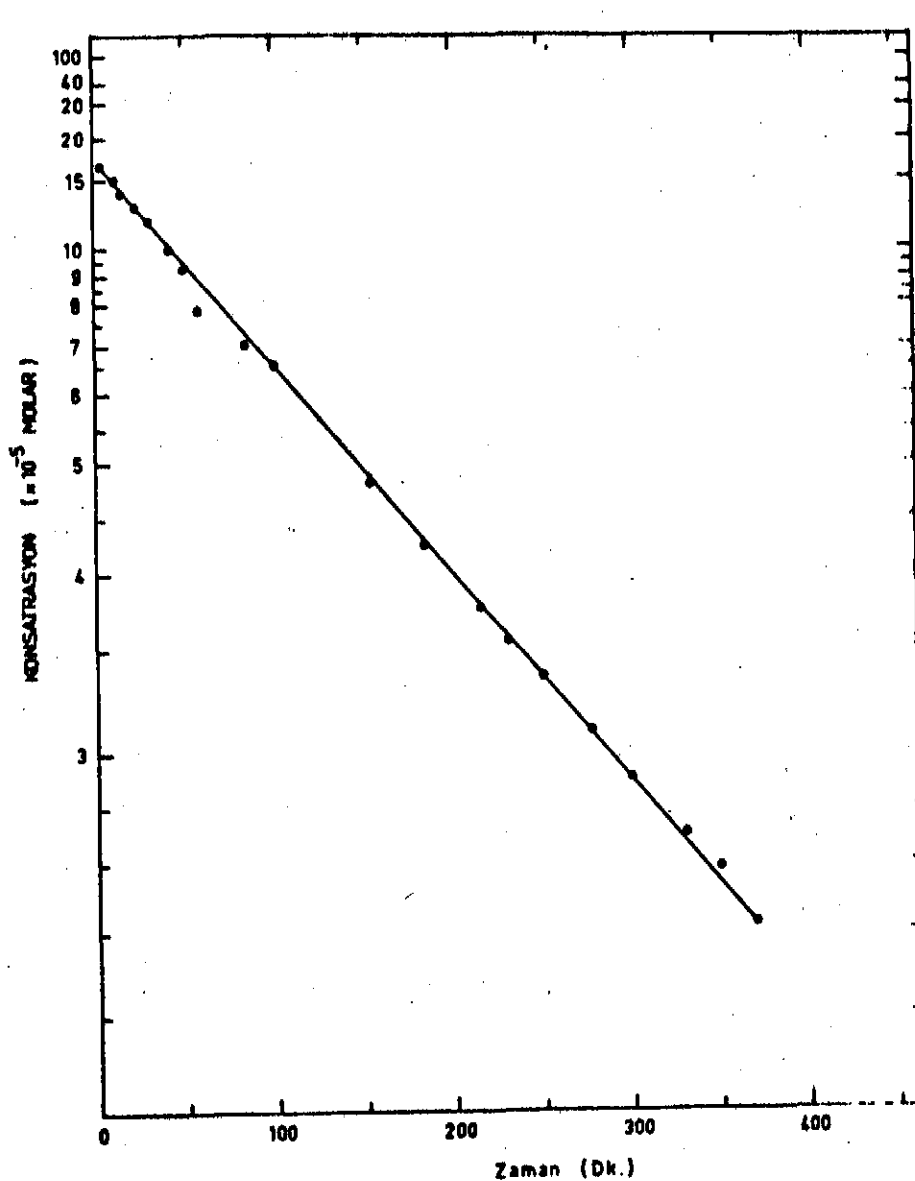


$R \cdot^+$  = Klorpromazin semikinon radikali,

$R :$  = Klorpromazin,

$R^{++}$  = Fenazotionyum iyonu .

Klorpromazin semikinon radikalının karanlıktaki sönüm reaksiyonu 530 mm. deki spektral bandının takibi ile değerlendirildiğinde, reaksiyonun ikinci derece kinetikle seyrettiği de gösterilmiştir (65). 0.01 M klorpromazin ve 0.01 N  $MnCl_2$  eşdeğer hacimlerde hazırlanarak,  $22^{\circ}C$  da karanlıkta bekletilirse ve zamana karşı 530 nm. dalga boyundaki optik yoğunluğu takip edilirse, Şekil 1.06 ile verilen azalma korelasyon doğrusu çizilebilir.



Şekil I.06. Klorpromazin semikinon radikalının zamana karşı karanlıktaki sönüm hızı. Radikalın 530 nm, deki molar ekstinksyon katısayısı,  $\epsilon_M = 7800$  olarak kabul edilmiştir (65)

Kuvvetli asidik çözeltilerde semikinon radikalının karanlıkta sönüm hızı yavaşlar ( $> 1 \text{ N H}_2\text{SO}_4$ ) ve asitlik daha da arttırılırsa ( $> 6 \text{ N H}_2\text{SO}_4$ ) reaksiyon durur (86,87), radikal kararlı kalır.

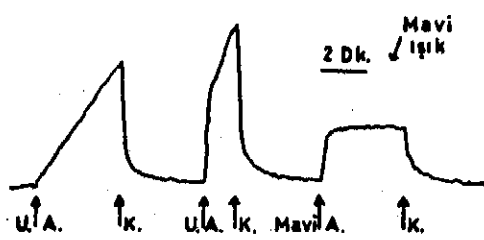
Yüksek güçte hidrojen ark lambası kullanarak yapılan ultraviyole ışınmalarda, semikinon radikalının 270 nm deki monokromatik ışımıyla hızla tüketildiği ancak 256 veya 290 nm. monokromatik ışınmalarla veya pik dalga boyu 530 nm olan görünür ışıkla yapılan ışınmalarla etkilenmediği, radikal sönmünün hızlanmadığı görülmüşdür (88).

Klorpromazin ışık hassasiyeti üzerinde çalışan ilk araştırmacılar Forrest ve arkadaşlarıdır (1958). Seyreltik sulu ilaç çözeltilerinde güneş lambası kullanarak üç saat ışına yaptıklarında görünür ve ultraviyole spektrumları ana yapının aynı olan renksiz radikalik oluşumlardan söz ederler. Konsantre HCl çözeltisiyle deneyler tekrarlandığı zaman asidik çözeltide ve karanlıkta kararlı, elektron spin resonans (ESR) sinyali g değeri 2 ve 16-23 gauss genliğinde serbest elektron ve koyu mavi renk oluşumu tanımlanmışlardır (89).

Borg ve Cotzias (1962) ışına deneylerinde Hanovia tipi (maksimum şiddet ve dalgaboyu belirtilmemiş) ultraviyole lamba kullanarak 15 ile 60 saniye ışına sonrası, yapının spektral değişiklikler göstermeksizin,  $\text{Fe}^{+++}$  ve  $\text{Mn}^{++}$  titrasyonlarında farklı reaksiyonlar verdiği değinirler (65) ve  $5 \times 10^{-3}$  M klorpromazin nötral çözeltileri eşdeğer miktarda  $\text{Fe}^{+++}$  ve  $\text{Mn}^{++}$  ile kırmızı renkte semikinon radikal oluşumu verirken, aynı çözeltilerde ışına sonrası titrasyonla oksidasyon derecesine göre sırasıyla ; açık mavi, pembe, gri ve mat sarı renk oluşumları izlenmiştir.

Seri şekilde kaydedilen absorpsiyon spektrumlarında 570-1100 nm. ler arası yaygın bir band ve titrant absorpsiyon maksimumunda 735 nm den 820 nm ye kayma kaydedilmiştir. Aynı deneylerde ışıma süresi en az 4 saatte uzatıldığı zaman, titrasyon yapılmaksızın çözeltilerin sarardığı, 220 nm ile 900 nm arasında kaydedilen spektrumlarında ise herhangi bir maksimum veya minimum vermeyen difüz bir absorpsiyon not edilmiştir. Oluşan foto oksidasyon ürününün 29 gauss genliğinde, ince yapı (fine structure) göstermeyen, çok zayıf ve düzensiz ESR sinyali vardır.

C. Langerantz (1962) klorpromazin çözeltilerini sabit magnetik alan içersine yerleştirerek ışımayla değişen sinyaller kaydetmiştir (90). Fosfat tamponlu pH sı 7.4 olan ilaç numunelerinde 366 nm. dalga boyunda monokromatik ışımayla sıfırdan yükselen ve radikal konsantrasyonuyla orantılı sinyaller, oksijeni azot gazı geçirerek uzaklaştırılmış numunelerde kaybolmaktadır. Oksijenli ortamda yükselen sinyaller ışıma kesidiği anda sıfıra düşmekte ve ışıma tekrarında yine yükselmektedir. Klorpromazin foto oksidasyon ürünü olan açık sarı renkli oluşumdan, ışıma öncesi tesirsiz görünür mavi ışıkla (434.8 nm.) sinyal elde edilemezken, ışıma sonrası radikal varlığını düşündürücü sinyaller alınmıştır. Bu ilgi çekici etkiler şekil I.07 de verilmiştir.



Şekil I.07. 0.1 M klorpromazinin pH = 7.4 fosfat tamponlu çözeltilerinde ışıma etkisiyle radikal oluşumlar. (A) ışıma başlangıcını, (K) ise ışıma sonunu göstermektedir.

C.Langercantz, deneylerinin tartışmasında serbest radikal oluşumuna hız veren elektron aktarımının alıcı ve verici yapılar arasında oluşan bir kompleks yapıdan yürelyebileceğini ve ışıma enerjisini absorplayan verici molekül klorpromazin ile oksijenli ortamda oluşan sarı renkli oluşumun bu kompleks yapısına katılarak sensitör olarak davranışlığını ifade etmektedir.

Chien Li Huang (1962) sulu klorpromazin çözeltisinde 256 nm. monokromatik ışımayla, yirmidört saat ışıma süresi sonunda 12 değişik foto ürünü ince tabaka kromatografik yöntemle izole etmiş ve sadece sül-

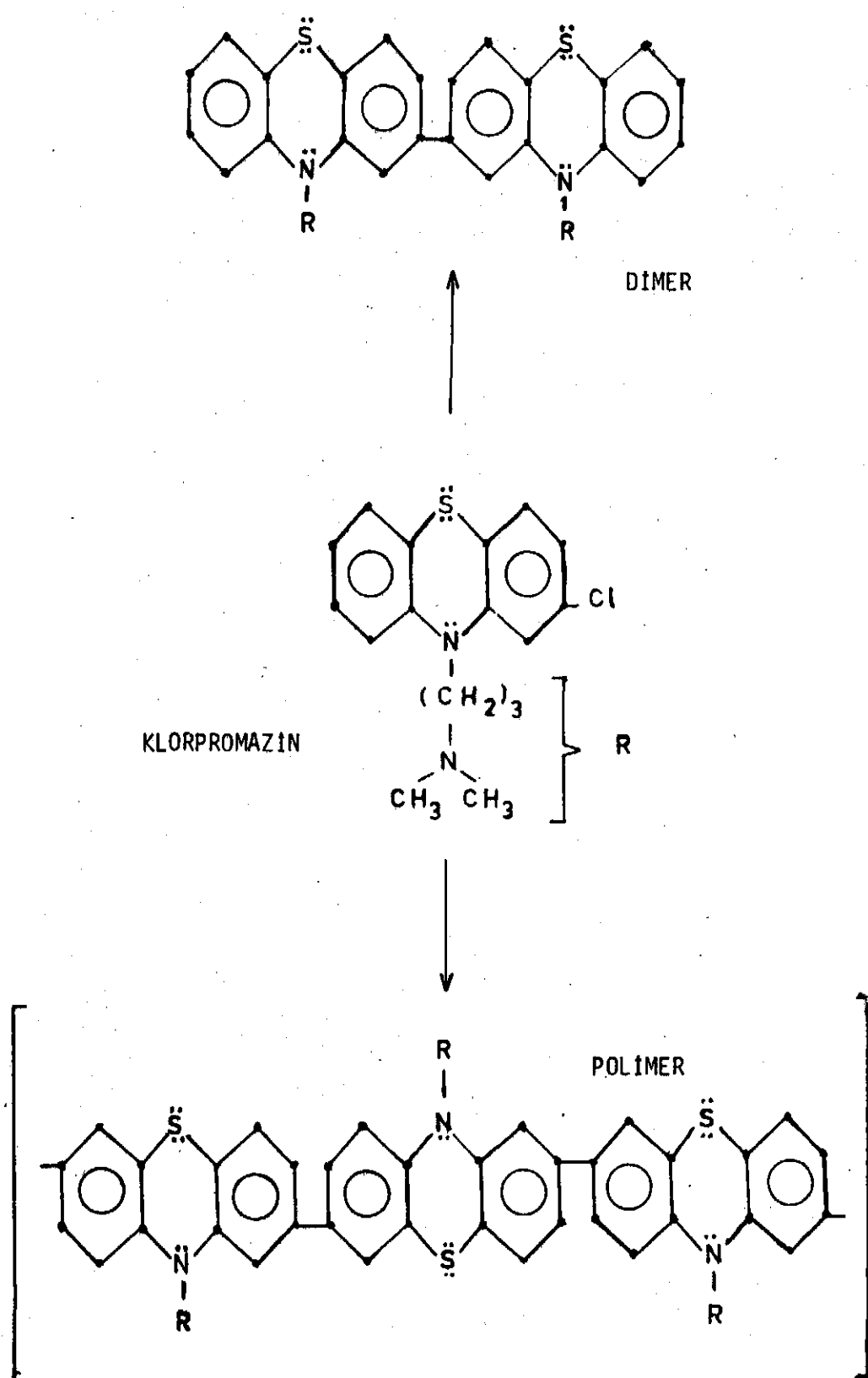
foksit türevini tanımlayabilmistiir (91).

A. Felmeister (1964) klorpromazin foto oksidasyonunu iki ayrı grup deneylerle calismisdir (10). ilk grup mikro ışima deneylerinde 10 mm Beckmann kuvars hücreler kullanarak,  $10^{-5}$  M klorpromazin konsantrasyonunda ve pH'sı 1.5 ile 7.2 arasında degisen çözeltilerde, 253.5 nm monokromatik ışimanın etkilerini arastirmistir. Klorpromazinin normal hava doygun çözeltilerinde bozunma kuvantali verimi, ortalama  $0.18 \pm 0.02$  olarak bulunmustur ve ışima sonrası renksiz çözeltide sülfovksit oluşumu kanıtlanmisdir. Ancak ikinci grup makro ışima deneylerinde,  $10^{-2}$  M klorpromazin konsantrasyonu ve yirmi saatte varan uzun süreli 360-370 nm. ler arası polikromatik ışimalar denenmiştir. ışima süresince nötral klorpromazin çözelti pH'sı azalırken, karakteristik sarı kahverengi oluşum izlenmişdir. Moleküller yapısının ne olduğu bilinmeyen bu foto ürünün izolasyonu da yapılamamıştır.

G.L.Huang ve F.L.Sands (1967), 256 nm dalga boyunda ultraviyole ışimaya klorpromazin foto oksidasyonunun sülfovksit oluşumu gösterdiği ni ancak mutlak oksijensiz ortamda mekanizmanın dimerleşme ve polimerleşmeyi hızlandırdığını göstermişlerdir (40,91). Aktivasyon enerjisi ana halkadaki  $\pi - \pi^*$  geçisini uyarmaktadir ve 2 nolu karbona bağlı klor atomu oksijensiz ortamda koparak karbonyum iyonu oluşmakta, diğer bir klorpromazin molekülünün 7 nolu karbon atomuna ; 10 nolu pozisyondaki azot atomunun orto, para yönelticisi etkisiyle, yüksek elektron yoğun-

luğundaki yapılarla bağ kurabılır veya 2 nolu karbon atomuna bağlanarak, 2-2 veya 2-7 bağlanmasıyla dimer veya polimer oluşumlar gösterir.

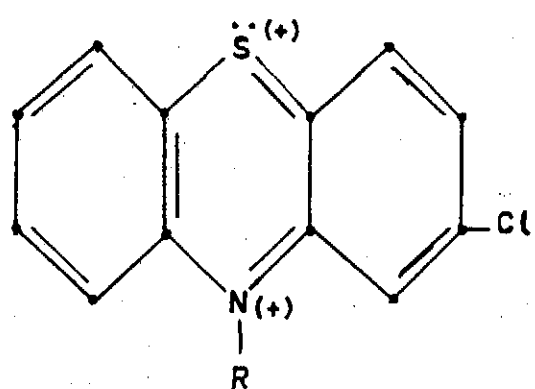
Mutlak oksijensiz ortamda öngörülen mekanizma aşağıda verilmektedir :



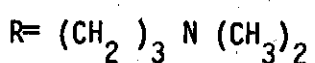
Teiki Twaoka (1974), sulu ve ethanollü klorpromazin çözeltile-rinde, 253.7 nm monokromatik ışımıyla fotokimyasal oksidasyon mekanizması üzerinde çalışmışdır.  $1.4 \times 10^{-5}$  M nötral sulu klorpromazin çözeltisinde ışınma süresince takip edilen 256 nm. deki aktivasyonun değerlendirilmesiyle kuantal verim oksijenli ve oksijensiz ortamda aynı ve  $5.6 \times 10^{-2}$  olarak, susuz ethanollü çözeltilerinde ise  $2.7 \times 10^{-3}$  olarak bulunmuştur. Çözücü sistemin mekanizmayı etkilediği ve foto ürünün aktif ara ürünlerde hidrolize uğradığı kabul edilmektedir (92). Mutlak oksijensiz ortamda sülfovksid oluşumu izlenmemesine rağmen,  $10^{-5}$  M oksijen mevcudiyeti dahi mekanizmayı harekete geçirmektedir. Ancak ethanollü ortamda oksijen mevcudiyetine rağmen sülfovksit oluşmamaktadır. Tüm bulgular klorpromazin foto-oksidasyonu için sulu ve oksijenli ortamın gereklili olduğunu ve aksi halde mekanizmanın farklı oluşumlara yünlüğünü göstermiştir.

Isotop işaretli sulu çözeltide ve eser miktarda  $H_2O^{18}$  içeren etanollu çözeltide kütle spektroskopik foto ürün analizleri, sülfovksid oluşumuna katılan oksijenin çözeltideki moleküler oksijenden menşeilendiğini gösterir mahiyettedir. Ancak bu görüşe direkt yöntemsel ispat bulunamamıştır (92).

Gerek elektrokimyasal ve kimyasal oksidasyonla gerekse foto oksidasyonla sülfoxit oluşumuna ilerleyen mekanizma içerisinde semikinon radikalının aktif fenazotionyum iyonuna dönüşürek (IV) hidrolize uğradığı görüşü de vardır (62,66,86,88).



(IV) Klorpromazin fenazotionyum  
iyonu

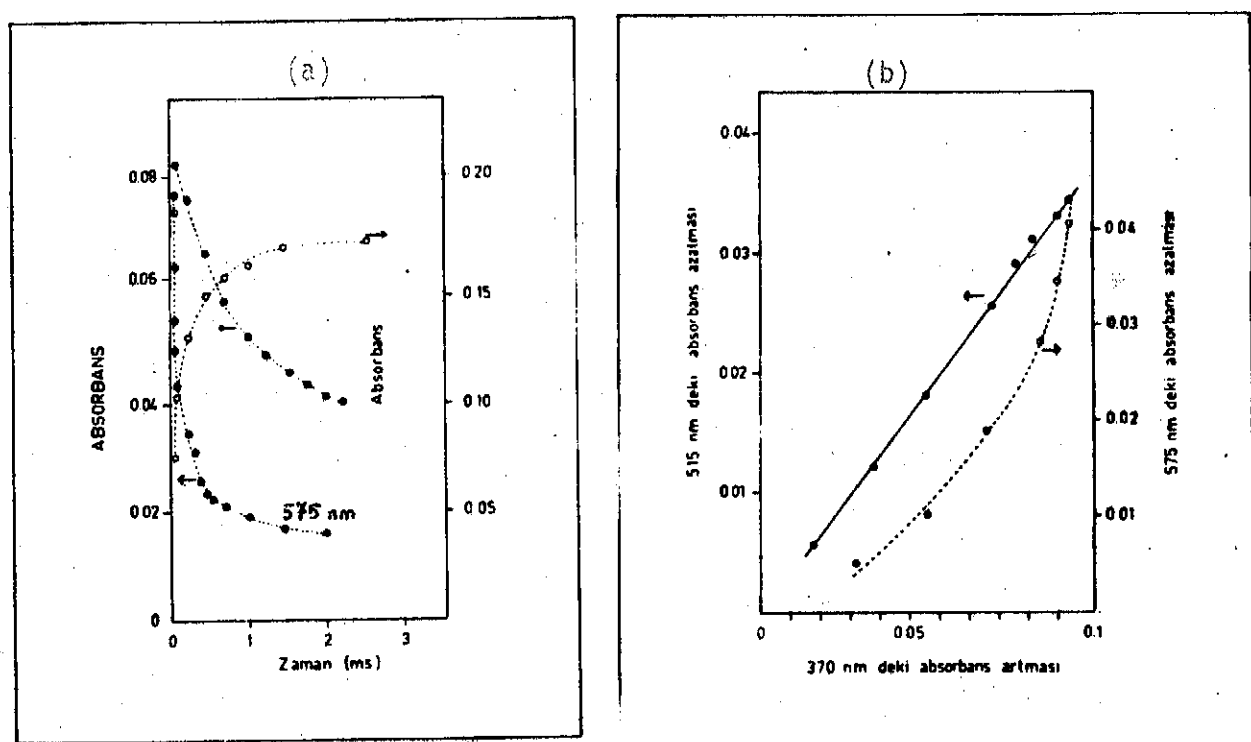


Fotokimyasal ışıma deneylerinde fenazotionyum iyon oluşumuna örnekk gösterilecek hiçbir bulgu olmamasına karşılık, sayfa 45 de verildiği gibi semikinon radikalının karanlıkta ikinci derece kinetikle söküme uğraması ve kuvvetli asidik çözeltilerde alınan ( $6\text{N H}_2\text{SO}_4$  gibi) voltamogramlarda ikinci bir oksidasyon pikinin belirmesi, görüşü destekler mahiyettedir.

Flash fotolitik deneyler özellikle çok kısa ömürlü ara yapıları ve yapının triplet enerji seviyelerini saptamada kullanılan bir yöntemdir (7). Oksijensiz ethanol çözeltilerinde 253.7 nm. de yapılan flash fotolitik deneylerde mili-saniye mertebesinde çok hızlı absorpsiyon spektrumları kaydedilerek 575 nm.de bir ara oluşum ve 480 nm.de klorpromazin triplet absorpsiyonu gösterilmiştir.(93) Klorpromazin triplet enerji sevi-

triplet enerji seviyesi ( $E_T$ )  $60.0 \pm 0.3$  kkal/mol dür.

$2 \times 10^{-5}$  M, pH 4.7 olan oksijen doygun klorpromazin çözeltileriyle tekrarlanan 253.7 nm. deki flash fotolitik çalışmalarında üç ara yapı oluşum : 370 nm., 515 nm., 575 nm. absorpsiyon bandlarında, gösterilmiştir. Absorpsiyon bandı 515 nm. olarak tanımlanan klorpromazin semikinen radikalının ve tanımsız kalan diğer iki ara yapının ışınma süresince absorbansında meydana gelen değişim, Şekil I.08. le verilmektedir (93).



ŞEKİL 1.08. Flash fotolitik ışınma deneylerinde 515, 575, 370 nm lerde absorpsiyon gösteren ara yapıların ışınma süresince absorbanslarındaki değişim.

a: Absorbansın ışınma süresince değişimi. ● : 515 nm, ○ : 575 nm,  
× : 370 nm.

b: 515 (●) nm ve 575 (○) nm deki absorbansın azalmasına karşın,  
370 nm deki absorbansda artış.

253.7 nm deki flash fotolitik deneylerde, semikinon radikal oluşumu ışınmanın ilk 3 milisaniyesinde, 575 nm ile tanımsız yapının oluşumu ise ışınmanın ilk 100 mikro saniyesinde maksimuma erişerek, paralel bir azalma göstermiştir ve ışınmanın devamında bu ara yapı - lardaki söküme karşın 370 nm tanımsız bandda artış görülmüştür. 575 nm deki yapının azalması daha yavaş yükümlüktedir ancak 5 15 nm deki radikal tüketimine korole edilebilecek 370 nm deki ara yapıda doğru - sal bir artış görülmektedir (93). Bulgular klorpromazin foto oksi - dasyonuyla sülfoksit oluşumuna giden kinetik içersinde en az üç ara yapının varlığını kanıtlamaktadır.

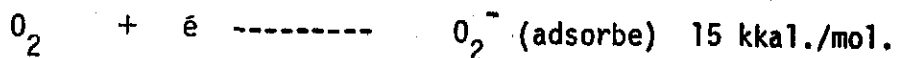
Moleküler oksijenin temel enerji seviyesi tripllettir ve foto - oksidasyon mekanizması içersinde direkt uyarılma ve enerji ak - tarımı varsa, singlet oksijen etkin olabilir. Tetra metil etilen bilinen en iyi singlet oksijen söndürücü ajandır (7) ve klorpromazin çözeltisine ışına öncesi  $3.4 \times 10^{-1}$  M ilâve edilmesine rağmen et - kisiz bulunmuştur (93). Geriye kalan olasılık ise moleküler oksi - jenin alıcı yapı olarak elektron aktarımına katılmasıdır.

### 1.5.2. Bu çalışmanın amacı

Fenotiyazin grubu ilaçlardan biri olan klorpromazinin foto-oksidasyon reaksiyonlarının daha önce yapılan çalışmalarda incelenmiş olduğu literatürden anlaşılmaktadır. Klorpromazin çözeltileri seyreltik veya de-rişik olarak hazırlanmış, ortama yükseltgen ve verici moleküller eklen-miş ve genellikle 256 nm. deki  $\pi - \pi^*$  aktivasyonuyla oksit türevlerinin oluştuğu gösterilmiştir (88-93).

Yapılan ön deneylerde klorpromazinin seyreltik, nötral ve asidik çözeltilerinde yakın ultraviole ışıkla ( $\lambda$  mak. = 366 nm.de) ve güneş ışığıyla, ortama herhangi bir yükseltgen ilave edilmeksizin foto ok-sidasyona uğradığı ve sarı renkle karakterize öncekinden farklı fotourune dönüştüğü izlenmiştir. Burada su veya moleküller oksijenin yükseltgen rolü oynaması olasılığı düşünülmektedir. Kuvvetli asidik çözeltilerde ( $6\text{ N H}_2\text{SO}_4$  gibi), yakın ultraviyole ışımı ile oksijenli ve oksijen-sız ortamda renkli radikalik oluşum izlenmesi, primer olayın çözelti-deki klorpromazin moleküllerinin ışığı absorplaması olduğunu göster-mektedir. Ancak sisteme ışımaya katılan 79 kkal /mol enerjinin, oksi-jen ve sulu ortamda ne şekilde farklı etki gösterdiği ve reaksiyon kinetiği-ni nasıl etkilediği kesin olarak bilinmemektedir.

Tiyazin boyar maddelerinden olan tiyonin ve metilen mavisinin asidik çözeltilerinin görünür bölge ışınmasıyla oksijensiz ortamda tersinir olarak hidrojen peroksid oluşturduğu ve iki foton absorpsiyonu ile indirgendiği gösterilmiştir (47,96). Calvert ve arkadaşları ise yine ışık hassas organik yapıların foto oksidasyonu süresince moleküller oksijenin sulu ortamda iki elektron alarak hidrojen perokside indirdiğini belirtirler (97). İşaretli  $O_2^{18}$  molekülüyle yapılan 310-400 nm. dalgaboyları arasındaki ışınmalarla hidrojen perokside indirgenen oksijenin ortamdaki moleküller oksijenden menseilendiği ve önce ortamdağı sensitizer organik yapı üzerinde adsorbe olduğu da gösterilmiştir (95). Reaksiyon şu şekildedir:



Standart potansiyeller üzerinden yapılan hesaplamalar (EK - II) klorpromazinin ortamdaki hidrojen peroksidle spontan olarak yükseltgeneğini, buna karşılık moleküller oksijenle oksidasyonu için yeterli serbest enerjinin 80 kkal/mol le ihtiyaç gösterdiğini belirtmektedir. Yakın ultraviyole ( $\lambda=366$  nm ve daha kısa dalga boylarında) ışınmayla sisteme katılan enerji bu uyarım için yeterlidir.

Yapılacak olan çalışmada amac, seyreltik klorpromazin çözelti lerinin foto-oksidasyon mekanizmasında belirgin olmayan noktaları

açıklayabilmektedir. İkinci amaç da, klorpromazin foto oksidasyonundaki enerji aktarımının oynadığı rolü ve moleküler oksijenle suyun mekanizmaya olan etkilerini saptayabilmektedir. Klorpromazin foto oksidasyonu, ultraviyole, görünür bölge ve floresans spektrumlarıyla takip edilerek, elektro-oksidasyon voltamogramlarından yapının ışınma süresince bozunma kinetiği, ince tabaka kromatografik ve polarografiğik analizlerle de fotourün niteliği araştırıldı. Bu tez çalışmasında amaca yönelik bazı yeni ve literatürde mevcut olmayan yöntemler de denenmiştir. Yakın ultraviyole ışınma süresince anında floresans spektrumlarının kaydedilebildiği veya elektro - oksidasyon voltamogramlarının alınabildiği düzenlemeler, sabit nem miktarı kontrollu yeni bir kromatografik analiz örnekleri arasındadır.

Bütün bunlardan çok daha önemlisi ve çalışmanın amaçlarından birisi de, literatürde direkt olarak hiç bir kanıtlama gösterilmemiş olan moleküler oksijenin foto-oksidasyon mekanizması içerisinde tüketildiğini ispatlayabilmektir. Bu amaçla ışınma süresince kaydedilen polarogramlar ilgi çekici sonuçlar vermiş olacaktır.

Fotourün niteliği üzerinde önemli tanımlamalara yardımcı olabileceği düşüncesiyle temin edilmiş olan klorpromazinin dört farklı oksit türevleriyle de benzeri ışınma deneyleri tekrarlanarak, karşılaştırmalı analizleri yapılmıştır.

## 2. DENEYSEL ÇALIŞMA

Deneysel çalışmalarla detaylı olarak girmeden önce, konunun kolay kavranabilmesi için kısa bir özeti vermem yararlı gördüm.

Deneysel çalışmalar iki grupta toplanabilir. Birinci grupta yapısal karakteristiklerin belirlenmesi amacıyla yapılan ön deneyler, ikinci grupta ise ışıma deneyleri yer almaktadır.

Ön deneylerde, klorpromazin ve oksit türevlerinin sulu (pH 0-7 arası) ve asetonitril çözeltilerinin hazırlanışı, ultraviole, görünür bölge ve floresans spektral özelliklerinin tayini, oksidasyon voltamogramlarının kaydedildiği sistemin hazırlanışı, elektro oksidasyon davranışının belirlenmesi, incé tabaka kromatografik analiz yönteminin saptanması, moleküler oksijen, hidrojen peroksid ve klorpromazin oksit türevlerinin tayini için normal ve puls polarografik çalışmalar yapılmış ve ışıma deneylerinde kullanılacak ışık kaynağı, ışık gücü ve ışıma sistemleri saptanmıştır.

İkinci grup deneylerde ise ön deneylerle saptanan özelliklerin ışıma süresince değişimi incelemmiş ve foto ürün analizleri yapılmıştır. Foto oksidasyon süresince spektral değişiklikler belli dalga boylarında takip edilmiş, kuantal verim, r değeri ve klorpromazin tüketim hızı formüller üzerinden hesaplanmış, tüketimine karşı yeni oluşumlar takip edilerek reaksiyon mekanizması, reaksiyon hız ve derecesi

Üzerinde bazı sonuçlara varılmıştır. Elektrokimyasal ve floresans spektral çalışmalarla bu yorumlar desteklenecektir. Foto ürün analizinde, elimizde mevcud klorpromazin sülfovksit, N-oksit, N-S oksit ve sulfon türevleriyle yapılan karşılaştırmalı ışıma deneyleri, kromatografik analizler, nitel sonuçlara varmada çok faydalı olmuştur.

Oksijenli ortamda klorpromazin foto-oksidasyonu, sülfovksit ve benzeri yapıda farklı bir oluşumla sonlanırken, ortamdaki moleküller oksijenin normal polarografik analizlerle tüketimi takip edilmiş ve tüketilen oksijenin hidrojen perokside indirgenebileceği görüşüyle, daha hassas bir yöntem olan puls polarografisiyle hidrojen peroksid analizleri yapılmıştır.

Kuvvetli asidik klorpromazin çözeltilerinde yapılan ışımalarda, elektron spin resonans spektrumları ile radikal oluşumlara ait sinyaller izlenmiş ve semikinon radikali yanısıra 565 nm. de maksimum absorpsiyon gösteren ve dimer veya fenazotionyum iyonu olarak tanımlanabilecek diradikal oluşumlar kaydedilmiştir.

## 2.I. ÖN DENEYLER

### 2.I.1. Madde temini

Deneylerde kullanılan klorpromazin hidroklorür tuzu ( $C_{17}H_{19}ClN_2S \cdot HCl$ ). moleküler ağırlığı (M.A.) = 355.33, % 89.6 baz şeklinde) klorpromazin

sülfoksit ( $C_{17}H_{19}ClN_2SO$ , M.A. = 334.87), klorpromazin sülfon ( $C_{17}H_{19}ClN_2O_2S$ , M.A. = 350.87) klorpromazin N-Oksid maleat ( $C_{17}H_{18}ClN_2OS.C_4H_4O$ , M.A. - 450.93, % 74.2 baz şeklinde) ve klorpromazin N-S oksit ( $C_{17}H_{19}ClN_2OSO.H_2O$ , M.A. = 368.88, % 95.2 baz şeklinde)"Smith Kline - French Laboratories" tarafından temin edilmiştir. Tüm maddelerin % klor, azot ve küküt miktarları, erime noktaları, kristal yapıları ve çözünürlükleri firma tarafından kontrol edilmiş ve saflığı not edilmiştir.

Tüm yapıların ışık hassasiyeti fazla olduğu için ileri bir saflandırma işlemine alınmadan kullanıldı. Klorpromazin ve oksid türevlerinin ince tabaka kromatografik analizlerinde N-S oksid dışında tek leke izole edildi. (Bak. bölüm 2.1.5.)

#### 2.I.2. Klorpromazin Çözeltilerinin hazırlanması

Klorpromazin hidroklorür ve diğer türevleri nötral suda pratik olarak çözünmez. Zayıf asidik çözeltilerde ise çözünürlüğü yüksektir. Çözmek için iletkenliği 1 umho olan üç kere damıtılmış ve reçineden geçirilmiş suyla hazırlanan, PH'sı 1.5 olarak ayarlanan HCl çözücüsü kullanıldı. Kuvvetli asidik ortamda yapılacak deneyler için 2N HCl, 1N  $H_2SO_4$ , 12N  $H_2SO_4$  çözücüleri kullanıldı. Kullanılan asitler proanalizdir. Nötral ve zayıf asidik klorpromazin çözeltileri, pH'sı 3 veya 5 olacak olacak şekilde ortalama 0.1 N NaOH eklemelerle ayarlandı. Çözeltiler

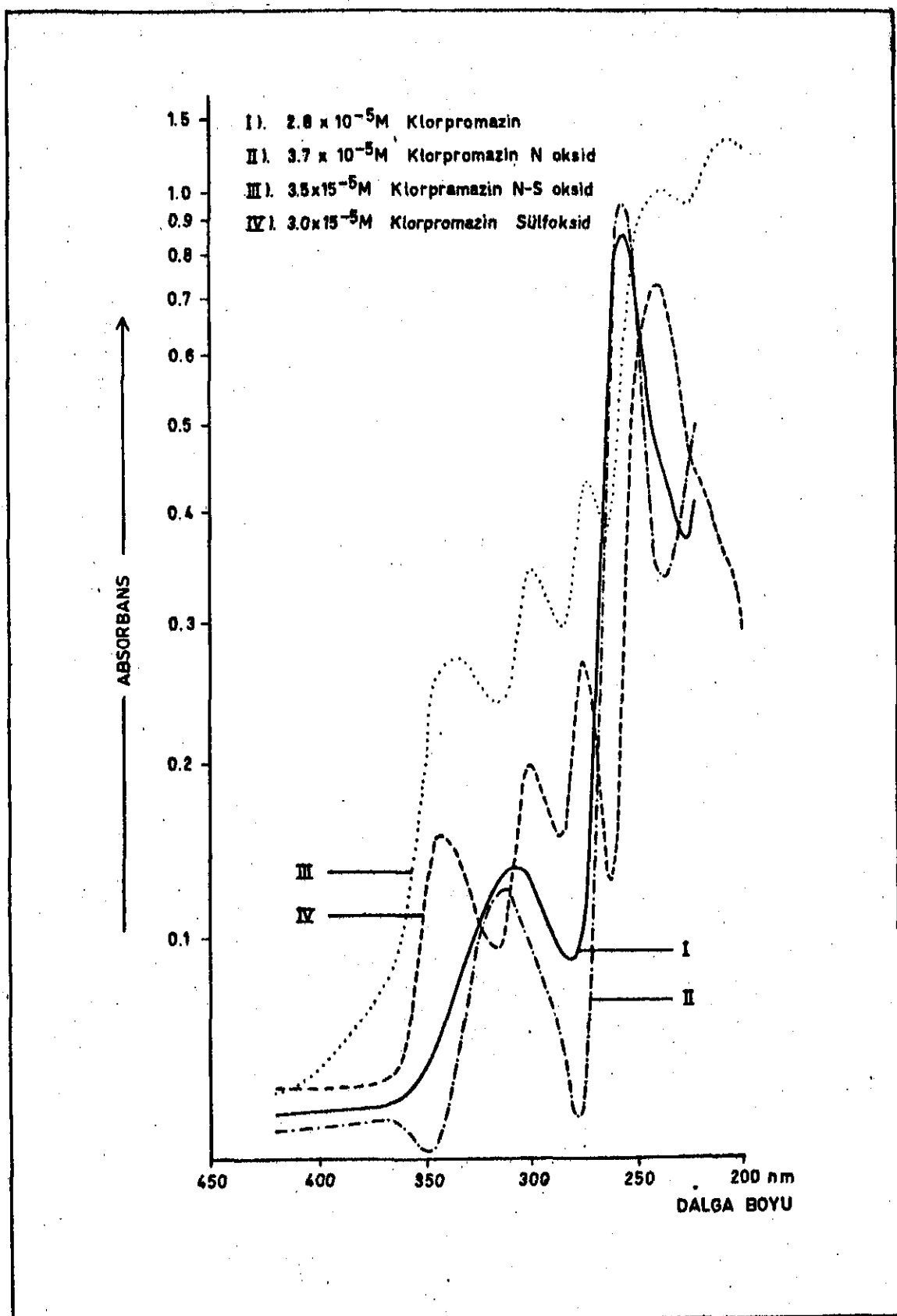
hazırlandıktan sonra ışıktan etkilenmemeleri için alüminyum kağıt içersine sarılarak karanlıkta saklandı.

Deneylerde ve çözelti hazırlamada kullanılan bütün cam malzeme kromik asidle temizlenerek en az üç kere deiyonize su ile çalkalandı. Artık metal iyonları ile istenmeyen yan etkiler, bu şekilde temizleme sonrası minimuma indirilebildi.

Karanlıkta saklanan klorpromazin oksit türevlerinde bir hafta sonra yapılan ince tabaka kromatografik analizlerde tek leke izole edilebilirken (N-S oksit iki leke verir), stok klorpromazin çözeltilerinin özellikle nötral ve zayıf asidik ortamda, aynı süre içerisinde bozulduğu ancak kuvvetli asidik çözeltilerinin ise kırmızı radikalik oluşum gösterdiği izlendi. Güneş ışığından korumadan rastgele saklanan çözeltilerinde ise yirmi dört saat sonra spektral bozunma ve renk değişimi izlendi (Bak. bölüm 2.1.9).

#### 2.1.3. Işıma öncesi klorpromazin ve oksit türevlerinin ultraviyole spektramları

Klorpromazin hidroklorür ve diğer fonotiyazin türevlerinin ultraviolet spektramları bilinmektedir (77, 78, 86, 88, 92, 93). 0.05 N HCl çözeltisinde  $10^{-5}$  M klorpromazin hidroklorür ve dört oksit türevinin spektramları alınarak (Şekil 2.01), literatürle birlikte Tablo 2.01.'de özetlenmiştir.



**Şekil 2.01. Klorpromazin ve oksit türevlerinin ultraviole spektrumları,  
pH = 1.5 (HCl)**

TABLO 2.01. KLORPROMAZİN ve TÜREVLERİNE AİT  
ULTRAVIOLE SPEKTRAL BİLGİLER

KİMYASAL ADI	AÇIK FORMULÜ	ULTRAVIOLE SPEKTRAL DATA			
		$\lambda_{\text{MAK.}}$ (nm.)	$\log E$	$\lambda_{\text{MIN.}}$ (nm.)	$\log E$
KLORPROMAZİN HİDROKLORÜR**		256	4.54	280	3.16
		310	3.80		
KLORPROMAZİN SÜLFOKSID**		240	4.52		
		275	4.03		
KLORPROMAZİN SULFON**		298	3.88		
		342	3.72		
KLORPROMAZİN N-OKSİD MALEAT***		233	4.54		
		271	4.16		
KLORPROMAZİN N-OKSİD MALEAT***		294	3.89		
		332	3.76		
PROMAZİN*		256	4.44	280	2.43
		315	3.49		
PROMAZİN*		306	3.64	277	3.20
		254	4.53	222	3.95
FENOTİYAZİN*		253	4.64	280	3.00
		320	3.84		
2-KLORO FENOTİYAZİN*		256	4.71	285	3.03
		320	3.69		
KLORPROMAZİN N&S OKSİD MONOHİDRAT***		238	4.37		
		274	4.03		
KLORPROMAZİN N&S OKSİD MONOHİDRAT***		300	3.94		
		335	3.81		

\* TAMAMEN LİTERATÜRDEN ALINMIŞTIR (20).

\*\* LİTERATÜR DEĞERLERİNE YAKIN DENEYSEL SONUÇLARDIR.

\*\*\* LİTERATÜR DEĞERLERİ BULUNAMAMIŞTIR.

Klorpromazinin ultraviyole spektrumunda 256 nm. ve 310 nm. de iki maksimum veren aktivasyon vardır. Her iki band klorpromazin N-oksid türevinde de mevcuttur. Ancak ekstinksyon katsayıları farklıdır. Tablo 1.04 de verilen parametreler, örneğin spektral bandın yaygınlığı, ekstinksyon katsayısının maksimum değeri gibi, karşılaştırılırsa klorpromazin yapısında 256 nm. dalga boyunda maksimum veren bandın  $\pi - \pi^*$  geçisi, 310 nm. dalga boyunda maksimum veren bandın ise  $n - \pi^*$  geçisi olduğu gösterilebilir ve benzeri bir çalışma vardır (77).

Tablo 2.01. den de görülebileceği gibi,  $n - \pi^*$  absorpsiyonunu etkileyerek yapısal değişiklikler klorpromazin molekülünde elektron ilgisi fazla olan kükürt ve/veya azot atomu üzerinde lokalize bağ düşü  $n$  elektronlarını etkiler ve 310 nm. dalgaboyundaki spektral bantda kaymalara neden olur. SÜlfoksit, sulfon ve N-S oksit gibi türevlerinde karakteristik dört absorpsiyon bandı izlenir.

256 nm. dalgaboyunda izlenen kuvvetli  $\pi - \pi^*$  bandı, benzen halkalarında delokalize  $\pi$  elektronlarının uyarılması sonucudur ve halkaya bir sübstütient bağlanırsa (promazin ve klorpromazinde görüldüğü gibi) batokromik 2-4 nm. band kayması olur. Benzeri etki fenotiyazin ana halkasına amino içeren yan alkil zincirin katılımıyla da olabilir. Bu spektral banddaki kayma, iki azot atomu arasındaki karbon sayısına bağlıdır.

Ultraviyole spektrumlarından klorpromazin ve N-oksit türevi veya sülfovksit, sülfon ve N-S oksit türevleri birbirinden ayırdedilemez se de, iki veya dört bandın kaydedilmesi, son üç oksit yapısının tanımlanmasında yardımcı olabilir.

#### 2.1.4. Klorpromazine Konsantrasyon Etkileri

Klorpromazin konsantrasyonunun, 256 nm dalgaboyundaki absorpsiyonuna etkisi ve Beer kanunundan sapma gösterip göstermediği araştırıldı. Yapının bu banddaki karakteristik absorpsiyonunu bazı oksit türevlerinden ayırdedebilmek için literatürde kullanılmış olan (60) üç noktalı spektrofotometrik değerlendirme uygulandı. Bu uygulamaya göre klorpromazinin 246 nm ve 266 nm dalgaboyerindaki absorpsyonları spektrum üzerinde işaretlenerek bir doğru ile birleştirilir ve 256 nm'deki doğru üzerinden bulunan absorbans değeri ( $A_{baz}$ ), aynı dalgaboyunda ölçülmüş olan absorbans değerinden ( $A_{mak.}$ ) çıkarılır. Beer Kanununun tatbikinde aşağıda verilen formül kullanılmıştır.

$$C = A/a.b. = K.A. = K. (A_{mak.} - A_{baz})$$

C.... Klorpromazin konsantrasyonu, g/lt

a.... Absorptivite

b.... Işık yolu, cm.

A.... Absorbans değeri,  $A_{mak.} - A_{baz}$  olarak ifade edilebilir.

K.... Oranti sabiti, g/lt.

$10^{-6}$ - $10^{-2}$  M klorpromazin çözeltileriyle pH = 5 ve 1,5 da alınan bir dizi spektral kayıttan yukarıdaki formüle göre hesaplanan orantı katsayıları sırasıyla; pH = 5 için  $0.0454 \pm 0.0001$  mg/ml. ve pH = 1,5 için  $0.0451 \pm 0.0007$  mg/ml olarak bulundu ve bu konsantrasyon sınırlarında Beer kanununa örnek bir hesaplama pH = 1,5 (HCl) için Tablo 2.02. de verilmektedir.

TABLO 2.02. ORANTI KATSAYISI  $K'$  nin HESAPLANMASI

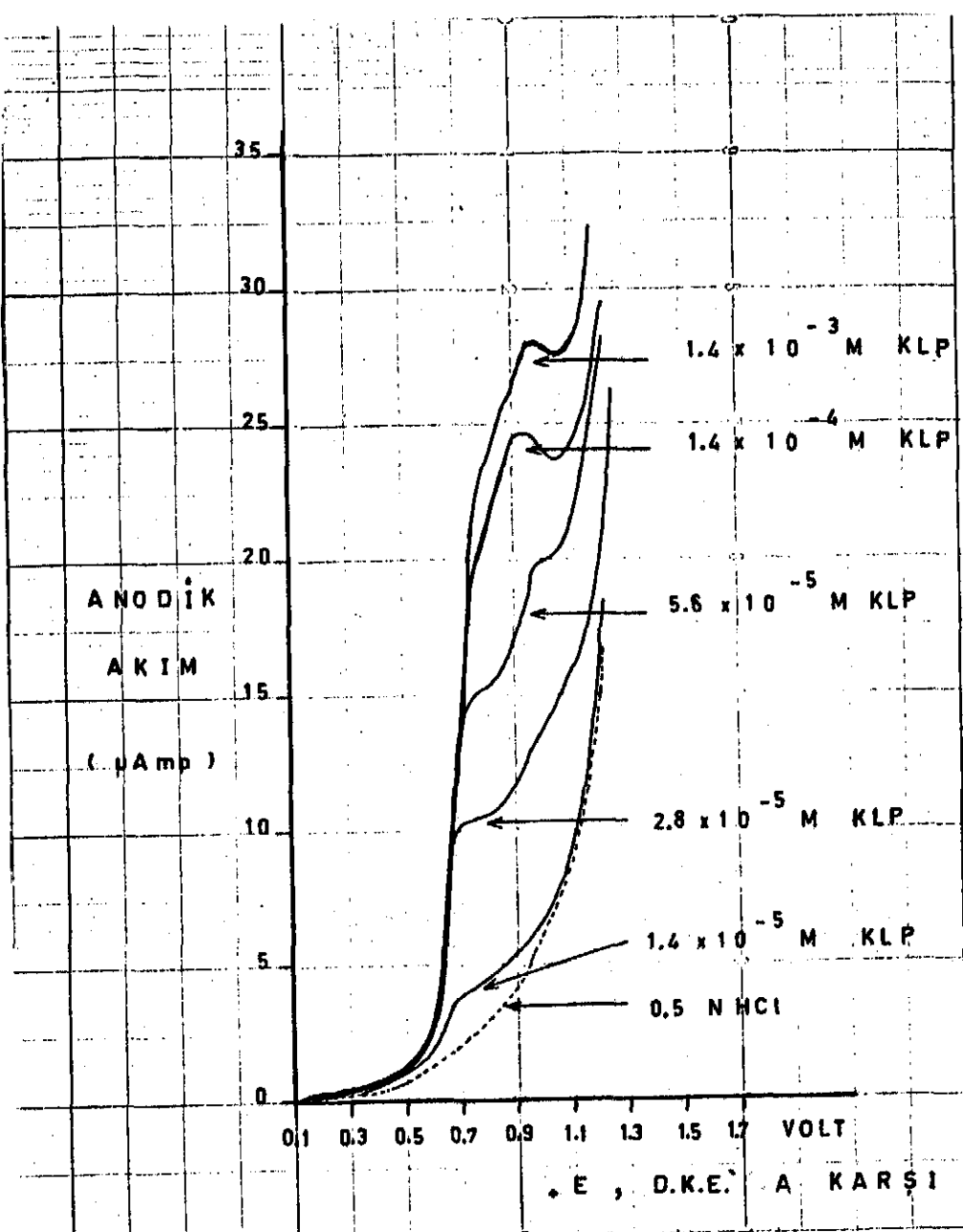
$10^5 \times K' P$ konsantrasyonu mg / ml	ABSORBANS OKUMLARI <sup>x</sup>					$10^4 \times K'^{xx}$ değeri
	266	246	256	$A_{baz}$	$A_{mak} - A_{baz}$	
100	--	--	--	--	--	--
200	0.087	0.091	0.134	0.089	0.045	444.4
400	0.083	0.106	0.182	0.095	0.087	459.7
600	0.282	0.336	0.439	0.308	0.131	458.0
1200	0.348	0.448	0.665	0.400	0.265	452.8
1600	0.383	0.520	0.810	0.452	0.358	446.9
2000	0.579	0.760	1.0115	0.662	0.451	443.5
4000	1.165	1.429	--	--	--	--

<sup>x</sup> - Her değer en az üç okum ortalamasıdır.

<sup>xx</sup> -  $C = K (A_{mak} - A_{baz})$  formülü gereğince hesaplandı. C (mg/ml) = konsantrasyon, ortalama K değeri  $0.0451 \pm 0.0007$  mg/ml dir.

Potansiyometrik titrasyon deneylerinde derişik klorpromazin çözeltilerinde dimerleşme olduğuna ilişkin bulgular vardır. Yükseltgeyici ajanlar kullanarak yapılan titrasyonlarda iki elektron kaybeden ana yapının, konsantrasyonu artırıldıkça tek elektron kaybından sonra dimerleşme gösterdiği (86) ve Clark formülünden hesaplanan dimerleşme sabitinin ( $K_{dr}$ )  $10^4$  ve kritik dimerleşme konsantrasyonunun  $10^{-4}$  molar olduğu da gösterilmiştir (88).

Klorpromazinle yapılan elektrokimyasal çalışmalarında (Bak bölüm 2.1.7), potansiyometrik titrasyon deneylerinde izlenen potansiyel kaymalarına benzer şekilde dimerleşme olasılığını düşündürücü ve konsantrasyona bağlı, elektrokimyasal oksidasyon pik potansiyelinde kaymalar izlenmiştir. Şekil 2.02. ile verilen örnek bir voltamogram, 1 volt/dakika tarama hızında, + 0.30 ve + 1.20 volt arasında, kalomel referans elektroduna karşı platin elektrot kullanarak ve  $10^{-5} - 10^{-3}$  molar klorpromazin çözeltilerinden kaydedilmiştir. Aynı konsantrasyon sınırlarında nötral ve zayıf asidik çözeltilerinden alınan voltamogramlarda benzeri potansiyel kaymalar yoktur. Elektrokimyasal ön deneyler özellikle dimerleşmenin pH= 1.0 in altında ve kuvvetli asidik çözeltilerinde hızlandığını gösterir mahiyettedir ve bu nedenle tüm ışıma deneylerinin  $10^{-4}$  moları geçmeyen klorpromazin çözeltilerinde yapılmasına karar verilmiştir.



Şekil 2.02. Klorpromazinin pH = 0.3 (HCl) çözeltisinde elektro oksidasyon voltamografaları.

### 2.1.5. İNCE TABAKA KROMATOGRAFİK İN ANALİZLER

Klorpromazin ve sulfoksit, sulfon, N-oksit, N-S oksit türevlerinin son konsantrasyon 0.5 mg/mlt olacak şekilde, pH = 1.5 olan HCl standart stok çözeltileri hazırlandı.. En iyi kromatografik ayırımı gerçekleştirebilmek için ön analizlerde Gamac firmasından temin edilen Silika-jel DSF-5 ve D-5, Aluminyum oksit DSF-5 ve D-5 ve Mikro kristalin selüloz DSF-0 ve DS-0 ile 0.25,0.50 ve 0.75 cm. kalınlığında kaplanmış plakalar ve toluel, benzol butanol, asetik asid, etanol ve suyla çeşitli oranlarında hazırlanan developman çözeltileri denenmiştir. Gamac Vario -KS- çemberinde, sabit nem miktarı altında yapılan 10 cm. yatay developman, dikey developmandan daha başarılı olmuştur.

Vario-KS- Çember (Şekil 2.23 (A)) kullanarak developman tekniğinin üstünlükleri şu şekilde özetlenebilir:

- 1 - Yatay developman yapılır. Kapiler etkiyle yükselen mobil faz yerçekimine karşı olmadığı için analiz süresi kısalır.
- 2 - Kullanılacak olan adsorban kaplı plaka, aktive edildikten sonra rastgele değil belli nem yüzdesinde ön şartlandırmaya tabii tutulur. Bu işlem  $R_f$  değerlerinin tekrarlanabilirliğini sağlar.
- 3 - Aynı plaka üzerinde bir developman süresinde sekiz değişik çözücü karışımı denenebilir.

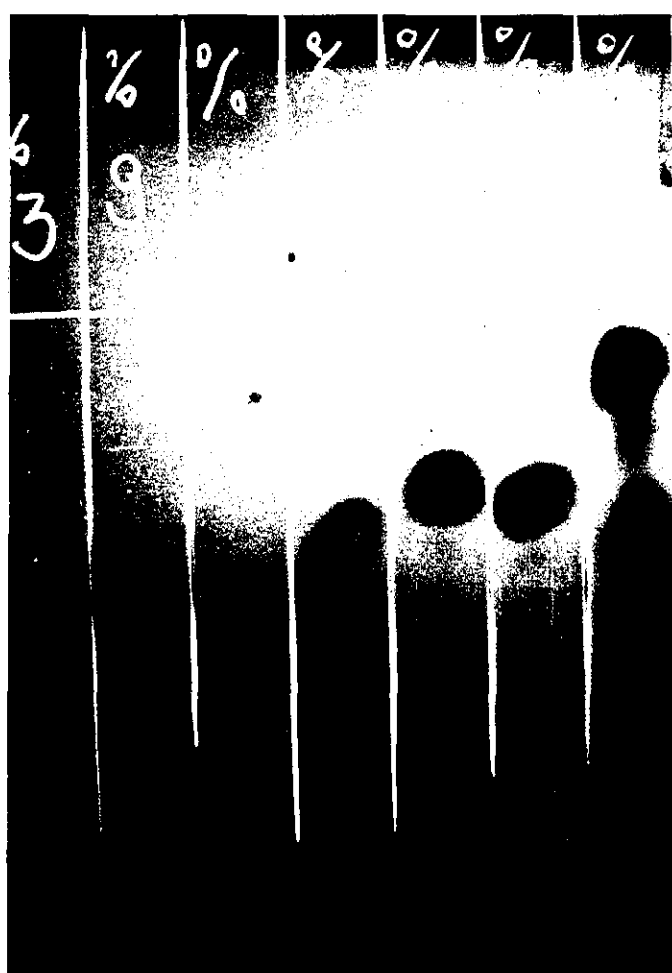
Ün analizlerde en iyi ayırım, klorpromazin ve oksit türevlerinin silika-jel D-5 ile 0.25 cm. kaplanan plakalarda ve ethanol: asetik asid: su oranı 5:3:2 olan çözücü karışımıyla developmanında elde edilmiştir. Çember içerisinde sabit nem yüzdesi Tablo 2.03. te verilen oranlarda  $H_2SO_4$  ve su karışımıyla temin edilmiştir.

Tablo 2.03. Bağıl nem yüzdesinin  $H_2SO_4$ : su oranının ağırlık yüzdesi veya yoğunluğu ile değişimi.

YOĞUNLUK $d_{4^0}^{20^0}$	SÜLFÜRİK ASİD % AĞIRLIĞI	Bağıl NEM Yüzdesi %
1.000	0.26	100
1.100	14.73	94
1.200	27.72	81
1.300	39.68	58
1.400	50.50	37
1.500	60.17	19
1.600	69.09	9
1.700	77.63	3

Gamac 38001 test boyar maddesiyle noktalandırılmış, silika-jel D-5 adsorbantı ile kaplı plakalar, % 3 ve % 94 arasında değişen nem miktarlarında şartlandırılarak, ethanol: asetik asid: su karışımı

(5:3:2 oranında) ile develope edilmiştir ve şekil 2.03 den de görüldüğü gibi en iyi ayırmalar % 37-81 bağılı nem yüzdesinde olmaktadır..



Sekil 2.03. İnce Tabaka Kromatografik analizde yüzdé nem miktarının analize etkisi. Kırmızı leke: Sudan kırmızısı, sarı leke yağ sarısı Lacivert leke: İndofenol mavisini gösterir test boyar maddeleridir.

Ün deneylerle saptanan ince tabaka kromatografik analiz yöntemi, aşağıda verilen düzen gereği sonraki tüm çalışmalarında uygulanmıştır:

I)  $20 \times 20 \times 2.5$  cm. cam plakalar asit ve deterjanla yıkandırılarak en az üç, dört kere damıtık suyla çalkalanır ve açık havada kurutulur. Temizleme sonrası plakalar bilinen tekniklerle (99,100) Gamac silika-Jel D-5 adsorban ile kaplanarak kurumaya terkedilir.

2) Kromatografik analiz öncesi  $95^{\circ}\text{C}$  da yirmi dakika aktive edilerek, 5 veya 10 mikrolite örneklemelerle noktalanan Vario K-S çember üzerine, adsorban kaplı yüzü altta kalacak şekilde yerleştirilen plakalar, ağırlık ca % 40 lik  $\text{H}_2\text{SO}_4$  - su çözeltisi üzerinde % 59 bağıl nem miktarına ön şartlandırmaya terkedilir. Ön şartlandırma süresi 45 dakika olarak tesbit edilmiştir ve bu süre sonunda cam plaka ile çözelti sistemini içeren cam hazne arasına çelik bir levha sürülerek şartlandırma durdurulur.

3) ön şartlandırma bittikten sonra derhal ethanol : asetik asid : su (5:3:2) karışımıyla 10 cm boyunca developman yapılır.

4) Plakalar açık havada yarım saat bekletilerek, renklendirme için % 5  $\text{H}_2\text{SO}_4$  - su : ethanol (4 : 1) çözelti karışımıyla püskürtmeye tabi tutulur.

Klorpromazin ve diğer oksit türevleriyle, yukarıda verilen yöntemi kullanarak elde edilmiş olan kromatografik  $R_f$  değerleri ve renk oluşumla-

rı Tablo 2.04. le özetlenmiştir.

TABLO 2.04. İNCE TABAKA KROMATOGRAFİK  $R_f$  DEĞERLERİ VE RENK  
OLUŞMLARI.

	$R_f$	RENK OLUŞUMU
KLORPROMAZİN	0.92 - 0.94	Pembe - kırmızı
KLORPROMAZİN SULFOKSİT	0.63 - 0.65	Pembe
KLORPROMAZİN N-OKSİT	0.98 - 0.99	Pembe - portakal
KLORPROMAZİN SULFON	0.82 - 0.84	Sarı
KLORPROMAZİN N-S-OKSİT	0.98 - 0.99 0.82 - 0.84	1. leke Pembe - portakal 2. leke Açık pembe

2.16. Işıma öncesi klorpromazin ve oksit türevlerinin floresans spektrumları.

Klorpromazin ve sülfoksit türevinin floresans spektrumları bilinmektedir (71, 73, 74, 75, 94, 101). İşıma deneylerinden önce floresans karakteristiklerini belirlemek amacıyla klorpromazinin  $5.6 \times 10^{-5}$  molar,  $\text{pH} \approx 0.08$  ( $12\text{ N H}_2\text{SO}_4$ ),  $\text{pH} = 0.7$  (2N HCl),  $\text{pH} = 1.5$  (0.05 N HCl),  $\text{pH} = 5.25$  ve  $\text{pH} = 4.15$  sulu çözeltileri hazırlandı.

Floresans spektrumları Aminco - Bowman spectrophotofluorometre ile 300 - 700 nm.ler arasında kaydedildi. Ün deneylerle saptanan ayarlamalar aşağıda verilmiştir:

Deneylerde kullanılan aktivasyon dalga boyu (101) : 350 nm veya 256 nm.

Spektral tarama hızı.....: 50 veya 100 nm/dk.

Kullanılan fotomültipler tüp ..... : IP21,1000 KVolt

yüksek gerilim

Fotomültipler Tüp duyarlık ayarı : : % 100

Işık kontrol aralıkları (slit) : Tüm deneylerde sabittir.

Işık kaynağı çıkışı, slit A.....: 3 mm.

Aktivasyon monokromatör (I) çıkışı, slit B.....: 2 mm.

Hücre haznesine giren ışık, Slit C.....: 4 mm.

Hücre haznesinden çıkan ışık, Slit D.....: 4 mm.

Floresans monokromatör (II) girişi, slit E.....: 2 mm.

Floresans monokromatör (II) çıkışı, Slit F.....: Serbest

Fotomültipler tüp giriş ayarı, slit G ..... : 1 mm.

Tüm fluoresans spektrumları Varian model A-25 tipi yazıcı ile kaydedilmiştir.

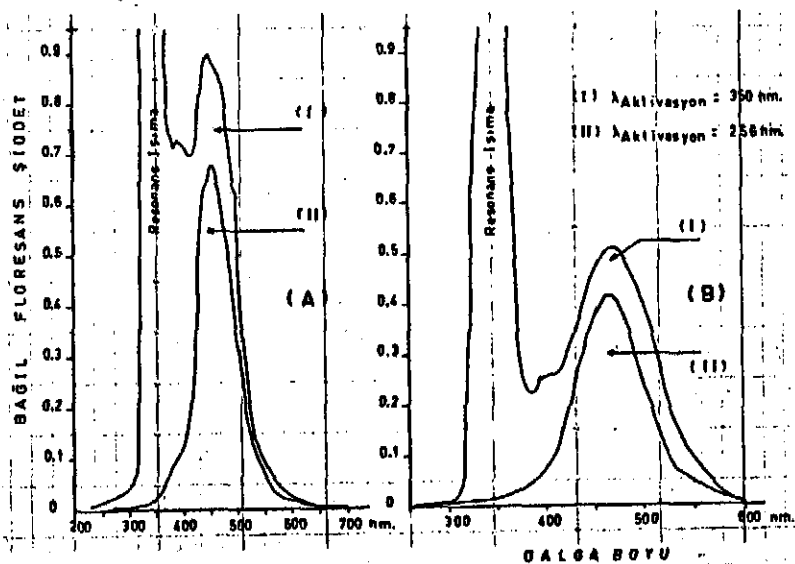
Şekil 2.04 ile 256 nm ve 350 nm de uyarılan,  $5.6 \times 10^{-5}$  molar klorpromazin içeren çözeltilerden kaydedilen örnek fluoresans spektromlar verilmektedir. Çözeltideki madde konsantrasyonu ile orantılı ve 460 nm dalgaboyunda maksimum veren fluoresans sinyalin bağıl şiddeti, aynı miktarda klorpromazin içeren çözelti pH'sı ve ortam atmosferiyle (Tablo 2.05) etkilenmektedir. Bağıl fluoresans şiddet pH 1-7 arasında sabit kalmasına rağmen, kuvvetli asidik çözeltilerde zayıflamaktadır.

TABLO 2.05. KLORPROMAZİN FLORESANSINA pH VE MOLEKÜLER OKSİJEN ETKİSİ<sup>x</sup>.

( $5.6 \times 10^{-5}$  M KLORPROMAZİN İÇEREN SULU ÇÖZELTİLERİNDE,  
350 nm. DE AKTİVASYONLA, 460 nm., DEKİ BAĞIL FLORESANS  
OKUMALAR DEĞERLENDİRİLMİŞTİR.)

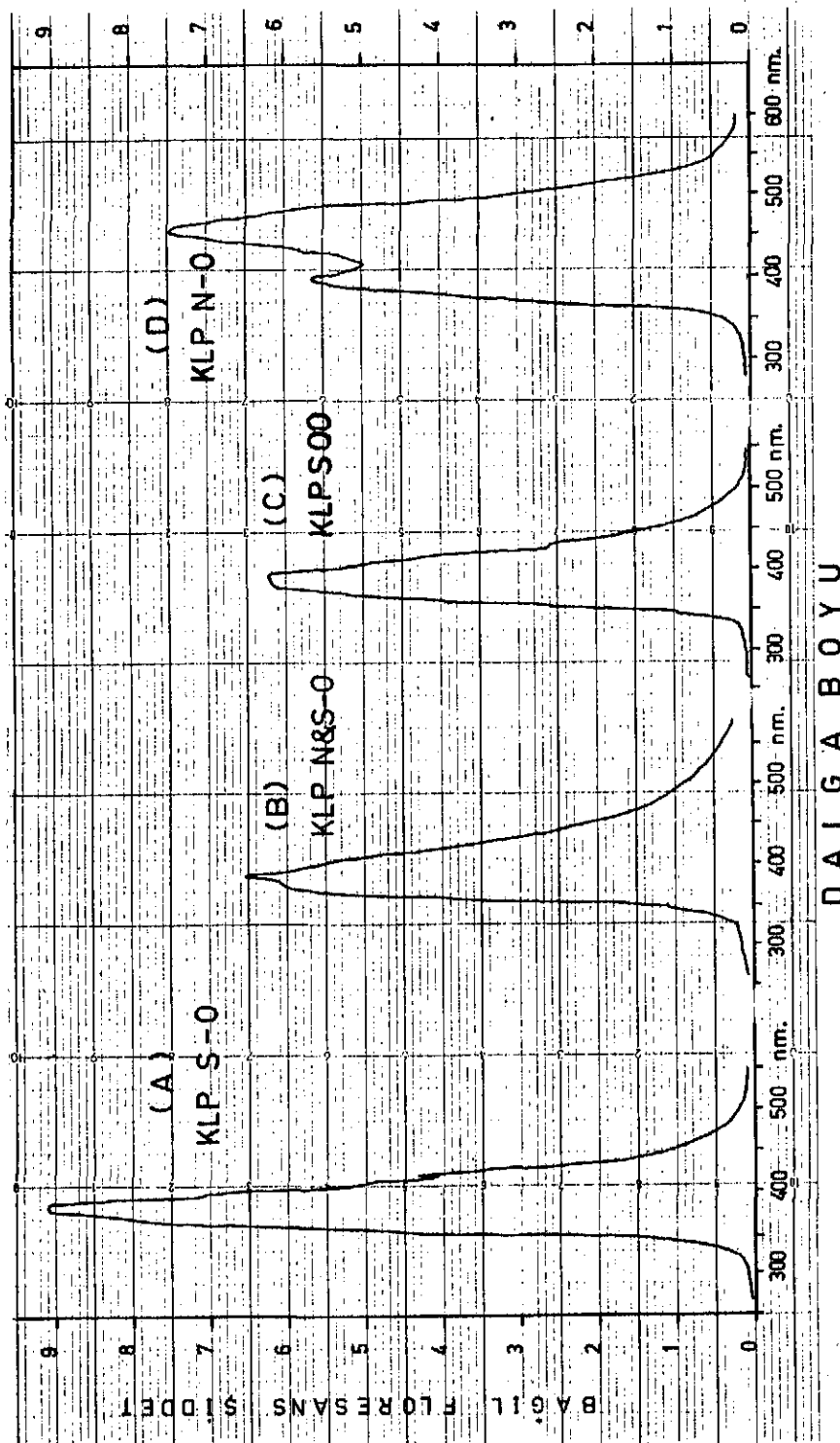
	<u>pH &lt; 0.08</u>	<u>pH= 0.7</u>	<u>pH= 1.5</u>	<u>pH= 4.1.</u>	<u>pH= 5.2</u>
Hava ile doygun	0.50	0.63	0.88	0.88	1.00
Azot geçirilmiş (1/2 saat)	0.36	0.88	1.00	0.70	0.87

<sup>x</sup> Her değer en az üç okumanın ortalamasıdır.



ŞEKİL 2.04. KLORPROMAZİN FLORESANSINA ARTIVASYON DALGABOYU ETKİSİ.

$5.6 \times 10^{-5}$  Molar klorpromazin içeren (A) pH= 1.5, 0.05 N HCl  
(B) pH < 0.08, 12 N  $\text{H}_2\text{SO}_4$  çözeltilerinden alınan örnek  
floresans spektrumları.



SEKİL 2.05. KLORPROMAZİN OKSİT TOREVLERİNİN FLORESANS SPEKTRÜMLARI.

Aktivasyon dalgalaboyu 256 nm olan pH = 1.5 (HCl) çözeltilerinden alınan

- (A)  $3 \times 10^{-5}$  M. Klorpromazin sülfoxit, (B)  $3.4 \times 10^{-5}$  M. Klorpromazin N-S oksit.  
(C)  $3.3 \times 10^{-5}$  M. Klorpromazin sulfon. (D)  $3.7 \times 10^{-5}$  M. Klorpromazin N-oksit.

floresans spektrumları.

D.A.L.G.A.B.Q.Y.U.

256 nm dalgaboyunda aktive edilen klorpromazin sulfoksit, sulfon ve N-S oksit türevleri 385 nm'de maksimum floresans gösterirken, N-oksit türevinde 460 nm'de maksimum ile 385 nm de bir omuz izlenir. Deneyler 350 nm.deki aktivasyonla tekrarlanırsa, maksimum floresans dalgaboyunda kayma olmaz ve bağıl floresans şiddet aynı kalır. Şekil 2.05. ile oksit türevleriyle alınan örnek floresans spektrumlar verilmektedir.

Ön deneyler göstermiştir ki, 256 nm dalgaboyunda uyarılan  $\pi - \pi^*$  geçisi ve izlenen 460 nm dalgaboyundaki floresans, daha düşük enerjili 350 veya 366 nm dalgaboyunda yapılan monokromatik aktivasyonla,  $n - \pi^*$  geçişinin uyarılması sonucu aynı şekilde izlenmektedir ve bağıl floresans şiddet sabit kalmaktadır. Bu bulgu maksimum ışık dalgaboyu 366 nm olan yakın-ultraviyole bölge ışımılarıyla yapının üst singlet seviyelere uyarıldığı ve foto oksidasyon reaksiyonlarının bu seviyelerden hareketle yürüdüğünü göstermektedir.

#### 2.1.7. Işıma öncesi klorpromazin elektro-oksidasyon davranışının belirlenmesi.

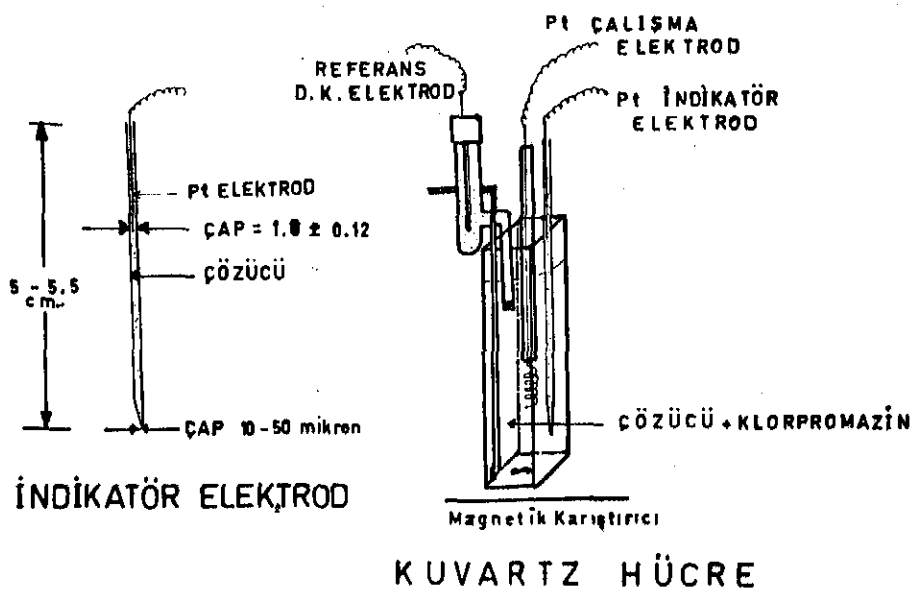
Bu grup deneylerin yapılmasındaki ana düşünce, çeşitli analitik yöntemlerle çalışılmış olan klorpromazin oksitlenme karakterini (71, 73, 75, 86, 90) elektrokimyasal yöntemle sağlamak ve ışıma sonucu foto oksidasyon gerçekleşiyorsa buna bağlı olarak elektro oksidasyon dalgalarındaki zamanla değişmeyi takip etmektedir. Literatürde genellikle kimyasal ajanlar kullanılarak yükseltgenmiş klorpromazinin normal polarografik yöntemlerle indirgenme mekanizması çalışılmıştır (56, 102, 103). Elektro oksidasyon mekanizması ise literatürde sadece Merckle, F.H. ve Fisher, A.C. tarafından çalışılmıştır (72). Döner platin elektrod kullanarak alınan oksidasyon voltamogramları ve potansiyel kontrollü kulometrik çalışmalar, yapının kuvvetli asidik ortamda ( $12\text{ N H}_2\text{SO}_4$  gibi) kararlı

radikal ara yapıdan geçen iki elektronlu iki ayrı yükseltgenme dalgası verdiği (referans kalomele karşı  $(E_{\text{pik}})_1 = +0.60$  ve  $(E_{\text{pik}})_2 = +1.00$  volttur.) , zayıf asidik ortamda ise ( $\text{I N H}_2\text{SO}_4$  gibi) iki elektronlu tek bir yükseltgenme dalgası verdiği (referans kalomele karşı + 0.75 volt) göstermiştir. (Bak sayfa A2)

Işıma deneylerinde "Aminco Bowman A 296 -62155 tipi" 46x10x10 mm. lik kuvars hücreler kullanıldı. Kuvars hücre içersindeki klorpromazin çözeltisine iki platin elektrod ve bir referans doymuş kalomel elektrod batırılarak kaydedilen oksidasyon voltamo gramlarında indikatör elektrod olarak kullanılan platin yüzeyinde diğer platin çalışma elektrodunda ortaya çıkan radikalik oluşumların adsorbe olarak her tekrarda farklı pik akım ve pik potansiyel kaydedilmesine yol açtığı görüldü. Çalışma elektrodunda gerilim taraması uygulandığı süre içersinde platin elektrod yüzeyinde kırmızı habbecikler birikmekte ve tabaka halinde tüm elektrod yüzeyini işgal etmektedir.

Bu tür hataların önlenmesi için genellikle indikatör platin elektrod, alt kısmı poröz cam disk olan hazne içersine alınır veya farklı hücre içersine alınarak agar-jel gibi tuz köprüsüyle elektronik bağlantı sağlanır. İyon değiştirici membranlar bir diğer seçenekdir. Kuvars hücre içersinde bu gibi bağlantılar kurmak çok zor olacağı ve ağız kısmı bir santimetre kare olan hücre içersine tüm elektrodları yerleştir-

mek problem yaratacağı için değişik bir uygulama geliştirildi. Oksidasyon voltamogramlarının kaydedildiği hücre ve elektrod düzeni şekil 2.06. ile verilmektedir.



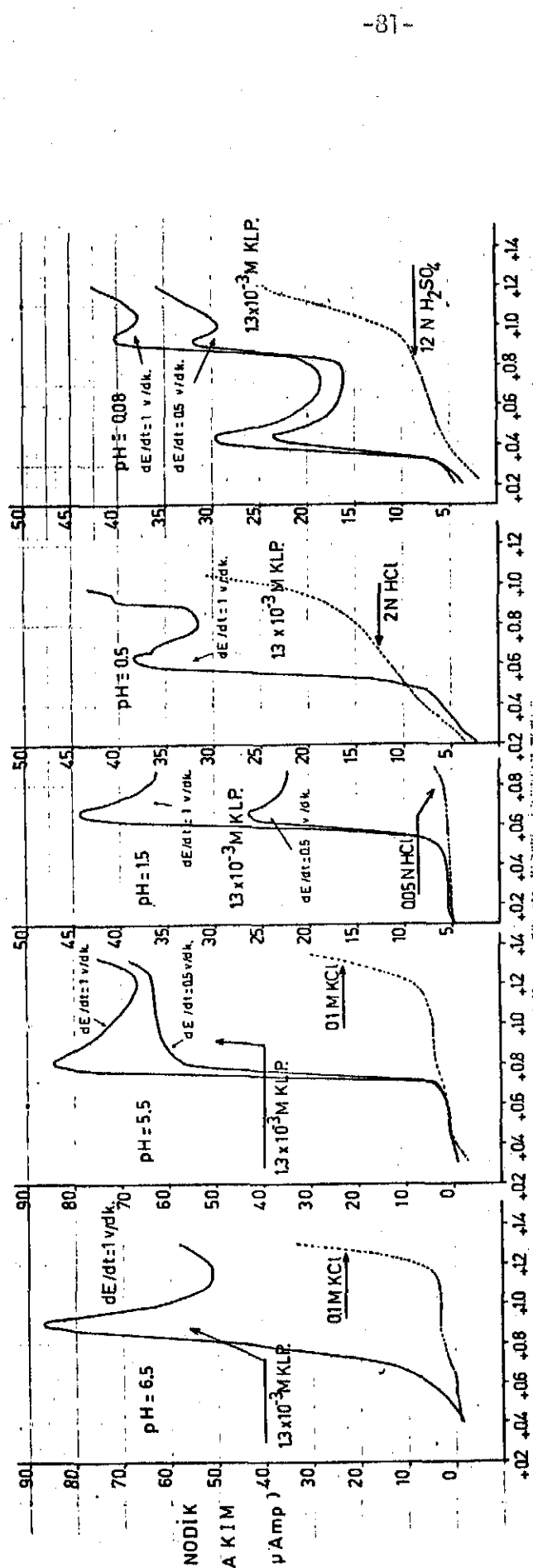
ŞEKLİ 2.06. OKSIDASYON VOLTAMOGRAMLARININ KAYDEDİLDİĞİ HÜCRE VE ELEKTROD DOZENTİ

"David Kopf Instrument, USA" firmasından temin edilmiş olan model 700 C pipet çekici aletle ağız kısmı 10-50 mikron arası olan ince cam kılcal borular çekildi. Cam borunun ağız kısmı dışındaki dış çapı  $1.8 \pm 0.12$  mm. dir. Ağız kısmı çok dar olması nedeniyle kılcal ancak emme şeklinde çözücüyle doldurulabilmektedir. Voltamogramı alınacak klorpromazin çözeltisi kuvars hücreye alındıktan sonra, kılcal sadece çözücü ile doldurularak üst kısmına indikatör platin elektrod çözücüyle temas edecek şekilde yerleştirilir. Kılcal borudaki çözücü istenildiği

zaman ve genellikle üç veya dört voltamogram alındıktan sonra kolaylıkla yenilenebilmektedir. Kuvars hücre içersine referans doymuş kalomel elektrod ve çalışma elektrodu olarak kullanılan platin tel ( 4 cm. boyunda ve yay şeklinde sarılarak kullanıldı) yerleştirilerek kaydedilen voltamogramlar, minimal  $2 \times 10^{-5}$  molar klorpromazin konsantrasyonunda hassas ve tekrarlanabilir sonuçlar vermiştir. Bu uygulama, gerek hassasiyeti arttırması, tekrarlanabilir olması ve çalışma kolaylığı sağlamaşı, gerekse elektro oksidasyon çalışmalarında ilk defa uygulanması yönünden önem taşımaktadır. Mikro numunelerle çalışabilme ve ıshima deneylerinde sürekli voltamogram kaydedebilme olanağı doğmuştur.

Oksidasyon voltamogramları "Heath Model EUA -19-2 polarography module ve Heath EUW - 19 A operational Amplifier system" kullanarak alınmıştır. Elektrod bağlantıları yapıldıktan sonra, çalışma elektroduna referans elektroda karşı 0 ile +1.0 volt arası potansiyel farkı uygulayarak değişik tarama hızlarında (2-I-0.5-0.2 volt/dk.) alınan akım sinyalleri "Varian model A-25" yazıcı ile kaydedilmiştir.

$1.3 \times 10^{-3}$  molar klorpromazin içeren, farklı pH'daki sulu çözeltilerle kaydedilen örnek akım-potansiyel eğrileri şekil 2.07. ile verilmektedir.

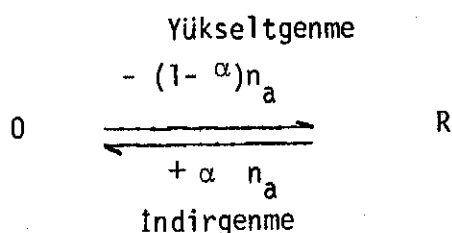


+ E ( Volt ) . D.K.E. A KARŞI

SEKİL 2.07. KLORPROMAZİN OKSİDASYON VOLTAMOGRAMLARI VE pH

ILE DEĞİŞİMİ

Nötral ve pH'sı 1.5'in üzerindeki sulu çözeltilerine son kon-santrasyonu 0.1 M KCl olacak şekilde tuz ilave edilmiştir. Kuvvetli asidik çözeltilerde göç akımını taşıyacak yeterli elektrolit ortamda mevcuttur. Asidik çözeltilerde klorpromazin elektro-oksidasyonu kolay-laşmaktadır ve pik potansiyeli giderek daha negatif değerlere kaymaktadır. 1.0 volt/dk. tarama hızıyla kaydedilen klorpromazin oksidasyon volta-mogramlarında, pH = 6.5'de pik potansiyeli +0.91 volt iken aynı değer pH = 5.5'de +0.85 volt, pH = 1.5'de ise +0.67 volt'tur (referans kalomel elektroda karşı). Kuvvetli asidik çözeltilerinde ise (pH = 1.0'ın altında), iki ayrı oksidasyon dalgası kaydedilmiştir. Pik potansiyellerinin ortam pH'sı ile değişimi şekil 2.08'de gösteril-mektedir.



Yukarıda verilen elektrokimyasal oksidasyon reaksiyonunda ölçülen akım-potansiyel eğrilerinin genel tanımı aşağıdaki denklemle verilmektedir. (106).

$$E = E_{1/2} + \frac{RT}{(I - \alpha)n_a F} \ln \frac{i_d - i}{i} \quad \dots\dots (I)$$

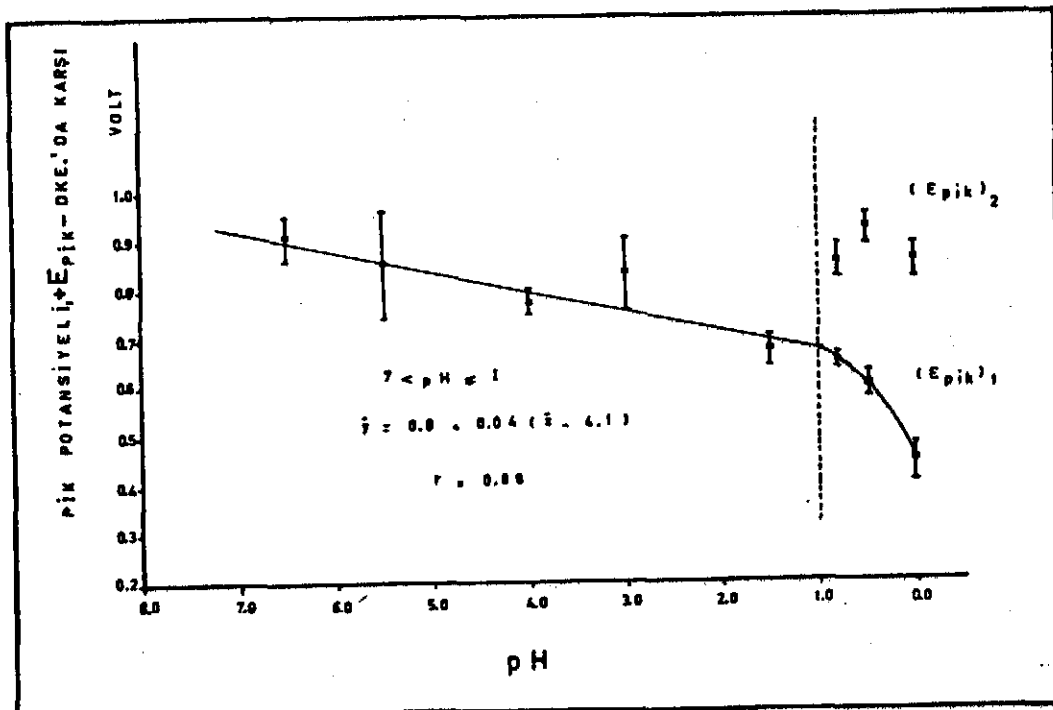
E = Çalışma elektroduna uygulanan potansiyel farkı (volt),

$E_{1/2}$  = Yarı dalga potansiyeli (volt),

$\alpha$  = Heterojen elektron transfer katsayısi.  $\alpha = 0.5$  olduğunda elektrod reaksiyonu tersinirdir.

$i$  = Herhangi bir potansiyelde okunan akım (mikroamper),

$i_d$  = Plato bölgesinde okunan akım (mikroamper).



ŞEKİL 2.08. OKSİDASYON VOLTAMOGRAMLARINDAN KAYDEDİLEN PIK POTANSİYELİNİN ( $E_{pik}$ ), ÇÖZELTİ pH'SIYLA DEĞİŞİMİ  
(Her pH'deki  $E_{pik}$  değeri en az beş kayıt ortalamasıdır ve dikey çubuklar standart sapmayı gösterir.)

Akım ifadesi , Faraday akımının ( $i_f$ ) ve Nonfaraday akımının ( $i_{nf}$ ) toplamıdır ve nonfaraday akım aşağıda verilen formülle tanımlanır (105):

$$i_{nf} = c_d dE / dt$$

$C_d$  ..... Çifte tabaka kapasitans değeri

dE/dt..... Potansiyel tarama hızı, volt/dk.

Sınırlayıcı şart:  $\frac{dE}{dt} < I_0$  volt/dk. ise  $i_{nf} \ll i_f$  dir.

Kısmen tersinmez elektro-oksidasyon reaksiyonlarında faraday akımının ifadesi de aşağıdaki formülle tanımlıdır (106):

$$i = \pi^{1/2} \cdot n^F \cdot A \cdot B^{1/2} \cdot D^{1/2} \cdot C^o \cdot X(Bt) \dots \dots \dots (2)$$

X (Bt) ..... Grafikle belirlenen bir fonksiyon,

$B^{1/2} = \dots \cdot (I - \alpha) n_a F \cdot (dE/dt)/RT$  ile belirlenen bir fonksiyon.

$n_a$  ..... Elektrod reaksiyonlarında hız tayin eden kademede-  
ki elektron aktarım sayısı.

#### A Elektrod alanı

D. .... Difüzyon katsayısı ( $\text{cm}^2/\text{saniye}$ )

R..... Gaz sabiti (8.3144 j/<sup>o</sup>K.mol).

T ..... Mutlak sıcaklık ( $^{\circ}$ K),

π = 3.14159

$C^o$ ..... Yükseltgenen madde konsantrasyonu (mol/lt.).

Denklem (I) ve (2) nin tersinir ve tersinmez elektro oksidasyon reaksiyonları için çözümleri : aşağıdaki formüllerle pik potansiyeli ( $E_{pik}$ ) ve pik potansiyelde okunan akım ( $i_{pik}$ ) için verilmektedir (106) :

$T = 25^{\circ} \text{ C}$  da, oksidasyon reaksiyonu tersinirse:

$$i_{\text{pik}} = 2.72 \times 10^5 \cdot n^{3/2} \cdot A \cdot D^{1/2} \cdot C^0 \cdot (dE/dt)^{1/2} \dots \dots \dots (3)$$

$T = 25^{\circ} \text{ C}$  da oksidasyon reaksiyonu tersinmezse (106) :

$$i_{pik} = 3.01 \times 10^5 n [(I-\alpha) n_a]^{1/2} \cdot A \cdot D^{1/2} \cdot C^0 (dE/dt)^{1/2} \quad (5)$$

veya

$$K^x = \text{sabit} = 3.01 \times 10^5 n [ (I - \alpha) n_a ]^{1/2} \cdot A \cdot D^{1/2}.$$

$$i_{pik} = K^x \cdot C^o \cdot (dE/dt)^{1/2} \text{ olur.} \quad (6)$$

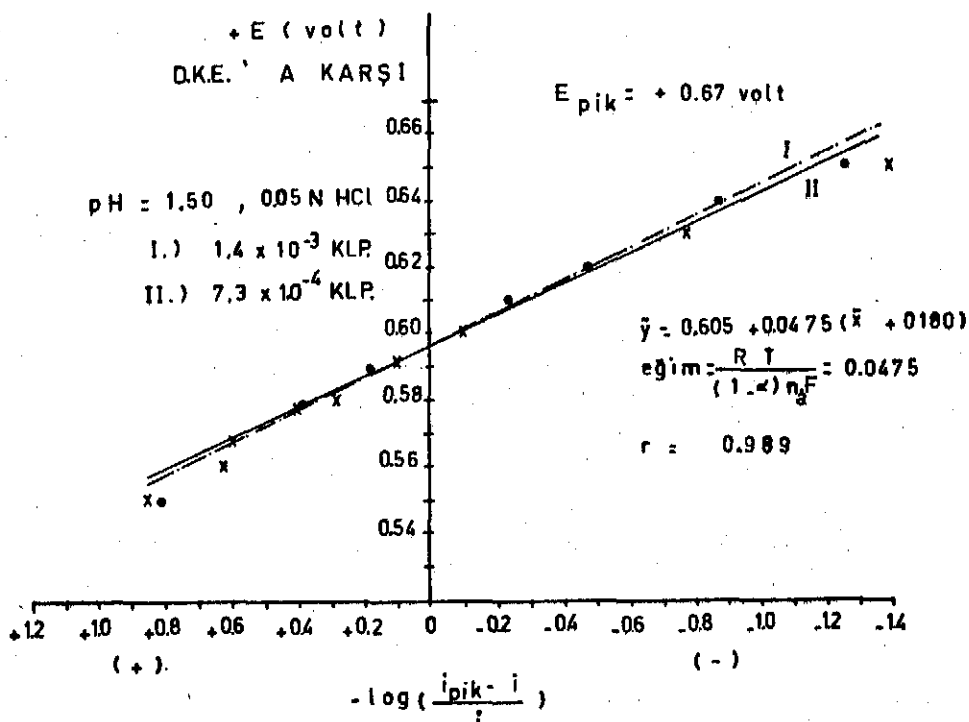
$$E_{pik} = E_i + \frac{RT}{(I-\alpha) n_a F} [ (0.77 - \ln k_h^i (BD))^{1/2} + 1/2 \ln \frac{(I-\alpha)}{RT} n_a F (dE/dt) ]$$

$E_i$  ... Potansiyel taraması başlatılmadan önce sistemin başlangıç potansiyeli

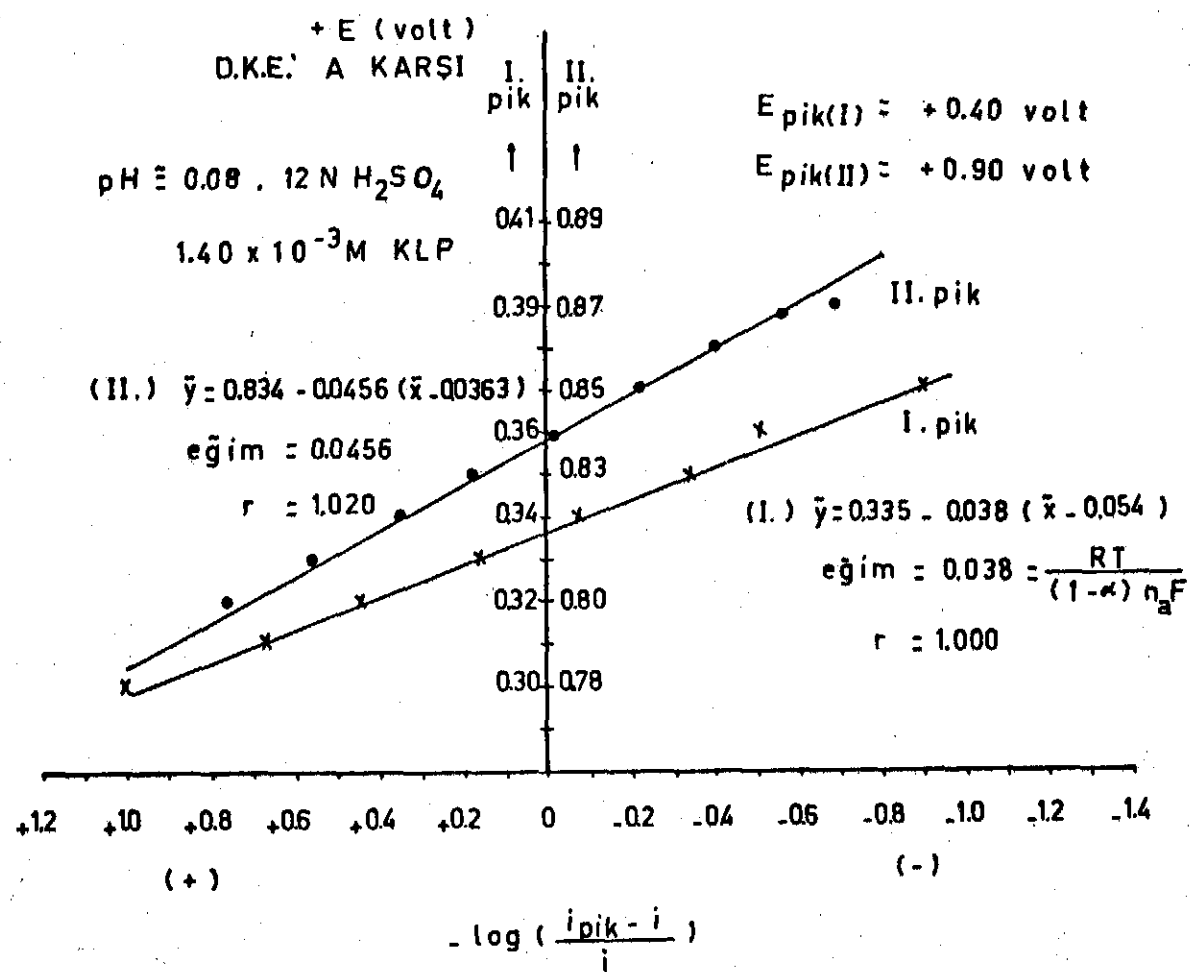
$k_{h...}^j$  Heterojen elektro oksidasyon kinetik hız ifadesi

Klorpromazin elektro-oksidasyon mekanizmasını aydınlatabilmek için farklı konsantrasyonlarda, değişik pH'larda ve değişik tarama hızlarında çok sayıda voltmogramlar alınarak yukarıda verilen denklemlere uygulamaları yapılmıştır.

$10^{-3}$  ve  $10^{-4}$  molar klorpromazin içeren pH = 1.5 (HCl) çözeltilerinden alınan voltamogramlarda, çalışma elektroduna uygulanan potansiyel ( $+E$ ) nin denklem (I) gereğince  $-\log \left[ \frac{(i_{\text{pik}} - i)}{i} \right]$  değerine karşı değişimi grafiklendi (Şekil 2.09) ve benzeri uygulama 12 N  $H_2SO_4$  çözeltisinden kaydedilen iki oksidasyon piki için de çizildi (Şekil 2.10). EK (III) de verilen hesaplamalar ( $I_{\alpha}$ )  $n_a$  değerinin pH= 1.5 de 1.25, pH < 0.08 de ise sırasıyla birinci pik için 1.55, ikinci pik için ise 1.29 olduğunu göstermektedir.



ŞEKİL 2.09.  $1.4 \times 10^{-3}$  ve  $7.3 \times 10^{-4}$  M klorpromazin çözeltilerinde pH=1.5, platin çalışma elektroduna uygulanan anodik potansiyele karşı  $-\log \left[ \frac{(i_{\text{pik}} - i)}{i} \right]$  değerinin değişimi. Tarama hızı 1.0 volt/dakikadır.

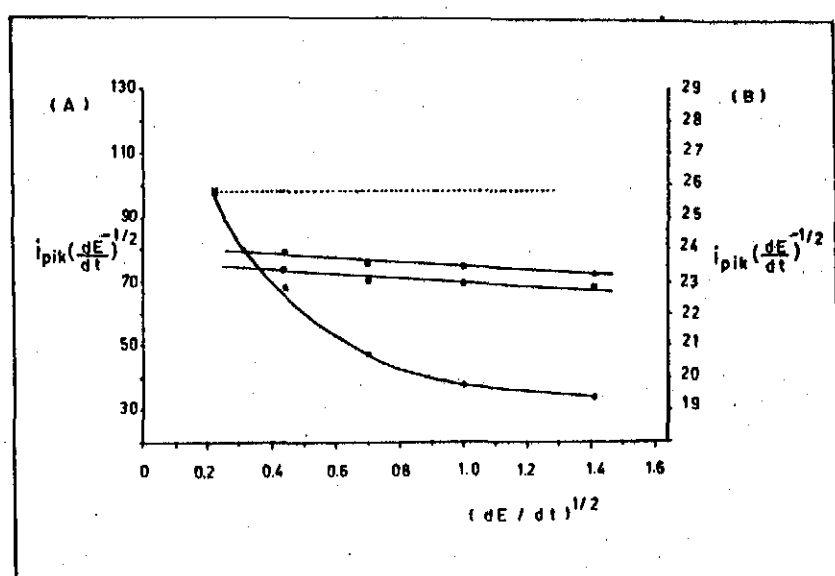


SEKİL 2.10.  $1.4 \times 10^{-3}$  M klorpromazin içeren kuvvetli asidik çözeltilerde pH  $\leq 0.08$  ( $12N\ H_2SO_4$ ), platin çalışma elektroduna uygunan anodik potansiyele karşı  $-\log (i_{pik} - i/i)$  değerinin değişimi. Tarama hızı 1.0 volt/dakikadır.

Ideal tersinir elektro oksidasyon reaksiyonlarının sabit sıcaklık ve sabit  $C^0$  konsantrasyonunda denklem (3) ile verilen eşitliğeye uyması ve artan tarama hızına orantılı pik akımda artış göstermesi beklenir.

Pik akım değerinin her potansiyel tarama hızında  $(dE/dt)^{1/2}$  değerine oranı sabittir. Elektro-oksidasyon reaksiyonu tersinir değilse denklem 5 ve 6 da verilen  $K^X$  sabiti tarama hızıyla değişeceği için  $i_{\text{pik}} \propto (dE/dt)^{-1/2}$  çarpımı da değişecektir.

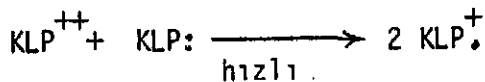
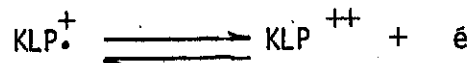
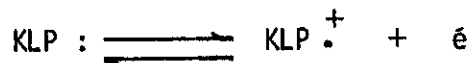
$1.4 \times 10^{-3}$  M klorpromazin içeren pH = 1.5 ve pH < 0.08 olan çözeltilerinde değişik tarama hızlarında oksidasyon voltamogramları alınarak, sonuçları şekil 2.11. de grafiklenmiştir. pH = 1.5 de elektrod reaksiyonu yüksek tarama hızlarında ( 1 volt/ dk.ının üzerinde) tersinirliğe yaklaşırken, kuvvetli asidik çözeltilerde klorpromazin elektro-oksidasyonu her iki basamakta tersinirdir. Şekil çizilmesinde kullanılan deneysel sonuçlar EK IV de verilmektedir.



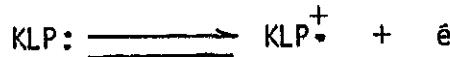
ŞEKİL 2.11.  $1.4 \times 10^{-3}$  M Klorpromazin çözeltilerinde  $(i_{\text{pik}})^{xy^{-1/2}}$  değerinin potansiyel tarama hızı  $\gamma = (dE/dt)$  ile değişimi,  
○ ----- ○ pH = 1.5 (HCl), skala A  
□ ----- □ ve ■ ----- ■ , sırasıyla birinci ve ikinci oksidasyon pikleri için pH  $\leq 0.08$  ( $H_2SO_4$ ), skala B

Ün deneysel çalışmalar göstermiştir ki klorpromazin yapısı, platin elekrod yüzeyinde yükseltgenirken, nötral veya zayıf asidik çözeltilerde ( $1.0 < \text{pH} < 6.0$ ) Merckle, F.H. ve Fisher, C.A.' in çalışmalarda öne sürdüğü gibi iki elektronlu tekbbir tersinmez reaksiyonla hareket etmektedir (72) ancak kuvvetli asidik çözeltilerinde tersinir kabul edilebilecek iki elektronlu iki ayrı yükseltgenme kademesinden geçmektedir. Elektrod yüzeyinde geçerli oksidasyon mekanizmaları şu şekilde olabilir:

$\text{pH} < 1.0$



$1.0 < \text{pH} < 6$



KLP : - Klorpromazin,

$\text{KLP}^+$  - Klorpromazin semikinon radikali,

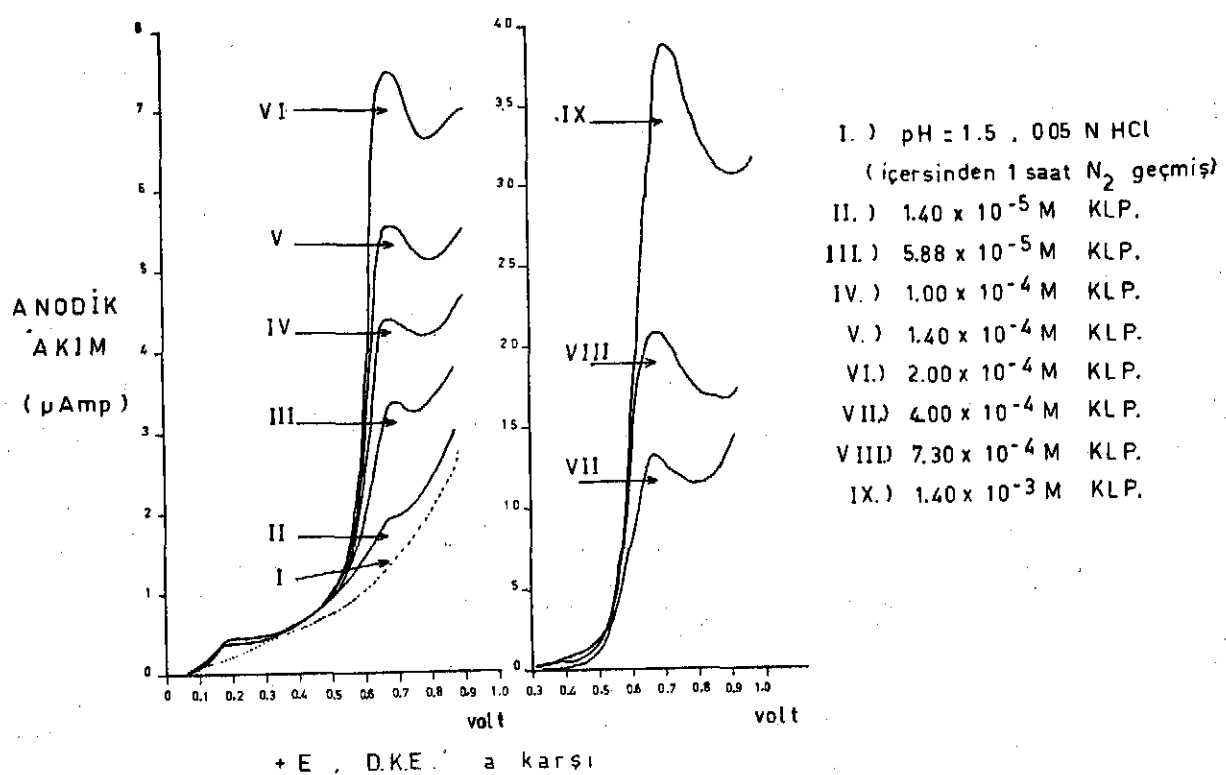
$\text{KLP}^{++}$  - Fenazotionyum iyonu,

KLP SO<sup>-</sup> - Klorpromazin sülfovksit.

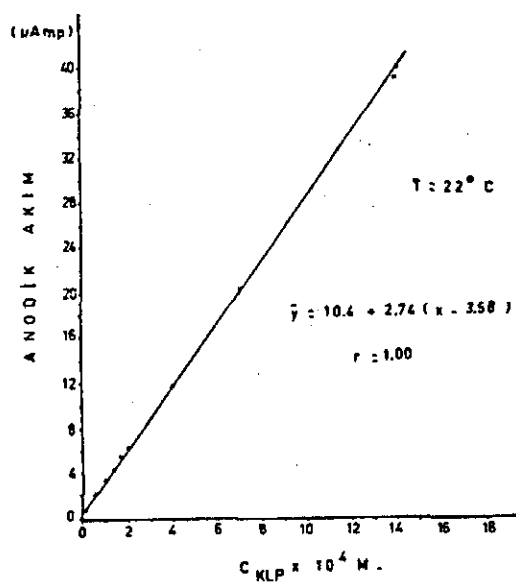
Yukarıda pH <1.0 için verilen EK (Elektro Kimyasal-elektro kimyasal ve kimyasal reaksiyon) tipi oksidasyon mekanizması ve pH sı 1.0 ile 6.0 arasında değişen klorpromazin çözeltileri için verile EK tipi oksidasyon mekanizması dönüşümlü voltametre gibi ileri elektro kimyasal yöntemlerle de çalışılmalıdır.

Diğer bir grup ön deneysel çalışmaya 1 volt/dakika tarama hızında farklı konsantrasyonlardaki klorpromazin çözeltilerinden kaydedilen elektro-oksidatif pik akımlarına karşı (Şekil 2.12), konsantrasyon grafiklenerek pH'sı 1.5 olan 0.05 N HCl çözücüsünde kalibrasyon doğrusu çizildi. (Şekil 2.13). Ortamın oksijenli veya 1 saatte yakın azot gazı geçirilerek oksijen-siz bırakılması, EK V'de verilen kalibrasyon değerlerini etkilememiştir.

Kalibrasyon eğrisi özellikle pH'sı 1.5 olan asidik çözeltilerde hazırlanmıştır ve bunun nedeni ise çözeltiye dışardan elektrolit eklemenin gerekli olmaması ve ortamın radikalik ara yapıları kararlı kalabileceği pH sınırları dışında bulunmuştur. Yakın ultraviyole ışına deneylerinde foto-oksidasyon sonucu tüketilen klorpromazin miktarı bu kalibrasyon doğrusundan hesaplanarak, ultraviyole ve floresans spektroskopik bulgularla korelasyona tabi tutulacak ve fotokimyasal reaksiyonun derecesi saptanabilecektir.



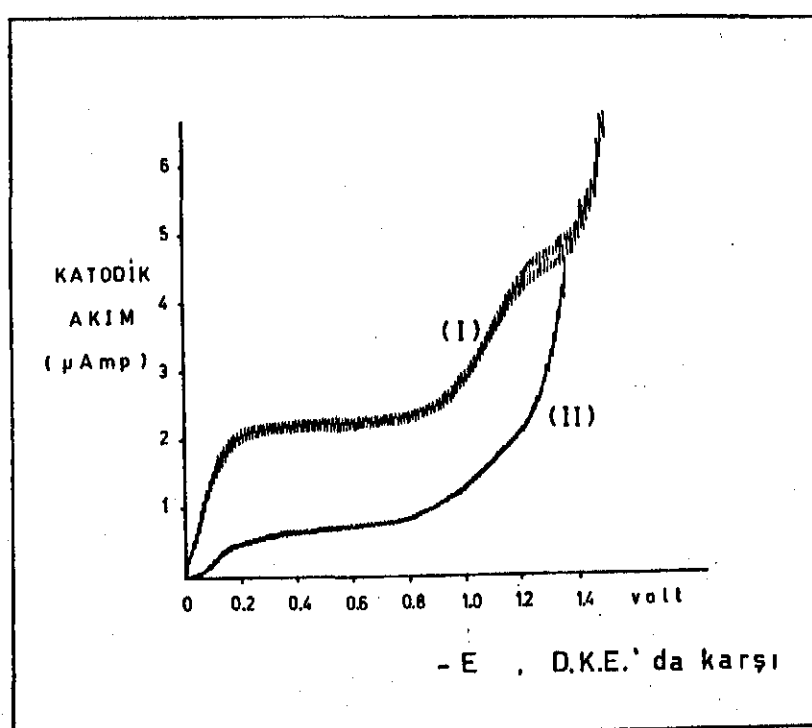
**ŞEKİL 2.12.** Farklı klorpromazin konsantrasyonlarında kaydedilmiş olan elektro-oksidasyon voltamogramlarından örnekler, pH = 1.5 HCl ve tarama hızı 1.0 volt/dakikadır.



**ŞEKİL 2.13.** Klorpromazin elektro oksidatif pik akımına karşı konsantrasyon kalibrasyonu, pH = 1.5 (HCl),  $E_{pik} = +0.67$  volt D.K.E. a karşı ve tarama hızı 1 volt/dakikadır.

### 2.1.8. Puls Polarografisiyle Yapılan Çalışmalar

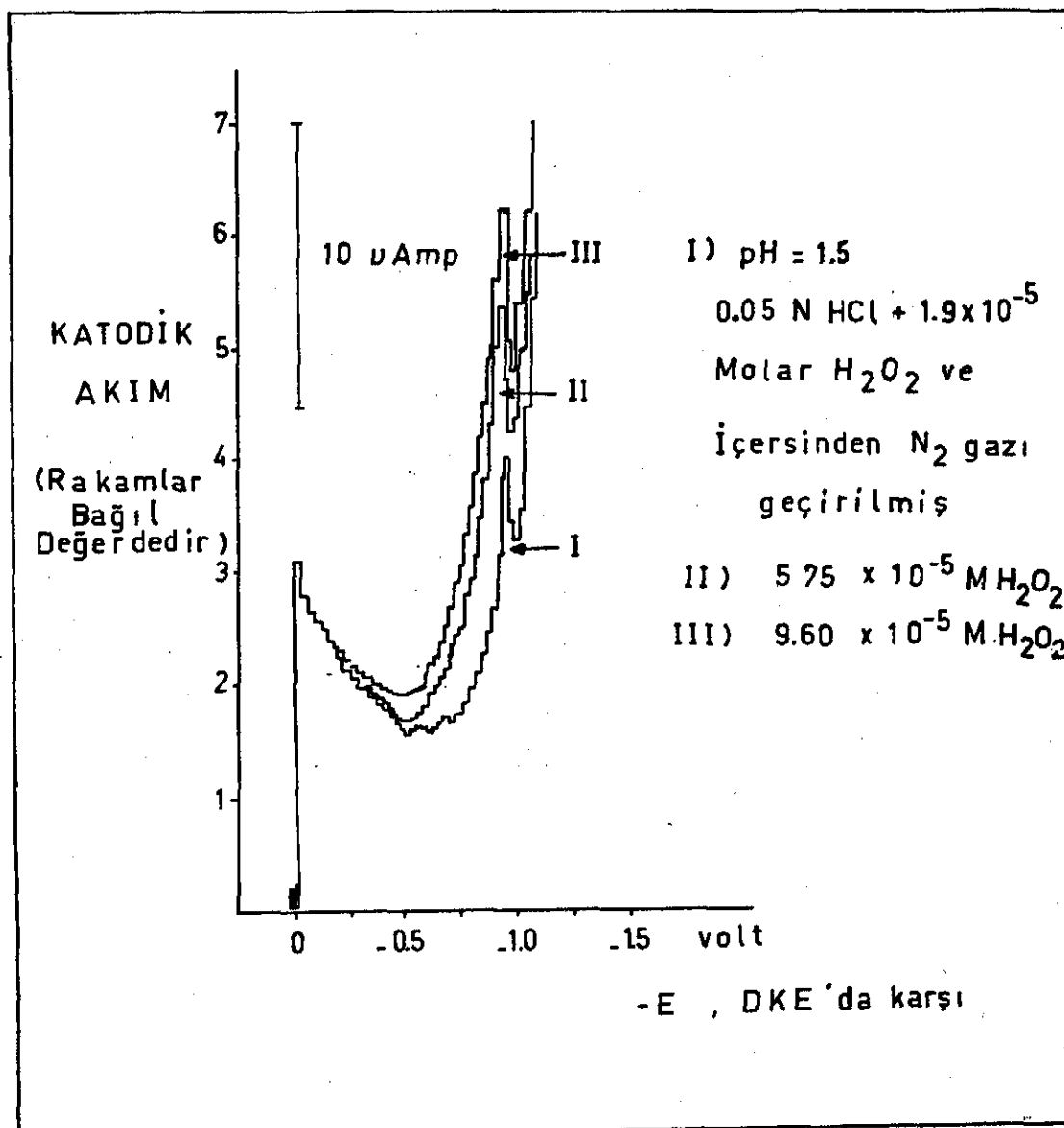
Normal polarografik yöntemle yüksek konsantrasyondaki moleküller oksijen ve hidrogen peroksit tayinleri yapılabilir. (107, 108). Elektrolit olarak pH = 4.7, 0.1 M NaAc 0.1 M HAc kullanarak yapılan ön deneylerde, elektrolit içersinden bir saat süreyle azot gazı geçirilerek moleküller oksijenden arıtılan çözeltide  $H_2O_2$  tayinleri yapıldı. Referans kalomel elektroda karşı  $E_{1/2} = -0.94$  volutta  $1 \times 10^{-3}$  M  $H_2O_2$  ile  $13 \mu\text{Amp.}$  lik ve  $2 \times 10^{-3}$  M  $H_2O_2$  ile  $19 \mu\text{Amp.}$  lik akım kaydedildikten sonra  $10^{-4}$  molar konsantrasyona inildiğinde tayin imkansızlaşmaktadır. Moleküller oksijenin  $E_{1/2} = 0.1$  volt ve  $E_{1/2} = 0.9$  volutta polarografik dalgaları vardır ve klorpromazin çözeltileriyle alınan oksijenli veya oksijensiz ortamındaki polarogramlarında, organik yapıya özgü indirgenme dalgası olmadığı görülmüştür (Şekil 2.14).



ŞEKİL 2.14.  $1.4 \times 10^{-3}$  M Klorpromazin içeren (I) hava doygun (II) içersinden 15 dk. süreyle azot gazı geçirilmiş çözeltilerinden, pH = 1.4 (HCl), alınan normal polarografik kayıt örnekleri.

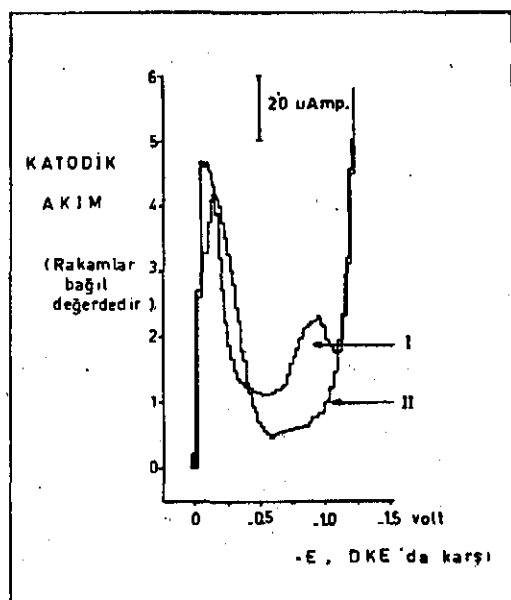
Türevsel puls polarografik yöntem kullanılırsa, gerek  $H_2O_2$  gerke se oksijen indirgenmesi yaklaşık yüz misli hassasiyetle tayin edilebilir ve polarogramlar pik şeklinde oluşur (109,110,111). Değişik pH lar daki ( $pH = 4$ ,  $pH = 3$ ,  $pH = 2$  ve  $pH \neq 1$ ) çözeltiler ile  $10^{-5} M H_2O_2$  nin -0.94 volt civarında pik verdiği ve pH değişmesiyle pik potansiyelinin etkilenmediği veya çok az bir kayma olduğu gösterilmiştir (96).  $1.92 \times 10^{-3} M H_2O_2$  stok çözeltisinden, 10 cc. pH'sı 1.5 olan 0.05 N HCl çözücüsüne 0.1 cc seri eklemeler yapılarak, yapının -0.95 voltta indirgendiği gösterildi (Şekil 2.15).

Hava doygun, pH = 1.5 olan çözücüye  $1.66 \times 10^{-4}$  molar klorpromazin eklemeden önce ve eklədikten sonra alınan puls polarogramlarda (sadece iki ayrı deney yapılmıştır), moleküler oksijenin -0.1 voltta ilk pikinde değişme olmaksızın -0.95 voltta ikinci pikinde  $30 \pm 0.4$  mikroamperlik bir azalma olduğu (Şekil 2.16) dikkati çekmiştir. Literatürde de (71,73,75), klorpromazinin hidrojen peroksidle oksidatif titrasyonunu temel alan spektroskopik çalışmalar vardır. Daha fazla deney yapılması öngörülmeksiz, standart redoks potansiyelleri üzerinden yapılan hesaplamalar EK II de verilmektedir. Klorpromazin ve oksijen içeren ortamda redoks reaksiyonunun spontan olmadığı ( $\Delta G = 81$  kkäl.) ancak aynı ortamda klorpromazinin  $10^{-6} M H_2O_2$  varlığında dahi spontan olarak iki elektron transferiyle yükseltgenebileceği ( $\Delta G = -37.5$  kkäl.) bulunmuştur.



SEKİL 2.15. Puls Polarografisiyle pH= 1.5 (HCl) çözücüsünde  $H_2O_2$  miktar tayini.

Türevsel puls polarografik yöntemle klorpromazin oksit türevlerinin akım-potansiyel eğrileri incelenmiştir ve ekleme yöntemiyle pik potansiyel değerleri saptanmıştır. Örnek bazı kayıtlar şekil 2.17. de derlenmiştir. Klorpromazin N-oksit, sülfoksit ve N-S oksit türevleri -0.75 → 0.80 volt arasında indirgenirken, sulfon türevinde benzeri indirgenme izlenmez. Oç oksit türevinin de çok yakın potansiyellerde



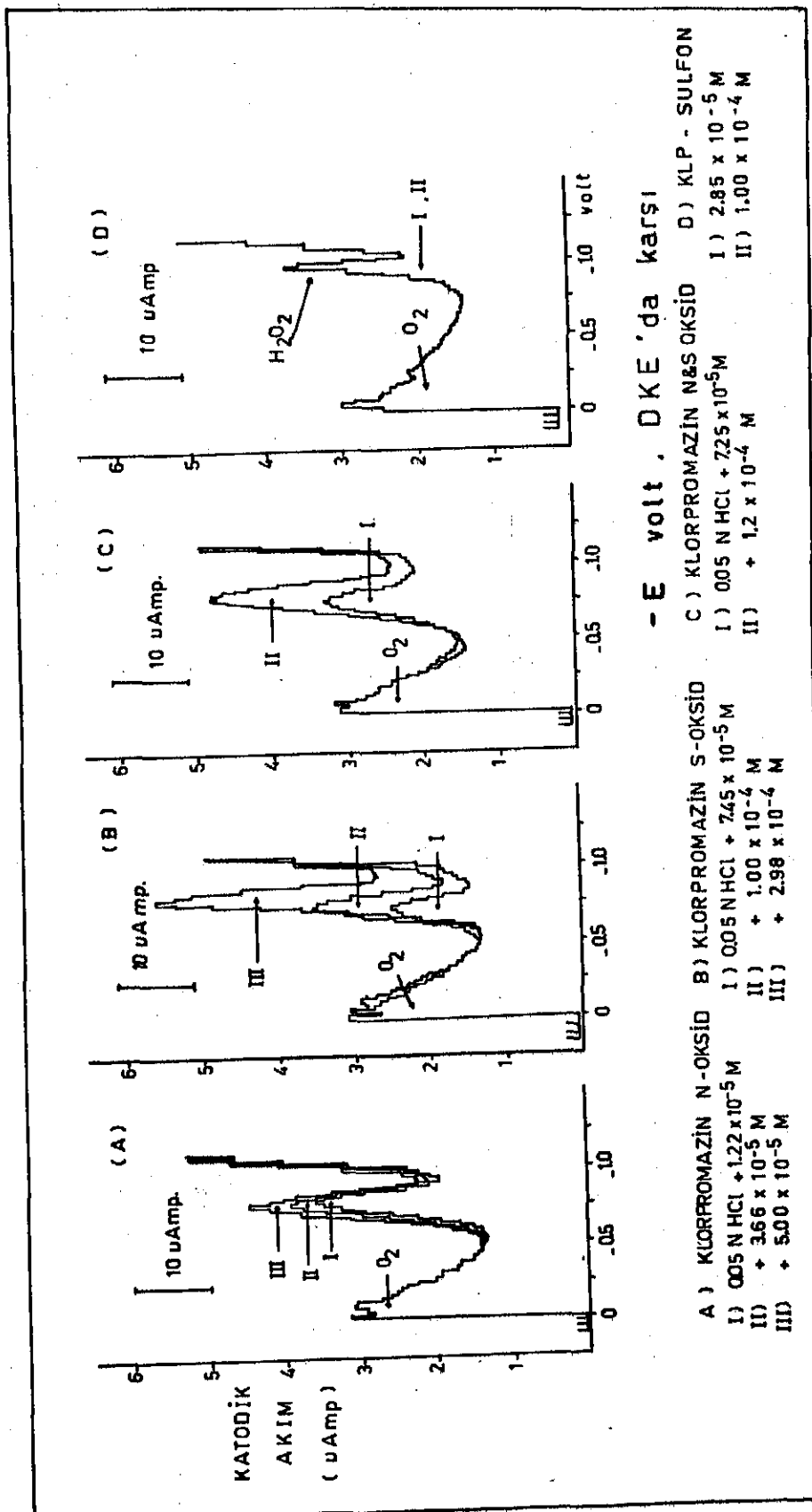
ŞEKİL 2.16. Klorpromazin ilavesinin oksijenin puls polarogramına etkisi.

(I) pH = 1.5 (HCl), hava doygun,

(II) çözücü sistem (I) +  $1.66 \times 10^{-4}$  M Klorpromazin

indirgenmesi, kalitatif tanımlama olasılığını imkansızlaştırır. Türevlerin elektro indirgen karakterlerini farklandırıcı ortamlarda çalışma olasılığı araştırılabılırse de, temel konu dışında kalacağı ve ince tabaka kromatografik analizlere bu ayırcı amaçla önem verildiği için daha ileri çalışmalar yapılmıştır.

Polarografik yöntemlerle yapılan çalışmalar şu şekilde özetlenebilir. Klorpromazin yapısının elektro indirgenme piki yoktur ancak özellikle asidik çözeltilere eklendiğinde ortamdaki hidrogen peroksiti spontan olarak indirgeyerek tüketir. Foto oksidasyon deneylerinde oluşması mümkün sulfon haricindeki diğer oksid türevlerinin farklı tanımlama yapılmaksızın indirgenme polarogramları ve varsa moleküller oksijen tüketimi incelenebilir.



SEKİL 2.17. Puls Polarografisiyle Klorpromazin Oksitit İrevlerinin Tayini

### 2.1.9. Klorpromazinin havada yükseltgenmesi

Leyko tiyonin, leyko metilen mavisi gibi fenotiyazin boyar madde-lerinin asidik çözeltilerinde, hava ile temas sonunda yükseltgendiği bilinmektedir. (47,96). Klorpromazin yapısının güneş ışığında bázun-ması ve temelindeki gerçekleri anlayabilmek için yapılan ön spektroskopik deneyler, bu təz konusunun hareket noktalarını saptamıştır. Ön deneysel çalışmalarдан varılan sonuçlar ve literatürle birlikte yapı-lan yorumlar şu şekilde özetlenebilir:

A) Görünür bölge ve ultraviole spektrumlarıyla takip edilen klorpromazinin, zayıf asidik ve nötral çözeltilerinde güneş ışima-sıyla maksimum absorbansı 400 nm olan renk oluşumu (Şekil 2.18), bir hafta bekletilmesiyle sarı kahverengi renklenme görülmüş, buna karşılık kuvvetli asidik çözeltilerinde (Şekil 2.19) maksimum ab-sorbansı 530 nm olan kırmızı pembe renk oluşumu saptanmıştır. Son oluşumun klorpromazin semikinon radikalı olduğu bilinmektedir (86-90).

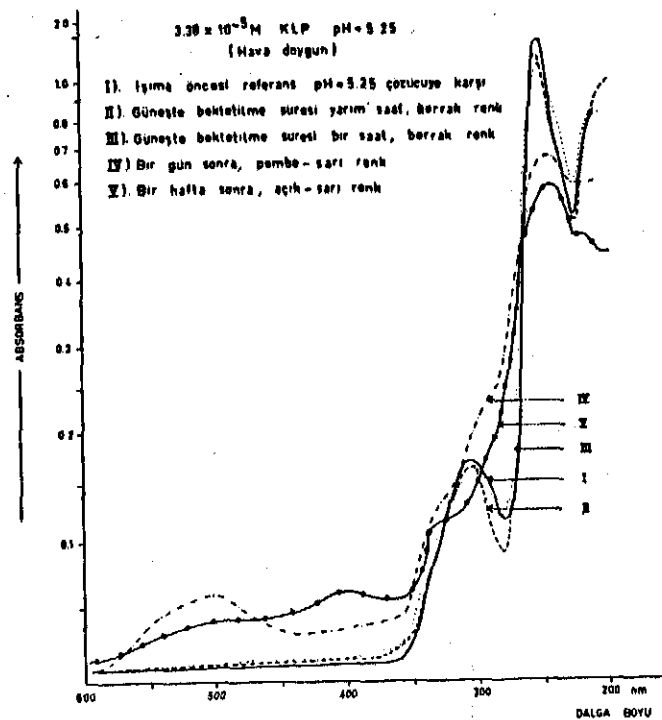
Tüm deneyler  $10^{-5}$  M klorpromazinle yapılmıştır.

Nötral klorpromazin çözeltilerinde ortamdan azot gazı geçirerek atılan oksijenin önemli rolü olduğu ve oksijeniz ortamda renk oluşumlarının yavaşladığı görülmüştür.

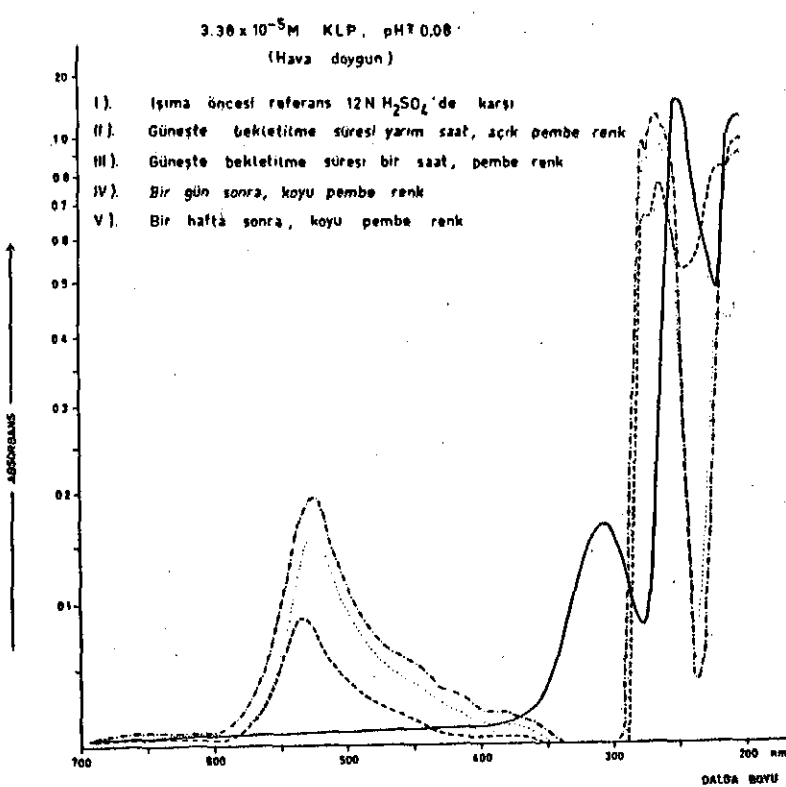
B) Işık gücü 1000 watt olan görünür ışıkla, özel düzenek içersinde yapılan ve ultraviyole ışık filtresi kullanılan birkaç deneyde, klorpromazin spektrumunun etkilenmediği görülmüştür. Bu gözlem Forrest ve arkadaşlarının çalışmalarına uymaktadır (89).

C) Maksimum ışık şiddeti 256 nm. olan ışık kaynağı ile tekrarlanan deneylerde (birkaç deneyden ibarettir), klorpromazin spektrumundaki 256 nm deki maksimum bandın zamanla söndüğü ancak çözeltinin renksiz kaldığı görülmüştür. Literatürde benzeri ışımıyla klorpromazinin renksiz sülfosit ve N-oksit oluşturduğuna değinilmektedir (92,93).

D) Güneş ışığının özellikle kuvars cam haricindeki diğer adı veya pyreks camlardan yapılmış şişelerde saklanan organikler üzerinde 350 ve 400 nm dalgaboyları arasında etkin olduğu düşünülverek, 366 nm de maksimum ışık şiddeti olan ışık kaynağı ile ön deneyler tekrarlandığında, güneş ışığıyla izlenen aynı sarı-pembe renk oluşumlarının en fazla 10,15 dakika ışınma süresi içerisindeoluştugu izlenmiştir. Bu dalga boyundaki ışımıyla klorpromazinde sadece  $n - \pi^*$  geçisinin uyarıldığı floresans spektral ön deneylerden anlaşılmaktadır.



ŞEKİL 2.18. Nötral klorpromazin çözeltilerinde güneş ışığının etkisi,  
pH = 5.25 ve hava doygun

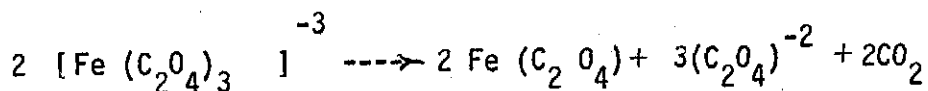


ŞEKİL 2.19. Kuvvetli asidik klorpromazin çözeltilerinde güneş ışığının  
etkisi, pH = 0.08 (12 N H<sub>2</sub>SO<sub>4</sub>) ve hava doygun.

## 2.I.I0. Işık Şiddetinin Ölçülmesi

Işık şiddetinin ölçülebilmesinde fiziksel ve kimyasal yollardan faydalananır. Fiziksel ölçümler daha hassas ve tam netice vermekle beraber, kimyasal yöntemler çalışma şartlarını aynı sağladığı için tercih edilir. Kimyasal yollarla ışık şiddetinin ölçülmesine "aktinometre" adı verilir. Kimyasal aktinometre bir kimyasal sistem olup, belli bir kuantum verimine sahip olan ölçülebilen fotokimyasal bir reaksiyondur. Aktinometre çözeltisi reaksiyon hücresinde konularak belli bir ışma süresi sonunda absorpladığı foton sayısı hesaplanabilir.

Kullanılan aktinometre çözeltilerinden birisi uranil oksatıdır. Işıkla bozulan okzalik asid miktarı, permanganat titrasyonuyla bulunabilir. (Leinghtan ve Forbes 1930). Diğer bir yöntemde (112), potasyum ferrioksalatin fotoliz ürününün 1:10 fenantrolin indikatörüyle vermiş olduğu kompleksin 510 nm'deki absorbans değerinin ölçülmesidir. C.A.Parker (1953) bu aktinometrenin uranil okzalat ile karşılaştırıldığında çok daha hassas olduğunu göstermiştir.



Oluşan Fe (II)'nin pH= 3.5 tamponunda 1:10 fenantrolin ile vermiş olduğu kompleks oldukça kararlıdır. 510 nm'de maksimum absorpsiyon

gösteren Fe (II) kompleksine karşılık aynı dalgaboyunda Fe (III) hemen hemen hiç bir absorpsiyon göstermez. Hazırlanan  $\text{FeCl}_3$  ve  $\text{K}_2\text{C}_2\text{O}_4$  çözeltileri belirli hacimlarda karıştırılarak  $\text{K}_3\text{Fe}(\text{C}_2\text{O}_4)_3 \cdot \text{H}_2\text{O}$  kristalleri oluşturulur (112,113) ve kristallerden belirli konsantrasyonda hazırlanan çözeltilerden aktinometrik ölçümler yapılır.

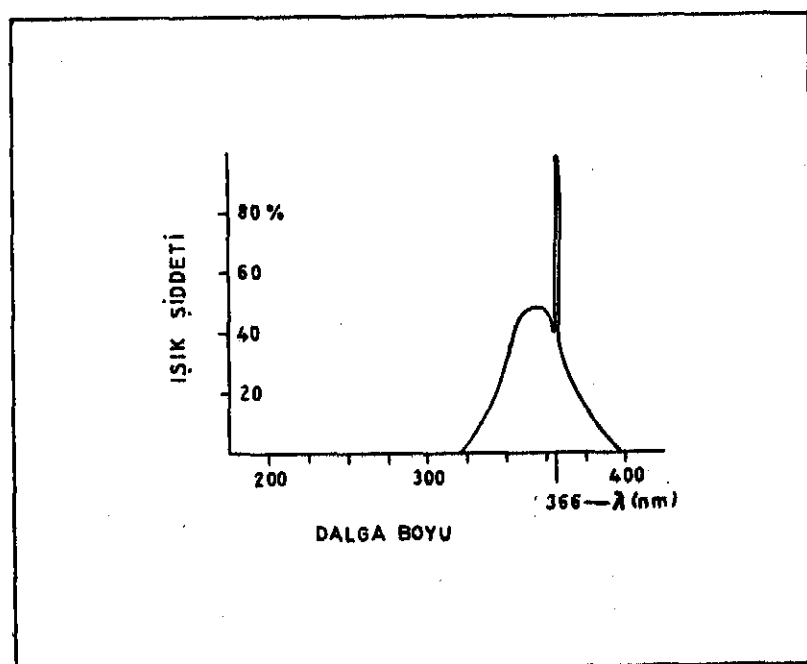
Daha sonraki yıllarda yapılan çalışmalarında (114-116), potasyum ferriokzalat'ın kimyasal aktinometre için çok uygun olduğu kabul edilmiş ve daha tutarlı hale getirilmesi yolunda çalışmalar yapılmıştır. Yeniden düzenlenen Hatchard ve Parker yöntemine göre aktinometre çözeltisi olarak kullanılan  $\text{K}_3\text{Fe}(\text{C}_2\text{O}_4)_4$  çözeltileri, anında Fe (III) ve  $\text{C}_2\text{O}_4^{-2}$  çözeltilerinden hazırlanabilmektedir.

Deneylerde kullandığımız yakın ultraviole ışık kaynağının, ışınma sistemi içerisinde 10 cm. uzaklıktan tesbit edilen ışık şiddeti, EK 1'de detayı ile verilen yukarıdaki yöntem gereğince hesaplanmış ve  $366 \text{ nm}$  dalgaboyundaki gücü  $(1.565 \pm 0.142) \times 10^{-7}$  eins./dk. veya 859 mikrowatt olarak saptanmıştır.

## 2.2. DENEYSEL DOZENELER

### 2.2.1. Işık kaynağı ve deneysel ışıma hücrelerinin seçimi

Klorpromazinin farklı pH' lardaki sulu çözeltilerinde yakın ulti raviolet ışıma deneylerini yapabilmek üzere ışık kaynağı olarak maksimum geçirgenliği 366 nm olan filtre ile donatılmış, iki adet hidrogen ark lambası içeren, "Mineralight R-51" tipi (UV.-Prod. Inc, SanGabriel, CALIF) ışık kaynağı seçildi. Kataloktan alınan ışık kaynağının yüzde ışıma gücünün dalgaboyuna göre değişimi, şekil 2.20 ile verilmektedir ve potasyum ferriokzalat kimyasal aktinometre deneyleriyle (Bak bölüm 2.1.10) 10 cm filtre uzaklığından ışık şiddeti 859 mikrowatt olarak tespit edilmiştir.



SEKİL 2.20 . ışık kaynağının dalgaboyuna karşı yüzde ışık şiddeti.

Işıma hücrelerinin seçiminde bir çok kriter düşünülmelidir.

Bu özellikler şu şekilde derlenebilir:

- A) İşıma yapılacak dalgaboyu saptanmalı ve cam malzeme özellikleri karşılaştırılmalı,
- B) Hücre içersindeki çözeltinin azot atmosferinde kalması temin edilebilmeli,
- C) Sıcaklık kontrol edilebilmeli ve istenilen değerde tutulabilecektir,
- D) Işık gören alan ve ışık yolu sabitikalmalı veya kontrol edilebilmeli, oluşan ürünlerin çözeltide homojen olarak dağılımı sağlanabilmeli,
- E) Kullanılan hücreyle, anında ultraviyole, görünür bölge veya floresans spektrumları veya voltamogramları alınabilmeli,
- F) Kolay temizlenebilir olmalıdır.

İlk iki şıkka göre, yakın ultraviolette bölgelerde ışıma deneyleri için kuvars veya pyreks hücreler uygun düşmektedir ancak spektral kayıtların alınabilmesi için Beckmann 110-QS kuvars 10 mm-kare, ağızı kapaklı K 282/2x hücreler ve Aminco Bowman A296-62155, kuvars 10 mm - kare, ağızı açık hücreler tercih edilmiştir. ışıma süresince hücre içersinden azot gazı geçirilen deneylerde hücre ağızı, ışıma sonrası kapatılarak spektrumları alınmıştır. Elektrokimyasal çalışmalarında da ortam

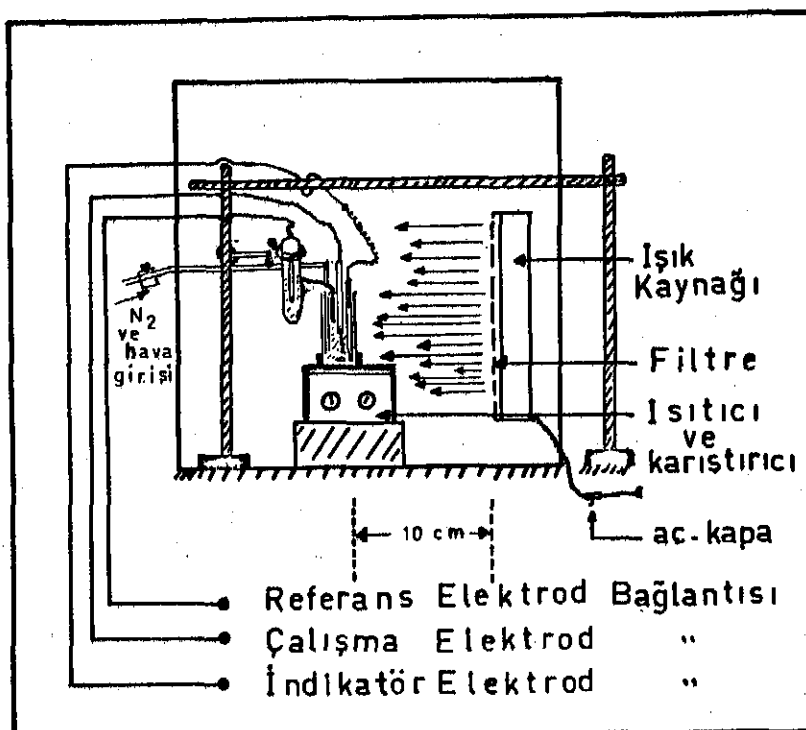
atmosferi hücre içersine yerleştirilen kılcal bir borudan sürekli gaz geçirilmesiyle temin edilmiş ve ortam homojenliği sağlanmıştır. Bu hücrelerle çalışmanın tek sakıncası sıcaklık kontrolü yapılamayışıdır. Ancak çözelti sıcaklığı teletermometrik kayıtlarla  $23-25^{\circ}\text{C}$ 'ta sabit tutulduğunda, ıshıma süresince sıcaklık değişiminin, yirmi dakikalık tüm ıshıma deneyleri süresince  $+2.5^{\circ}\text{C}$ ’tı geçmediği saptanmıştır (bak bölüm 3.3.)

#### 2.2.2. Kullanılan Işıma Sistemleri

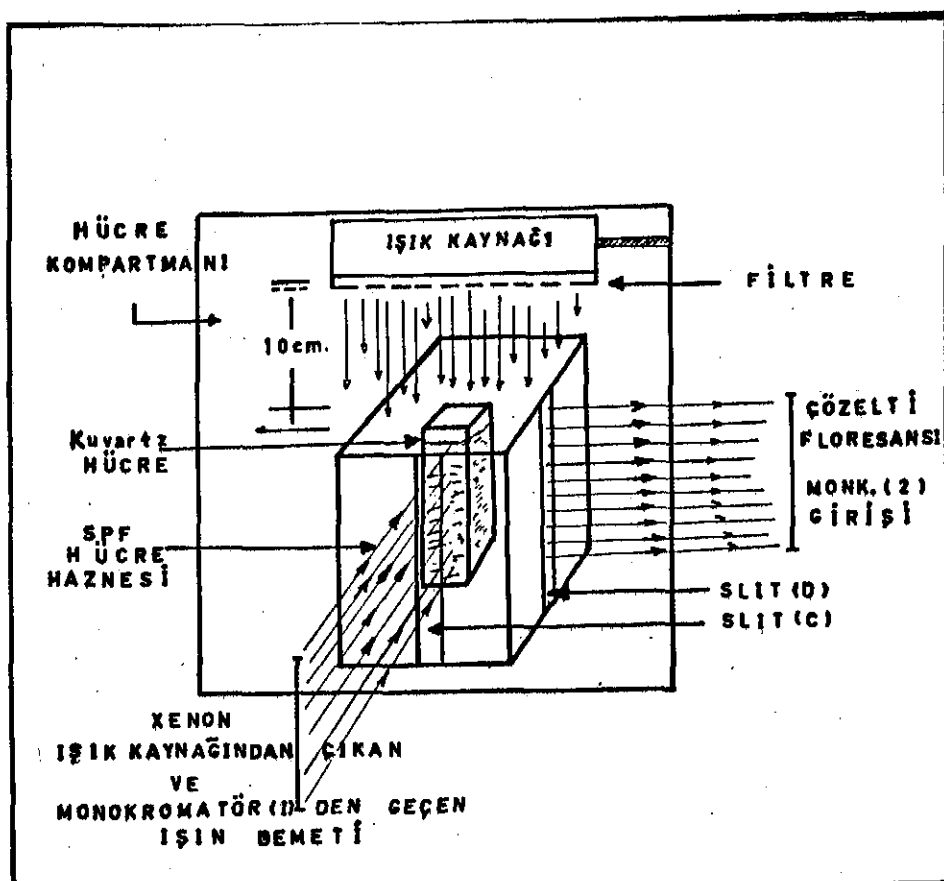
Klorpromazin ve oksit türevleriyle yapılan fotokimyasal deneylerde dört değişik yöntemin ve analiz tekniğinin esas alındığına değinilmiştir. Tüm yöntemlerde aynı ışık kaynağı ve ıshıma hücreleri kullanılmışına karşın, ıshıma sistemlerinde bazı modifikasyonlar gerekli görülmüşdür.

İşıma sistemi (A), elektrokimyasal uygulamalarda başarılı olurken aynı sistemdeki tüm elektrod bağlantıları kaldırılarak yapılan ıshımalarda yapının ıshıma süresince ultraviyole ve görünür bölge spektrumları kaydedilebilmiştir.

İşıma sistemi (B), spektrofotofluorometre hücre kompartmanında yapılan düzenlemelerle gerçekleştirilmiş ve ıshıma süresince yapının floresans spektrumunda meydana gelen değişiklikler başarıyla kaydedilmişdir. Her iki ıshıma sistemi şekil 2.21. ve 2.22 ile verilmektedir.



ŞEKİL 2.21. İşıma Sistemi (A)



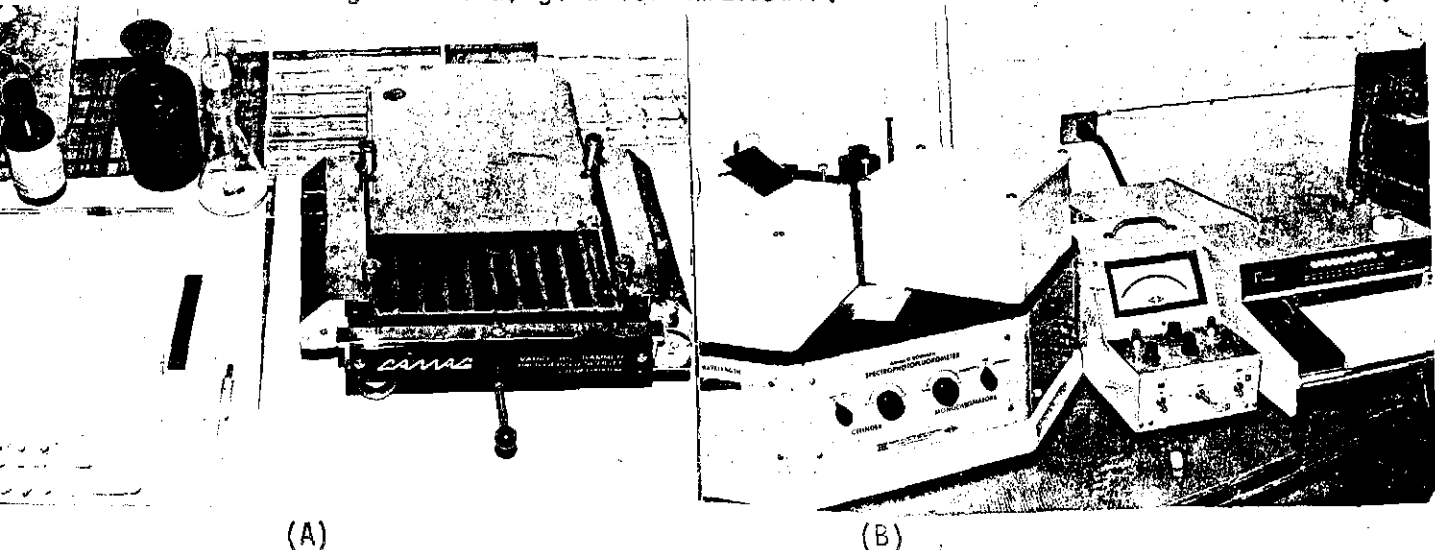
ŞEKİL 2.22. İşıma Sistemi (B)

### 2.2.3. İşıma Deneylerinde kullanılan cihazlar

Absorpsiyon spektrumları "Beckman DB-G T Grating" spektrofotometre ve buna bağlı olan "Beckman 10" yazıcısı kullanıldı. Aletin 100 mvolt-luk yazıcı çıkışına bağlı olan "Heath model EU-805 tipi Universal Digital" aygıtlı transmittans değerleri digital olarak okunabildi.

İşıma sistemi içersindeki karıştırma ve gereğinde başlangıç sıcaklık ayarı "Arthur H.Thomas Co.,Philadelphia" dan temin edilen magnetcik karıştırıcı ve ısıtıcı ile yapıldı ve yine ısıma süresince izlenen sıcaklık artışları "YSI model 46" teletermometre kullanarak kaydedildi.

Floresans kayıtların alındığı "Aminco-Bowman spektrofotofluorometre" ve ince tabaka kromatografik çalışmaların yapıldığı "Gamac Vario-K-S" çemberinden bölüm 2.1.5 ve 2.1.6 da bahsedilmiştir. Bu cihazların fotoğrafları aşağıda verilmektedir.



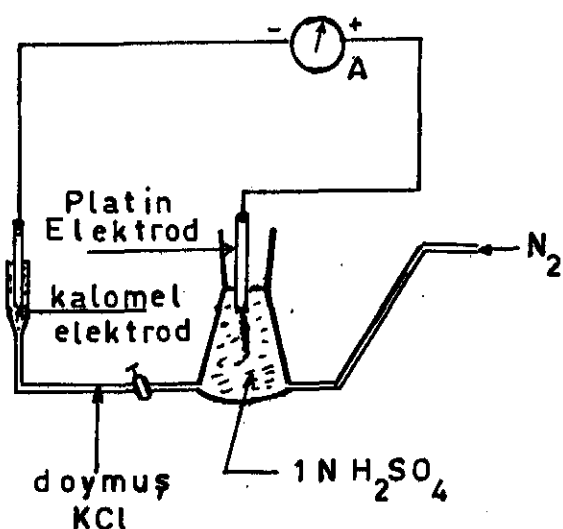
ŞEKİL 2.23.

(A) VARIO K-S ÇEMBERİ

(B) SPEKTROFOTOFLOROMETRE CİHAZI

İşime süresince, özellikle nötral klorpromazin çözeltilerinde pH değişimini kaydedebilmek için "Fotovolt model III" pH metre ve buna bağlı "Varian model A-25 tipi" yazıcı kullanıldı. Yazıcı deneyel çalışmalarından önce pH'sı 1 ile 5 arası değişen tampon çözeltilerle kalibre edilmiştir.

Elektro oksidasyon voltamogramlarının işime sistemi (A) içerisinde üçlü elektrod düzeniyle kayıt şecline bölüm 2.1.7 de deñinilmiştir. Referans olarak kullanılan doymuş kalomel elektrod potansiyeli kontrol sonrası sabit kabul edilerek, kullanılan platin elektrodlar referansa karşı sıfıra yakın akım gösterene kadar temizlenerek bekletildi. Yüksek akım gösteren platin elektrodlar, şekil 2.24 le verilen temizleme düzeneği içerisinde referansa karşı kısa devreye bağlanarak, önceleri 10-15 mikroamper akım gösteren mikroampermertenin birkaç saat sonrasında sıfır düşmesi sağlandı.



SEKİL 2.24. Platin elektrodu temizlemek için kullanılan düzenek

Elektron paramagnetik resonans spektrumları Üniversitemiz Fizik Enstitüsünde mevcut "Varian model E-15 EPR" la kaydedilmiştir ve yine aynı bölümle işbirliği sonunda geliştirilmiş olan puls polarografi si, "Heath model EDA 19-2 "polarografi Ünitesinde yapılan sistemik deşikliklerle analizlerde kullanılmıştır.

### 2.3. Deneylerin analizi içinde kullanılan istatistiksel metodlar

Deneylerin analizi ile elde edilen sayısal değerler ortalama standart hata şeklinde ifade edilmiştir. Ortalama ve standart hatalar muadı istatistiksel methodlarla (Goldsthein, 1971) hesaplanmıştır ve deneylerdeki parametrelere göre ortalamalar arasındaki farkın önem kontrolü "Student'in t testi" ile incelenmiştir (98). İki doğrunun eğimler arasındaki farkın önem kontrolü aşağıdaki formüle tanımlıdır.

$$t = \frac{b - b'}{s_{xy} \cdot \sqrt{(1/SS_x + 1/SS_{x'})^{1/2}}}$$

Bu formülde

$b$  ve  $b'$  = doğruların eğimleri,

$$s_{xy}^2 = 1/N - 2 (\sum y^2 - (\sum y)^2/N - b (\sum xy - \sum x \cdot \sum y/N))$$

$$SS_x \text{ ve } SS_{x'} = \sum x^2 - (\sum x)^2/N$$

$\sum x$  = x değerlerinin toplamı,

$\sum x^2$  = x değerlerinin karelerinin toplamı

$\Sigma y$  = y değerlerinin toplamı,

$\Sigma y^2$  = y değerlerinin karelerinin toplamı,

$\Sigma xy$  = x ve y değerlerinin çarpımının toplamı,

N = deneyel değerlerin toplam sayısı.

Bulunan t değerine isabet dene p değeri, ait olduğu serbestlik derecesinde özel tablodan tayin edilmiştir. P < 0.05 ise karşılaştırılan parametreler arasındaki farkın istatistiksel olarak anlamlı olduğuna hükmedilmiştir.

Deneyel değerler arasındaki doğrusal ilişkilerde gerekli korelasyon ve eğim hesabı şu şekilde yapılmıştır. Bir doğrunun matematiksel ifadesi  $y = mx + c$  ise doğrunun eğimi aşağıdaki formülle verilir.

$$m = \frac{N \Sigma xy - \Sigma x \cdot \Sigma y}{N \Sigma x^2 - (\Sigma x)^2}$$

Aşağıdaki formül yardımıyla her doğru için korelasyon katsayısının hesaplanması gerekmektedir:

$$r = \frac{N \cdot \Sigma xy - \Sigma x \cdot \Sigma y}{\sqrt{(N \cdot \Sigma x^2 - (\Sigma x)^2)(N \cdot \Sigma y^2 - (\Sigma y)^2)}}$$

### 3. SONUÇLAR

#### 3.I. Işıma süresince Ultraviyole ve Görünür Bölge

##### Spektrumlarının Takibi

Absorpsiyon spektrumlarının ultraviyole ışıma süresince değişimi, klorpromazin çözelti özelliğine özgü farklılıklar göstermektedir.

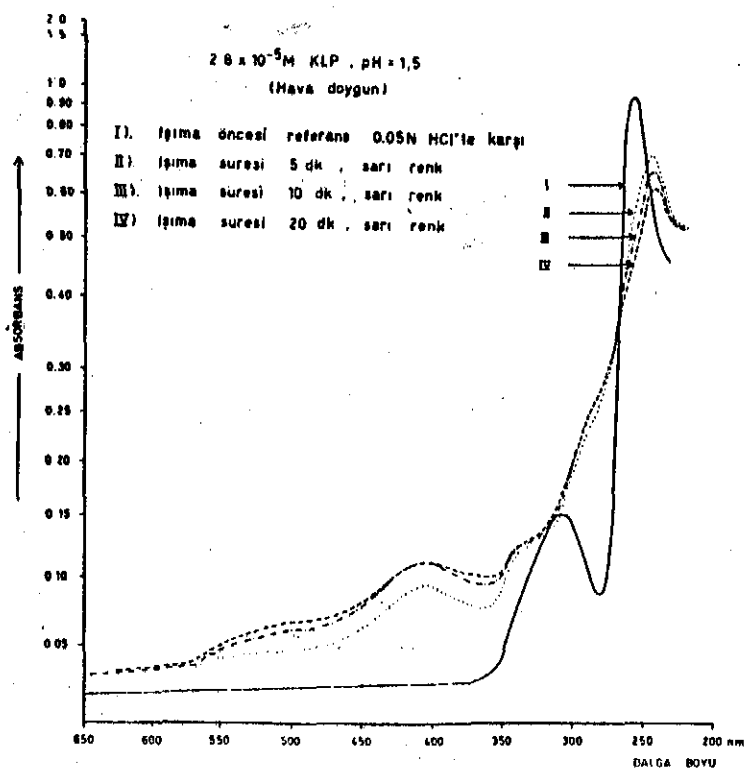
#### 3.I.I. Havası uzaklaştırılmış çözeltilerde ışıma deneyleri

İşıma yapılacak hücredeki çözeltinin ışıma öncesi sıcaklığı, karıştırıcı-isıtıcı ile sabitlenerek, teletermometrik kontrolleri yapıldı. Genellikle  $23-25^{\circ}\text{C}$  başlangıç sıcaklığında ve  $2.8$  ile  $5. 6 \times 10^{-5} \text{ M}$  Klorpromazin içeren, pH'sı  $0.08$  ile  $6$  arasında değişen çözeltilerinden, ışıma öncesi referans çözücüye karşı spektrumları kaydedildi. İşıma süresi kronometrik olarak takip edilen yakın ultraviyole ışıma deneyleri ( $\lambda_{\text{mak.}} = 366 \text{ nm}$ ), belirli sürelerde durdurularak anında spektrumları kaydedildi. Örnek bir spektral kayıt pH=1.5 (0.05 N HCl) için şekil 3.01 de verilmektedir.

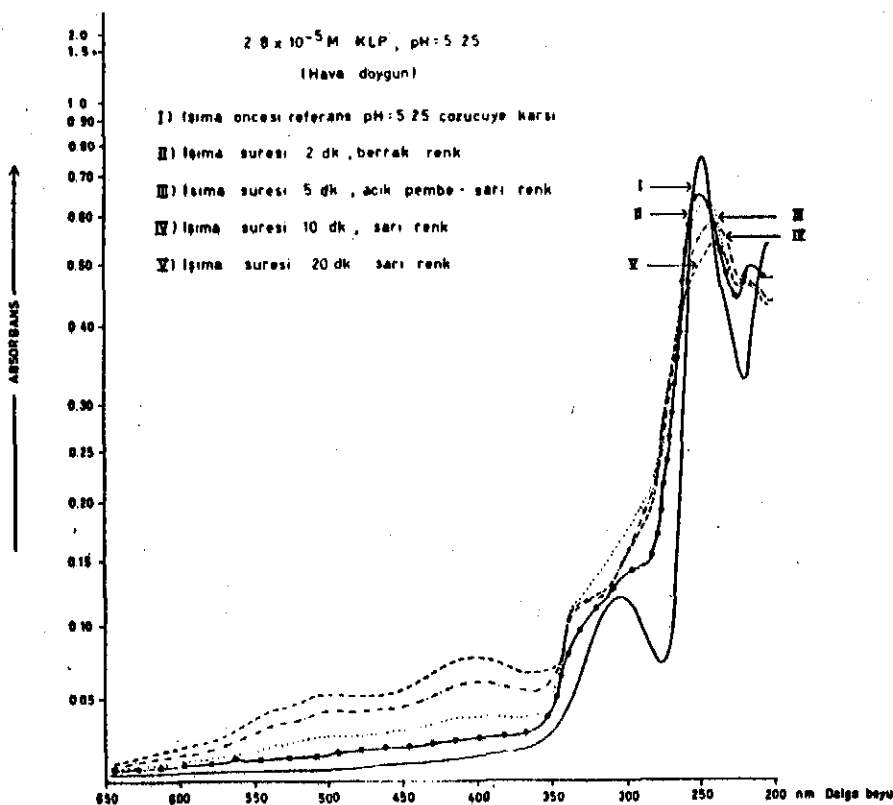
Berrak klorpromazin çözeltisinde ışınmanın ilk iki dakikasında berraklık kaybolurken sırasıyla pembe ve ışınmanın devamında (Şekil 3.01. ve 3.02) sarı-pembe ve sarı renk oluştuğu görüldü. Hava doygun bu çözeltilerdeki ışıma süresince izlenen spektral değişiklikler : 265 nm ve 247

nm de isobestik noktalar verecek şekilde, 256 nm deki  $\pi - \pi^*$  bandında  $242 \pm 3$  nm'ye kayma, 310 nm deki  $n - \pi^*$  bandında ise  $350 \pm 5$  nm ve  $275 \pm 3$  nm de belirginleşen yaygın absorbans artışı ve  $400 \pm 5$  nm de yeni bir spektral oluşumdur. Yirmi dakikalık ışınma süresi tüm spektral değişikliklerin dengeye ulaştığı süre olarak, tüm ışınma deneyleri için yeterli bulunmuştur. Bu süre sonunda iki bandla karakterize klorpromazin spektrumu yerine, muhtemelen eksit türevlerinin oluştuğunu karakterize eden dört bantlı spektrumlara dönüşüm tamamlanmaktadır.

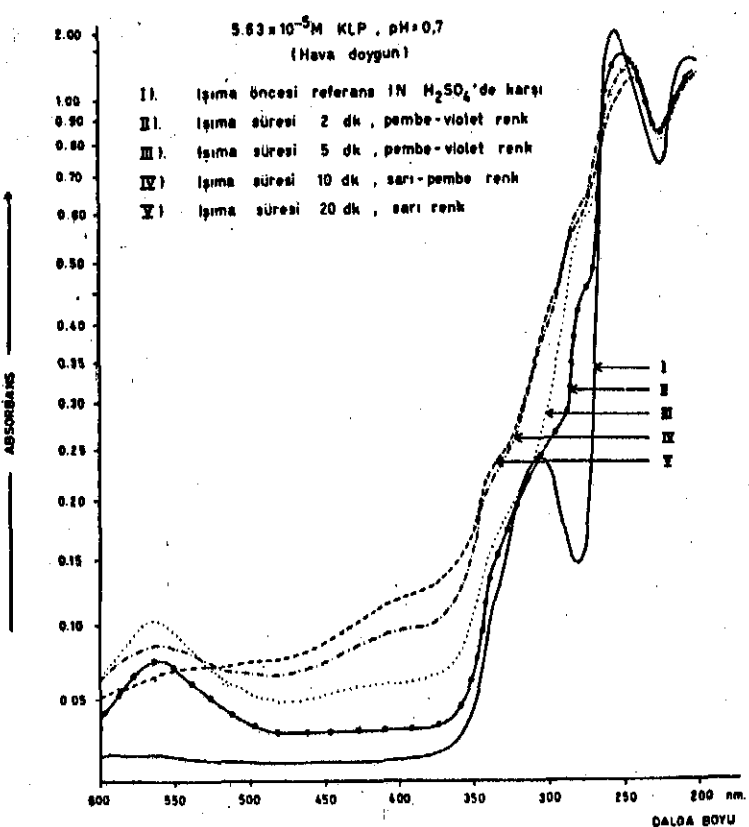
Klorpromazin sülfovksit veya diğer oksit türevlerinin oluşumunu direkt olarak göstermek imkansız olduğundan, tanımlama çalışmaları sadece ince tabaka kromatografik yöntemle karşılaştırmalı değerlendirilmesi yapıldı. ışınma sonrası örneklemelerle, pH = 1.5 da kromatogramlarda sadece sülfovksit lekesi belirgindi. Yine de bu kanıtlama renksiz olan klorpromazin sülfovksit ( $\lambda_{\text{mak}} = 240, 275, 298$  ve  $342$  nm) dışında ortamda mevcut  $400$  nm de maksimum absorbans veren oluşumu tariflemektedir. ışınma deneyleri  $5 \times 10^{-3}$  molar klorpromazin konsantrasyonuna varan çözeltilerde tekrarlandığında renk oluşumunu şiddetlendiği ve kromatogramlarda  $R_f$  değeri 0.55 olan bir tıkenin belirginleştiği görüldü.



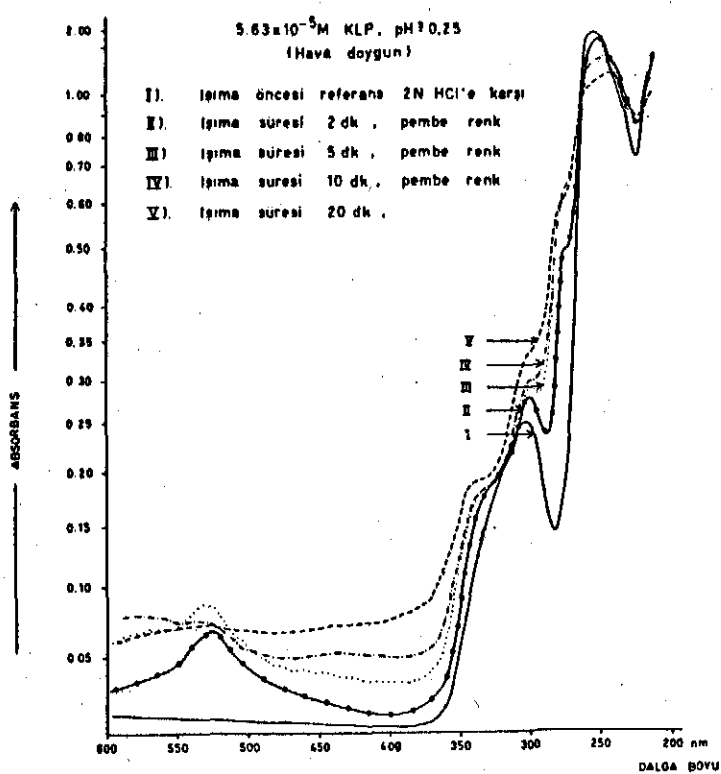
**ŞEKİL 3.01.** Belirli ışınma sürelerinde klorpromazin çözeltisinin (pH=1.5,HCl) ultraviyole ve görünür bölge spektrumları.



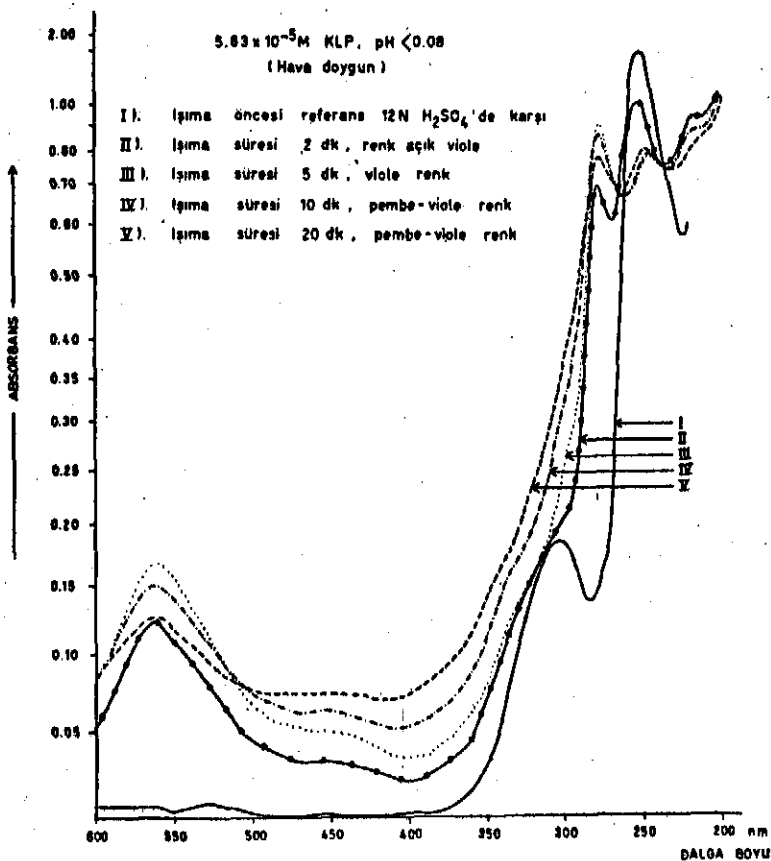
**ŞEKİL 3.02.** Belirli ışınma sürelerinde klorpromazin çözeltisinin (pH =5.25) ultraviyole ve görünür bölge spektrumları



ŞEKİL 3.03. Belirli ısıma sürelerinde klorpromazin çözeltisinin ( $pH = 0,7$ ,  $H_2SO_4$ ) ultraviyole ve görünür bölge spektrumları.



ŞEKİL 3.04. Belirli ısıma sürelerinde klorpromazin çözeltisinin ( $pH = 0,25$ , HCl) ultraviyole ve görünür bölge spektrumları.



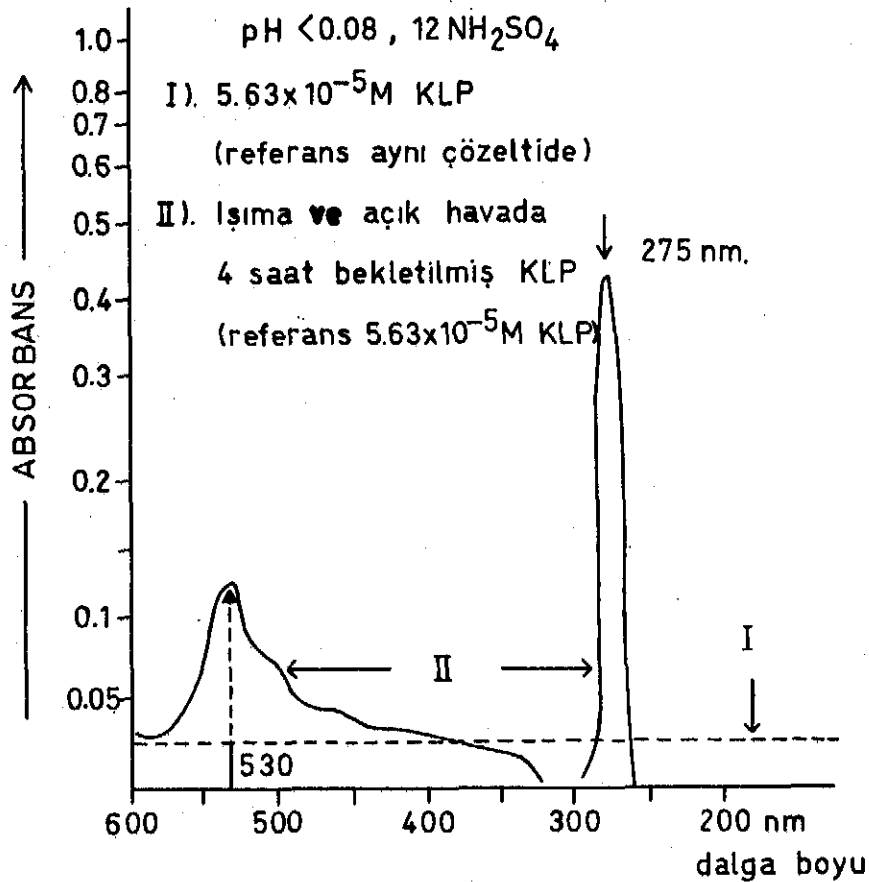
ŞEKİL 3.05. Belirli ışınma sürelerinde klorpromazin çözeltisinin ( $pH = 0.08$ ,  $H_2SO_4$ ) ultraviyole ve görünür bölge spektrumları.

Tüm ışınma deneylerinde 580 ile 400 nm arasındaki görünür bölgede temel absorbsiyon artmaktadır. Özellikle ışınmanın ilk beş dakikasında ortaya çıkan radikalik ara yapılarının kararlı kılınması için  $1 N H_2SO_4$ ,  $2 N HCl$ ,  $12 N H_2SO_4$  gibi kuvvetli asidik çözeltilerde yapılan deneylerde, ilki 530 nm de, ikincisi 565 nm de olan iki absorpsiyon bandı yükselmektedir. İzlenen spektral değişiklikleri içeren örnek spektrumlar Şekil 3.03, 3.04, 3.05 ile verilmektedir.

$1 N H_2SO_4$  ve  $12 N H_2SO_4$  gibi çözücülerde (Şekil 3.03 ve 3.05) ilk dakikalarda maksimuma ulaşan ve ışınma devamında azalan 565 nm deki band,

2 N HCl çözeltilerinde izlenen ve klorpromazin semikinon radikaline ait 530 nm deki bantdan (BAK BÖLÜM 1.5.) tamamen farklıdır. Çözücü özelligine bağlı olan bu farklı oluşum, azot atmosferi altında yine 2 N HCl ile yapılan ışımlarda da, ortaya çıkmaktadır. Sülfürik asidin çözeltideki elektron afinitesini arttırması, klorpromazin yapısından kota elektron koparılmasına ortam hazırlaması, ışımanın temel hareket yönünün klorpromazin semikinon ara radikal oluşumdan geçerek (530 nm) ikinci bir elektron kaybı ile fenazotionyum iyonuna veya benzeri bir diradikalik yapıya dönüştüğünü düşündürmektedir. Bu bulgu esr veya elektrokimyasal sonuçlarla desteklenmektedir.

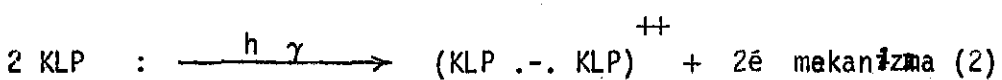
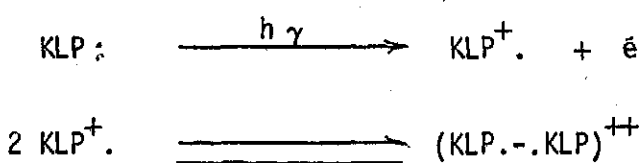
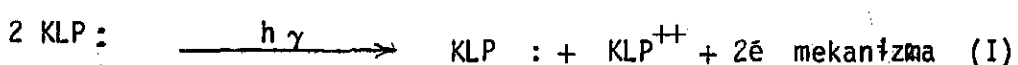
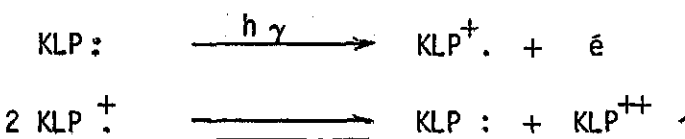
Kuvvetli asitli ortamda moleküler oksijen mevcut olmasına rağmen ıshima sonunda herhangi bir eksit türevinin oluşmadığı ince tabaka kromatogramlarıyla kanıtlanmıştır. Pembe-viyole renkli bu çözeltilerde diradikal absorbansı sönmekte ve sadece 530 nm de absorbans gösteren semikinon radikalı kararlı kalmaktadır. (Şekil 3.06) Semikinon radikalı şekil 3.06 ile verilen spektrumdan da görüldüğü gibi 530 nm ve 275 nm deki absorbans bantlarıyla karakterizedir. Moleküler oksijeni ortamdan kısmen azot gazı geçirerek atılmış 2N HCl çözeltilerinde de 565 nm absorbansın ıshimayla yükseldiği görülmektedir. Bölüm 3.4. da verilen floresans bulgular, azot atmosferinde ıshimayla klorpromazin moleküllünde uyarılan elektronların sistemler arası geçişinin yavaşladığını ve floresansının şiddetlendiğini göstermektedir. Bu nedenle yavaşlayan elektron aktarımıyla tüm asidik çözeltilerde önce 565 nm de absorbansın yükseldiği ve sonrasında ise 530 nm de semikinon radikalının oluştuğunu belirlemektedir.



SEKİL 3.06. Kuvvetli asidik klorpromazin çözeltisinde ( $12 N H_2 SO_4$ ) semiketon radikalının ultraviyole ve görünür bölge spektrumlarında tanımı. Spektrum, şekil 3.05 le verilen yirmi dakika ısıma süresi sonunda, dört saat bekletildikten sonra referans klorpromazin çözeltisine karşı kaydedilmiştir.

Kuvvetli asidik çözeltilerde ışıma etkisiyle ortaya çıkan foto kimyasal reaksiyonlar üzerinde iki değişik mekanizma önerilebilir. Gerek spektroskopik analizlerin sonuçlarını yorumlarken, gerekse ilerki çalışmalarda konuya yaklaşımı i<sup>z</sup>ah edebilmek için bu mekanizmalar aşağıda verilmektedir:

pH < 0.7 için



KLP : Klorpromazin (Absorpsiyon bandı 256 nm ve 310 nm)

KLP<sup>+</sup> : Klorpromazin semikinon radikalı, asid kararlı (Absorpsiyon bandı 275 nm ve 530 nm)

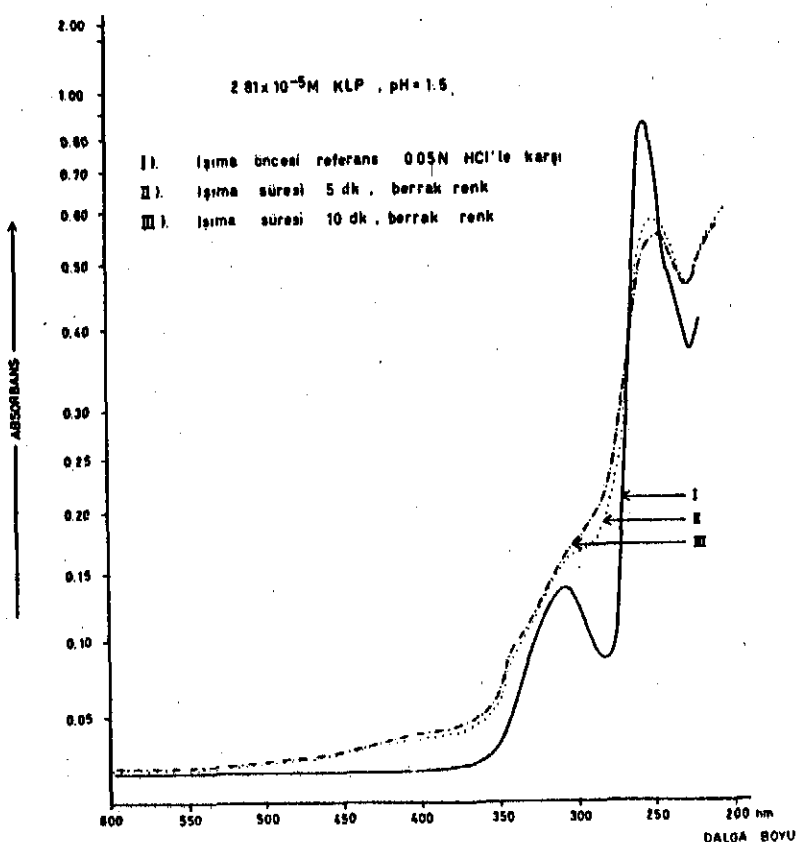
KLP<sup>++</sup> Aktif fenazotinyum iyonu, (muhtemel absorpsiyon bandı 275 nm ve 565 nm)

(KLP<sup>-</sup>.KLP)<sup>++</sup> Aktif dikatyon radikal (muhtemel absorpsiyon bandı 275 nm ve 565 nm).

Her iki mekanizmadan da görüleceği gibi ışıma süresince, özellikle ilk on dakika içersinde 565 nm deki absorpsiyon bandı, iki muhtemel farklı yapıya özgü olabilir ye ışıma sonrası bu aktif ara yapılar hızla kararlı semikinon radikaline dönüşmektedir. Yine her iki mekanizmada da iki total elektron aktarımı olabilir ve daha sonra önerilecek olan moleküler oksijenin mekanizma üzerindeki etkinliği bu aktarımla izah edilebilmektedir.

### 3.1.2. Havası uzaklaştırılmış çözeltilerde ışıma deneyleri:

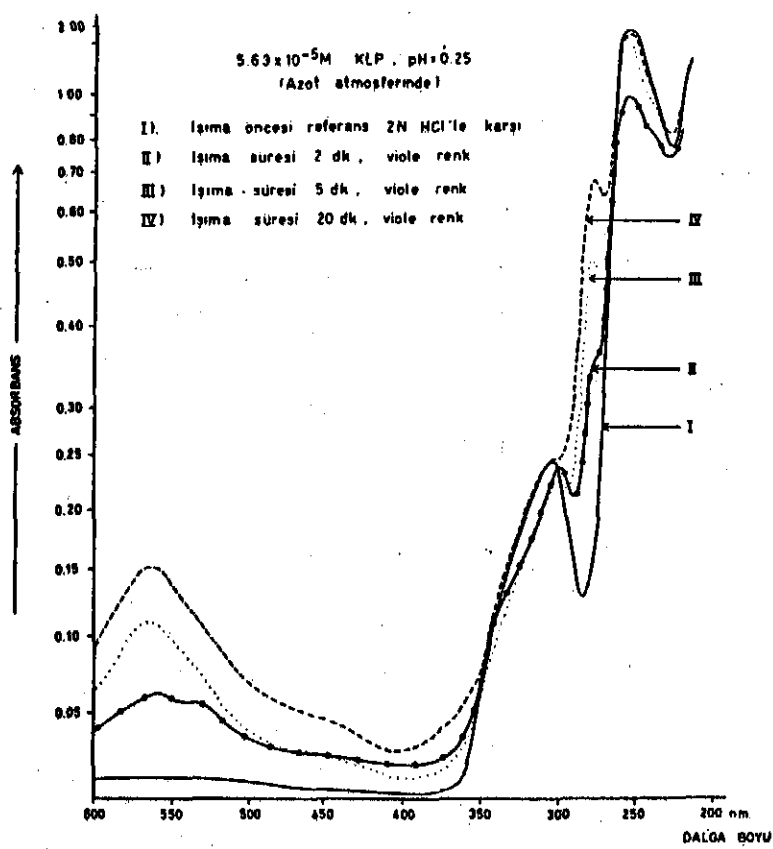
Klorpromazin foto oksidasyon reaksiyonu üzerinde moleküler oksijen veya ortamdaki suyun etkisini araştırabilmek ve oksit türlerinin oluşumunda oksijen atomunun kaynağını belirleyebilmek için düzenlenen iki grup çalışmadan ilkinde, ışıma öncesi ve ışıma süresince çözeltiden azot gazı geçirilen deneyler yer almaktadır.  $5.6 \times 10^{-5}$  ve  $2.8 \times 10^{-5}$  molar klorpromazin içeren çözeltilerden ışıma öncesi 15 dakika ve ışıma süresince azot gazı geçirilerek ve bu şekilde kısmen oksijenden arıtılan çözeltilerin spektrumları, belli ışıma sürelerinde kuvars hücrenin ağzı kapatılarak alındı, şekil 3.07 ve 3.08 ile örnek spektral kayıtlar verilmektedir.



ŞEKİL 3.07. Belirli ışılma sürelerinde, oksijeni uzaklaştırılmış klorpromazin çözeltilerinin (pH = 1.5, HCl) ultraviyole ve görünür bölge spektrumları.

Kısmen oksijeni uzaklaştırılmış olan ve pH'sı 0.7 ile 5.0 arasında bulunan tüm klorpromazin çözeltilerinde ışımaya izlenen spektral değişiklikler aynıdır: 256 nm deki  $\pi - \pi^*$  bandında zamanla azalma ve  $245 \pm 3$  nm ye kayma, 310 nm deki  $n - \pi^*$  bandında ışılma başlangıcından itibaren bozulma

ile difüzbir dağılım, 600-350 nm ler arasındaki temel absorpsiyonda artıç. İşıma sonunda renklenme olmamaktadır ancak hava ile temas halinde bekletilen çözeltilerde, kısa sürede sarı renk oluşumu ve oksijenli ortamdaçılışma deneylerinden kaydedilen spektrumlara dönüşüm izlenmiştir. İnce tabaka kromatografik analizlerde herhangi bir oksit oluşumuna ait leke izole edilememiçtir. Ne var ki, yeterli azot geçirilirse dahi mutlak oksijensiz ortam temini imkansızdır ve geçerli mekanizma yavaşlatılmış ancak durdurulmamıştır.



SEKİL 3.08. Belirli ısıma sürelerinde, oksijeni uzaklaştırılmış klorpromazin çözeltilerinin (pH = 0.25, HCl) ultraviyole ve görünür bölge spektrumları.

Azoit atmosferi altında pH'sı 0.7 den daha düşük olan sülfürik asidli ortamda radikalik ara yapıların spektrumları fazla etkilemezken hidroklorik asidli çözeltilerde (şekil 3.08) 565 nm deki absorbansın kararlılığı, oksijensiz ortamda da kararlı semikinon radikaline dönüşü belirlemektedir. Kromatografılarda yine oksit türevine ait herhangi bir leke izole edilememiştir.

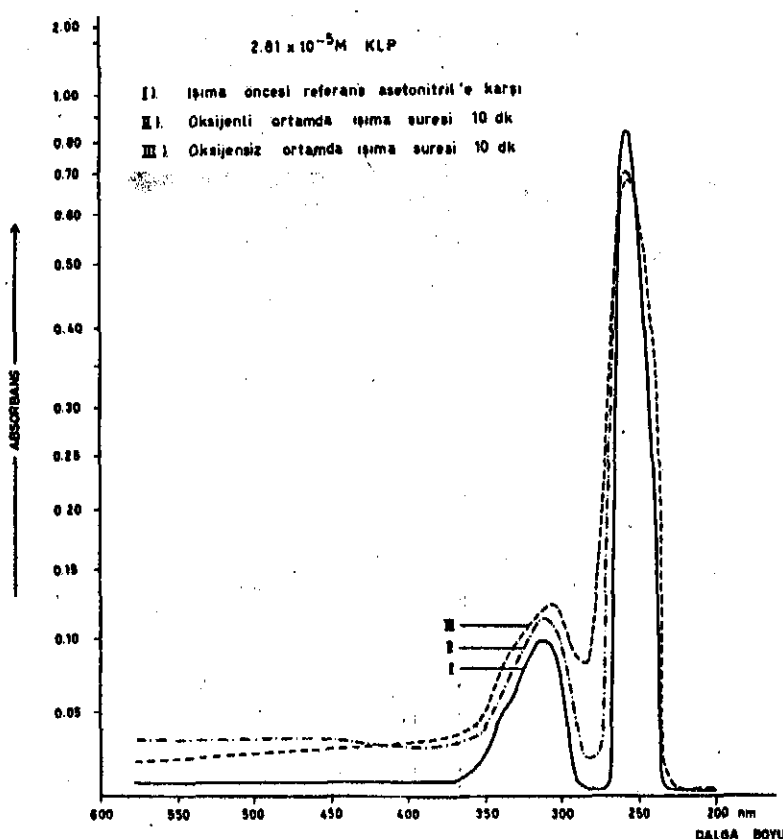
### 3.1.3. Moleküler Oksijen Etkisi

İkinci grup deneylerde moleküler oksijenin susuz ortamlarda klorpromazin oksit oluşumuna yolacıp açmadığını belirleyebilmek amacıyla, klorpromazinin  $2.8 \times 10^{-5}$  molar asetonitril çözeltileriyle çalışıldı. Kullanılan çözücü proanalizdir ve kullanılmadan önce rotoevaporatörde destile edilmiştir.

Moleküler oksijenli veya azot gazi geçirilmiş asetonitril çözeltilerinde yirmi dakikalık ışıma süresi içerisinde, klorpromazin ultraviyole spektrumu çok az değişime uğradı. 256 nm. ve 310 nm.deki  $\pi - \pi^*$  ve  $n - \pi^*$  spektral bantlarında ışıma süresince yavaş bir azalma (şekil 3.09) izlenirken band kayması da görülmeli. 256 nm deki spektral bandın ışıma süresince azalması üzerinden hesaplanan kuvantal verimler (bölüm 3.13.) yapının oksijenli ve susuz ortamlarda çok düşük kuvantal verimle tüketildiğini belirlemektedir. Işımanın ilk iki dakikası içerisinde pH'sı 5.25 olan oksijenli ve sulu çözeltilerde kuvantal verim ( $\varphi_{256}$ ) 0.111 iken,

aynı süre içerisinde asetonitril çözeltisindeki kuvantal verimi 0.017 olarak hesaplanmıştır. Diğer değerler Tablo 3.01 de verilmektedir.

Bir saat aşan uzun süreli ışımalar sonunda oksijenle doygun asetonitril çözeltilerinin berrak rengi kaybolmakta ve açık sarı renklenme belirginleşmektedir ve 600-350 nm ıerarası temel absorpsiyon bantı ar- tarken diğer iki ana bantta bozulma olmamaktadır. İnce tabaka kromatogra- fisinde uzun süreli ışımalar sonrası yapılan analizden üç değişik  $R_f$  de- gerinde leke izole edilmiştir ve bunlardan biri sülfoksit  $R_f$  değerine uyuyuktaysa da sprayleme sonrasında kromatografik renk belirtisi tanımını zorlaştırmaktadır. Fotokimyasal reaksiyonlar susuz ortamda farklı meka- nizma ve son ürünlerle karakterize sonuçlar vermektedir. Ancak oksit türevlerinin foto sentezi mevcud olsa dahi sadece moleküller oksijen var-lığı kinetiği yeterli kılınmamakta ve susuz ortamda da mekanizma yavaşla- makta veya durmaktadır. Benzeri bulgular susuz metanolde ve ethanolde de yapılan çalışmalarda 256 nm dalga boyundaki ışımalar için not edilmiştir. (60,92).



ŞEKİL 3.09. Belirli ışırma sürelerinde klorpromazin susuz asetonitril çözeltilerinin ultraviyole ve görünür bölge spektrumları.

#### 3.1.4. Kuvantal verimin hesaplanması ve ışırma süresince değişimi

Fotokimyasal reaksiyonlarda herhangi bir X yapısının oluşum veya bozunma kuvantal verimi ( $\varphi_x$ ), daha önce bölüm 1.3.1.1. de de değinilen aşağıdaki formülle tariflidir:

$$\varphi_x = \frac{\text{Birim zamanda oluşan veya bozunan } X \text{ molekül sayısı}}{\text{Birim zamanda absorplanan kuant sayısı}} \quad (1)$$

Bu parametrenin hesaplanması şekli referanslardan alınmıştır (60,117).

Ancak hesaplama yöntemi detaylı olarak sunulacaktır.

$C_0$  başlangıç konsantrasyonundaki X yapısı  $t$  ışırma süresi içerisinde

$C_t$  konsantrasyonuna azalıyorsa, aynı sürede tüketilmiş olan molekül sayısu şu şekilde hesaplanır:

$$N = \text{Avagadro sayısı, } 6.03 \times 10^{23}$$

$$V = \text{Işima yapılan hacim, (lt.) ise}$$

$$\text{Tüketilen molekül sayısı : } (C_0 - C_t) \cdot N \cdot V.$$

$$\text{Pay, payda } C_0 \text{ ile çarpılırsa : } (1 - C_t/C_0) \cdot N \cdot V \cdot C_0.$$

Işima süresince oluşan veya bozunan X fraksiyonu "r" ile tanımlanırsa,

$$r = I - C_t/C_0 = I - K A_t / K A_0 = I - A_t/A_0 \text{ olur. (2)}$$

$A_0$  = Ultraviyole veya görünür bölgedeki kalibrasyon yapılabilen spektral bandında işima öncesi absorbans değeri. Klorpromazin için 256 nm deki  $\pi-\pi^*$  bandı kullanılmıştır.

$A_t$  = t işima süresi sonunda aynı dalgaboyundaki absorbans değeri

K = Orantı katsayısı, Klorpromazin için 0.0452 gr/lt olarak

256 nm deki spektral bandından saptanmıştır (bak sayfa 66).

t işima süresince bozunan klorpromazin

$$\text{molekül sayısı} = C_0 \cdot N \cdot V \cdot r$$

$$\text{Birim sürede bozunan klorpromazin molekül sayısı} = \frac{C_0 \cdot N \cdot V \cdot r}{t} \quad (3)$$

Birim zamanda absorplanan kuvant sayısı aktinometre deneylerinde (EK 1)

$9.43 \times 10^{16}$  foton/dk. olarak saptanmıştır. Formül 1, 2 ve 3 kullanılarak

klorpromazinin  $\pi-\pi^*$  bandındaki spektral azalmadan hesaplanabilecek olan kuvantal verim ifadesi yazılacak olursa:

$$\varphi_{256} = \frac{C_0 \text{ (mol/lt)} \cdot V \text{ (lt)} \cdot N \text{ (molekül/mol)} \cdot r}{I_0 \text{ (foton/dk.)} \cdot t \text{ (dk)}}$$

$$= \frac{C_0 \cdot V \cdot N \cdot (I - A_t / A_0)}{I_0 \cdot t} \quad \text{olur.} \quad (4)$$

Klorpromazinin 256 nm deki absorpsiyon ölçümlerinde bölüm 2.1.4.de verilen üç noktalı spektrofotometrik değerlendirme kullanılmıştır. Örnek bir hesaplama aşağıda verilmektedir:

İşime öncesi      pH = 5.25      İşime sonrası      t = 5 dk.

$$C_0 = 2.8 \times 10^{-5} M$$

$$A_0 = 0.3045$$

$$A_{t=5} = 0.1462$$

$$r = I - \frac{0.1462}{0.0345}$$

$$r = 0.5198$$

Formül (4) te yerine konursa:

$$\varphi_{256} = \frac{2.814 \times 10^{-5} \cdot 3 \times 10^{-3} \cdot 6.023 \times 10^{23} \cdot 0.5198}{9.43 \times 10^{16} \cdot 5}$$
$$= 0.056 \quad \text{olarak hesaplanmıştır.}$$

Benzeri hesaplamalarla elde edilen kuvantal verimin, klorpromazin çözelti pH'sı, ışıma süresi ve çözücü özelliği ile değişimi Tablo 3.01. de verilmektedir. Kuvantal verimin değerlendirilmesinde kullanılan r değerlerinin ışıma süresince değişimi de, fotokimyasal reaksiyonla tüketen klorpromazin fraksiyonunu belirlemesi açısından önemlidir ve bu değerlerde Tablo 3.02 de verilmektedir.

pH'sı 5.25 ile 1.5 arasında olan klorpromazin çözeltilerinde ışıma süresince izlenen spektral değişiklikler ve hesaplanan r değerleri hemen hemen aynıdır ve r değerlerinin ışıma süresince farklı eğimde iki doğru boyunca arttığı görülmektedir. Klorpromazin moleküllerinin tüketimi ışımının ilk dakikalarında hızlı ve tüm pH larda aynı eğimle olmaktadır, altıncı dakikadan sonra ışımının devamında, kuvvetli asidik çözeltilerde sabit kalır ve nötral veya gayık asidik ortamlarda ise farklı eğimle yirmi dakika içersinde 1.0 değerine ulaşır. r değerinin 1.0 olması, tüm klorpromazin yapısının tüketildiğini belirtmektedir (Şekil 3.10).

TABLO 3.OI.  $2.8 \times 10^{-5}$  M Klorpromazin, içeren çözeltilerde 256 nm. spektral bandı üzerinden hesaplanan kuvantal verimin ( $\Psi_{256}$ ), ışima süresi ve çözelti özellikleri ile değişimi.

OKSİJEN ATMOSFERİNDE YAPILAN İŞIMA DENEYLERİ

ÇÖZELTİ pH'SI	İŞİMA SÜRESİ			
	2 DK.	5 DK.	10 DK.	20 DK.
5.25	0.III	0.056	0.039	0.024
4.15	0.103	0.059	0.042	0.027
1.50	0.099	0.061	0.041	0.027
0.70	0.088	0.051	0.028	0.017
0.25	0.035	0.033	0.027	0.019
< 0.08	0.II8	0.079	0.039	0.021
Asetonitrii	0.017	0.0II	0.0II	0.009

AZOT ATMOSFERİNDE YAPILAN İŞIMA DENEYLERİ

ÇÖZELTİ pH'SI	İŞİMA SÜRESİ			
	2 DK.	5 DK.	10 DK.	20 DK.
5.25	0.I35	0.064	0.040	0.024
4.15	0.104	0.064	0.038	0.019
1.50	0.099	0.060	0.041	0.027
0.70	0.093	0.067	0.043	0.025
0.25	0.033	0.035	0.031	0.021
< 0.08	0.I47	0.083	0.054	0.030
Asetonitrii	0.000	0.0II	0.0II	0.090

TABLO 3.02.  $2.8 \times 10^{-5}$  M Klorpromazin içeren çözeltilerde 256 nm. spektral bandı üzerinden hesaplanan "r" değerinin ışınma süresi ve çözelti özellikleri ile değişimi.

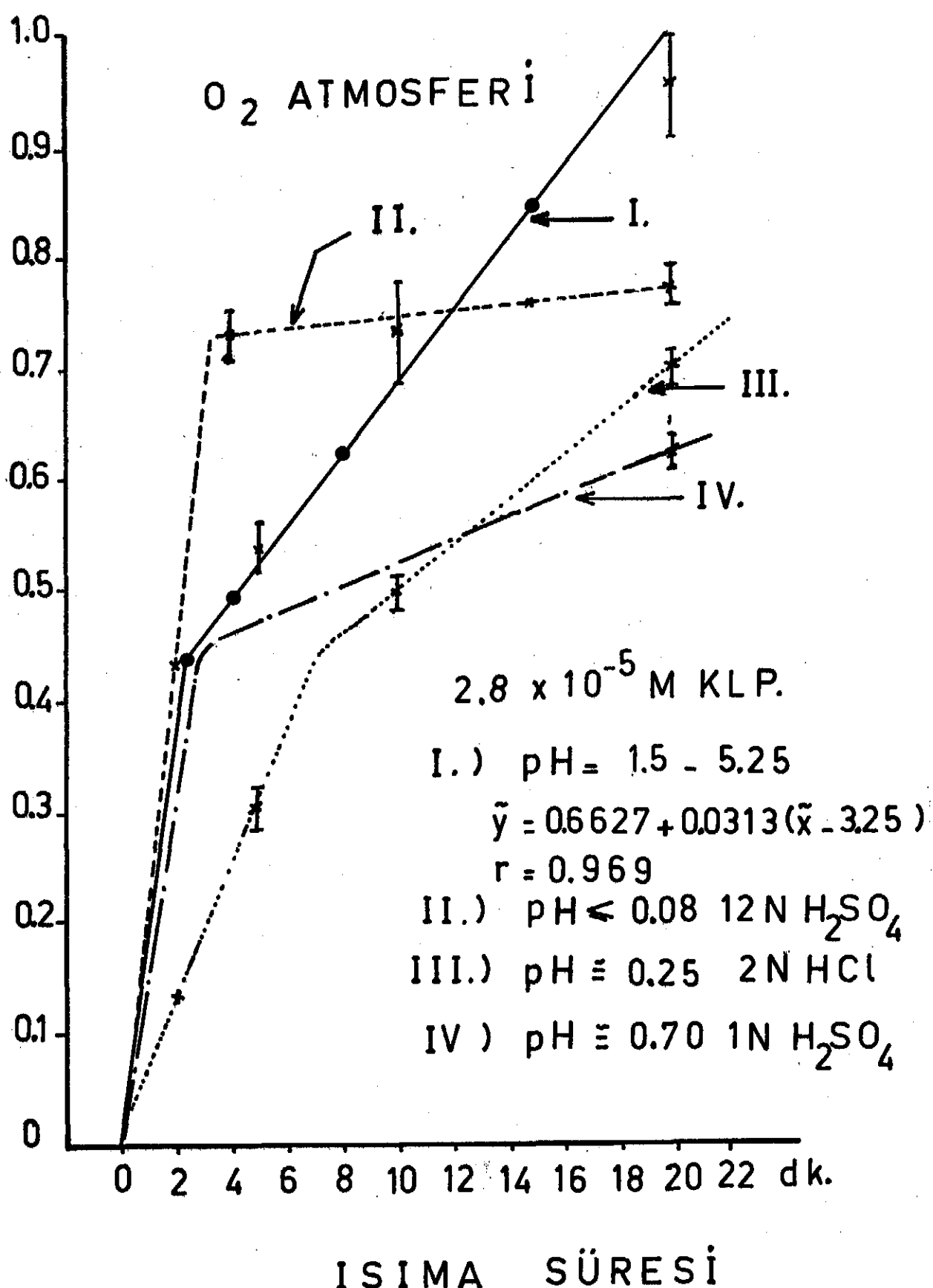
Oksijen atmosferinde yapılan ışınma deneyleri

ÇÖZELTİ pH'SI	IŞINMA SÜRESİ			
	2 DK.	5 DK.	10 DK.	20 DK.
5.25	0.4124	0.5190	0.7190	0.9020
4.15	0.3820	0.5460	0.7780	1.0000
1.50	0.3670	0.5630	0.7630	1.0000
0.70	0.3280	0.473	0.5230	0.6260
0.25	0.1320	0.3040	0.5000	0.7000
< 0.08	0.4360	0.7350	0.7360	0.7750
Asetonitril	0.0640	0.1000	0.2000	0.3100

Azot atmosferinde yapılan ışınma deneyleri

ÇÖZELTİ pH'SI	IŞINMA SÜRESİ			
	2 DK.	5 DK.	10 DK.	20 DK.
5.25	0.5000	0.6000	0.7450	0.9020
4.15	0.3885	0.5930	0.7040	0.7225
1.50	0.3670	0.5555	0.7590	0.9872
0.70	0.3460	0.6225	0.8000	0.9230
0.25	0.1250	0.3290	0.5860	0.7875
< 0.08	0.5470	0.7702	1.0000	-
Asetonitril	0.0000	0.1000	0.2000	0.3300

R DEĞERİ



Şekil 3.10. "r" değerinin işime süresince değişimi.

Kuvvetli asidik ortamdaki tablolarda verilen değerler dikkatle incelendiğinde pH 0.7 ve 0.08 gibi  $H_2SO_4$  çözeltilerinin kullanıldığı ışıma deneylerinde r değerleri daha yüksek, buna karşı pH 0.25 olan HCl çözeltilerinin kullanıldığı deneylerde ise düşük olduğu görülmektedir. Bu etki daha önce de bahsedildiği gibi sülfürik asidin kendisinin yükseltgen bir ajan olarak davranışlığını kanıtlamaktadır. Susuz ortamda foto-oksidasyon anlamlı (Significant) olarak yavaşlamaktadır ve gerek kuvantal verim, gerekse r değerleri çok düşük bulunmuştur.

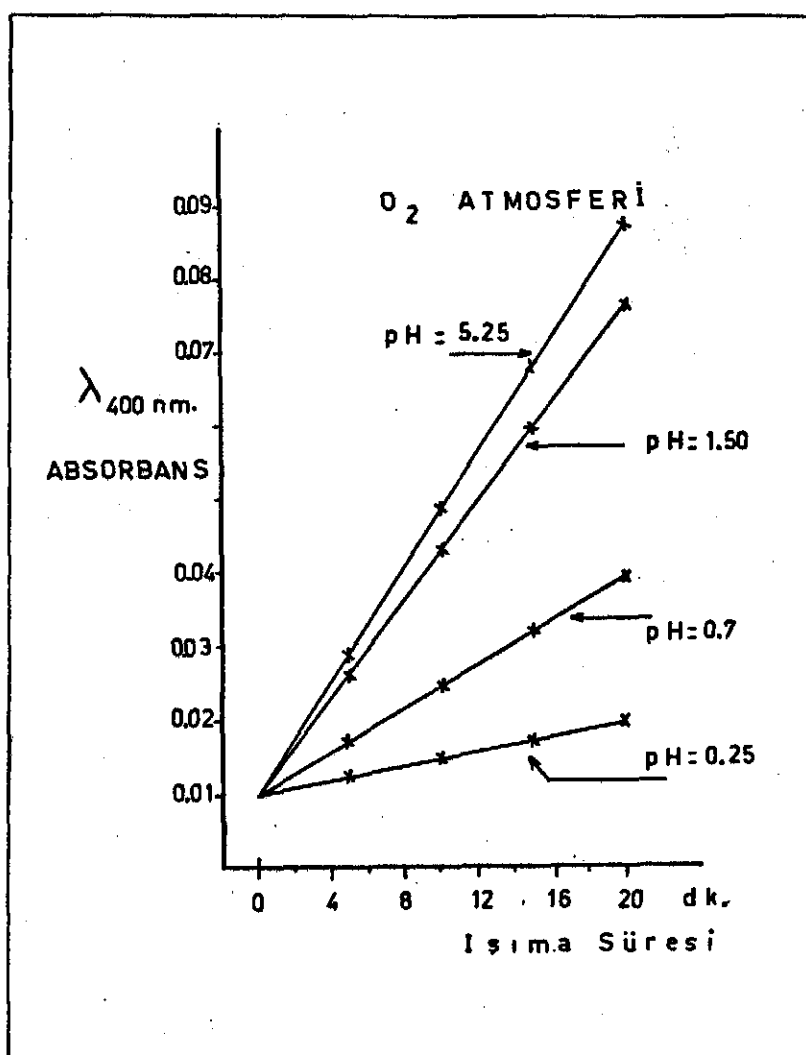
Oksijenli atmosferde veya oksijensiz atmosferde yapılan deneylerde ışınayla klorpromazin tüketiminin fazla etkilenmediği ve ortalama r değerleri arasındaki farkın önemli olmadığı ( $p > 0.05$ ) hesaplanmıştır. Ancak spektral oluşumlar ve fotoürün niteliği açısından geçerli mekanizma farklıdır. Bu sonuca varmada diğer dalga boylarından hesaplanan spektral oluşumlar (bölüm 3.1.5 ve 3.1.6.) ve kromatografik foto ürün analizleriyle floresans spektral çalışmalar (Bölüm 3.4 ve 3.8) yer almaktadır. Azot atmosferi altında foto oksidasyon mekanizması yavaşlamakta ise de birincil foto kimya-yal olaylar üzerinde etkisi azdır veya klorpromazin tüketimini fazla etkileyememektedir.

### 3.1.5. Fotoürün Oluşumlarının spektral takibi

Klorpromazin fotodegradasyonunda, ortam pH'sı ve moleküler oksijen varlığının mekanizmayı kontrol eden ve son ürün oluşumunu kısıtlayıcı faktörler olduğuna deñinilmiştir.

Bu sonuca varırken ileri sürülen kanıtlardan birincisi azot atmosferinde sarı rekli son ürün oluşumunun ( $\lambda = 400$  nm de) azalmasıdır.

Nötral ve zayıf asidik ortamda oksijen atmosferi altında izlenen bu spektral oluşum, gerek pH = 0.7 den daha kuvvetli asidik ortamda ve gerekse azot atmosferi altında tekrarlanan ıshıma deneylerinde anlamlı (siknifikan) olarak ( $p < 0.05$ ) azalmaktadır. Deneysel bulgular Tablo 3.03 ve Şekil 3.11, ile özetlenmiştir.



ŞEKİL 3.11.  $2.8 \times 10^{-5}$  M Klorpromazin çözeltilerinde  $\lambda=400$  nm deki spektral bandın ıshıma süresi ve pH ile değişimi.

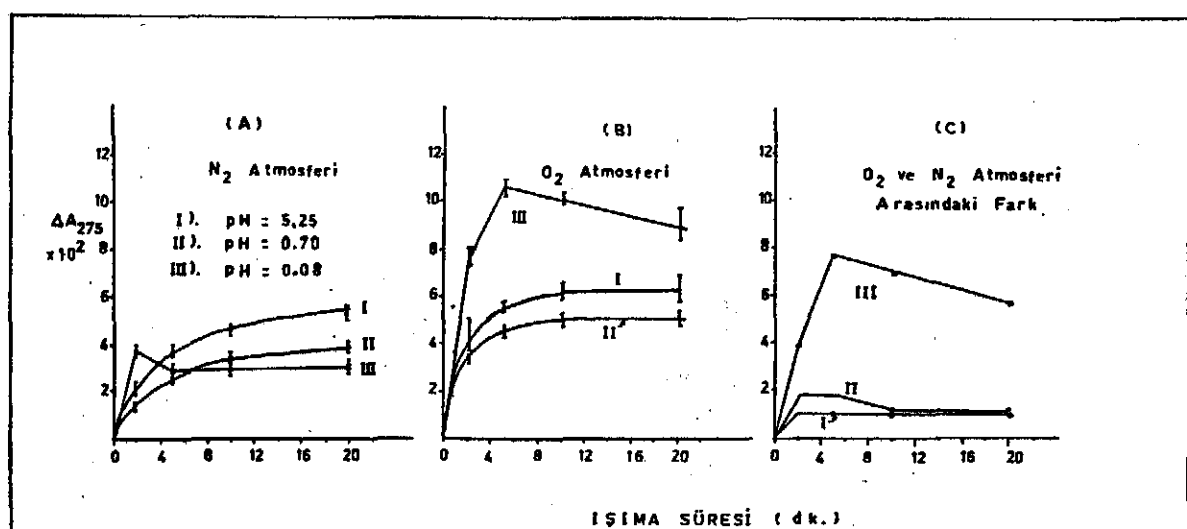
ÇÖZENTİ pH'sı	$\Delta A_{400} / \Delta t$	
	OKSİJEN ATMOSFERİ	AZOT ATMOSFERİ
5.25	0.0038 ± 0.0006	0.0026 ± 0.0005
4.15	0.0031 ± 0.0011	0.0012 ± 0.0001
1.50	0.0033 ± 0.0004	0.0017 ± 0.0005
0.70	0.0015 ± 0.0004	0.00066 ± 0.00005
0.25	0.0005 ± 0.0001	0.00038 ± 0.00005
0.08	—	—

TABLO 3.03.  $2.8 \times 10^{-5}$  M Klorpromazin içeren çözeltilerde  $\lambda_{\text{mak.}}$   
 400 nm deki absorpsiyon artışı hızı ( $\Delta A_{400 \text{ nm}} / \Delta t$ ) orta-  
 lamalarının pH ile değişimi.

Klorpromazin sülfoksit, N-S oksit ve sulfon gibi oksit türevlerinin 275 nm de spektral bandı vardır. Oksijen içeren nötral ve zayıf asidik ortamındaki ışınma deneylerinde 275 nm deki absorpsiyon artışı, oksit türevlerinden biri veya birkaçının oluştuğunu belirlemektedir. Ancak daha önce debynildiği gibi sadece sülfoksit oluştuğu kromatografik yöntemlerle gösterilmiştir. Klorpromazin semikinon radikalının de aynı dağılım boyunda absorpsiyon gösterdiği bilinmektedir. ve bu nedenle kuvvetli asidik ortamda hızla absorpsiyonun artması bu radikal oluşumu gösterir. 12 N  $H_2SO_4$  gibi çok kuvvetli asidik ortamda yapının fenazotiyum iyonu veya däkatyon radikal ara yapısından geçtiği belirtilmiştir.

Bu ortamda izlenen ışınmanın ilk dakikalarındaki absorbans artışı, bu ara yapıtlarda da 565 nm dekinin yanısıra ikinci bandın 275 nm olduğunu göstermektedir. Belli ışınma süreleri içersinde farklı pH daki klorpromazin çözeltilerinin 275 nm deki absorbansının değişimi şekil 3.12. ile verilmektedir.

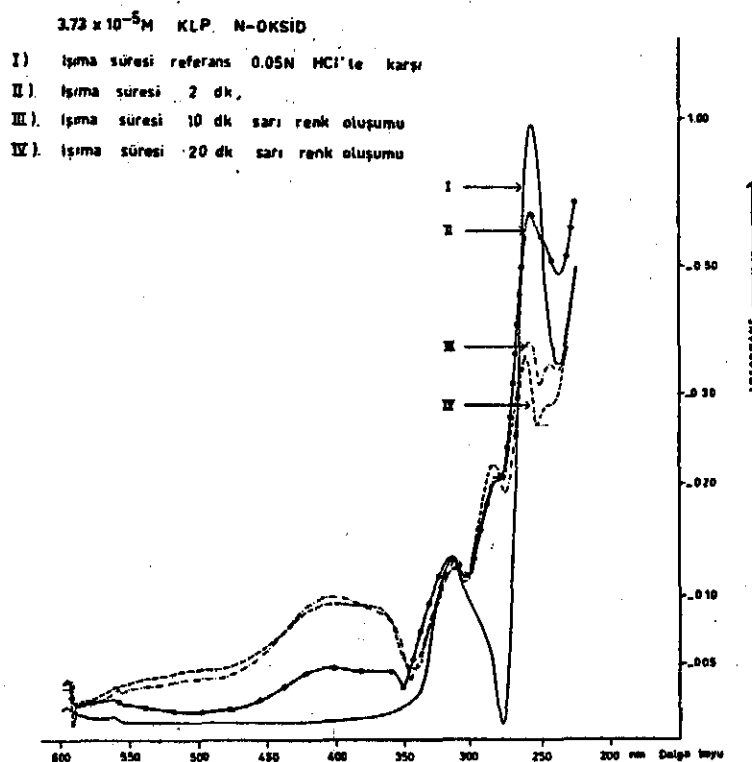
pH = 5.25 de gerek oksijenli ve gerekse oksijensiz ortamda yapılan ışınma deneylerindeki  $\lambda = 275$  nm deki absorbans artışlarının farkı alındığında (şekil 3.12.C), ilk iki dakikalık artış dışında değerlerin sabit kaldığı görülmektedir. Bu sonuçlara göre 275 nm dalgaboyundaki ultraviyole spektral bandın, oksit oluşumunu takip için kullanılması hatalıdır veya hata faktörü çok büyüktür. Diğer yöntemsel analizler bu amaç için kullanılmalıdır.



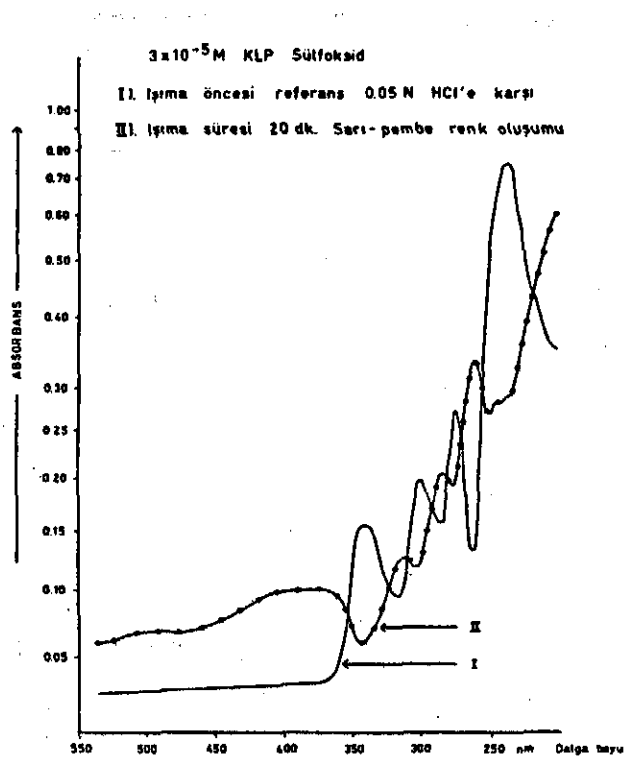
Şekil 3.12. 2.8x10<sup>-5</sup> M Klorpromazin içeren çözeltilerinde  $\lambda_{\text{max}} = 275$  nm deki spektral bandın ışınma süresi ve pH ile değişimi.

### 3.1.6. Klorpromazin oksit türevlerinin ışıma süresince spektral davranışları

Ultraviyole ve görünür bölge spektrumlarıyla klorpromazinin dört oksit türevinin pH=1.4 (HCl) çözeltilerindeki spektral bozunması, yirmi dakikalık ışıma süresince takip edildi. Moleküler oksijen varlığı veya yokluğu, spektral değişiklikleri etkilememiştir. Bu bulgu oksijenin özellikle oksit türevlerinin oluşumunda mekanizmaya katıldığını göstermektedir. Renksiz olan tüm çözeltiler, N-oksit, sülfoksit ve N-S oksit yirmi dakikalık ışıma süresinde renklenecek koyu sarı renge dönerken, sulfon türevinde ise çok açık sarı renklenme görüldü. Sulfon dışındaki oksit türevlerinin hepsiyle ışıma sonrası kaydedilen spektrumlarda benzeri sonuçlar elde edildi ve 245, 260, 285 ve 314 nm lerde maksimum veren, 350-450 nm ler arasında yaygın absorbans gösteren son ürün oluşumu hepsinde aynı idi. Örnek spektral kayıtlar şekil 3.13 ve 3.14 ile verilirken, izlenen spektral değişiklikler tablo 3.04 de özetlenmiştir.



ŞEKİL 3.13. Belirli ısıma sürelerinde,  $3.7 \times 10^{-5}$  M Klorpromazin N-oksit çözeltilerinin (pH = 1.5, HCl) ultraviyole ve görünür bölge spektrumları.



ŞEKİL 3.14. Belirli ısıma sürelerinde,  $3 \times 10^{-5}$  M klorpromazin sülfoksit çözeltilerinin (pH = 1.5, HCl) ultraviyole ve görünür bölge spektrumları.

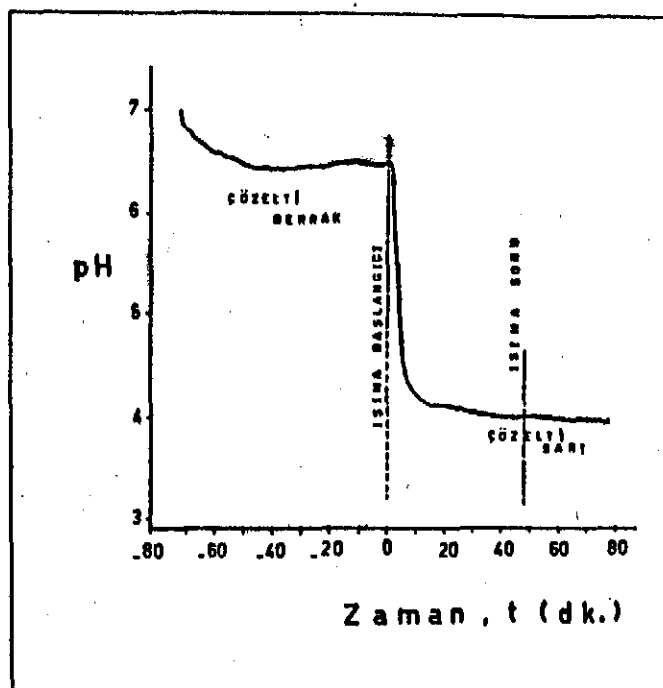
TABLO 3.04. KLORPROMAZİN OKSİD TÜREVLERİNDE İŞİMA SONUCU İZLENEN  
SPEKTRAL DEĞİŞİKLİKLER

ÇÖZELTİ ÖZELLİĞİ	SPEKTRAL DATA				ÇÖZELTİ RENGİ
	$\lambda_{\text{Mak.}}$ (nm.)	$\log \epsilon$	$\lambda_{\text{Min.}}$ (nm.)	$\log \epsilon$	
<u>Klorpromazin Süffoksid</u>					
Işima Öncesi	240 275 300 342	4.52 4.03 3.88 3.72	262 286 315	3.68 3.69 3.43	berrak
20 dk. Işima sonrası	245 260 285 315 400	4.00 4.04 3.84 3.64 3.53	250 276 305 345	3.93 3.82 3.60 3.26	sarı
<u>Klorpromazin N-S Oksid</u>					
Işima Öncesi	238 274 300 335	4.37 4.03 3.94 3.81	265 285 315		berrak
20 dk. Işima sonrası	260 285 315 400	3.84 3.63 3.53 3.27	276 305 345	3.55 3.45 3.03	sarı
<u>Klorpromazin N-Oksid</u>					
Işima Öncesi	256 315	4.44 3.49	280	2.43	berrak
20 dk. Işima sonrası	245 260 285 314 400	4.00 4.08 3.90 3.89 3.86	276 305 345	3.47 3.65 3.22	sarı
<u>Klorpromazin Sulfon</u>					
Işima Öncesi	233 271 294 332	4.54 4.16 3.89 3.76	258 285 310 355	3.43 3.71 3.62 3.08	berrak
20 dk. Işima sonrası	238 265 272 286 310 365-70	4.06 4.02 4.14 3.91 3.84 3.54	254 277 350	3.78 3.82 3.25	çok açık sarı

### 3.2. Işımanın pH ya etkisi

$2.8 \times 10^{-5}$  M klorpromazin içeren nötral sulu çözeltilerinde, 366 nm dalgaboyunda yapılan yakın ultraviyole bölge ışınmasıyla çözelti pH'sının değişimi incelendi. pH değişikliklerine hassas ve tampon çözeltilerle kalibre edilmiş olan yazıcı ve pH metreyi senkronize ederek alınan ölçümelerde, ışınma süresince klorpromazin çözeltisinin pH'sının azaldığı ve asitleştiği görüldü.

Deneysel sonuçlar tablo 3.05 de özetlenirken, örnek bir kayıt şekil 3.15. ile verilmektedir. Şekilden de görüldüğü gibi, fotooksidas-yonun özellikle ilk on dakikasında pH düşmesi belirgindir ve son ürün oluşumunda ortamda serbest proton açığa çıkmaktadır. Işınma uzun süre devam etsede ilk dakikalardan sonra pH değişimi izlenmez ve belirli bir pH da çözelti kararlı kalmaktadır.



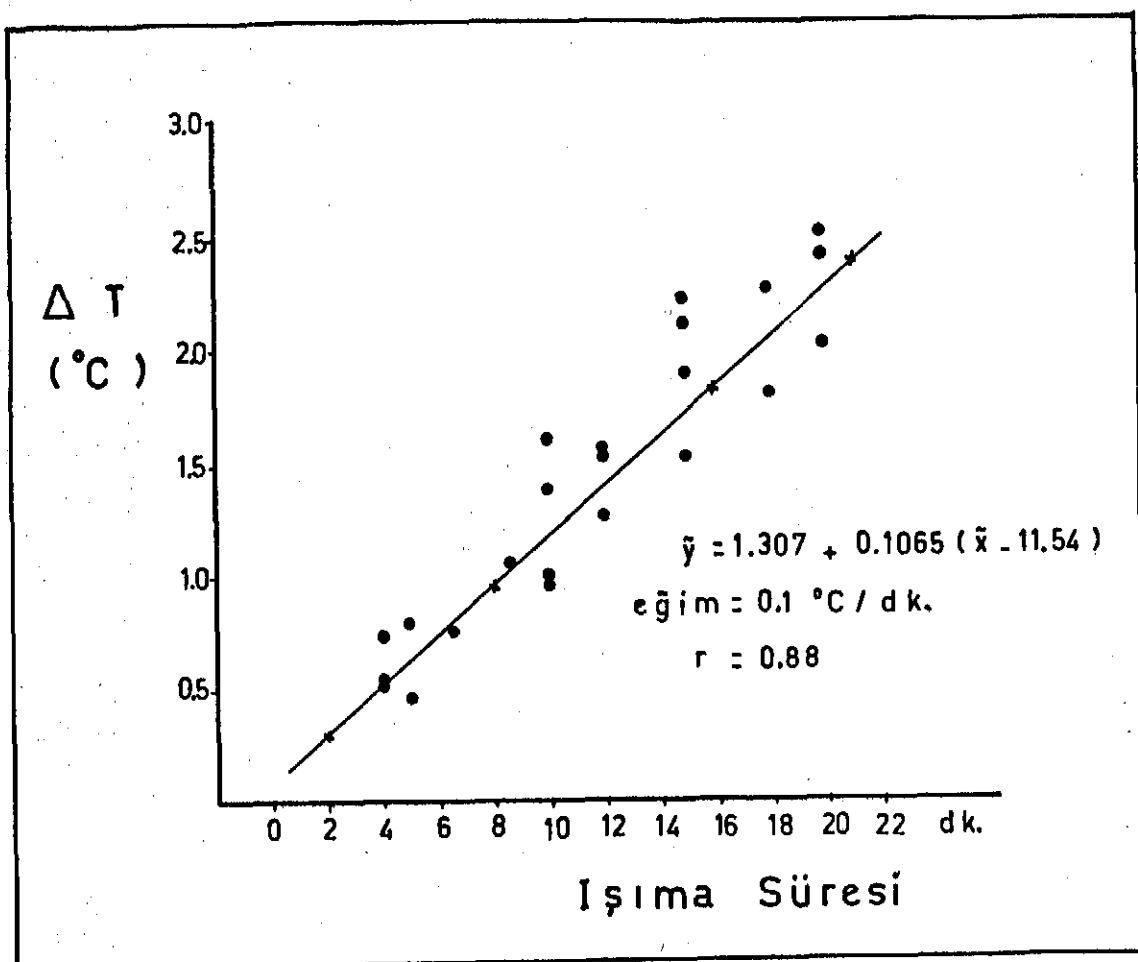
ŞEKİL 3.15. 47 dakikalık ışınma süresince nötral ve 0.1 mg/ml klorpromazin içeren çözeltiden kaydedilen pH değişikliklerine örnek bir kayıt.

TABLO 3.05. Nötral Klorpromazin çözeltilerinde ısimanın pH ya etkisi.

	Işıma Üncesi Çözelti	Işıma Sonrası Çözelti
	pH'sı	pH'sı
KAYIT 1	7.0	4.5
KAYIT 2	6.5	4.0
KAYIT 3	1.9	1.7
KAYIT 4	4.2	3.9

### 3.3. Işımanın Ortam Sıcaklığına Etkisi

İşıma süresince oda temperatüründeki çözeltilerde sıcaklık artışı olabileceğinden, deneysel çalışmalarında bu faktörün kontrolü veya en azından hata sınırlarının tesbiti gerekmektedir. Kuvars hücrelerde ısı ceketi kullanma olasılığı olmadığı için başlangıç sıcaklığının kontrolü hassas şekilde yapılamadı. Ancak genellikle çözelti başlangıç sıcaklığı  $20-25^{\circ}\text{C}$  arası arasında tutuldu. Teletermometre yardımıyla yazıcıya kaydedilen ve sıcaklık farkına kalibre edilmiş olan sistem sayesinde farklı ortam, konsantrasyon ve başlangıç sıcaklığındaki klorpromazin çözeltilerinde sıcaklık artış hızı kaydedildi. Sıcaklık artış hızı ortalama olarak  $0.1 \pm 0.006^{\circ}\text{C}/\text{dakika}$  ısimadır. On deneysel çalışmaya ait korelasyon doğrusu şekil 3.16 ile verilmektedir. Yirmi dakikalık ısimma süresi içerisinde maksimum sıcaklık artışı  $2.5^{\circ}\text{C}$  olarak bulunmuştur. Ve hata sınırları  $\pm 2.5^{\circ}\text{C}$  olarak tüm ısimma deneylerinde kabul edilmektedir.



Şekil 3.16. İşıma süresince sıcaklık artışı.

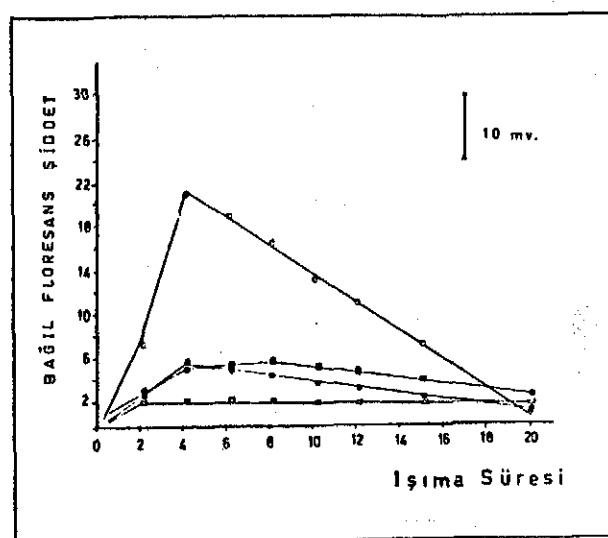
#### 3.4. İşıma süresince fluoresans spekturmalarının takibi

Klorpromazin ve oksit türevlerinin bölüm 2.1.6. da verilen düzenlemeye ile ısıma öncesi fluoresans karakteristikleri belirlendikten sonra, hücre kompartmanı ısıma sistemi (B)'ye göre yeniden düzenlendi (Şekil 2.22).

$5.6 \times 10^{-5}$  molar klorpromazin içeren, pH'sı 0.08 ile 6 arasında değişen örnek çözeltiler kuvars hücreye alınarak ısıma sistemine yerleştirildi. İşıma öncesi tekrar fluoresans spektrumu alındıktan sonra, Xenon ışık kaynağı çıkış aralığı olan slit A kapatıldı. Kuvars hücre üzerinde tesbit edilmiş olan ve 366 nm dalgaboyunda maksimum şiddetli

ışık kaynağından yapılan ışıma kronometrik olarak takip edilerek, belli sürelerde ışıma durduruldu ve slit A yeniden açılarak floresans spektrumu anında alındı.

Nötral ve zayıf asidik klorpromazin çözeltilerinde ışınma süresince 460 nm de izlenen floresans (Şekil 3.17), moleküler oksijeni kısmen sürekli azot geçişiyile uzaklaştırılmış olan çözeltilerde ilk beş dakika içersinde anlamlı olarak artar. Ancak aynı artış oksijen varlığında ortalama dört misli daha az olmaktadır. 460 nm deki klorpromazin floresansı ile ışınma süresince 385 nm de beliren floresansın ortam atmosferiyle ve çözelti pH'sı ile değişimi tablo 3.06 da verilirken, pH= 1.5 (HCl) için Şekil 3.17 de değerlendirilmiştir. Aynı pH da kaydedilen örnek floresans spektrumlar Şekil 3.18 de görülmektedir.



**ŞEKİL 3.17**  $5.6 \times 10^{-5}$  M Klorpromazin içeren çözeltide ( $\text{pH} = 1.5, \text{HCl}$ ), floresansın ışına süresince değişimi. Aktivasyon dalgaboyu  
 350 nm dir.   $\lambda_{\text{flo.}} = 460 \text{ nm}, \text{O}_2$  atmosferi  
 $\lambda_{\text{flo.}} = 460 \text{ nm}, \text{N}_2$ "  
 $\lambda_{\text{flo.}} = 385 \text{ nm}, \text{O}_2$ "  
 $\lambda_{\text{flo.}} = 385 \text{ nm}, \text{N}_2$ "

TABLO 3.06.  $5.6 \times 10^{-5}$  M KLORPROMAZİN İÇEREN ÇÖZELTİLERDE BAĞIL FLORESANS ŞİDDETİN İŞİMA SÜRESİNCE DEĞİŞİMİ. AKTİVASYON DALGABOYU ( $\lambda_{Akt.}$ ) 350 nm. dir.

ÇÖZELTİ	pH' SI	BAĞIL FLORESANS ŞİDDET <sup>X</sup>								
		Işima Öncesi	t 2 dk.	t 4dk.	t 6dk.	t 8dk.	t 10dk.	t 12dk.	t 15dk.	t = 20 dk. İşima sonrası
5.25	0.7	7.7	7.6	5.8	5.0	4.3	3.7	2.0	1.8	
4.15	0.8	5.0	5.8	4.8	3.8	3.4	2.4	1.4	1.2	
1.50	0.8	2.8	6.3	5.2	4.2	4.0	3.0	2.5	1.0	

A) OKSİJENLİ ORTAMDA - 460 nm.'DEKİ FLORESANS

5.25	0.7	7.7	7.6	5.8	5.0	4.3	3.7	2.0	1.8	
4.15	0.8	5.0	5.8	4.8	3.8	3.4	2.4	1.4	1.2	
1.50	0.8	2.8	6.3	5.2	4.2	4.0	3.0	2.5	1.0	

B) OKSİJENLİ ORTAMDA - 385 nm.'DEKİ FLORESANS

5.25	0.4	1.5	1.7	1.7	1.5	1.3	1.2	1.2	1.2	
4.15	0.4	6.0	10.0	8.5	7.5	6.5	5.4	4.7	4.5	
1.50	0.7	2.2	5.1	5.3	6.0	4.9	4.4	4.0	2.6	

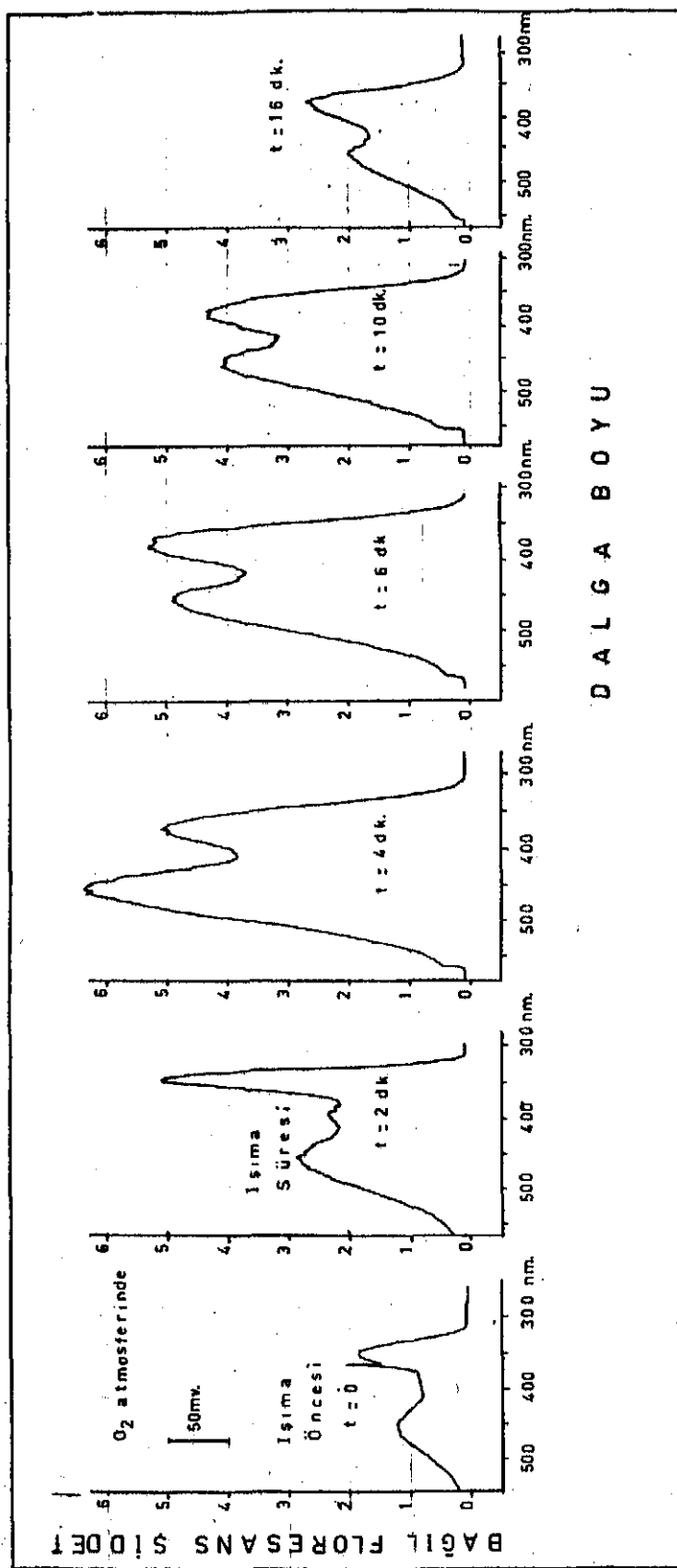
C) AZOTLU ORTAMDA - 460 nm.'DEKİ FLORESANS

5.25	0.9	21.9	20.2	8.0	7.5	6.0	4.5	3.2	1.8	
4.15	0.7	14.6	19.4	19.4	17.0	14.1	13.4	6.2	1.8	
1.50	1.0	7.4	21.0	19.1	16.6	13.2	11.3	7.4	2.1	

D) AZOTLU ORTAMDA - 385 nm'DEKİ FLORESANS

5.25	0.5	0.5	0.5	0.5	0.5	0.6	0.5	0.6	0.6	
4.15	0.5	0.5	0.5	0.5	0.5	0.5	0.5	0.5	0.5	
1.50	0.7	2.0	2.1	2.0	2.0	2.0	2.0	2.1	2.1	

<sup>X</sup> - Her değer en az üç okum ortalamasıdır.



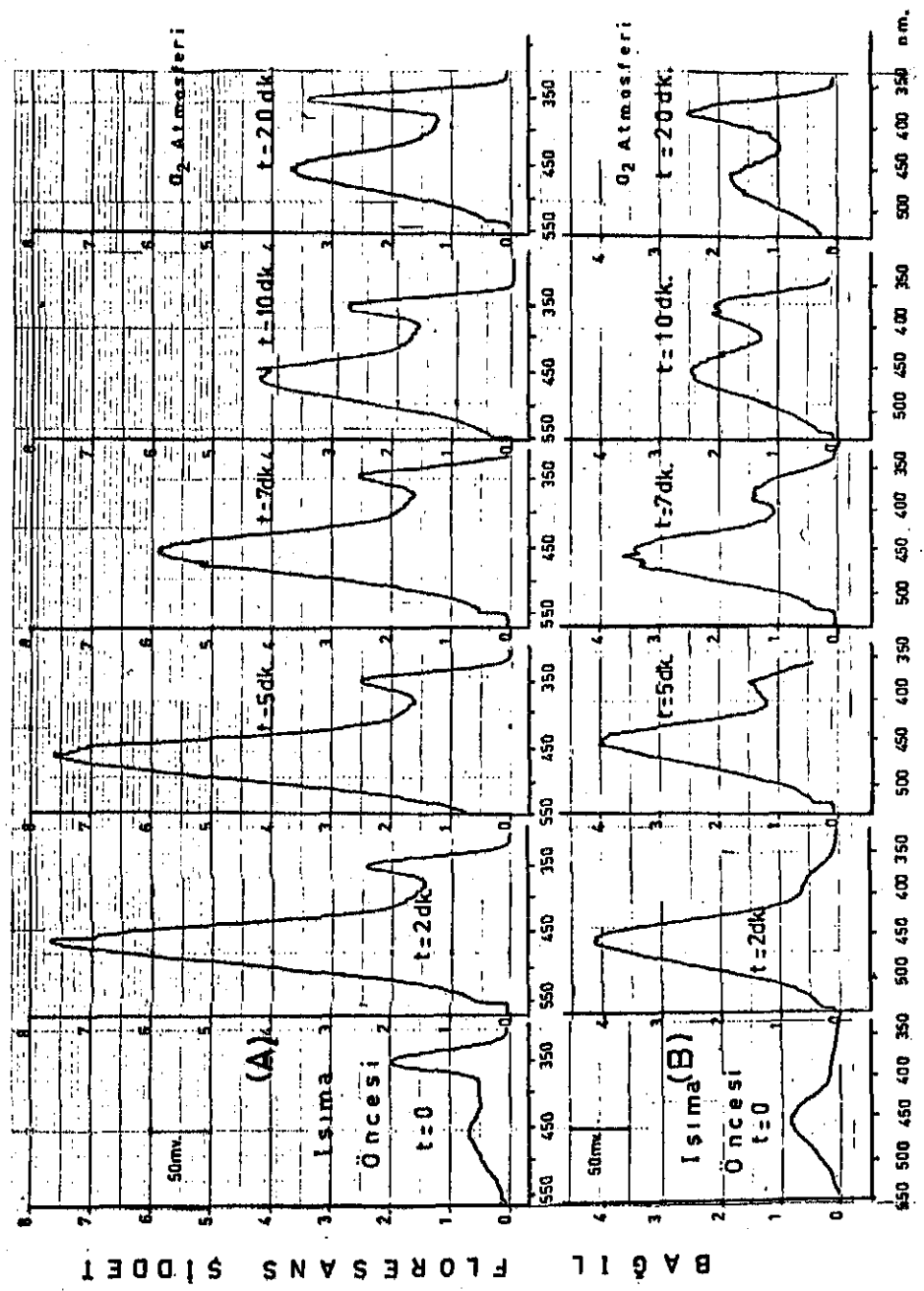
SEKİL 3.18.  $5.6 \times 10^{-5}$  M Klorpromazin içeren çözeltide ( $\text{pH}=1.5, \text{HCl}$ ), fluoresansının ışınma süresince değişimine örnek spektral kayıtları. Aktivasyon dalga boyu 350 nm dir.

Fotooksidasyon mekanizması üzerinde etkin rolü olan moleküler oksijen, triplet enerji seviyelerine uyarılmış elektronlarla reaksiyon kinetğini hızlandırmakta ve dolayısıyle ikincil bir etkiyle de elektronların sistemler arası geçişini artırmaktadır ve bağıl floresans şiddet azalmaktadır (Tablo 3.06). Işımanın başlamasıyla birlikte uyarılan elektronların azot atmosferinde floresansı şiddetlendirmesi ve aynı şiddetlenmenin oksijen varlığında anlamlı (significant olarak azalması, yukarıdaki görüşü desteklemektedir.

385 nm deki floresans oluşum klorpromazin fotooksidasyonuyla oksit türevlerinden birinin ışınma sonucu ortamda varlığını göstermektedir (Şekil 2.05). Kaydedilen spektrumlarda aktivasyon dalgaboyunun 256 nm veya 350 nm olması önemli değildir. Bu dalgaboyları arasındaki tüm aktivasyonlarda 385 nm deki floresans oluşum izlenmiştir. Ürnek iki spektral kayıt,  $pH = 5.25$  olan klorpromazin çözeltileri için şekil 3.19 da verilmektedir. Şekilden de görüldüğü gibi 350 nm de rezonans ışınma olması, 385 nm deki floresans oluşumun 256 nm deki aktivasyonla kaydedilen spektrumlarda daha belirgin olmasına yol açmaktadır (Şekil 3.19.B).  $O_2$  atmosferi altında Nötral ve zayıf asidik klorpromazin çözeltilerinde ışınmanın ilk on dakikası içerisinde 460 nm ve 385 nm deki floresansın zirve değer vererek ışınma devamında azalması, yorumu güçlendirmektedir. Foto-ürün oluşumunun ışınma süresince arttığı, ultraviyole ve görünür bölge spektrumlarda gösterilmiştir ve bu nedenle iki soru belirmektedir: I) 385 nm deki floresans, oksit türevlerinin olduğunu karakterize edebilir mi?

2) Aynı floresans oluşum, ara kademedede oluşan semikinon radikali, fenazotionyum iyonu, dikatyon radikal veya benzeri bir ara kompleks oluşuma özgü moleküller düzenlemeye ait olabilir mi?

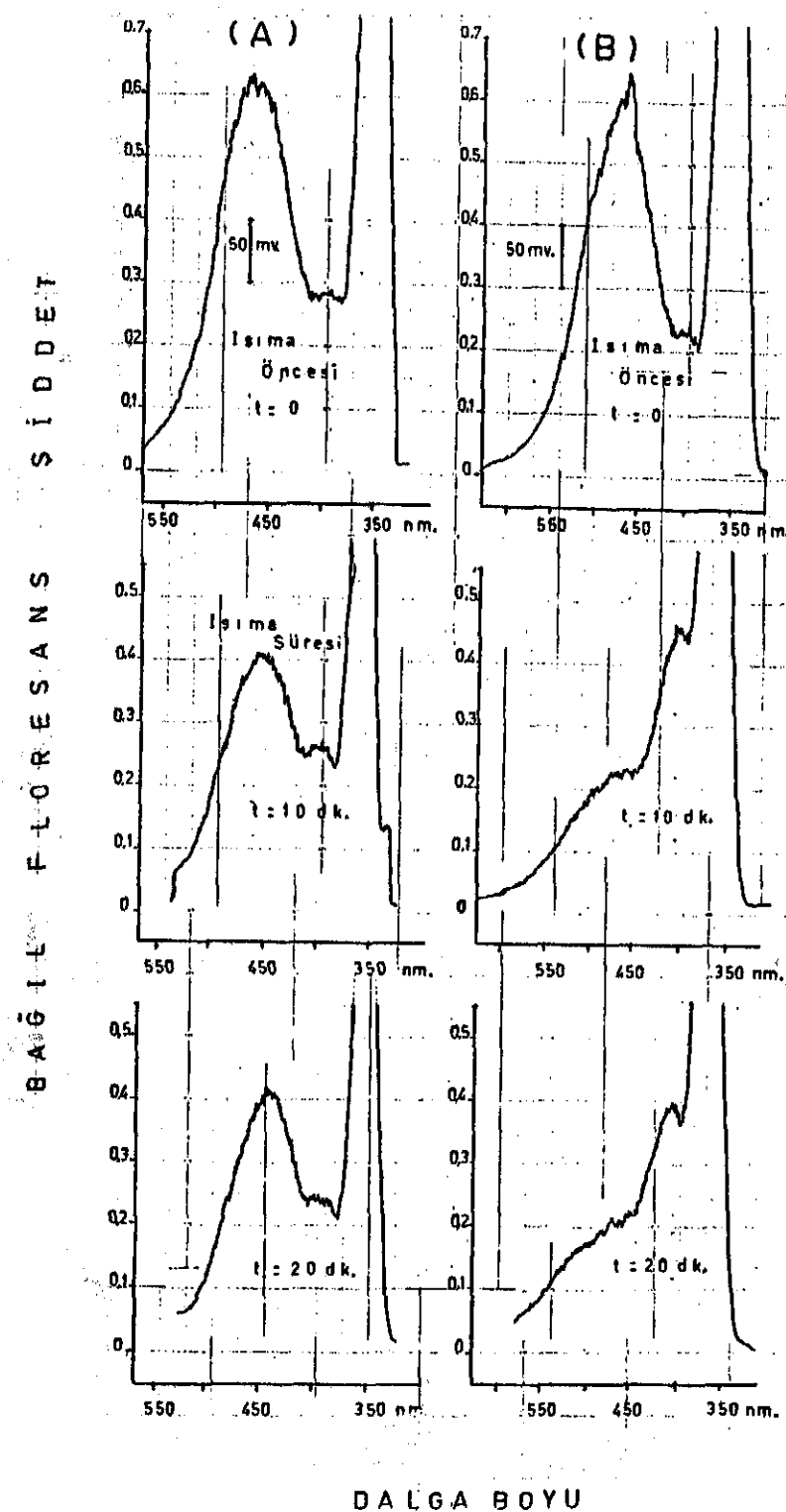
Bu soruların yanıtı kuvvetli asidik ortamlarda ışıma deneylerinin tekrarlanması ve floresans spektrumlarının alınmasıyla kısmen verilebilir. Şekil 3.20 ve 3.21 ile pH = 0.25 ve 0.08 olan klorpromazin çözeltilerinden alınan örnek floresans spektromalar ve oksijenli veya oksijensiz atmosferdeki ışıma süresince izlenen değişimler verilmektedir. Sonuçlar Tablo 3.07. de değerlendirilmiştir.



D A L G A B O Y U

Şekil 3.19.  $5.6 \times 10^{-5}$  M Klorpromazin içeren çözeltilerde ( $\text{pH} = 5.25$ ), floresansın ısıtma süresince değişimine aktivasyon dalgaboyunun tesiri.

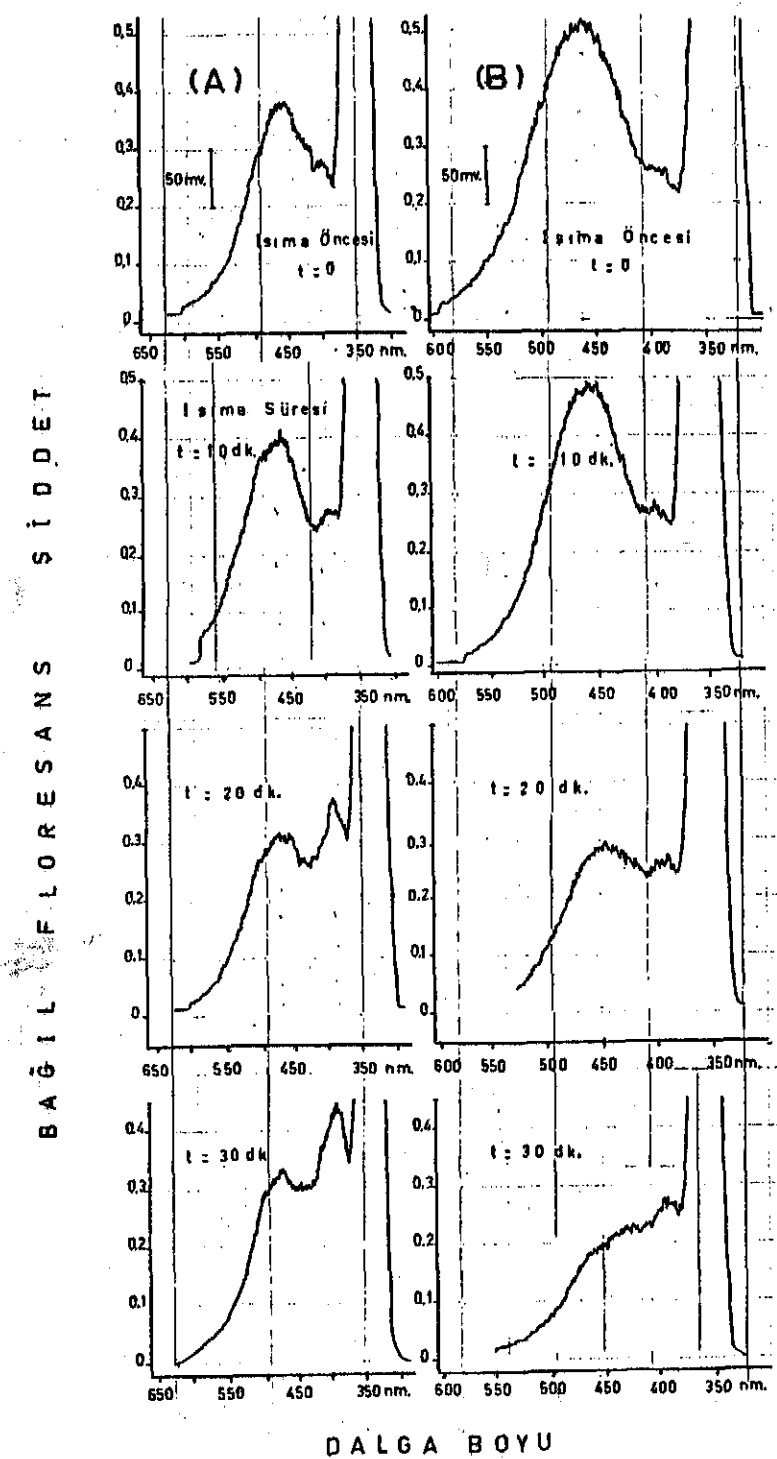
- A) Aktivasyon dalgaboyu = 350 nm.
- B) Aktivasyon Dalgaboyu = 256 nm.dir.



ŞEKİL 3.20.  $5.6 \times 10^{-5} \text{ M}$  Klorpromazin içeren çözeltilerinde ( $\text{pH} = 0.25$ ,  $\text{HCl}$ ), floresansın ısıma süresince değişimine örnek spektral kayıtlar  
Aktivasyon dalgaboyu  $350 \text{ nm}$  dir.

A) Oksijensiz atmosferde

B) Oksijenli atmosferde



SEKİL 3.21.  $5.6 \times 10^{-5}$  M Klorpromazin içeren çözeltilerde ( $\text{pH} = 0.08$ ,  $\text{H}_2\text{SO}_4$ ) floresansın ışma süresince değişimine örnek spektral kayıtlar.  
Aktivasyon dalgaboyu 350 nm dir.

A) Oksijenli atmosferde

B) Oksijensiz atmosferde.

TABLO 3.07.  $5.6 \times 10^{-5}$  M KLORPRÖMAZİN İÇEREN KUVVETLİ ASİDİK  
ÇÖZELTİLERDE BAĞIL FLORESANS ŞİDDETİN İŞİMA SÜRESİNCE  
DEĞİŞİMİ. AKTİVASYON DALGABOYU ( $\lambda_{Akt.}$ ) 350 nm. DİR.

ÇÖZELTİ pH'SI	BAĞIL FLORESANS ŞİDDET *								
	$t = 0$ İşime Öncesi	$t = 2dk.$	$t = 4dk.$	$t = 6dk.$	$t = 8dk.$	$t = 10dk.$	$t = 12dk.$	$t = 15dk.$	$t = 20dk.$ İşime sonrası

A) OKSİJENLİ ORTAMDA - 460 nm.' DEKİ FLORESANS

0.08	0.56	0.37	0.37	0.38	0.39	0.40	0.38	0.35	0.30
0.25	0.63	0.45	0.26	0.22	0.21	0.20	0.20	0.20	0.19

B) OKSİJENLİ ORTAMDA - 385 nm.' DEKİ FLORESANS

0.08	0.27	0.27	0.27	0.27	0.28	0.28	0.28	0.30	0.36
0.25	0.22	0.35	0.47	0.46	0.46	0.45	0.43	0.40	0.39

C) AZOTLU ORTAMDA - 460 nm.' DEKİ FLORESANS

0.08	0.52	0.52	0.51	0.51	0.50	0.49	0.48	0.35	0.30
0.25	0.62	0.62	0.62	0.61	0.60	0.58	0.56	0.40	0.39

D) AZOTLU ORTAMDA - 385 nm.' DEKİ FLORESANS

0.08	0.25	0.25	0.25	0.25	0.25	0.25	0.26	0.26	0.26
0.25	0.27	0.27	0.26	0.26	0.25	0.25	0.25	0.23	0.22

\* Her değer en az üç okum ortalamasıdır.

Kuvvetli asidik klorpromazin çözeltilerinin 460 nm dalga boyundaki anayapı floresansı, yirmi dakikalık ultraviyole ışırma süresince, gerek oksijenli gerekse oksijensiz ortamda azalmaktadır (Tablo 3.07). Işırma başlangıcından itibaren, özellikle zayıf asidik ve azot atmosferi altın-daki klorpromazin çözeltilerinde izlenen 460 nm deki floresansın şiddetlenmesi (Şekil 3.17), kuvvetli asidik çözeltilerde görülmez (Şekil 3.20 ve 3.21).

Kuvvetli asidik çözeltilerde 385 nm de izlenen floresans oluşum ise oksijenli ortamda daha belirgindir (Şekil 3.20.B, 3.21.A) ve ultraviyole ve görünür bölge absorpsiyon spektrumlarıyla izlenen oluşumlar ile birlikte yorumlanırsa (Şekil 3.04. 3.05), bu floresansın semikinon radikal oluşumuna veya feazotionyum iyon oluşumuna da özgü moleküler düzenlemeye ait olduğu söylenebilir. Diğer bir açıklama tarzıyla ana halkadaki azot veya kükürt hetero atomları üzerindeki n elektronlarından birinin veya ikisinin kaybı, molekül içerisindeki elektron düzenini değiştirmekte ve 385 nm de floresansı artttırmaktadır. Klorpromazin sülfovksit, sulfon ve N-S oksit türevlerinin aynı dalgaboyundaki (385 nm) floresansı özellikle kükürt heteroatomu üzerinde yoğun olan elektron ilgisinin hepsinde aynı ve molekül içi düzenlemenin benzerliğini göstermektedir.

Klorpromazin oksit türevleriyle tekrarlanan çalışmalar yukarıdaki tartışmaya bir başka açıdan yaklaşım sağlamaktadır.  $3.3 \times 10^{-5}$  M klorpromazin sulfon ile pH = 1.5 de ve oksijenli ortamda yapılan ışırma deneylerinde

(Şekil 3.22), 385 nm deki floresansın sürekli olarak arttığı kaydedilmiş-  
tir. Örnek bir kayıt olarak 256 nm de aktivasyon dalga boyu kullanarak  
alınan bu floresans spektrumunda, sulfon yapısının 385 nm deki bağıl  
floresans şiddeti, ışınma öncesi 6.1 iken, yirmi dakika ışınmaya 75.0  
olmaktadır.

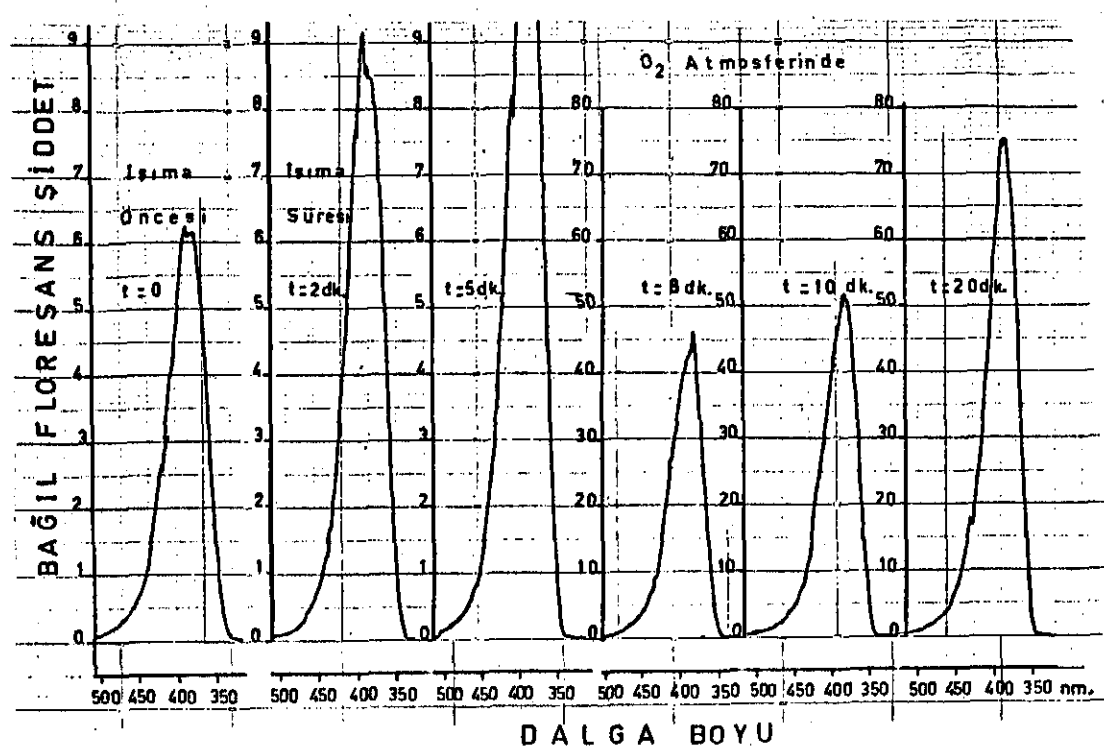
Klorpromazin N-okside özgü 460 ve 385 nm deki floresans ve klor-  
romazin sülfoksit ile N-S oksit türevlerine özgü 385 nm deki floresans  
(Şekil 2.05), bu türevlerin pH = 1.5 ve oksijen doygun çözeltilerinde  
yapılan ışınma deneyleri süresince izlenmiş ve yirmi dakika ışınma süresi  
sonunda 385 nm deki floresansın tüm bu yapıllarda azaldığı tespit edilmiş-  
tir. (SEKİL 3.23. , 3.24.).

$3.7 \times 10^{-5}$  M Klorpromazin N-oksit türevinin ultraviyole ışınma  
süresince oksijenli ortamda (Şekil 3.23.A) 460 nm deki floresansında,  
klorpromazin ana yapısına benzer şekilde ışınmanın ilk dakikalarında önce  
bir artış ve sonradan azalma izlenmiştir (Tablo 3.08.A). 385 nm deki  
floresansında ise benzeri şekilde önce şiddetlenme ve ikinci dakikadan  
sonra sönümü gözlenmiştir. (Tablo 3.08.B). Her iki dalga boyundaki  
floresans değişimler, azot akısı altında deneyler tekrarlandığında aynı  
kalmıştır (Şekil 3.23.B) ancak gerek 385 nm deki floresansın daha geç  
şiddetlenmesi (ışınmanın altıncı dakikasına kadar) ve gerekse her iki dal-  
ga boyundaki floresansın daha yavaş sönümeye uğraması (Tablo 3.08. C ve D),  
azot akışının bu yapıda da normal şartlarda izlenen fotokimyasal reaksi-

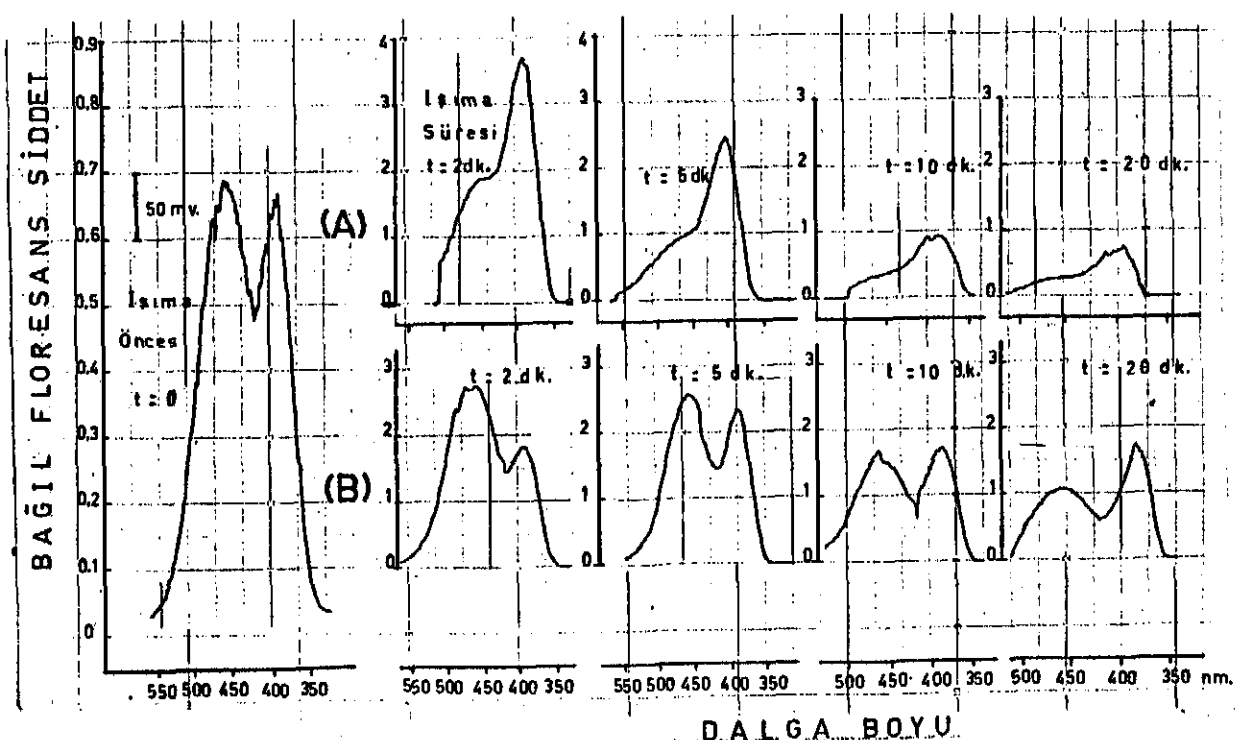
yonların kinetiğini yavaşlattığı görüşünü desteklemektedir.

Klorpromazin sülfovksit ve N-S oksit türevlerinle yapılan deneylerde de 385 nm deki bağıll floresans şiddet, oksijenli ortamda (Şekil 3.24.A) ışıma başlangıcından itibaren azalmaktadır (Tablo 3.08.B). Azot akısı altında çalışıldığında ise ilgi çekici olarak, N-oksit türevinde izlenenin aksine 385 nm deki sönümüne karşın ışınmanın beşinci dakikasından itibaren 460 nm de yine floresans dalgalanın belirmesidir (Şekil 3.24.B).

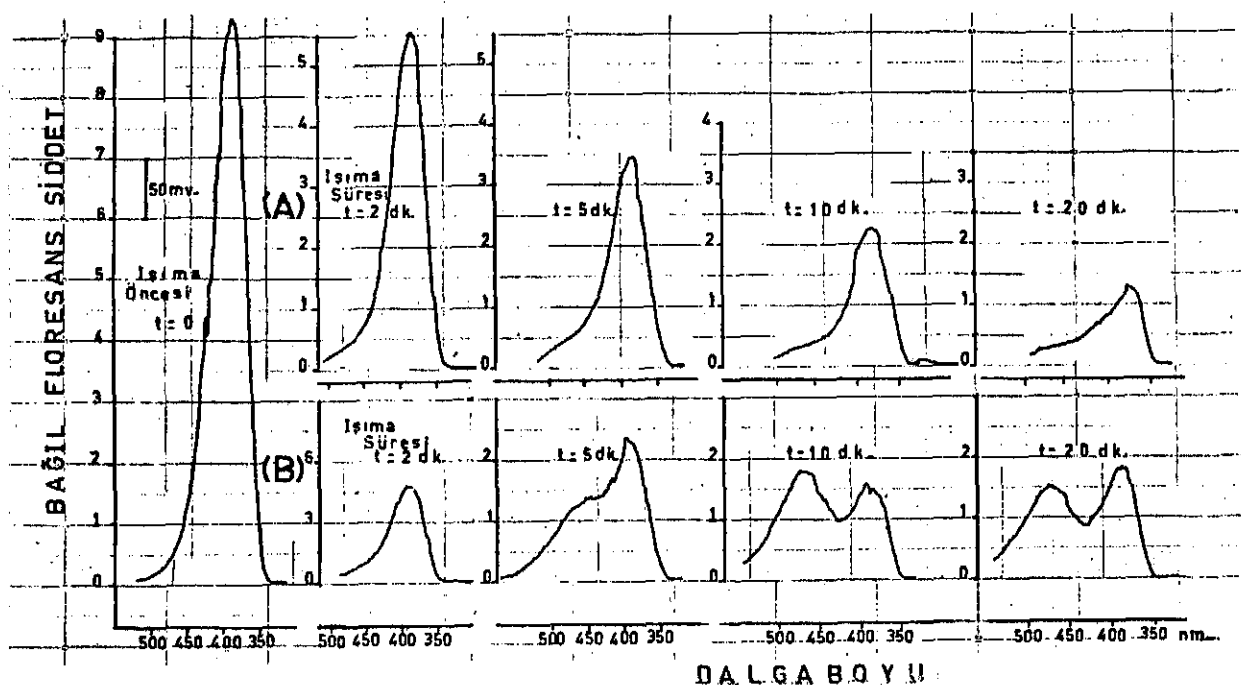
Yukarıdaki bulgularla beraber kısaca bir yorum yapılması gereklirse nötral ve zayıf asidik ortamda klorpromazin çözeltilerinin foto-oksidas-yonu oksijen varlığında oksit türevlerinden en az birini oluşturmaktadır. Foto ürünün sulfon benzeri bir yapıya sahip olmadığı kesindir aksi halde ışıma deneylerinde 385 nm deki floresansın giderek şiddetlenmesi beklenirdi (Tablo 3.08). İlerde bahsedilecek olan ince tabaka kromatografik çalışmalarında ışıma sonrası sülfovksit lekesinin izole edilmesi, klorpromazinin fotooksidasyon ürünlerinden birinin bu olduğunu yukarıdaki bulgularla birlikte desteklenmektedir. Ancak ışıma sonrası sarı renk oluşumu ile karakterize diğer bir foto ürünün tabiatı ise, N-oksit, sülfovksit ve N-S oksit türevlerinle de izlenen müşterek bir oluşum olmalıdır ki 460 nm ve 385 nm dalga boylarında floresansı olmasın. Yirmi dakikalık ışıma sonrasında klorpromazin fotooksidasyonu ile ilk dakikalarda oluşan 385 nm deki floresansın ve yukarıda debynilen oksit türevlerinin aynı dalga boyundaki floresanslarının tamamen sönmesi bu oluşumun floresans karekteri olmadığını düşündürmektedir.



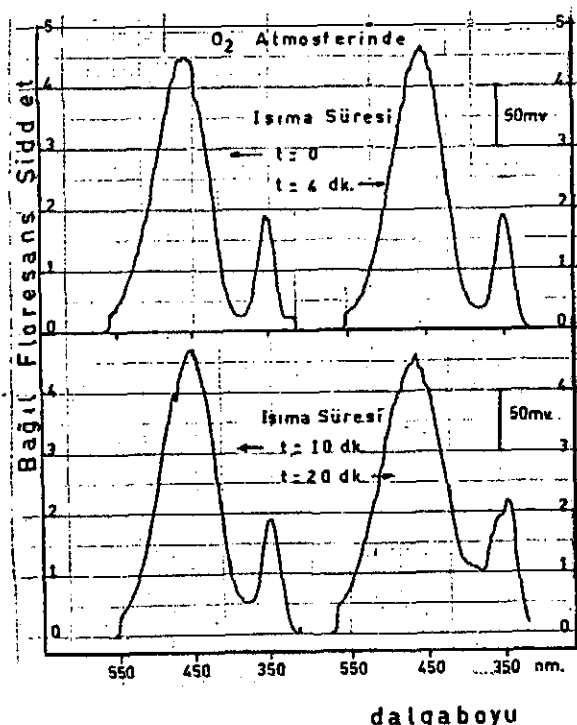
ŞEKİL 3.22.  $3.3 \times 10^{-5}$  M Klorpromazin sulfon çözeltisinde ( $\text{pH}=1.5$ ,  $\text{HCl}$ ) ışırma süresince fluoresansın değişimine örnek spektral kayıtlar.



ŞEKİL 3.23.  $3.7 \times 10^{-5}$  M Klorpromazin N-oksit çözeltisinde ( $\text{pH}=1.5$ ,  $\text{HCl}$ ),  
(A) oksijenli (B) oksijensiz ortamındaki fluoresansın ışırma süre-  
since değişimine örnek spektral kayıtlar.



ŞEKİL 3.24.  $3.0 \times 10^{-5}$  M Klorpromazin sülfovksit çözeltisinde ( $\text{pH} = 1.5, \text{HCl}$ ),  
 (A) oksijenli (B) oksijensiz ortamda floresansın ışılma süresince değişimine örnek spektral kayıtlar.



ŞEKİL 3.25.  $5.6 \times 10^{-5}$  M Klorpromazin içeren asetonitril çözeltisinde floresansın ışılma süresince değişimine örnek spektral kayıtlar.

TABLO 3.08. KLORPROMAZİN OKSİD TÜREVLERİNDE BAĞIL FLORESANS ŞİDDETİN İŞİMA SÜRESİNCE DEĞİŞİMİ. AKTİVASYON DALGABOYU ( $\lambda_{Akt.}$ ) = 350 nm' , ÇALIŞMA pH'SI 1.5 (HCl) DİR.

ÇÖZELTİ ÖZELLİĞİ	BAĞIL FLORESANS ŞİDDET <sup>**</sup>								İşima Sonrası
	t= 0 İşima Öncesi	t= 2dk.	t= 4dk.	t= 6dk.	t= 8dk.	t= 10dk.	t= 15dk.	t= 20dk.	
<u>A) Oksijenli ortamda - 460 nm. 'deki Floresans</u>									
KLP N-O	0.6	1.8	1.0	0.8	0.6	0.4	0.2	0.1	
KLP S-O	0.4	0.4	0.4	0.4	0.4	0.4	0.4	0.4	
KLP N-O S-O	0.5	0.5	0.5	0.5	0.5	0.5	0.5	0.5	
KLP SOO	-	-	-	-	-	-	-	-	
<u>B) Oksijenli ortamda - 385 nm. 'deki Floresans</u>									
KLP N-O	0.6	3.7	3.0	2.4	2.0	1.5	0.9	0.6	
KLP S-O	9.3	5.5	4.4	3.4	2.8	2.2	1.7	1.2	
KLP N-O S-O	6.6	6.3	5.8	4.7	3.9	3.0	2.4	1.3	
KLP SOO	6.1	9.2	16.4	24.0	45.1	52.0	63.0	75.0	
<u>C) Azotlu ortamda - 460 nm. 'deki Floresans</u>									
KLP N-O	0.7	2.7	2.7	2.5	2.0	1.7	1.3	1.0	
KLP S-O	0.5	0.8	1.1	1.4	1.6	1.8	1.6	1.6	
KLP N-O S-O	0.5	1.5	1.9	2.0	1.8	1.7	1.4	1.2	
KLP SOO	-	-	-	-	-	-	-	-	
<u>D) Azotlu ortamda - 385 nm. 'deki Floresans</u>									
KLP N-O	0.6	1.8	2.0	2.3	2.1	1.7	1.7	1.7	
KLP S-O	10.0	4.8	3.6	2.3	2.0	1.5	1.7	1.8	
KLP N-O S-O	6.6	4.3	2.8	2.5	2.3	2.1	2.1	2.0	
KLP SOO	6.0	75.0	100.0	100.0	100.0	100.0	100.0	>100.0	

\* Çözeltideki madde konsantrasyonları:

Klorpromazin N- Oksid (KLP N-O) ...  $3.73 \times 10^{-5}$  M.  
 Klorpromazin Sülfoksid( KLP S-O) ...  $2.98 \times 10^{-5}$  M.  
 Klorpromazin N-S-Oksid( KLPNOSO) ...  $3.47 \times 10^{-5}$  M.  
 Klorpromazin Sulfon ( KLP SOO) ...  $3.30 \times 10^{-5}$  M.

\*\* Her değer en az üç okum ortalamasıdır.

Son grub deneysel çalışmalar klorpromazinin asetonitril çözeltile-rinde yapılmıştır. Ancak gerek oksijenli veya oksijensiz atmosferde 460 nm deki floresansın yirmi dakikalık ışıma süresince etkilenmediği görülmüştür (Şekil 3.25).

### 3.5. Işıma süresince klorpromazin elektro-oksidasyon voltamogramlarının takibi

Ön çalışmalarla geliştirilen yöntem ve ıshıma sistemi (A) yardımıyla (bak bölüm 2.1.7 ve 2.2.2), klorpromazinin ıshıma süresince elektro-oksidasyon voltamogramları kaydedildi. Deneysel uygulama, diğer grup çalışmalarındaki gibi ve belirli ıshıma sürelerinde voltamogram kaydederek ve fotooksidasyonla tüketilen yapının elektro-oksidasyon pik akımındaki azalmasını takip etmek amacıyla yapıldı. Düşük pH değerlerinde ortamda yeterince elektrolit olduğu için herhangi bir elektrolit ilavesi gerekmidi. Deneyler, pH'sı 1.5 olan HCl çözeltilerinde ve pH'sı 0.08 olan  $H_2SO_4$  çözeltilerinde yapıldı. Fotooksidasyon anında elektro oksidasyon voltamogramlarının birarada incelendiği bu çalışma literatürdeki ilk uygulama olmaktadır.

Aynı örnek üzerinde birbirini takip eden dört beş voltamogramda okunan pik akım sabit kalmıştır ancak ıshıma süresince izlenen çözelti sıcaklığındaki artışlar oksidasyon pik akımı üzerinde pozitif hatalara sebep olmuştur.  $1.4 \times 10^{-3}$  Molar klorpromazin içeren ve 39  $\mu$ Amp. pik akım veren çözelti sıcaklığı  $2.5^{\circ}C$  arttırıldığında (ıshıma deneylerinde

izlenen maksimum sıcaklık artışıdır, bölüm 3.3.), ortalama akım artışı 1.8  $\mu$ Amp. olarak hesaplanmıştır. ve konsantrasyon hesaplamalarında ıshıma süresince yapılan maksimum hata yüzdesi % 4.6 olarak saptanmıştır.

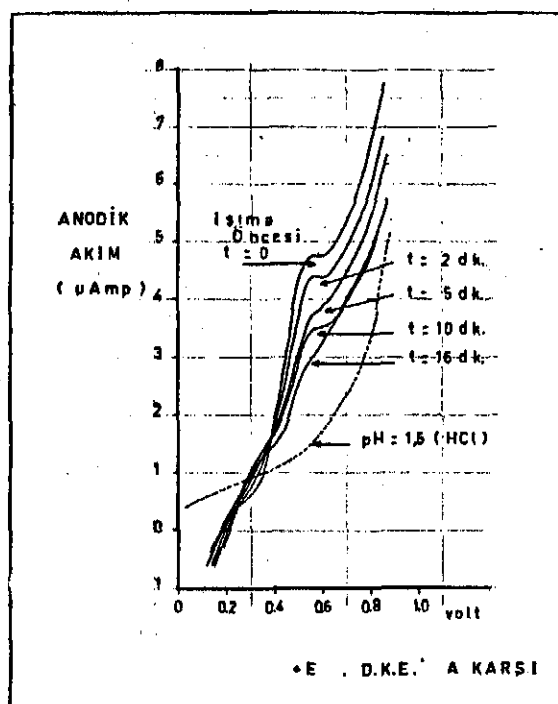
Başlangıç konsantrasyonu 1.0 ve  $4.0 \times 10^{-4}$  molar arasında olan ve pH = 1.5, HCl çözeltilerinden kaydedilen voltamogramlarda, klorpromazin konsantrasyonunun ıshıma süresince azalması, (şekil 3.26 ve tablo 3.09.) pik potansiyeldeki akım azalmasından hesaplanan r değerlerinin ıshıma süresine karşı korelasyon doğrusu ile (şekil 3.27) ifade edilmiştir. pH= 1.5 da pik potansiyel referans kalomel elektroda karşı + 0.67 volt'dur. r değeri  $I - C_t/C_0$  olarak daha önce de tariflenmişti(bölüm 3.1.3). Deneylerde kullanılan potansiyel tarama hızı 1.0 volt/dakika ve başlangıç potansiyeli 0 volt'dur.

İshıma süresince klorpromazin konsantrasyonundaki azalmayı ifade eden r değerinin ıshıma süresi t ye karşı doğrusal değişimi aşağıdaki formülle verilirse (Şekil 3.27):

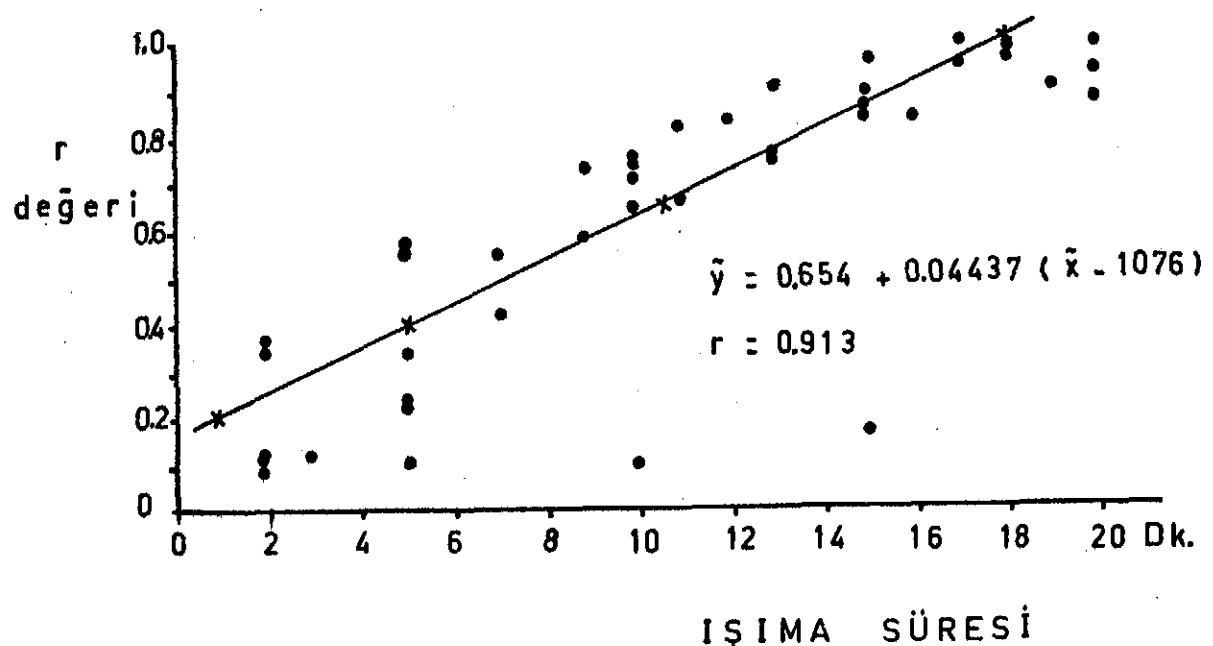
$$r = I - C_t/C_0 = k^x \cdot t + b \quad \dots \dots \dots \quad (1)$$

$k^x$  ve b sabit değerlerdir. Formül yeniden düzenlenirse,

$$C_t = C_0 \cdot b - C_0 \cdot k^x \cdot t = C_0 (b - k^x \cdot t) \text{ olur.} \quad (2)$$



SEKİL 3.26. Başlangıç konsantrasyonu  $1.4 \times 10^{-4}$  molar olan klorpromazin çözeltilerinden ( $\text{pH} = 1.5$ ,  $\text{HCl}$ ), kaydedilen oksidasyon voltamgramlarının ısıtma süresince değişimine örnek kayıtlar.  
Tarama hızı 1 volt/dakikadır.



SEKİL 3.27. Oksidasyon voltamgramlarından hesaplanan r değerlerinin ısıtma süresince değişimi.

TABLO 3.09.  $2.4 \times 10^{-4}$  M. KLOPROMAZİN İÇEREN ZAYIF ASİDİK ÇÖZELTİLERDE  
 pH = 1.5 ( HCl ), ELEKTRO-OKSİDASYON VOLTAMOGRAMLARININ  
 İŞIMA SÜRESİNCE DEĞİŞİMİNDEN HESAPLANAN ÖRNEK " r " DEĞERLERİ.

İşima Süresi ( dk.)	$i_{pik}$ ( uAmp.)	Klorpromazin Kons. <sup>x</sup> C ( molar)	r değeri $( I - C_t / C_0 )$
0	7.20	$2.4 \times 10^{-4}$	0.00
2	6.60	$2.19 \times 10^{-4}$	0.09
5	5.00	$1.61 \times 10^{-4}$	0.33
7	3.60	$1.09 \times 10^{-4}$	0.54
9	2.40	$0.66 \times 10^{-4}$	0.72
11	1.80	$0.44 \times 10^{-4}$	0.82
13	1.20	$0.22 \times 10^{-4}$	0.91
15	0.80	$7.60 \times 10^{-6}$	0.97
17	0.40	-	1.00
20	0.05	-	1.00

\* -  $C_0$  ve  $C_t$  konsantrasyonları bölüm 2.I.7.'de şekil 2.I3.' te verilen kalibrasyon doğrusundan ve  $\bar{y} = 10.4 + 2.74(\bar{x} - 3.58)$  korelasyon doğrusuna ait formül üzerinden hesaplanmıştır.

$\bar{y}$  = D.K.E. 'da karşı pik potansiyelde okunan pik akımı (uAmp.),

$\bar{x}$  = Klorpromazin konsantrasyonu ;  $C_t \times 10^4$  Molardır.

$t$  ye göre türevi alınırsa:

$$\frac{d C_t}{d t} = - C_0 k^x = \text{sabittir} \quad (3)$$

$k^x$  değeri şekil 3.27 deki korelasyon doğrusunun eğimine ve  $0.04437 \text{ dk}^{-1}$  e eşittir. Oksidasyon voltamogramlarıyla hesaplanan  $r$  değerlerinin ışınma süresince doğrusal değişimi, klorpromazinin sıfırıncı dereceden kinetikle tüketildiğini ve foto oksidasyon hızının klorpromazine göre  $C_0 \cdot k^x$  çarpımına eşit hızla yürüdüğünü göstermektedir. (Tablo 3.10). Formül (3) gereğince farklı başlangıç konsantrasyonundaki klorpromazin çözeltilerinde kinetik hız ifadesi  $k^x$  sabit olmasına rağmen  $C_0 \cdot k^x$  farklı olacak, ancak aynı süre içerisinde tüketilen klorpromazin fraksiyonu her zaman sabit kalacaktır.

TABLO 3.10. KONSANTRASYON ve FOTO OKSIDASYON KINETİK HIZ İFADELERİ

ARASINDAKI İLİŞKİ.

Başlangıç Konsantrasyonu	Kinetik Hız sabiti
$C_0$	$K = k^x \cdot C_0$
$1 \times 10^{-5}$ molar	$4.437 \times 10^{-7} \text{ mol/lt.dk}$
$5 \times 10^{-5}$ "	$2.218 \times 10^{-6}$ "
$1 \times 10^{-4}$ "	$4.437 \times 10^{-6}$ "
$5 \times 10^{-4}$ "	$2.218 \times 10^{-5}$ "

$k^x$  değeri  $0.04437 \text{ dk}^{-1}$  olarak alınmıştır.

Ultraviyole ve görünür bölge spektrumlarıyla yapılan çalışmalardan hesaplanan  $r$  değerlerinin (bölüm 3.1.3 ve şekil 3.10) ışınma süresince değişiminin, pH 1.5 ve 5.5 arasında ve  $t > 2$  dakika olmak şartıyla aşağıda verilen korelasyona uyduğuna deðinilmiştir.

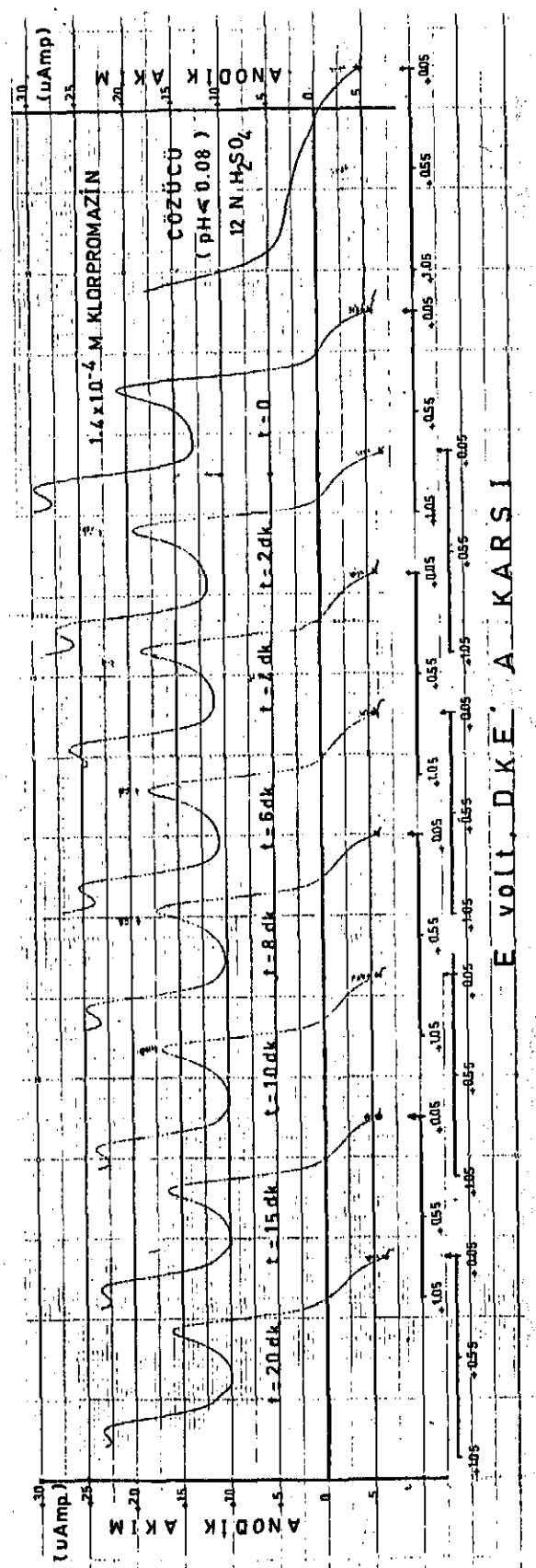
$$r = 0.663 + 0.0313 (t - 9.25)$$

ve aynı ifade elektro-oksidasyon voltamogramlarından elde edilen korelasyon formülü ile mukayese edilirse:

$$r = 0.654 + 0.04437 (t-10.76)$$

her iki doğrunun ( $p < 0.01$ ) anlamlı olarak paralel olduğu EK VI, student t - eğim testi ile gösterilmiştir ( $t= 2.18$  ve serbestlik derecesi 46 dır).

Kuvvetli asidik çözeltilerde tekrarlanan ışınma deneylerinde, klörromazinin 12 N  $H_2SO_4$  çözeltisiyle kaydedilen referans kalomel elektroda karşı  $+0.40$  voltta birinci ve  $+0.86$  voltta ikinci elektro-oksidasyon pikleri takip edildi (Şekil 3.28). Fotooksidasyon süresince ortamda klörromazin semikinon radikal oluşumu bulunsayı,  $+0.40$  voltta ilk pikde azalmaya paralel ikinci pikte artma olmaliydi. Eğer fenazotiyum iyon oluşumu bulunsayı ışınma süresince her iki pikte azalma izlenecekti. Ancak voltamogramlarda (Şekil 3.28), ışınmanın sadece ilk beþ dakikasında her iki pik akımlarında azalma ve sonrası ışınmalarda ise aynı voltamogramların tekrarı kaydedildi. Bu bulgular kuvvetli asidik ortamda radikal-



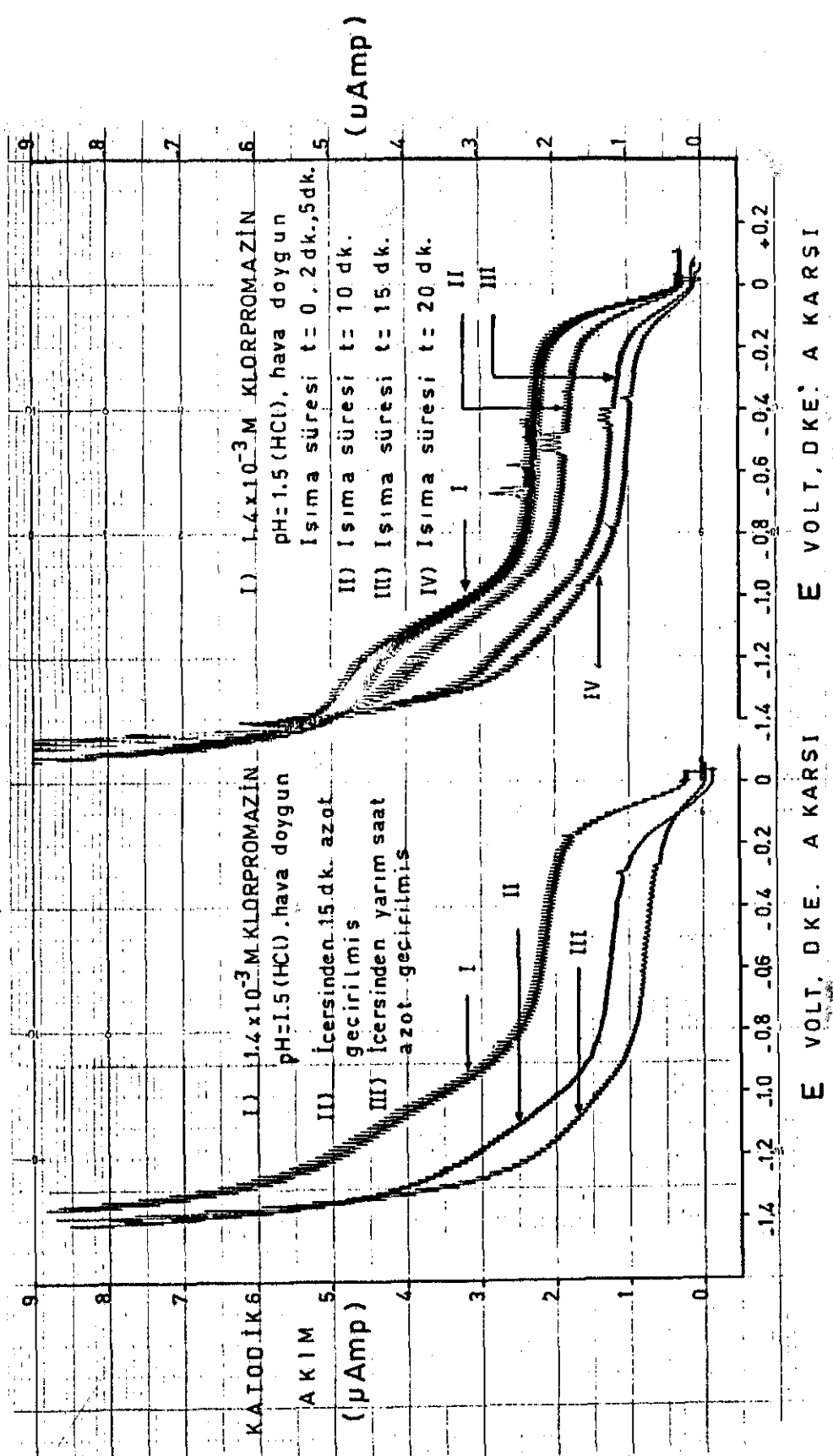
SEKİL 3.28. Başlangıç konsantrasyonu  $1.4 \times 10^{-4}$  molar olan klorpromazin çözeltisinden ( $\text{pH} = 0.08$ ,  $\text{H}_2\text{SO}_4$ ),

kaydedilen oksidasyon voltamogramlarının ışınma süresince değişimine örnek kayıtları.

ler arası bir denge veya radikalik dimerleşmeyi gösterir mahiyettedir.

3.6. İşıma süresince moleküler oksijenin normal polarografik yöntemle takibi

Referans kalomel elektroda karşı damlayan civa elektrodu kullanarak düzgün değişen potansiyel taramasıyla alınan akım ölçümleriyle çözeltide mevcut moleküler oksijenin yarıdalga potansiyeli -0.1 volt ve -1.0 volt ta olan iki indirgenme dalgasının kaydedilebildiğine deñinilmiştir. Moleküler oksijenin çözelti içersindeki miktarı her ısıma deneyinde kesinlikle ayarlanamayacağı için, kalibrasyon eğrisi hazırlanmadı. Miktarı değişiminden daha çok, gerçek amaç, varsa ısıma süresince moleküler oksijen tüketildiğini gösterebilmekti. Bu nedenle  $1.4 \times 10^{-3}$  M klorpromazin içeren pH = 1.5, HCl çözeltileri kuvars ısıma hücresına aktarılarak ısıma sistemi (A) (Şekil 2.21) içerisinde yerleştirildi. Çalışma elektrodu olarak damlayan civa elektodu sisteme alındı. Isıma deneyleri sonunda oksijenin, yirmi dakika ısıma süresi içerisinde tümüyle tüketildiği bulunmuştur. DeneySEL sonuç Şekil 3.29 da verilen polarogramlarda da görülmektedir. 0 ile 1.3 volt arasında 0.5 volt/dakika tarama hızında yapılan çok sayıdaki deneylerin hepsinde, oksijen tüketimi özellikle ısımanın ilk beş dakikasından sonra başlamaktadır ve ısıma sonuna kadar devam etmiştir.



**SEKİL 3.29.** İşime süresince moleküller oksijen tüketimini gösteren örnekolar.

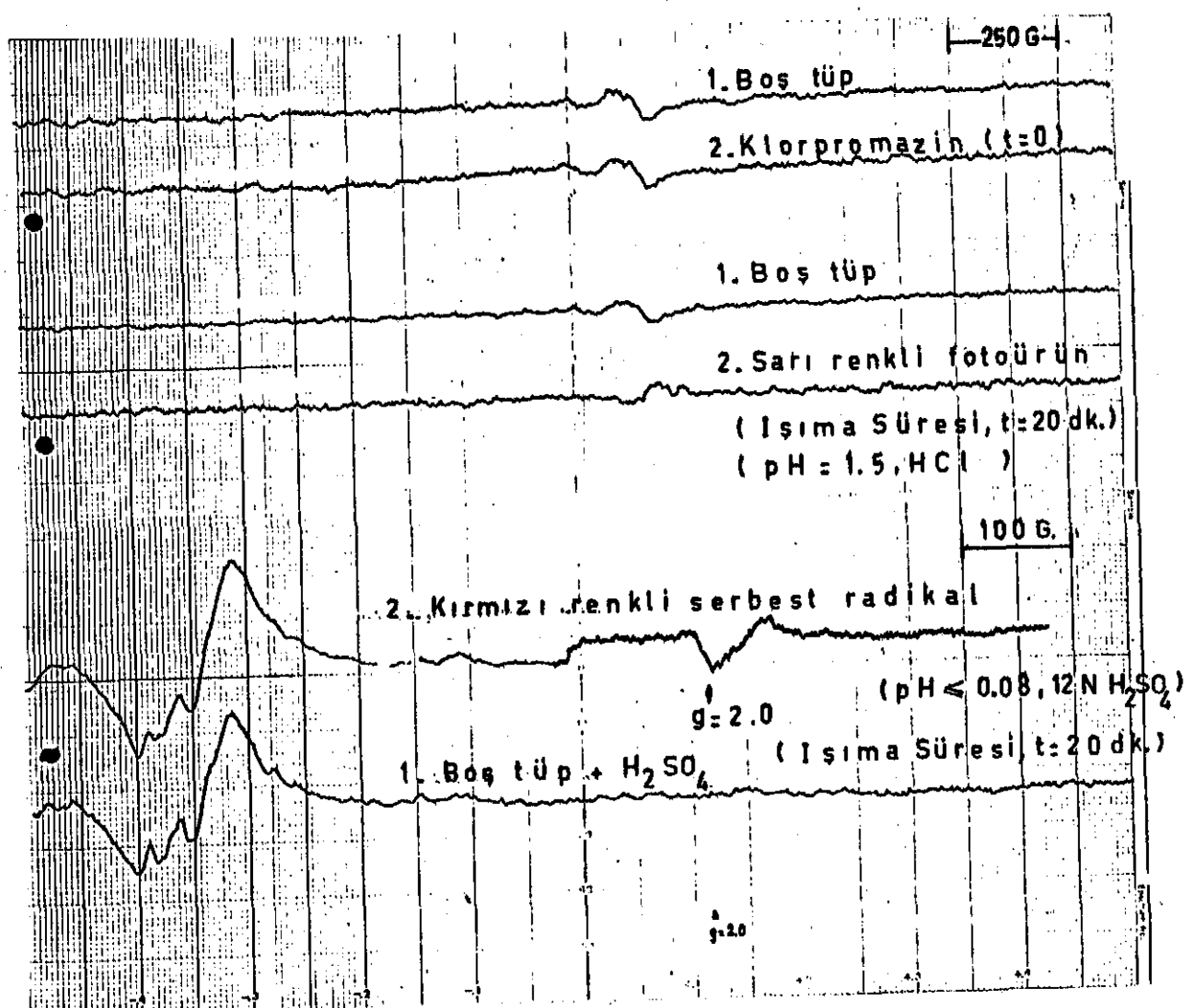
Klorpromazinin bilinen üç oksit türevinin de polarografik indirgenme dalgası vardır ancak normal polarografik çalışmalarında böyle bir indirgenme dalgasının olduğu gösterilememiştir. İşıma sonrası ortamdan on beş dakika azot geçirdikten sonra tekrar kaydedilen polarogramlar yine başarılı olamamıştır. Daha duyarlı yöntem olan puls polarografik çalışmalar bu amaçla yapılmıştır.

Yakın ultraviyole ışıma ile klorpromazin foto-oksidasyonunda moleküler oksijenin direkt olarak oluşumlara katıldığı literatürde ilk defa bu somut örnekle gösterilmiştir.

### 3.7. Elektron Paramagnetik Rezonans Spektrumları

Başlangıç magnetik alanı  $3.2 \times 10^3$  Gauss ve 400 Gauss tarama aralığında, 4 dk. tarama hızı, 1 Gauss modülasyon amplitütünde, 100 KHz modülasyon frekansıyla oda sıcaklığında kaydedilen spektrumlara 1,1 - difenil -2- pikril hidrazil serbest radikal ile  $\text{g} = 2.0036$  ayırma faktörü kalibre edildi.

pH'sı 1.5 olan HCl çözeltisinde ışıma öncesi  $1.4 \times 10^{-4}$  molar klorpromazin içeren ve aynı çözeltide ve konsantrasyonda yirmi dakika ışımaya tabi tutulmuş olan sarı renkli fotoürün ile pH'sı 0.08 olan kuvvetli asidik çözeltide yirmi dakika ışımaya tabi tutulmuş olan koyu kırmızı renkli çözeltilerin sırasıyla spektrumları alındı. Spektrumlar Şekil 3.30 da verilmektedir.



ŞEKİL 3.30. Elektron Paramagnetik Rezonans Spektrumları ;

(A) İşıma öncesi  $1.4 \times 10^{-4}$  M KLP, pH = 1.5 (HCl)

(B) İşıma sonrası sarı renkli çözelti, pH = 1.5 (HCl)

(C) İşıma sonrası kırmızı renkli çözelti, pH = 0.08 ( $H_2SO_4$ )

12 N  $H_2SO_4$  çözeltisinde yirmi dakikalık ışma sonrası ve bir saat karanlıkta beklemesine rağmen  $\text{g} = 2.000$  değerinde serbest radikal sinyali kaydedilmiştir. Bu sinyal klorpromazin semikinon serbest rakıdakiline veya dikatyon . radikale bağlı bir sinyal olabilir.

Sarı renkli ışma ürününde ve klorpromazin yapısında herhangi bir esr sinyali alınamamıştır.

### 3.8. Foto Ürün analizleri

Spektral ve voltametrik çalışmaların yanısıra son ürün ne olduğunu tanımlayabilmek amacıyla iki yöntem uygulanmıştır. İnce tabaka kromatografik analizlerde farklı eksit türevlerinin  $R_f$  değerleri ön deneylerle tespit edilmiştir (tablo 2.04.) ve bölüm 2.1.5. de detayı ile verilen analiz yöntemi, yirmi dakika ışma gören klorpromazin çözeltilerinde aynen uygulanmıştır. Diğer analiz yöntemi ise bölüm 2.1.8. de ön deneyleri verilen puls polarografisidir. Sulfon türevi dışında klorpromazin sülfoksit, N-oksit ve N-S oksit türev oluşumları farklandırıcı tanım yapılamaksızın ve varsa  $H_2O_2$  oluşumu analiz edilebilir.

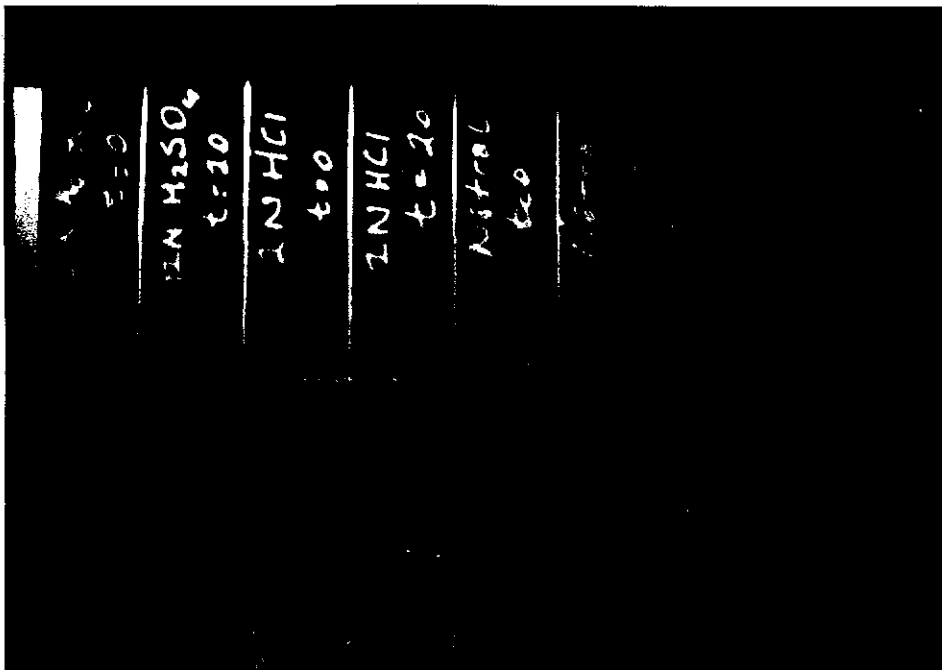
#### 3.8.I. İnce Tabaka Kromatografik Analizler

İnce tabaka kromatografik analiz duyarlılığı genellikle 0.1 - 0.5  $\mu\text{g}$  dir. Başlangıç konsantrasyonu  $1.4 \times 10^{-3}$  M olan klorpromazin çözeltisinden  $10 \mu\text{l}$  noktalandığında, uygulanan miktar 5  $\mu\text{g}$  olmaktadır.

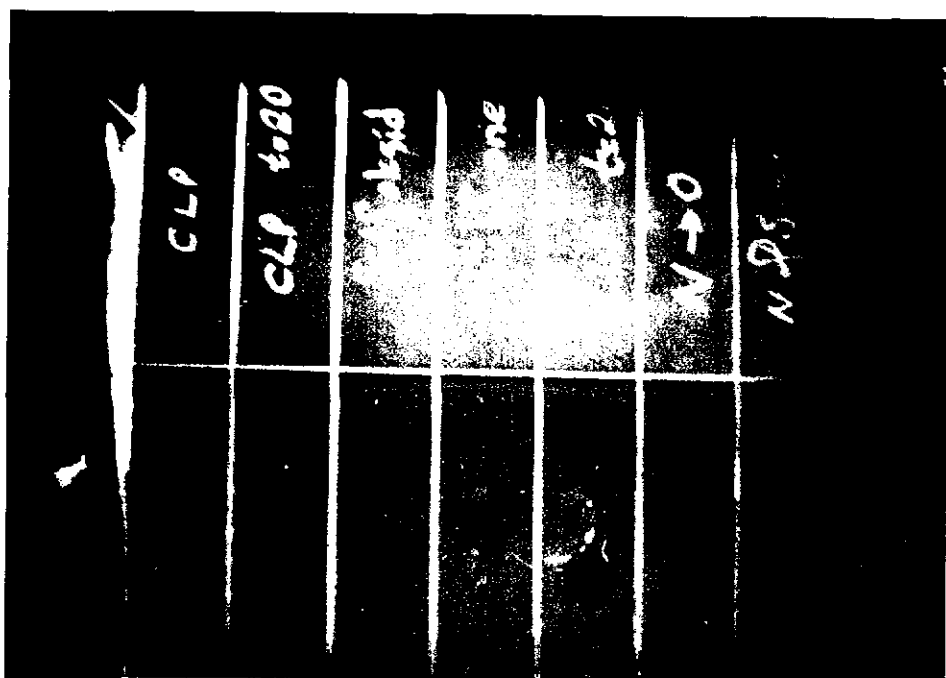
Ancak ışıma süresi sonunda ortamda varlığı araştırılacak foto ürün oluşumlarıyla renk oluşumları üzerinden tanımlama yapabilmek için ışıma yapılacak klorprömazin çözeltilerinin başlangıç konsantrasyonları da bu mertebede olmalıdır.

Vario K-S çemberde, % 59 sabit nem yüzdesine şartlandırılmış silika-jel plakalarda, etanol: asetik asid: su (5:3:2) ile on santimetre developepmen yapılarak, renk oluşumları ve  $R_f$  değerleri standartlarla mukayese edildi.

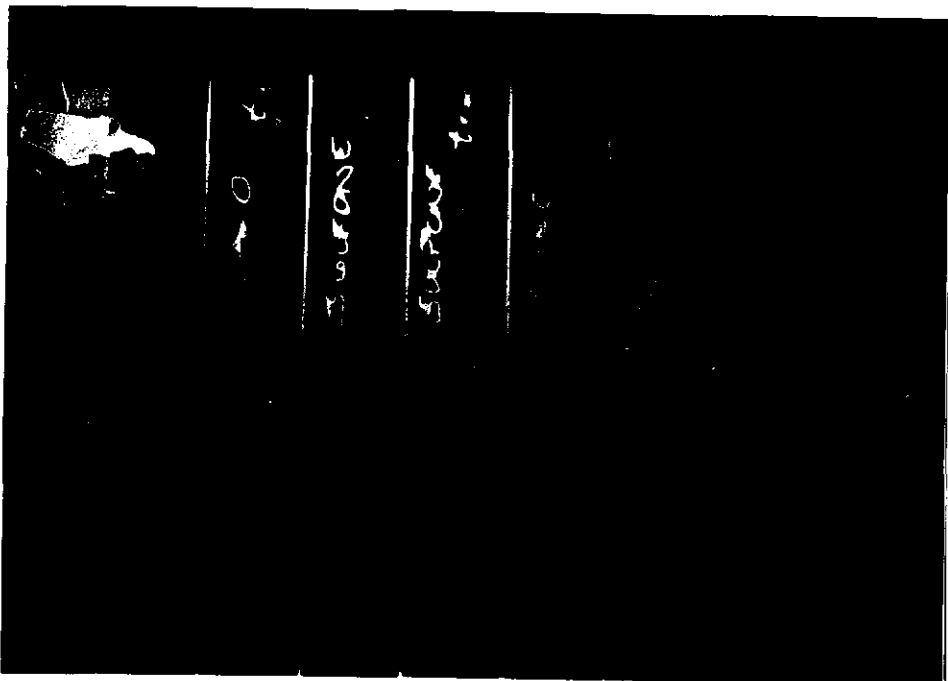
Kromatografik analiz lere ait tipik örnekler şekil 3.31-3.33 de verilmiştir ve tüm sonuçlar tablo 3.11 ile özetlenmiştir.



ŞEKİL 3.31.  $12\text{ N } \text{H}_2\text{SO}_4$ ,  $2\text{N HCl}$ , nötral ( $\text{pH} = 5.25$ ) ve asetonitril çözeltilerinde  $1.4 \times 10^{-3}\text{ M}$  klorpromazin ile yapılan kromatografik analiz örneğine ait bir fotoğraf.  $t = 0$  ışıma öncesini ve  $t = 20$  dk ışıma sonrası ifade etmektedir. Kuvvetli asidik çözeltilerinde ışıma öncesi ve sonrası  $R_f = 0.92 - 0.94$  olan sabit bir leke (sütun 1,2,3,4), nötral çözeltilerinde  $R_f = 0.50 - .55$  ve  $0.63-0.65$  olan iki ayrı leke oluşumu (sütun 5,6) ve asetonitril çözeltilerinde ise üç farklı leke (sütun 7 ve 8) oluşumu görülmektedir. Işıma deneyleri oksijen atmosferinde ya-



ŞEKİL 3.32.  $1.4 \times 10^{-3}$  M klorpromazin Sülfoksit (sütun 3), sülfon (sütun 4), N-oksit (sütun 6) ve N-S oksit (sütun 7) standart türevlerine karşı, nötral ve zayıf asidik klorpromazin çözeltilerigle yapılan yirmi dakika ışılma sonrası kromatografik analiz örneğine ait bir fotoğraf. pH = 5.25 (sütun 1), pH = 4.1 (sütun 2) ve pH = 1.5 (sütun 5 ve 8) ışılma sonrası  $R_f = 0.63-0.65$  olan sülfoksit oluşumu ve  $R_f = 0.50-0.55$  olan başka bir oluşum göstermektedir. Işımlar oksijen atmosferinde yapılmıştır.



ŞEKİL 3.33.  $1.4 \times 10^{-3}$  klorpromazin sülfovksit (sütun 1) , sülfon (sütun 3), N-oksit (sütun 5), N-S oksit (sütun 7), standart türevleriyle pH = 1.5 (HCl) çözeltilerinde yapılan yirmi dakikalık ışıma sonrası kromatografik analiz örneğine ait fotoğraf. ışıma sonrası sülfovksit türevinde  $R_f = 0.98$  olan yeni bir leke oluşumu (sütun 2), N-oksit türevinde  $R_f = 0.80 - 0.82$  olan yeni leke oluşumu (sütun 6) görülmüştür. Ancak sülfon ve N-S oksit türevlerinde yeni leke oluşumları yoktur. (sütun 4 ve 8). Işımalar oksijen atmosferinde yapılmıştır.

TABLO 3.II.  $1.4 \times 10^{-3} M$  KLORPROMAZİN VE OKSİD TÜREVLERİYLE OKSİJEN VE AZOT ATMOSFERİ ALTINDA YAPILAN İŞİMA DENEYLERİNDE İNCE TABAKA KROMATOGRAFİK FOTOÜRÜN ANALİZ SONUÇLARI.

ÖZELLİĞİ	İŞİMA*	İŞİMA**	İnce Tabaka Kromatografik $R_f$ değerleri***				
			KLP $R_f=0.92$	KLPSO $R_f=0.64$	KLPNO $R_f=0.98$	KLPSOO $R_f=0.82$	Diger $R_f$ değerleri

KLORPROMAZİN (KLP)

pH 1.0 - 5.5	Ö	$O_2, N_2$	XX	-	-	-	-
pH 0 - 1.0	Ö	$O_2, N_2$	XX	-	-	-	-
Asetonitril	Ö	$O_2, N_2$	XX	-	-	-	-
pH 1.0 - 5.5	S	$O_2$	X	XX	-	-	0.52-0.55
pH 0 - 1.0	S	$O_2, N_2$	XX	-	-	-	-
pH 1.0 - 5.5	S	$N_2$	XX	X	-	-	0.30
Asetonitril	S	$N_2$	XX	-	-	-	0.88
Asetonitril	S	$O_2$	XX	-	-	-	I) 0.80 2) 0.72 3) 0.60

KLORPROMAZİN SÜLFOKSİD(KLPSO)

pH 1.5	Ö	$O_2, N_2$	-	XX	-	-	-
pH 1.5	S	$O_2$	-	XX	XX	-	-
pH 1.5	S	$N_2$	-	XX	-	-	-

KLORPROMAZİN N-OKSİD(KLPNO)

pH 1.5	Ö	$O_2, N_2$	-	-	XX	-	-
pH 1.5	S	$O_2$	-	-	XX	XX	-
pH 1.5	S	$N_2$	-	-	XX	XX	0.75

KLORPROMAZİN N-S-OKSİD (KLPNOSO)

pH 1.5	Ö	$O_2, N_2$	-	-	XX	XX	-
pH 1.5	S	$O_2$	-	-	XX	XX	-
pH 1.5	S	$N_2$	-	-	XX	XX	0.75

\* İşıma öncesi (Ö), ısıma sonrası (S) harfleriyle işaretlenmiştir.

\*\* İşıma deneyleri oksijen ( $O_2$ ) veya azot ( $N_2$ ) atmosferi altında yapılmıştır.

\*\*\* İnce tabaka kromatografik leke görülen  $R_f$  değerleri XX ve bazı

deneylerde görülen zayıf lekelerse X ile işaretlenmiştir. Her kromatografik işaretleme en az üç analiz sonuçunu belirtmektedir.

pH'sı 0.08 ile 1.0 arasında olan kuvvetli asidik klorpromazin çözeltilerinde yakın ultraviyole ışınmayla yapının fotooksidasyonu sonucu radikal ve dikatyon radikal oluşumlarının varlığı, spektral çalışmalarla ve diğer yöntemlerle gösterilmiştir. Ancak kromatogramlarda ışınmalar ister oksijenli atmosferde yapılın isterse azot atmosferinde yapılın, yeni bir leke izole edilememiştir ve  $R_f$  değerleri sabit kalmıştır.

pH'sı 1.0 ile 5.25 arasında olan klorpromazin çözeltilerinde ise oksijenli atmosferde yapılan ışınma deneyleri sonucu  $R_f$  değeri 0.52-0.55 olan tanımsız bir leke ve sülfoksit  $R_f$  değerinde oluşan diğer bir leke izole edilmiştir. Azot atmosferi altında yapılan ışınma deneyleri sonrasında alınan kromatogramlarda da bazen sülfoksit lekesi izole edilmiştir ve bu hata muhtemelen ışınma sonrası kromatogram alırken hava ile temasta kalan çözelti veya örneğin 40-45 dakikaya varan ön şartlandırma gibi developman süresinin uzun olmasını bağlanabilir. Bu son grup analizlerde  $R_f$  değerleri 0.3, 0.21 ve 0.07 olan üç farklı leke de görülmüştür ve bunlardan ilk lekenin renk belirtisi daha şiddetlidir.  $1.4 \times 10^{-3}$  molar gibi yüksek klorpromazin konsantrasyonlarında dimerleşme ve polimerleşme beklenen bileyecinden ve özellikle azot akısı altında yavaşlatılan sülfoksit oluşumuna paralel bu lekelerin belirmesi, dimer ve polimer oluşumları düşündürmektedir. Ancak kanıtlama olasılığı yoktur.

Klorpromazin sülfon türeviyle ışıma öncesi ve sonrası  $R_f$  = 0.80-0.84 olan tek bir sarı leke belirmektedir. Sülfoksit türevinde oksijenli atmosferde ışıma sonrası  $R_f$  değeri N-oksit ile aynı olan bir başka leke oluşmaktadır. Aynı ışıma N-oksit türevinde tekrarlandığında ise  $R_f$  değerleri 0.98 ve 0.82 olan iki pembe leke izole edilmiştir ki bu N-S oksit oluşumunun varlığını göstermektedir. Azot atmosferinde ışıma deneyleri yapıldıktan sonra alınan kromatogramlarda ise sadece N-oksit ve N-S oksit tte  $R_f$  değeri 0.75 olan pembe bir başka leke oluşumu dışında diğer bulgular aynı kalmıştır.

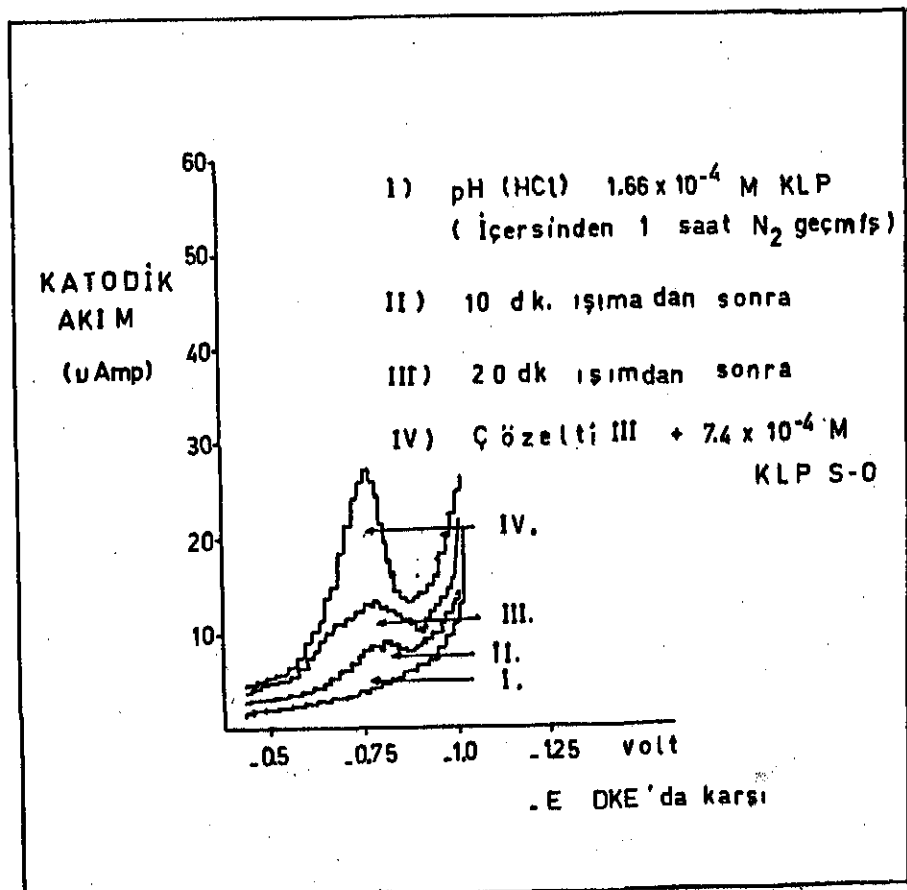
Ince tabaka kromatografik çalışmalar özetlenecek olursa klorpromazin fotooksidasyonu sonunda sülfoksit türev oluşumu oksijenli atmosferde ana mekanizmadır ve muhtemelen azot atmosferinde farklı oluşumlara yöneliktedir. Oksidasyon mekanizması sülfoksit oluşumuyla durmamakta ve daha ileri oluşumlara kaymaktadır. Ancak sülfon oluşumu yoktur. N oksit ve N-S oksit benzeri ancak bunlardan farklı bir fotoürün oluştuğu en uygun izah tarzıdır.

Klorpromazin ile yapılan ışıma deneyleri sonrasında izole edilen ikinci bir lekeye de degeinilmistiir.  $R_f$  değeri 0.50-0.55 olan bu lekenin ne olduğunu tanımlayabilmek için ileri çalışmalar gerekmektedir.

### 3.8.2. Puls polarografik analizler

pH'sı 1.5 olan ve  $1.66 \times 10^{-4}$  molar klorpromazin içeren çözeltilerden kaydedilen puls polarogramlarında ışıma süresince  $H_2O_2$  oluşumunu

gösteren indirgenme dalgasına rastlanmamıştır. Ün deneylerde de belirtildiği gibi (bölüm 2.1.8.)  $H_2O_2$  içeren çözeltilerde klorpromazin spontan oksidasyonla ortamdan tüketilmektedir. Ancak oksijen atmosferinde yirmi dakika ışıma gören çözeltilerden bir saat azot gazi geçirdikten sonra alınan polarogramlarda, pik potansiyeli referans kalemlerle elektroda karşı -0.80 volt olan indirgenme dalgası kaydedilmiştir. İnce tabaka kromatografik analiz sonuçlarıyla beraber yorumlanırsa, bu indirgenme dalgası sülfovksit türevinin varlığını göstermektedir. N-oksit ve N-S oksit türevlerinin de aynı pik potansiyelinde indirgendiği hatırlanacak olursa, direkt ayırıcı bir tanımlama yapılamaz. Örnek bir puls polarografik kayıt Şekil. 3.34 ile verilmektedir.



SEKİL 3.34. Ekleme ve ışıma ile oluşturulan klorpromazin oksit türevlerinin puls polarogramı

#### 4. SONUÇLARIN YORUMLANMASI

Deney sonuçlarının yorumuna geçmeden önce, degenilmesi gereken bir konu çözeltide bulunabilecek safsızlıklardır. Bütün deneylerde üç kere damıtılmış ve reçineden geçirilmiş demineralize su çözücü olarak kullanılmıştır. Bu suyun ölçülen iletkenliği  $1\mu\text{mho}$  nun altındadır. Damıtma işlemi hava atmosferi altında yapıldığına göre havadaki  $\text{CO}_2$  in suda çözünmesinden oluşan  $\text{H}^+$  ve  $\text{HCO}_3^-$  iyonlarından dolayı suyun en az  $0.7\mu\text{mho}$  luk iletkenliği vardır. Geri kalan  $0.3\mu\text{mho}$  mertebesindeki iletkenlik ise reçineden geçirilmesine rağmen suda kalan çok düşük kontrasyondaki ( $10^{-7}\text{ M}$ )  $\text{Na}^+$ ,  $\text{K}^+$ ,  $\text{Ca}^{++}$ ,  $\text{Mg}^{++}$ ,  $\text{Cl}^-$  ve  $\text{SO}_4^{=}$  gibi iyonlardan ileri gelebilir. Kullanılan madde ve çözüçülerden gelebilecek safsızlıklar ile birlikte bu eser mikardaki iyonların fotokimyasal olayları etkileyebileceği düşünülebilirse de ışıma deneylerinde tüketilen klorpromazin konsantrasyonu  $10^{-4} \sim 10^{-5}$  molar metebesinde olmaktadır. Bu nedenle iletkenliği  $1\mu\text{mho}$  yu geçmeyen suyun çözücü olarak kullanılması yapılabilecek hataları minimuma düşürmektedir.

Bir başka nokta da ölçümler süresince ortam homojenliğinin kontroludur. Işıma sistemleri (A) ve (B) ile yapılan (sayfa 105) ışıma deneylerinde kullanılan kuvars hücreler içersinden mikrokapiler yardımıyla hava veya azot gazı geçirilmiş ve/veya ölçümler öncesinde hücre içersine yerleştirilen mini magnetik karıştırıcılarından faydalanylmıştır.

İşıma süresince çözeltilerde izlenen sıcaklık artışı ise önemli bir diğer etkendir. Bölüm 2.2.1 de açıklandığı gibi kuvars hücrelerde sıcaklık kontrolu, kullanılan ışıma sistemleri içersinde oldukça zordur ancak yirmi dakikalık ışıma süresince tele-termometrik kayıtlarla

maksimum sıcaklık artışı  $+2,5^{\circ}\text{C}$  olarak tesbit edilmiştir (Şekil 3.16). Işıma öncesi çözelti başlangıç sıcaklığı her zaman  $23\text{--}25^{\circ}\text{C}$  arasında tutulduğu dikkate alınırsa, yapılan hata tüm deneylerde sabittir.

Fotokimyasal deneylerin yorumuna dönersek, klorpromazin yapısı seyreltik sulu çözeltilerde ve oksijen varlığında 366 nm dalga boyundaki ( $78 \text{ k cal/mol}$ ) yakın ultraviyole ışıma ile yükseltgenmektedir. Işık - katalize reaksiyonun bir foto - oksidasyon reaksiyonu olduğunu gösteren en iyi kanıt, elektro - oksidasyon voltamogramlarında pik akım değerlerinin ışıma süresince azalma göstergesidir. Şekil 3,26 da pH'sı 1.5 (HCl) olan çözeltilerde  $1,4 \times 10^{-4}\text{M}$  klorpromazinle ışıma süresince kaydedilmiş olan voltamogram örnekleri verilmektedir. Bu voltamogramlar üzerinden hesaplanan ışıma süresince klorpromazin tüketim hızı ( $r$  değerleri), absorpsiyon spektrumlarından  $1.0 < \text{pH} < 6.0$  için elde edilen  $r$  değerleri ile anlamlı olarak eşit bulunmuştur (sayfa 160). Işıma süresince  $r$  değerlerinin doğrusal artışı, foto-oksidasyon reaksiyonunun deneysel olarak klorpromazine göre sıfırıncı dereceden kinetikle yürüdüğünü göstermektedir ve bu bulgu, A.Felmeister'in deneySEL sonuçlarıyla da desteklenmektedir (60).

Yukarıda de濂ilen nötral ve zayıf asidik ortamlarda, foto-oksidasyon süresince moleküller oksijenin kullanıldığı ilk defa bu çalışmada normal polarografik analizler ile gösterilmiştir. 0 ile  $-1,3$  volt arasında (DKE'a karşı) ve  $0,5$  volt/dakika tarama hızında alınan çok sayıdaki polarogramların hepsinde oksijen tüketimi özellikle ışımaının ilk beş dakikasından sonra tesbit edilmiştir (Şekil 3.29). Puls polarografik kayıtlarda oksijen tüketimine paralel hidrojen peroksit oluşumu izlenmemiştir. Klorpromazik,  $\text{H}_2\text{O}_2$  ile spontan olarak yükseltgenebileceği için (EK II), bu sonuç doğaldır.

Oksijenli ve oksijensiz ortamlarda ışıma boyunca klorpromazin tüketim hızı ( $r$ . değerleri) ve 256 nm deki absorpsiyon bandı üzerinden hesaplanan kuvantal verim değerleri ( $\varphi_{256}$ ), Tablo 3.01 ve Tablo 3,02 ile asetonitril ve farklı pH daki sulu çözeltileri için verilmiştir. Asetonitril gibi susuz ortamlarda kuvantal verim çok düşük olup  $\varphi_{256} = 1,7 \times 10^{-2}$  değerinin altında iken sulu ve oksijenli ortamlarda  $\varphi_{256} = 0,111$  olan değerlere ulaşmaktadır. Teiki 1 waoka (92) klorpromazin kuvantal verimini ethanolde  $2,7 \times 10^{-3}$ , sulu çözeltilerde ise  $5,6 \times 10 \times 10^{-2}$  olarak bulmuştur (sayfa 51). Yukarıda verilen sonuçlar,  $n - II^*$  aktivasyonu ile klorpromazin foto-oksidasyonunda gerek moleküler oksijenin, gerke seçici  $H_2O$  nun mekanizmayı yöneten unsurlar olduğunu belirlemektedir. Nötral ve zayıf asidik çözeltilerinde yükseltgen bir madde ilavesine gerek kalmaksızın yapılan ışımalarla sülfovksit türev oluşumu incə tabaka kromatogramları ile kanıtlanmıştır (Tablo 3.11). Bu nedenle ortamda mevcut her üç yapının fotokimyasal özellikleri incelenecaktır.

Klorpromazin iyonizasyon enerjisi 7.38 ev (170.0 kkal/mol, sayfa 36) dur. 256 nm de ( $111,7$  kkal/mol)  $\pi - \pi^*$ , 310 nm de ( $92,3$  kkal/mol)  $n - II^*$  elektronik uyarılma bantları, 460 nm de ise ( $62$  kkal/mol) floresans bantı vardır. Sulu çözeltilerde 256 nm veya 350 nm de aktive edildiğinde yine 460 nm deki floresansı aynı bağıl şiddette (R.I) ölçülmektedir (Şekil 2.04). Son deiginilen aktivasyon dalga boyunda ilave olarak 350 nm de izlenen rezonans floresans, yapının en düşük uyarılmış singlet seviyesinin yaklaşık 80 kkal/mol olduğunu göstermektedir. Işıma deneylerinde kullandığımız 366 nm dalga boyu ( $78.03$  kkal/mol), yapının direkt aktivasyonu için yeterli olmaktadır.

Klorpromazin halka yapısında yer alan kükürt atomunun : elektron

yoğunluğu yüksek, "d" yörüngeleri ile moleküler orbitale katılan, bunedenlerle en düşük enerjili üst uyarılmış seviyeye sahip atom pozisyonunda olduğu, diğer çalışmalarında gösterilmiştir (50,61). Yan alkil zincir üzerinde yer alan kuvaterner azot atomu ve aromatik halka içerisindeki azot atomu, n elektronlarının bulunduğu ve elektron yoğunluğu fazla diğer odaklardır. Kükürt ve azot atomları intramoleküler ağır atom etkisi ile spin - orbital çiftleşmesini, yasaklanmış sistemler arası geçişleri arttırır. Klorpromazinin bilinen hiç bir fosforesansı yoktur.

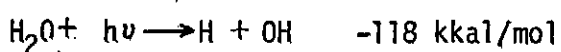
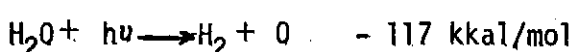
Çalışmada kullandığımız bütün klorpromazin oksit türevlerinin 385 nm dalga boyunda ( $\lambda_{akt} = 256$  veya 350 nm) floresansı vardır. (Şekil 2.05). Klorpromazin N-oksit, N-S oksit, S-oksit ve sulfon türevlerinde izlenen bu karakteristik floresans, ana yapının hem yan zincirdeki azot atomu hem de halkadaki kükürt atomu ile oksijen bağ yapısına katılmasıyla aynı ve 385 nm de floresans ışımı gösterdiğini belitmektedir. Yan alkil zincirdeki azot üzerinde bir oksijen bağının bulunması (N - oksit türevinde  $\lambda_{flo} = 385, 460$  nm) ana yapı floresansına paralel 385 nm de bir başka floresansın belirmesine neden olmaktadır (Şekil 2.05, 3.23 ve 3.24).

Temel enerji seviyesi triplet ve dolayısıyla paramagnetik bir molekül olan oksijenin spin - orbital çiftleşmesini artırdığı, özellikle  $n-\pi^*$  aktivasyonu ile  $S_0 + h\nu \longrightarrow T_1$  geçişlerini şiddetlendirdiği bilinen özellikleridir (7). Tablo 2.05. ile klorpromazin çözeltilerinde ışma deneyleri yapılmadan önce ölçülen bağılı floresans şiddet (R.I.) değerleri verilmiştir. 460 nm de ölçülen floresansı

( $\lambda$  akt= 350 nm) üzerine ortamındaki moleküller oksijenin anlamlı bir etkisi gözlenmemiştir. Ancak Şekil 3.17. de aynı çözeltilerde yakın ultraviyole ışına süresince ölçülen 460 ve 385 nm deki bağıll floresans şiddetinin (R.I.) ortam atmosferine bağımlı değişimleri verilmektedir. Azot akışı altında 385 nm de anlamlı bir floresans oluşum izlenemezken, ışınan ilk beş dakikasında 460 nm deki floresans hızla artmaktadır. Moleküller oksijen varlığında aynı artış ışınmanın yine ilk beş dakikası içerisinde yaklaşık üç defa azalmakta, bu karşı 385 nm deki floresans oluşum belirginleşmektedir. Ortamda mevcut moleküller oksijenin bir yanından 460 nm deki bağıll floresans şiddetlenmeyi azaltması, diğer tarafta 385 nm deki floresans oluşumu hızlandırması, yapının hem intermoleküller enerji aktarımına yardımcı olduğunu ve hem de oksit bağ yapısına girebileceğini göstermektedir.

Şimdi kısaca ortamda mevcut diğer iki yapının: su ve moleküller oksijenin, fotokimyasal özelliklerine değinelim.

200 nm altındaki ultraviyole ışınalar su moleküllerini tarafından önemli ölçüde absorplanır. Su buharının spektrumu devamlılık gösterir ve ilk bant 165 nm de oluşur.



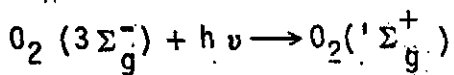
Her iki birincil reaksiyonlar için gereken enerji, ışma deneylerimizde ( 366 nm ışına ile) sağlanamaz. Bu nedenle suyun foto-oksidasyon mekanizması içerisinde farklı bir rolü olmalıdır. Işınmanın çözelti pH sına etkisi, bölüm 3.2. de çalışılmıştır. Genellikle nötral çözeltilerde ışınmanın ilk on dakikası içerisinde pHının düşüğü (Şekil 3.15), takip eden süre içerisinde de sabit kaldığı görülmüştür. Bu bulgu,

özellikle literatürde verilen ve kimyasal oksidasyon sonrasında su ile birleşerek hidrolize uğraması sonunda proton saliverildiğini gösteren çalışmaları destekler mahiyettedir (sayfa 37).

Yaptığımız diğer deneysel çalışmalar ve özellikle elektrokimyasal sonuçlar yukarıda verilen görüşe karşı çıkmaktadır. Elektro-oksidasyon voltamogramlarında klorpromazin çözelti pH'sı azaldıkça, kaydedilen pik potansiyellerinin daha katodik potansiyellere (negatif değerlere) kaydığı görülmüştür (Şekil 2.07 ve 2.08). Örneğin, pH=6.5 de pik potansiyel +0.91, pH=1.5 de +0,67, pH ~ 0.08 de ise + 0.40 ve + 0.90 volt (DKE'a karşı) olmak üzere iki oksidasyon dalgası kaydedilmiştir. Bu değerler, ortam asitliğinin arttıkça yapının foto-oksidasyonunun da kolaylaşacağını göstermektedir. Bu nedenle ışınma süresince nötral çözeltilerde izlenen asitleşmeyi izah edebilmek için kabul ettigimiz bir yol,  $pK_a$  değeri 9,3 olan (56,57,58) klorpromazinin PH < 6.0 değerlerinde iyonize olmamış (non iyonize) şekilde bulunması ve kullanılan hidroklorür tuzunun yan alkil zincir üzerindeki kuvaterner azot atomuna bağlı protonunu kaybetmesi şeklinde olmaktadır. Daha öncede tartışıldığı gibi bu kuvaterner azot atomu ile halkadaki kükürt atomu oksit oluşumuna en musait merkezler olmaktadır.

Moleküler oksijenin bilinen enerji seviyeleri ise şu şekilde dir:

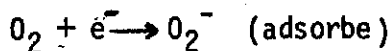
759- 765 ve 687-692 nm dalga boylarında yasaklanmış olan "Fraunhofer geçişleri" aşağıda verilmektedir:



Ayrıca 245.4 nm de "Herzberg bantı", 175,9 - 195.0 nm ler arasında "Schuman Runge" absorpsiyon bantları vardır.

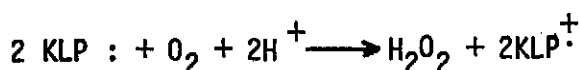
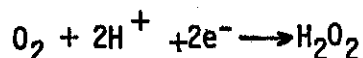
En düşük dissosiyasyon enerjisi 220 kkal/mol dur. Fraunhofer yasaklanmış geçişleri dışında diğer reaksiyonlar için yeterli enerji 366 nm deki ışınmalarla elde edilemez.

Daha ileri tartışmalara geçmeden önce bir diğer çalışmada ileri sürülen (95) görüşü de tekrarlamak yerinde olur. Bu çalışmaya göre 310-400 nm ler arasında yapılan ışına deneylerinde çözeltide mevcut moleküler oksijen, ortamda mevcut sensitizör organik yapı üzerine adsorbe olabilmektedir. Aşağıda verilen bu reaksiyon için gereken enerji ise sadece 15 kkal/mol mertebesindedir:



Klorpromazinin çeşitli yöntemlerle çalışılan oksidasyon reaksiyonlarında da ara geçiş kompleksleri oluşturduğu görüşleri (sayfa 36, 39, 48) vardır. Moleküler oksijenle elektron aktarımına katılan bu çeşit bir ara oluşumdan geçtiği görüşü düşünülmelidir (ileride önerilen mekanizma içersinde de  $S_1$  geçiş kompleksi olarak tartışılacaktır).

Nötral ve zayıf asidik klorpromazin çözeltilerinde, özellikle oksijen varlığında sülfovksit türev oluşumuna yönelen mekanizmayı harekete getiren birinci olaylar arasında en önemlisinin Ek II ile detayı verilmiş olan aşağıdaki redoks reaksiyonu olduğu düşünülmektedir.



pH = 1,5 için yukarıda verilen reaksiyon serbest enerji değeri takriben 81 kilo kalori olarak hesaplanmıştır.

Klorpromazin triplet enerji seviyesi (480 nm) 60 kkal/mol olarak literatürde verilmektedir (92,93). Yukarıda verilen reaksiyonun gerçekleşebilmesi için iki uyarılmış klorpromazin molekülünün çarpışma yoluyla enerji aktarımına girerek oksijen molekülüne elektronlarını vermesi gereklidir. 366 nm deki yakın ultraviyole ışına ile klorpromazin moleküllerine reaksiyon için yeterli enerji kazandırılmaktadır.

Yapılan ışına deneyleri ile uyarılan  $n - \pi^*$  geçişleri sonrasında izlenen reaksiyonlar ve ara kademeleri aşağıda verilen klorpromazin foto-oksidasyon şemasında özetlenmiştir. Deneyel bulgular, canlılan dört ayrı ortam için sırasıyla: A)  $1,0 \leq pH < 6,0$  ve moleküler oksijen varlığında, B)  $pH < 1,0$  ve moleküler oksijen varlığında , C)  $pH < 1,0$  ve azot akısı altında, D)  $1,0 \leq pH \leq 6,0$  ve azot akısı altın-daki ortamlar için, önerilen mekanizma üzerinden tartışılacaktır.

KLP : - Klorpromazin molekülü (temel enerji seviyesinde)

KLP : \* - İlk uyarılmış singlet klorpromazin

KLP : t - Triplet klorpromazin

KLPSO - Klorpromazin Sülfoksit

KLPSO - Klorpromazin N- oksit

KLPSO-SO - Klorpromazin N-S-oksit

KLPSO - Klorpromazin Sulfon

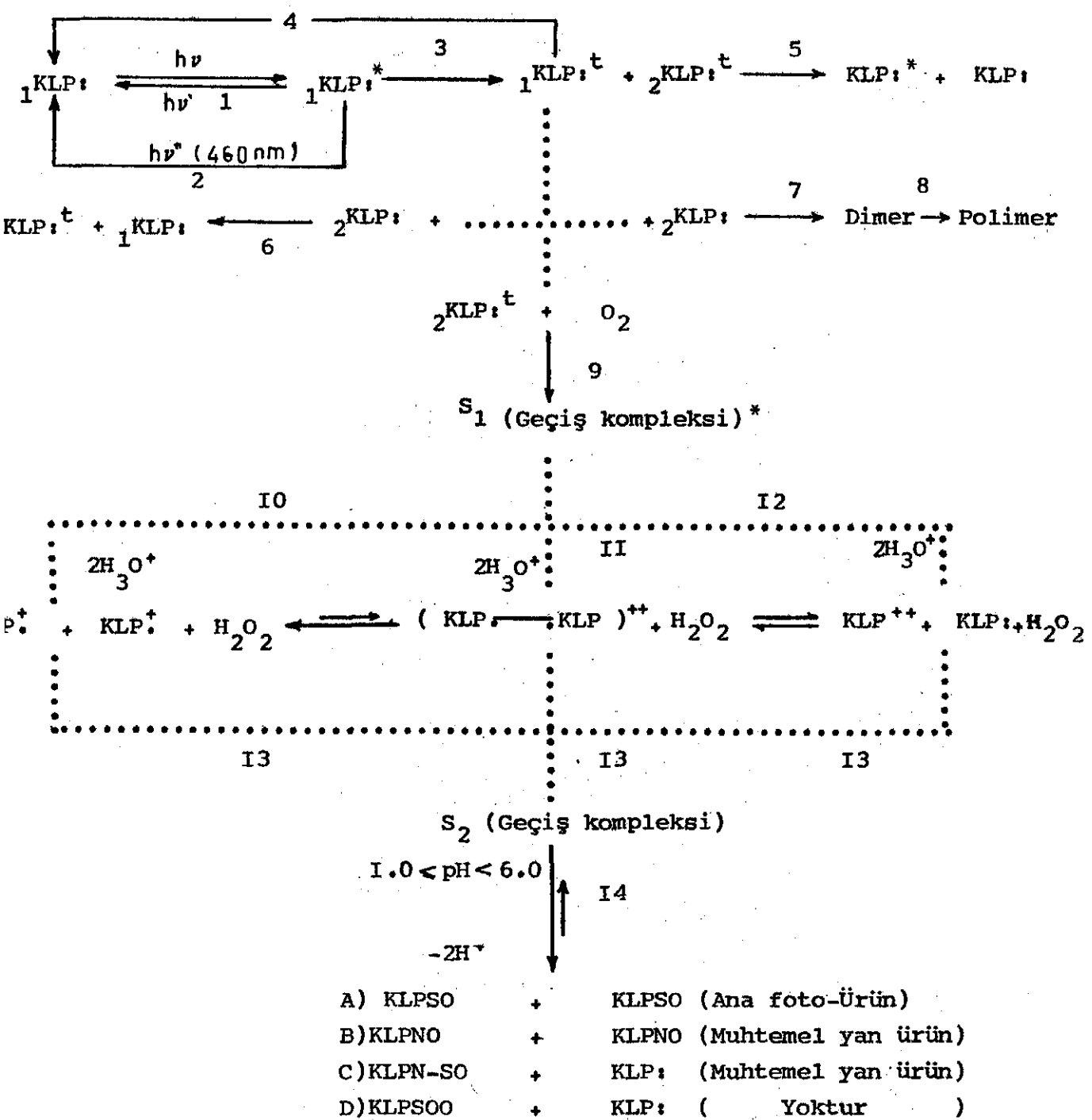
KLP+ - Klorpromazin semikinon radikali

KLP++ - Klorpromazin fenazotionyum iyonu

(KLP+—KLP) ++ - Klorpromazin dikatyon radikal

S<sub>1</sub> ve S<sub>2</sub> - Geçiş kompleksi

KLORPROMAZİN FOTO-OKSİDASYON MEKANİZMASI



Klorpromazin yapısının tüm çözeltilerde 366 nm dalga boyunda ışık absorplaması ile ilerleyen mekanizma içersinde :

(1) rezonans floresans ( $350 \sim 366$  nm),  
(2) normal floresans (460 nm) göstererek,  
(3) sistemler arası geçişle klorpromazin triplet enerji seviyelerini yoğunlaştırdığından ve bu son değinilen geçişin moleküller oksijen varlığında hızlandırdığından bahsedilmiştir. Triplet enerji seviyelerinden molekülün temel singlet seviyelerine sönmü de 4 nolu okla verilmiştir. Işımasız sönm hizi çözeltilerde fosforesan yoluyla sönm hızlarından çok daha büyütür. Triplet enerji seviyelerinden organik moleküllerde izlenen unimoleküler veya bimoleküler difüzyon kontrollü sönmeler özellikle çözelti ortamlarında önem kazanır. 5 no.lu reaksiyonla triplet-triplet yok edilme (annihilation) reaksiyonu verilmektedir. Çözelti içersindeki difüzyon kabiliyeti ile moleküller çarpışmayı gerektiren yok edilme reaksiyonu sonunda bir molekül üst uyarılmış, diğeri ise temel enerji seviyelerine sıçrarlar.

Diger bir olasılıkta uyarılmış tripletlerin, temel enerji seviyesindeki klorpromazin molekülleri ile çarpışmasıdır (6 ve 7 nolu reaksiyonlarla verilmektedir). Azot atmosferi altında veya yüksek madde konsantrasyonlarında 6 nolu reaksiyonla verilen enerji aktarımı ve takibeden sönm ile 7 nolu reaksiyonla verilen uyarılmış dimer oluşumlarının olasılığı artmaktadır.

A)  $1,0 \leq pH < 6,0$  ve moleküller oksijen varlığında.

Nötral ve zayıf asidik klorpromazin çözeltilerinde uyarılmış triplet molekülerinin 9 nolu reaksiyonla  $S_1$  geçiş kompleksi, ara radikalik oluşumlar ve  $S_2$  geçiş kompleksi yoluyla ana ürün sülfoksit oluşumuna yürüdüğü düşünülmektedir.

İnce tabaka kromatogramlarında ışıma sonrası sülfovksit lekesi izole edildi ise de (Tablo 3.11), bu ana ürün dışında N-oksit veya N-S oksit lekesi tesbit edilememiştir. Son iki oksit türevinde muhtemel yan ürünler olabileceği ileride tartışılacaktır. Sulfon oluşumu yoktur (sayfa 150-151) ve kromatografik hiç bir kanıt da bulunamamıştır.

$S_1$  ile gösterilmiş olan geçiş kompleksi, muhtemel redoks reaksiyonu içersinde moleküler oksijen ile triplet klorpromazin molekülü arasında çarpışma anındaoluştugu düşünülen bir uyarılmış haldir. Sayfa 28 de verilen Schenck mekanizmasında da oksijen varlığında izlenen foto duyarlıdırma yoluyla oksidasyon mekanizmalarının hepsinde böyle bir uyarılmış biradikal ara oluşum düşünülmüştür. Bu oluşumu kanıtlayacak deneysel verilerimiz yoktur. Moleküler oksijenin  $S_1$  gibi geçiş kompleksi içersinde organik yapıya adsorbe olarak elektron aktarımına sebeb olduğu da kabul edilebilir.

Ana yapıdan tek bir elektronun kopması halinde semikinon radikal oluşumu izleneceği ve bu radikalın asidik ortamlarda özellikle kararlı kaldığını belirtmiştik. Aromatik halka içersindeki II elektronlarida etkilenerek kinoid yapıya geçmesi ile görünür spektral bölgede absorbansın artlığı (530 ve 275 nm) bu çalışmada da gösterilmiştir. Nötral ve zayıf asidik klorpromazin çözeltilerinde ışıma süresince 530 nm de absorbans gösteren semikinon radikal oluşumu pH = 1,5 için Şekil 3.01 de, pH = 5,25 için Şekil 3.02 de verilmektedir.

Ünerilen redoks reaksiyonu içersinde de foto aktivasyon sonrası semikinon oluşumu kabul edilmekte ve  $H_2O_2$  nin spontan olarak oksidasyona katıldığı (Ek 11) belirtilmekte idi.

II nolu reaksiyonla dikatyon radikal, 12 nolu reaksiyonla da fenazotionyum iyon oluşumu görülebilir ama nötral ve zayıf asidik ortamlarda çok aktif olan bu yapılar daha kararlı semikarbon radikaline dönüşürler (kuvvetli asidik ortamda çalışmalarla desteklenen bir görür) veya muhtemelen oksit sentezine katılırlar. Bu radikalik ara yapıların varlığı ise ancak kuvvetli asidik ortamda yapılan spektral çalışmalarla ve elektro-oksidasyon voltamogramları ile gösterilebilir (Şekil 3.03, 3.04 ve 3.05 gibi).

İnce tabaka kromatografik analizlerde (Şekil 3.32 ve Tablo 3.11) Rf değeri 0.92 olan klorpromazin, yirmi dakika ışınma sonrasında Rf değeri 0.64 olan pembe sülfovksit lekesi ( $\lambda_{\text{mak}} = 240, 275, 298, 342 \text{ nm}$ ) vermektedir. Işınma süresince elektronik absorbansı 256 nm den  $242 \pm 3 \text{ nm}'ye$ , 310 nm den  $350 \pm 5 \text{ nm}$  ye kayarken (Şekil 3.01 ve 3.02), 275 nm ve 300 nm deki absorpsiyon bantları belirginleşir. Ancak ışınma sonrasında 400 nm de maksimum veren absorpsiyon bandının yükselmesine paralel çözeltinin sarı renk kazanması, yukarıda verilen oksit oluşumu ile açıklanamaz.

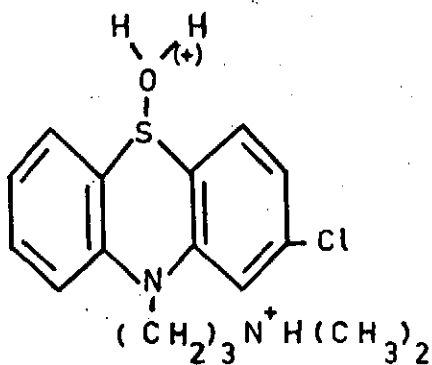
400 nm de absorbans gösteren yapının kromatografik tanımı da yapılamamıştır. Bazı ışınma deneylerinde sülfovksit lekesi dışında, Rf değere 0.55 olan tanimsız bir leke belirmiştir. Ancak tüm oksit standartları ile yapılan ışınma deneylerinde, aynı absorbans artışı 400 nm de izlenmişse de (Şekil 3.13 ve 3.14), kromatografik leke izole edilememiştir.

Klorpromazin N-S oksit ve sulfon standartlarıyla yapılan ışınma deneyleri sonrasında kromatogramlarda aynı Rf değerlerinin sabit kalması (Şekil 3.33. - sütun 3, 4, 7, 8), buna karşın N-oksit standarı ile

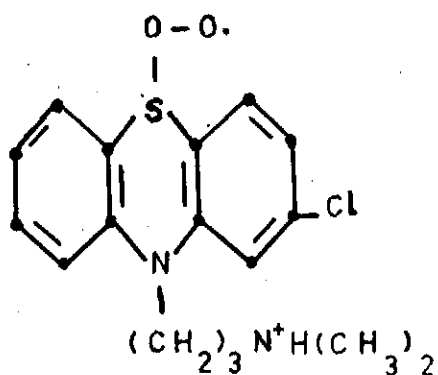
ışınma sonrası Rf değerleri 0,82 ve 0,98 olan N-S oksit benzeri leke-lerin ve S-oksit standarı ile ışınma sonrası Rf değeri 0,98 olan N-oksit benzeri lekenin belirmesi (Şekil 3.33.- sütun 1,2,5,6) tüm tek oksit bağları arasında müsterek bir oluşum varlığını göstermektedir o şekilde ki bu yapı özellikle kükürt ve azot bağlarını yönetici ve sınırlayıcı etkiler gösterebilisin. Bu yapı mekanizmamız içersinde  $S_2$  geçiş kompleksi olarak düşünülmüştür.

400 nm de absorbans gösterdiği düşünülen bu ara yapının 13 nolu reaksiyonlarla radikalik yapılar üzerinden veya direkt olarak  $S_1$  geçiş kompleksi üzerinden olduğu ve 14 nolu reaksiyonla oksit oluşumuna katıldığı kabul edilmektedir. İleri sürülen mekanizma içersinde  $S_2$  geçiş kompleksi olarak ifade ettiğimiz yapının ne olabileceği sorusuna, literatürde teklif edilen benzeri ara yapıları inceleyerek bir yaklaşım yapabilmek kabildir.

A. Felmeister (60), sülfovksit oluşumu öncesi bu ürüne dönüşüm için aşağıdaki yapıyı önermektedir:



T. Iwaoka (93), flash fotolitik çalışmalarında 370 nm de absorbans gösteren yapının peroksil radikali olabileğini önermektedir (Sayfa 53):



Bizim görüşümüze göre yukarıda verilen ara yapılar arasına dihidroksil (sayfa 40) ve endoperoksil yapıları da dahil edilebilir ancak tüm bu yapılar için bir kanıt bulunamamıştır.

$S_2$  geçiş kompleksinin varlığını düşündüren bazı deneyel bulgular şunlardır. Klorpromazin ve oksit türevleriyle yapılan ışımalarda 400 nm de belirgin absorbans, azot akısı altında yapılan ışıma deneylerinde (Şekil 3.07, Tablo 3.03) görülmez. Klorpromazin içeren çözelti pH'sı azaldıkça 400 nm deki spektral bant oluşumu da azalır (Şekil 3.11). Kuvvetli asidik çözeltilerde ( $\text{pH} < 1.0$ ) sülfoksit oluşumu yoktur (Tablo 3.11 ve Şekil 3.31).

B) pH < 1.0 ve moleküler oksijen varlığında

Klorpromazin, kuvvetli asidik çözeltilerinde yapılan foto-oksidasyonla kırmızı, gül kurusu renge döner ve ışılma sonrasında 4 saat bekletildikten sonra kaydedilen absorpsiyon spektrumlarında, semikinon radikalı ( $\lambda_{\text{mak}} = 530$  ve 275 nm) kararlı kalmaktadır (Şekil 3.06). Işılmadan bir saat sonra  $\text{pH} \approx 0,08$  ( $\text{H}_2\text{SO}_4$ ) çözeltilerinden kaydedilen ESR spektrumunda (Şekil 3.30 - C),  $g = 2,0036$  değerinde serbest radikal mevcudiyeti gösterilmiştir.

Elektro-oksidasyon voltamogramlarında ön deneysel çalışmalar (Şekil 2.07), 12 N  $H_2SO_4$  çözeltilerinde + 0.40 ve + 0.90 volt olmak üzere iki pik vermektedir. Sayfa 89 da önerilen elektro-oksidasyon mekanizmasının ışıma hemen yerinle de izlenmesi mümkündür.  $H_2SO_4$  çözeltilerinin pH < 1.0 de elektron afinitesi artmaktadır ve yapıdan elektron koparılması kolaylaşmaktadır. Sayfa 117 de verilen dikatyon radikal veya fenazotiyum iyon oluşumları, ışıma süresince spektral olarak izlenebilmektedir.

Şekil 3.03 de pH = 0,7 ( $H_2SO_4$ ), Şekil 3.04 de pH = 0,25 (HCl) ve Şekil 3.05 de ise pH = 0,08 ( $H_2SO_4$ ) çözeltilerinden ışıma süresince kaydedilen absorpsiyon spektrumları verilmektedir. 565 nm ve 275 nm deki bantların ışımıyla beraber izlenmesi ve ışımı sonrasında 530 nm ye kayması bu aktif ara oluşumların daha kararlı semikionon radikaline dönüştüğünü göstermektedir. T. Iwaoka'nın nötral çözeltilerde flash fotolitik ışımalarla izlediği 575 nm deki spektral bantta yukarıdaki görüşü desteklemektedir (93). İlk defa bu çalışmada flash fotoliz yapılmadan fenazotiyum iyonuna veya dikatyon radikale ait olabilecek 565 nm deki spektral oluşum, kuvvetli asidik çözeltiler de çalışılarak gösterilmiş olmaktadır.

Tablo 3.02 ile ışıma süresince r değerlerinin (klorpromazinin tüketilen fraksiyonu) değişimi verilmektedir ve Şekil 3.10 dan da görüleceği gibi pH azaldıkça özellikle ışımmanın ilk sekiz dakikasından sonra r değerleri farklı eğimle ve pH = 0,08 olan çözeltilerde sabit kalacak şekilde değişmektedir. Elektro-oksidasyon voltamogramlarında da (Şekil 3.28) ışımmanın ilk dakikaları dışında belirgin pik akım azalması izlenemez. Yukarıda verilen bulgular kuvvetli asidik

ortamda ışıma ile ulaşılan belirli bir radikalik denge sonucu klorpromazinin yükseltgenemediğini göstermektedir. Işıma sonrası ise aynı denge sadece kararlı semikinon radikalı ve klorpromazin molekülleri arasındadır.

Şekil 3.20 .ve 3.21 ile verilen ışıma süresince floresans değişiklikler, bu radikalik yapıların 460 nm deki başlangıç floresansını söndürerek, 385 nm de floresansı şiddetlendirdiğini belirtir. Yapının kükürt veya yan zincirdeki azot atomu üzerinden elektron kaybettiğini gösteren örnek çalışmalardır.

C) pH < 1.0 ve azot akısı altında

Azot akısı altında yaptığımız çalışmalarda bir önemli noktanın ifade edilmesi gerekmektedir. Mutlak oksijensiz ortam temini imkansız olduğundan yapılan ışıma deneylerinde arzu edilen amaç, oksijen mevcudiyetindeki fotokimyasal reaksiyonları kısmen önleyerek varsa farklı etkilerini araştırabilmektedir.

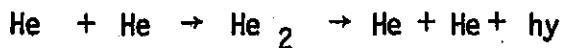
pH < 1.0 olan azot akısı altındaki klorpromazin çözeltilerinden benzeri foto-oksidasyon reaksiyonları, aynı radikal oluşumlar ve spektral davranışlar izlenmiştir (Şekil 3.08, Tablo 3.01, 3.02, 3.03, 3.11). Ancak klorpromazinin 460 nm deki floresansının daha yavaş sönmesi (Şekil 3.20- A ve 3.21 - B) muhtemelen oksijensiz ortamda izlenen ışık-katalize reaksiyonlarının daha yavaşladığını gösterebilir. Kuvvetli asidik çözeltilerde oksijen varlığının sistemler arası geçisi hızlandırıcı etkisi dışında mekanizma içersinde önemi kalmamaktadır. Çözeltide mevcut  $H_2O_2$  veya kuvvetli proton etkisi elektronları mobilize edebilir.

D)  $1.0 < \text{pH} < 6.0$  ve azot akısı altında

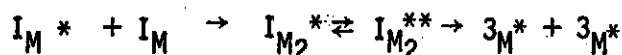
Sürekli azot akısı altında küvars hücre içersinde yapılan ışıma deneylerinde çözelti renksiz kalmaktadır. Işıma süresince kaydedilen absorpsiyon spektrumlarında, 400 nm deki absorbans artışı veya 530 nm deki bandı ile karakterize semikinon radikal oluşumuna rastlanmıştır (Şekil 3.07). Ancak 256 nm ve 310 nm deki bantlarda ışıma süresince değişim vardır. 256 nm deki spektral bandından hesaplanın  $r$  değerleri (Tablo 3.02) ve  $\varphi_{256}$  değerleri (Tablo 3.01), yapının azot akısı altında da tüketildiğini belirlemektedir.

İnce tabaka kromatografik analizlerde genellikle ışıma sonrası oksit oluşumu izole edilmemiştir (Tablo 3.11). Ancak ince tabaka plakasına ışıma sonrası alınan örneklerin zaman kaybedilerek noktalaması, ve bazı deneysel hatalar pozitif sülfovksit lekelerinin belirmesine neden olmuştur. İnce tabaka kromatogramlarında  $R_f$  değeri 0,3, 0,21 ve 0,07 olan üç farklı leke izole edilmiştir. Son iki leke dışında  $R_f$  değeri 0,3 olan nokta oldukça belirgindir. G.L. Huang ve F.L. Sands tarafından azot atmosferinde yapılan ışımalarda (40,91), polimer ve dimer oluşumlarının ana mekanizma olduğu ileri sürülmektedir (sayfa 49,50). Kromatografik çalışmalarla standart çözeltileri olmaksızın ileri ispatı yapılamamıştır.

Klorpromazin foto-oksidasyon mekanizmasına tekrar dönersek, azot akısı altında 9 nolu reaksiyon yavaşlayacak ve uyarılmış molekülün triplet enerji seviyesinden 5,6,7 ve 8 nolu sönümler hızlanacaktır. Stevens (120) uyarılmış ve uyarılmamış soy gaz atomlarının çarpışmalarıyla dimer oluşturduğunu göstermiştir.



Benzeri bir çalışmada Colpa (121), uyarılmış seviyedeki molekül ile temel seviyedeki molekül birleşmesi ile uyarılmış dimer oluşabilliğini belirtmiştir.



$I_M^*$  = uyarılmış singlet

$I_M$  = temel seviye

$I_{M_2}^{**}$  = uyarılmış singlet dimer

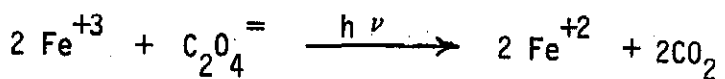
$3_M^*$  = triplet seviye

Klorpromazinin normal kimyasal oksidasyon reaksiyonları içersinde artan konsantrasyonla dimer ve polimer oluşturabildiğine de literatür özetlerinde değinmişistik (65,69,91). Işık katalize polimer reaksiyonlar organik yapılar da örneği görülen ilginç reaksiyonlar olmasına rağmen çalışılması güçtür. Klorpromazinin mutlak oksijensiz ortamda veya susuz organik çözücüler de çalışılması araştırmaya açık konularıdır.

EK I

Işık şiddetinin ölçülmesi.

Işık şiddetinin ölçülmesi için potasyum ferri okzalat aktinometresinden faydalandı. Oluşan net fotokimyasal reaksiyon aşağıdaki gibidir.



Işıma sonrası oluşan Fe (II) miktarı, o-fenontrolin ile vermiş olduğu kompleksin 510 nm de spektrofotometrik bandından ölçülerek hesaplandı. Bu yöntemin diğer ışık ölçüm yöntemlerine ve aktinometrelere göre bazı avantajları vardır ve kısaca şöyle sıralayabiliriz.

- 1) Kullanılması kolay ve hızlıdır.
- 2) Kuantum verimi kesin olarak bilinmektedir.
- 3) Görünür bölge spektrumunda ve yakın ultraviyole bölgede kullanılabilir.

Deneylerde kullanılan çözeltiler:

- 1) Suda hazırlanmış ağırlıkça % 0.2 lik 1.10 fenantrolin.
- 2) Tüp Tampon çözelti :
  - a. 49.43 g susuz sodyum asetat.
  - b. 10 ml. derişik  $\text{H}_2\text{SO}_4$ .
  - c. Su ile litreye tamamlanır.

3) Fe(III) sülfat çözeltisi,  $\text{Fe}_2(\text{SO}_4)_3$

- a. 100 g  $\text{Fe}_2(\text{SO}_4)_3 \times \text{H}_2\text{O}$  (yaklaşık % 80  $\text{Fe}_2(\text{SO}_4)_3$ )
- b. 5.5 ml derişik  $\text{H}_2\text{SO}_4$
- c. Su ile 1 litreye tamamlanır.

4) Standart 0.1 M EDTA

5) Standart 1.2 M  $\text{K}_2\text{C}_2\text{O}_4$

6) 0.1 M  $\text{H}_2\text{SO}_4$  içinde 0.08 M  $\text{FeSO}_4$  çözeltisi

7) Standart 0.1 M potasyum kromat çözeltisi.

8) Derişik sülfirik asit içersinde % 1 lik difenilamin.

Ferro-fenantrolin kompleksinin molar absorptivitesinin hesabı:

Bunun için önce Fe(II) çözeltisi ayarlandı. Ayar için, 0.1 M  $\text{H}_2\text{SO}_4$  içersinde 0.08 M potasyum kromat çözeltisi ile titre edildi. Renk dönümünü görebilmek için birkaç damla difenilamin indikatörü ilave edildi. 0.08 M konsantrasyondan  $4 \times 10^{-4}$  M konsantrasyona seyreltilen  $\text{FeSO}_4$  çözeltisinden 0.1, 3, 5, 7 ve 9 ml balon jojelere aktarılarak üzerine 2 ml indikatör, 6 ml tampon çözelti ve kalan hacim kadar su ilaveleri yapıldı. Ferro-fenantrolin kompleksi oluşması için karanlıkta bir saat beklenildikten sonra 510 nm deki absorbans değerleri, boş numuneye karşı ölçüldü. Bu deneyler sonunda,  $\epsilon = 1.11 \times 10^4$  değeri bulundu ki bu değer Hachard ve Parker'in (II2) değerlerine eşittir.

#### Aktinometre çözeltisinin hazırlanması:

Bunun için 0.2 N  $\text{Fe}_2(\text{SO}_4)_3$  çözeltisi 0.1 M EDTA ile titre edildi.

Titrasyonda 0.2 g salisilik asitin 100 ml suda hazırlanmış olan çözeltisi indikatör olarak kullanıldı.  $\text{pH} \sim 3$  tamponlu ortamda çalışıldı. Yaklaşık olarak 1.2 M olarak hazırlanan  $\text{K}_3\text{C}_2\text{O}_4$  çözeltisinde ayarlandıktan sonra deneyle-re geçildi. Ayarlı Fe(III) ve  $\text{C}_2\text{O}_4^{2-}$  çözeltilerinden 5'er ml 100 ml lik balon pojeye aktarılarak potasyum ferri okzalat çözeltileri hazırlandı ancak Fe(III) den Fe(II) oluşmasını önleyebilmek için çok zayıf kırmızı ışık altında çalışıldı.

#### İşik şiddetinin ölçülmesi:

Bunun için hazırlanmış olan  $\text{K}_3\text{Fe}(\text{C}_2\text{O}_4)_3$  çözeltisinden kuvars ışma hücrebine, fotokimyasal deneylerde kullanılan hacim kadar (3 ml) alındı. Işıma deneylerinde uygulanan şartlar tekrarlanarak değişik sürelerde ışıma yapıldı. Bu çözeltiden alınan 1 ml üzerine 2 ml indikatör ve 0.5 ml/tampon eklenerek 25 ml'ye su ile tamamlandı. Ayrıca ışıma yapılmamış çözeltilerden boş numunelerde hazırlandı. Karanlıkta bir saat ferro-fenantrolin kompleksinin oluşması beklenildikten sonra, 510 nm de absorbans ölçümleri yapıldı.

Yukarıda anlatılan deneyler sonucunda ışık şiddeti aşağıdaki formüle göre hesaplandı (118) :

$$I \text{ (Einstein/saniye)} = \frac{A \cdot V_2 \cdot V_3}{\epsilon \cdot \Phi \cdot t \cdot V_1}$$

A : Işıklanmış aktinometre çözeltisinin absorpsiyonundan boş numunenin absorpsyonunun çıkarılmasından elde edilen değer.

$V_1$  : Işıklanmış aktinometre çözeltisinden çekilen hacim.

$V_2$  : Işıklanmış aktinometre çözeltisinin hacmi.

$V_3$  : Işıklanmış aktinometre çözeltisinden çekilen hacim.

Tampon ve indikatör çözeltileriyle karıştırılarak su ile belli oranda seyreltildiği balonjajenin hacmi.

$\epsilon$  : Ferro-fenantrolin kompleksinin 510nm deki molar absorptivitesi ( $1.11 \times 10^4$ ).

$\Phi$  : Kullanılan ışiktaki oluşan ürünün kuvantum verimi.

t : Işıklanırma süresi (saniye).

Yapılan deneylerde

$$V_1 = 1 \text{ ml.}$$

$$V_2 = 2 \text{ ml.}$$

$$V_3 = 25 \text{ ml}$$

$$\Phi = 1.21 (118)$$

$$\epsilon = 1.11 \times 10^4 \quad (118) \text{ değerleri değiştirilmedi.}$$

<u>t (dakika)</u>	<u>ABSORBANS Okunan</u>	<u>Hesaplamada kullanılan</u>	<u>I (Einstein/dk)×10<sup>7</sup></u>
0	0.0147	-	-
2	0.0822	0.0675	1.256
3	0.1413	0.1266	1.571
4	0.2194	0.2047	1.705
5	0.2236	0.2089	1.555
6	0.2863	0.2716	1.685
8	0.3723	0.3576	1.664
9	0.3938	0.3791	1.568
10	0.4234	0.4087	1.522

Ortalama Işık Sıddeti       $I = (1.565 \pm 0.142) \times 10^{-7}$  Einstein/dakika  
 $I = (2.609 \pm 0.236) \times 10^{-9}$  Einstein/saniye  
 $I = (1.572 \pm 0.143) \times 10^{15}$  Foton/saniye dir.

3660 Angstrom dalga boyunda 1.0 Joule/saniye =  $1.83 \times 10^{18}$  Foton/saniye

olduğuna göre ışık kaynağının ışma sistemleri içerisindeki ışık gücü:

$$= \frac{1.572 \times 10^{15} \text{ foton/saniye}}{1.83 \times 10^{18} \text{ foton/saniye}} \times 1.0 \text{ Joule/saniye}$$

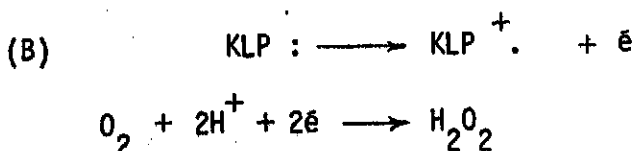
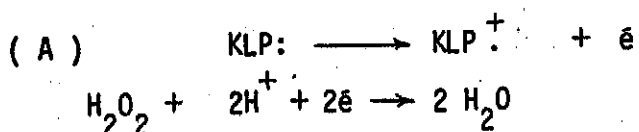
$$= 0.000859 \text{ joule/saniye} = 0.000859 \text{ watt}$$

$$= 859 \text{ mikrowatt dir.}$$

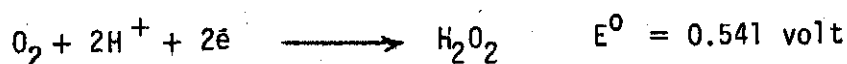
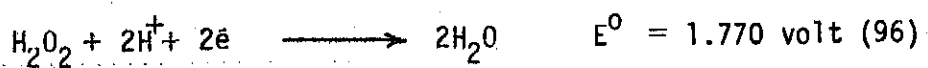
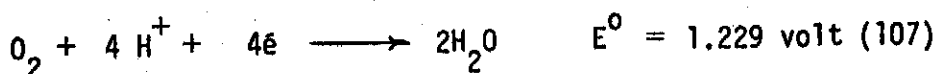
EK II

Redoks Reaksiyonun Serbest Enerjisinin Hesaplanması

Redoks Reaksiyonlar:



Bu reaksiyonlar için  $E^\circ$  standart potansiyelleri normal hidrojen elektroduna karşı, literatürde sırası ile -0.863 volt (88), 1.77 volt (96), ve -0.541 volt (107) olarak verilmektedir. Moleküler oksijenin indirgenmesi için verilen son değer aşağıdaki reaksiyonlardan da hesaplanabilir:



Once (A) grubu redoks reaksiyonlar için yarı hücre potansiyellerini hesaplayabilmek için ( $25^\circ\text{C}$  da):

$$E_I = E_I^\circ - \frac{0.059}{2} \cdot \log \frac{[\text{KLP}^+]}{[\text{KLP}^{\cdot}]^2}$$

$$E_2 = E_2^\circ - \frac{0.059}{2} \cdot \log I / [\text{H}_2\text{O}_2][\text{H}^+]^2$$

Hücre potansiyeli, bunların toplamına eşittir:

$$E_A = E_1 + E_2 = E_1^\circ + E_2^\circ - 0.059 \text{ pH} - 0.0295 \log \frac{[\text{KLP}^+]}{[\text{KLP}^{\cdot}]^2 [\text{H}_2\text{O}_2]^2}$$

$$E_A = -0.863 + 1.770 - 0.059 \text{ pH} - 0.0295 \log \frac{[KLP^+]^2}{[KLP :]^2 [H_2O_2]}$$

pH = 1.5 için ve yaklaşık olarak ;

$$[KLP :] = 10^{-3} M$$

$$[KLP^+] = 10^{-6} M$$

$$[H_2O_2] = 10^{-6} M \text{ kabul edilirse eşitlikteki}$$

son terim sıfır olur.

$$E_A = -0.863 + 1.770 - 0.0885 = 0.8185 \text{ volt bulunur.}$$

Redoks reaksiyonunun serbest enerjisi ( $\Delta G$ ) aşağıdaki formül gereğince hesaplanırsa:

$$\begin{aligned}\Delta G_A &= -n.F. E_A = -(2). (96500). (0.8185) = -157.970 \text{ Joule} \\ &= -37.5 \text{ Kkal.}\end{aligned}$$

(A) grubu redoks reaksiyonları spontandır.

Aynı formüller kullanılarak (B) grubu redoks reaksiyonları için geçerli hücre potansiyeli  $E_B$  şu şekilde ifade edilebilir:

$$\begin{aligned}E_B &= E_I + E_3 \\ &= E_I^0 + E_3^0 - 0.059 \text{ pH} - 0.0295 \log \frac{[KLP^+]^2 [H_2O_2]}{[KLP :]^2 [O_2]}\end{aligned}$$

pH = 1.5 için ve yaklaşık olarak ;

$$[\text{KLP :}] = 10^{-3} \text{M}$$

$$[\text{KLP}^+] = 10^{-6} \text{M}$$

$$[\text{O}_2] = 10^{-3} \text{M}$$

$$[\text{H}_2\text{O}_2] = 10^{-6} \text{M} \text{ kabul edilirse eşitlikten}$$

$$E_B = -0.863 - 0.541 - 0.059 \times (1.5) - 0.2655 = -1.765 \text{ volt}$$

olarak bulunur. Redoks reaksiyonu spontan değildir ve 81 Kkal. enerjiye ihtiyaç gösterir.

$$\Delta G_B = -nF.E_B = -(2). (96500). (-1.765) = +339.294 \text{ Joule}$$
$$= +81 \text{ Kkal.}$$

EK III

$(1 - \alpha) \cdot n_a$  Değerlerinin Hesaplanması

Oksidasyon voltamogramları üzerinden aşağıda verilen formül gereğince tatbik potansiyeli E'nin,  $\log (i_{\text{pik}} - i) / i$  değerine karşı değişimi grafiklenerek eğiminden  $(1 - \alpha) \cdot n_a$  değeri hesaplanabilir.

$$E = E_{1/2} + \frac{R.T}{(I-\alpha).n_a.F} \ln \frac{i_{\text{pik}} - i}{i}$$

Formül açıklaması için sayfa 82'ye bakınız.

(A) pH = 1.5 (HCl) çözeltisinde  $1.4 \times 10^{-3}$  molar klorpromazin ile ve 1 volt/dakika tarama hızında kaydedilen voltamogramlar üzerinden yapılan hesaplamalar:

$$E_{\text{pik}} = +0.67 \text{ volt DKE'da karşı}$$

$$i_{\text{pik}} = 38.0 \mu\text{amp.dir.}$$

Tatbik Potansiyeli $E = y$	Ölçülen akım $i$ ( $\mu$ Amp)	Akım ifadesi $x = \log(i_{\text{pik}} - i)/i$	$x^2$
$y$	$y^2$		
+0.55	0.3025	5.0	0.672
+0.58	0.3364	11.0	0.152
+0.59	0.3481	15.0	0.034
+0.60	0.3600	19.0	0.000
+0.61	0.3721	24.0	0.055
+0.62	0.3844	28.5	0.228
+0.64	0.4096	33.5	0.760
+0.65	0.4225	36.0	1.576

$$\Sigma x = -1.443 \quad \Sigma y = 4.84 \quad \Sigma x.y = -1.026$$

$$\Sigma x^2 = 3.476 \quad \Sigma y^2 = 2.94$$

$$\bar{x} = 1.443/8 = -0.180 \quad \bar{y} = 4.84/8 = 0.605$$

$$\Sigma x.y = \frac{\Sigma x \cdot \Sigma y}{N}$$

$$\begin{aligned} \text{Korelasyon doğrusunun eğimi, } b &= \frac{\Sigma x \cdot \Sigma y}{N} \\ &= \frac{\Sigma x^2 - (\Sigma x)^2}{N} \\ &= \frac{-0.15289}{3.21613} = -0.0475 \end{aligned}$$

$$\text{Korelasyon doğrusu : } \bar{y} = 0.605 - 0.0475 (\bar{x} + 0.180)$$

$$\text{Korelasyon katsayıısı: } r^2 = (0.15289)^2 / 3.21613 \times 0.0074 = 0.98$$

$$r = 0.989 \quad (\text{bak sayfa 109})$$

Doğrunun eğimi,  $b = R.T / (1 - \alpha) \cdot n_a \cdot F = 0.0475$

Dolayısıyla :  $(1 - \alpha) \cdot n_a = 0.059 / 0.0475 = 1.25$  olarak bulunur.

(B)  $pH = 1.5$  (HCl) çözeltisinde  $7.3 \times 10^{-4}$  molar klorpromazinle ve yine 1 volt/dakika tarama hızında kaydedilen voltamogramlar üzerinden yapılan hesaplamalar. Kullanılan formüller aynıdır.

$E_{pik} = + 0.67$  volt DKE'da karşı

$i_{pik} = 20.5$  Amp.

Tatbik Potansiyeli $E = y$	Üçülen akım $i$ ( $\mu$ Amp)	Akım ifadesi $x = \log(i_{pik} - i) / i$	$x^2$
+ 0.55	0.3025	2.5	0.734
+ 0.56	0.3136	4.0	0.378
+ 0.58	0.3364	7.0	0.080
+ 0.60	0.3600	11.5	0.010
+ 0.63	0.3969	17.5	0.590
+ 0.65	0.4225	19.5	1.660

$$\Sigma x = -0.405 \quad \Sigma y = 3.57 \quad \Sigma x.y = -0.40$$

$$\Sigma x^2 = 3.452 \quad \Sigma y^2 = 2.13$$

$$\bar{x} = -0.405/6 = -0.0675 \quad \bar{y} = 3.57/6 = 0.595$$

$$\text{Korelasyon doğrusunun eğimi} = \frac{-0.159}{3.424} = -0.0464$$

$$\text{Korelasyon doğrusu : } \bar{y} = 0.595 - 0.0464 (\bar{x} + 0.0675)$$

Korelasyon katsayıısı:  $r = 0.99$

Dolayısıyla:  $(1-\alpha) \cdot n_a = 0.059/0.0464 = 1.27$  olarak bulunur.

(C)  $\text{pH} = 0.08$  ( $\text{H}_2\text{SO}_4$ ) çözeltisinde  $1.4 \times 10^{-3}$  molar klorpromazin ile ve 1 volt/dakika tarama hızıyla alınan voltamogramları üzerinden hesaplandı.

$(E_{\text{pik}})_1 = +0.40$  volt ve  $(E_{\text{pik}})_2 = +0.90$  volt DKE'da karşı

$(i_{\text{pik}})_1 = 22.5 \mu\text{Amp.}$  ve  $(i_{\text{pik}})_2 = 22.0 \mu\text{Amp.}$

Tatbik Potansiyeli      Ölçülen akım      Akım ifadesi

$E = y$	$i$	$x = \log(i_{\text{pik}} - i)/i$	$x^2$
$y$	$y^2$	$(\mu\text{Amp})$	
+ 0.37	0.137	20.0	- 0.903
+ 0.35	0.122	15.5	- 0.345
+ 0.36	0.129	17.2	- 0.517
+ 0.34	0.116	12.2	- 0.077
+ 0.33	0.109	9.2	0.156
+ 0.32	0.102	6.0	0.439
+ 0.31	0.096	4.0	0.665
+ 0.30	0.090	2.0	1.011

$$\Sigma x = 0.429 \quad \Sigma y = 2.680 \quad \Sigma x.y = 0.034$$

$$\Sigma x^2 = 2.888 \quad \Sigma y^2 = 0.902$$

$$\bar{x} = 0.429/8 = 0.054 \quad \bar{y} = 2.680/8 = 0.335$$

Korelasyon doğrusunun eğimi,  $b = -0.1097/2.8649 = -0.038$

Korelasyon doğrusu :  $\bar{y} = 0.335 - 0.038(\bar{x} - 0.054)$

Korelasyon katsayıısı :  $r^2 = (0.1097)^2 / 2.8649 \times 0.0042 = 1.00$

$$r = 1.00$$

Tatbik potansiyel      Ölçülen akım      Akım ifadesi

$E = y$	$y^2$	i ( $\mu$ Amp)	$x = \log(i_{\text{pik}} - i) / i$	$x^2$
+ 0.78	0.6084	1.75	1.060	1.1236
+ 0.80	0.6400	3.25	0.760	0.5776
+ 0.81	0.6561	4.75	0.560	0.3136
+ 0.82	0.6724	6.75	0.350	0.1225
+ 0.83	0.6889	8.75	0.180	0.0324
+ 0.84	0.7056	11.25	- 0.020	0.0004
+ 0.85	0.7225	13.75	- 0.220	0.0484
+ 0.86	0.7396	15.50	- 0.400	0.1600
+ 0.87	0.7569	18.25	- 0.687	0.4719
+ 0.88	0.7744	20.75	- 1.220	1.4884

$$\Sigma x = 0.363 \quad \Sigma y = 8.34 \quad \Sigma x.y = 0.1057$$

$$\Sigma x^2 = 4.3389 \quad \Sigma y^2 = 6.965$$

$$\bar{x} = 0.363/10 = 0.0363, \bar{y} = 8.34/10 = 0.834$$

Korelasyon doğrusunun eğimi,  $b = -0.197 / 4.3257 = -0.0456$

Korelasyon doğrusu :  $\bar{y} = 0.834 - 0.0456 (\bar{x} - 0.363)$

Korelasyon katsayıısı:  $r^2 = (-0.197)^2 / 4.3257 \times 0.0456 = 1.05$

$$r = 1.02$$

Yukarıdaki sonuçlara göre :

$$[(1-\alpha).n_a] 1.\text{pik} = 0.059/0.038 = 1.55$$

$$[(1-\alpha).n_a] 2.\text{pik} = 0.059/0.0456 = 1.29$$

olarak bulunur.

EK IV

Farklı Tarama Hızlarında Elektro-Oksidatif Pik Akım Değerleri

(A) pH = 1.5 (HCl) çözeltisinde  $1.4 \times 10^{-3}$  molar klorpromazin ile ve farklı tarama hızlarında kaydedilen voltamogramlar üzerinden hesaplanmıştır.

Her değer en az üç deneysel okum ortalamasıdır.

$E_{\text{pik}} = + 0.67$  volt, DKE'da karşı:

$(dE/dt)$	$i_{\text{pik}}$	$i_{\text{pik}} \cdot (dE/dt)^{-1/2}$
0.05 Volt/dk.	22.0 $\mu$ Amp.	93.39 $\mu$ Amp. $(\text{dak/volt})^{1/2}$
0.10 "	25.0 "	79.06 "
0.20 "	30.5 "	68.20 "
0.50 "	33.0 "	46.66 "
1.00 "	38.0 "	38.00 "
2.00 "	47.8 "	33.80 "

(B) pH = 0.08 ( $H_2SO_4$ ) çözeltisinde  $1.4 \times 10^{-3}$  molar klorpromazin ile ve farklı tarama hızlarında kaydedilen voltamogramlar üzerinden hesaplanmıştır.

Her değer en az üç deneysel okuma ortalamasıdır.

$[E_{\text{pik}}]_1 = + 0.40$  volt, DKE'da karşı,

$[E_{\text{pik}}]_2 = + 0.90$  volt, DKE'da karşı:

$(dE/dt)$	$i_{\text{pik}}$		$i_{\text{pik}} \cdot (dE/dt)^{-1/2}$	
	(1.)Pik	(2) pik	(1)	(2)
0.20 volt/dk	10.25	10.00	22.90	22.40
0.50 "	16.00	15.75	22.50	22.00
1.00 "	22.50	22.00	22.50	22.00
2.00 "	24.5	28.00	22.20	19.80

EK V

Klorpromazin Konsantrasyonuna karşı Elektro-oksidatif Pik Akım Değerleri-nin Kalibrasyonu.

Kısmen tersinmez elektro oksidasyon reaksiyonları için geçerli formül üzerinden (bak sayfa 84 , formül 2), sabit tarama hızında (1 volt/dk) ve farklı konsantrasyondaki klorpromazin çözeltileriyle pH =1.5 daki kalibrasyon için gerekli pik akım değerleri hesaplanmıştır. Her değer en az beş okum ortalamasıdır.

$E_{pik} = +0.67$  volt, DKE'da karşı bulunan pik akım değerleri aşağıda verilmiştir.

Pik Akım $y = i_{pik}$ ( $\mu$ Amp)		Klorpromazin Konsantrasyonu $x = C \times 10^4$ (molar)		
<u>y</u>	<u><math>y^2</math></u>	<u>x</u>	<u><math>x^2</math></u>	<u>x.y</u>
39.00 ± 1.00	1521.00	14.00	196.00	546.00
20.40 ± 0.75	416.16	7.30	53.29	148.92
11.80 ± 0.52	139.24	4.00	16.00	47.20
6.25 ± 0.50	39.06	2.00	4.00	12.50
5.55 ± 0.40	30.80	1.77	3.13	9.82
4.40 ± 0.40	19.36	1.40	1.96	6.16
3.30 ± 0.30	10.89	1.00	1.00	3.30
2.15 ± 0.25	4.62	0.59	0.35	1.27
0.73 ± 0.45	0.53	0.14	0.02	0.10

$$\Sigma y = 93.58$$

$$\Sigma x = 32.20$$

$$\Sigma x.y = 775.27$$

$$\Sigma y^2 = 2181.67$$

$$\Sigma x^2 = 275.75$$

$$\bar{y} = 93.58 / 9 = 10.40 \quad \bar{x} = 32.20 / 9 = 3.58$$

Korelasyon doğrusunun eğimi ,  $b = 440.46 / 160.55 = 2.74$

Korelasyon doğrusu :  $\bar{y} = 10.40 + 2.74 \cdot (\bar{x} - 3.58)$

Korelasyon Katsayısı:  $r^2 = (440.46)^2 / 160.55 \times 1208.65 = 1.0002$

$r = 1.000$

EK VI

Ultraviyole ve görünür bölge spektroskopik çalışmalarda elde edilen  $r$  değerleri arasındaki korelasyon doğrusu ile elektrooksidasyon voltamogramlarından elde edilen  $r$  değerleri arasındaki korelasyon doğrusunun "Student'in t testi" ile eğimler arasındaki farkın önem kontrolü.

İki doğrusal eşitliğin eğimleri arasındaki farkın önem kontrolüne bölüm 2.3. de değinilmiş ve kullanılan formül ile parametrelerin anımları verilmiştir. Formüller tekrar verilecek olursa:

$$\text{Formül (1)} \quad t = \frac{b - b'}{s_{xy} \cdot \left( \frac{1}{SS_x} + \frac{1}{SS_{x'}} \right)^{1/2}}$$

$$\text{Formül (2)} \quad s_{xy}^2 = \left( \frac{1}{N-2} \right) \left( \sum y^2 - \frac{\left( \sum y \right)^2}{N} \right) - b \left[ \sum xy - \frac{\sum x \cdot \sum y}{N} \right]$$

$$\text{Formül (3)} \quad SS_x = \sum x^2 - \frac{\left( \sum x \right)^2}{N}$$

$b$  ve  $b'$  değerleri, verilen doğruların eğimlerini ifade etmektedir.

$$\text{Doğru (1)} \quad r = 0.663 + 0.0313 (t - 9.25)$$

$r$  = İşime süresince tüketilen klorpromazin fraksiyonunu ifade etmektedir.

$t$  = İşime süresi, dakika olarak.

Yukarıdaki eşitlik, ultraviyole ve görünür bölge spektrumlarından, pH'sı 1.5 ile 5.5 değerleri arasında değişen klorpromazin çözeltileri için verilmektedir. Doğrulu bulmada kullanılan istatistiksel parametreler şunlardır.

$$\Sigma y = \Sigma r = 7.822 \quad \Sigma x = \Sigma t = 111$$

$$N = 12$$

$$\Sigma y^2 = \Sigma r^2 = 5.490 \quad \Sigma x^2 = \Sigma t^2 = 1587$$

$$\Sigma x.y = \Sigma r.t = 85.55$$

Doğru (2)  $r = 0.654 + 0.04437 (t - 10.76)$

Yukarıda verilen korelasyon doğrusu ise elektro-oksidasyon voltamogramları ile yapılan deneyler sonrasında bulunmuştur. Bu doğruya bulmada kullanılan istatistiksel değerler ise aşağıda verilmektedir.

$$\Sigma y = 24.87 \quad \Sigma x = 409.0$$

$$N = 38 \quad \Sigma y^2 = 19.3177 \quad \Sigma x^2 = 5690.5$$

$$\Sigma x.y = 324.845$$

Formül (2)'de doğru (2) için verilen değerler yerine koymak

$s_{xy}$  değeri bulunur:

$$s_{xy}^2 = \frac{1}{36} (19.31 - \frac{(24.87)^2}{38} - 0.04437 [324.84 - \frac{409 \times 24.87}{38}]) \\ = 0.014 \text{ ve } s_{xy} = 0.1184 \text{ olur.}$$

Formül (3) kullanılarak her iki doğrunun  $SS_x$  değerleri hesaplanır:

$$(SS_x) \text{ doğru 1} = 1587 - \frac{(111)^2}{12} = 560.25$$
$$(SS_x) \text{ doğru 2} = 5690 - \frac{(409)^2}{38} = 1288.37$$

Tüm değerler formül (1)'de yerine konularak tablolardan anlamı karşılaştırılan t değeri hesaplanır :

$$t = \frac{0.04437 - 0.03130}{0.1184 \times (1/1288.37 + 1/560.25)^{1/2}} = 2.18$$

Toplam serbestlik derecesi olarak  $N - 2 + N' - 2$  sütununa tablolardan bakıldığındaysa, S.D. = 46 için ve  $t = 2.18$  olduğunda  $P < 0.01$  olacak şekilde, eğriler arasındaki eğim farkı önemsiz bulunmuştur.

FAYDALANILAN KAYNAKLAR

1. Somer,G., "Photochemistry of concentrated solutions of methylene blue",  
Orta Doğu Teknik Üniversitesi Analitik Kimya Doktara Tezi(1970)
2. Calvert, J.G., Pitts, J.N.Jr., "Photochemistry", John Wiley, New York  
(1966)
3. Ellis, C.,Wells, A.A., "The Chemical Action of Ultraviolet Rays",  
Reinhold, New York (1941)
4. Cimician, G., Science, 36, 385 (1912)
5. Noyes, W.A.,Porter, G.Jr.,Jolley, J.E., Chem. Rev.56, 49 (1956)
6. Borell, P., Ann. Reports.Chem. Soc. (London), 60, 62 (1963)
7. Turro,N.J., "Molecular Photochemistry", W.A.Benjamin, Inc., New York  
(1967)
8. Glasstone, S., Lewis, D., "Elements of Physical Chemistry", MacMillan  
Co.Ltd. London, Inc (1968)
9. Neckers. D.C., "Mechanistic Organic Chemistry",  
Reinhold Book Co., New York (1967)
10. Robinson, G.W., Frosch, U.R.P.,J.Chem. Phys., 38, 1187 (1963)
11. Castellan, W.G., "Physical Chemistry" Addison Wesley Pub. Comp.,Inc (1964)
12. Hammond, G.S., Saltiel, J.,J. Amer.Chem.Soc., 84, 4983 (1962)
- b13. Hammond, G.S.,Lui, R.s, ibid., 85, 477 (1963)
14. Schenck, G.O. , Steinmetz, R., Tetrahedron Letter, 21, 1 (1960)
15. Schenck, G.O., Wolgast, R.,Naturwissenschaften, 49, 36 (1962)

16. Schenck, G.O., Z.Electrochemie, 64, 997 (1960)
17. Foote, C.S., Wexler, S.J. Amer.Chem.Soc. 86, 3879 (1964)
18. Corey, J.E., Taylor, W.J., ibid., 86, 3880 (1964)
19. Goodman, L.S., Gilman, A., "The Pharmacological Basis of Therapeutics", Fifth edt., MacMillan Pub.Co., Inc (1970)
20. Gordon, M., "Medical Chemistry", Vol. 4-11, Academic Press, New York (1967)
21. Sakurai, J., Nakahara, T.Takahashi, R. , Pyschopharmacologia, 44, 195(1975)
22. Coccia, P.F., Westekfeld, W.W. , J.Pharmacol, Exp.Ther., 157, 446 (1967)
23. Beckette,A.H.,Hewick, D.S.,J.Pharm. Pharmacol., 19, 134 (1967)
24. Grant, F.W., Green, J., Toxicology and App. Pharmacol., 23, 71 (1972)
25. Schwank, R., Jirasek, L., Cesk. Dermatol., 36, 4 (1961)
26. Knox. J.M., Ann. Allergy, 16, 749 (1961)
27. Hayes, G.B., Lyle, J.B.Jr., Wheeler, C.E., Arch. Dermatol., 90, 471 (1964)
28. Zelickson, A.S.,Zeller, H.C., J.Amer.Med.Assoc. , 188 , 394 (1964)
29. Ban, T.A., Lehman, H.E., Can.Psychiat. Assoc.J., 10, 112 (1965)
30. Zelickson, A.S.,J.Amer.Med. Assoc., 194 , 670 (1965)
31. Satanove,A.,Ibid. , 191 , 263 (1965)
32. Greiner, A.C., Nicolson, G.A., Can.Med.Assoc.J., 91, 627 (1964)
33. Perry, T.C., Culling,C.F.A ., Berry,K.,Hansen, S. , Science,146, 81 (1964)
34. Feldman, P.E.,Frierman, B.D.,Amer.J.Psychiat.,121, 187 (1964)
35. Tridici, L.M.,Schiele, BC.McClanahan, W.S.,Minn. Med., 48, 569 (1965)
36. Brill,H., Schiele, H.G. Delong, S.L.,Amer.J.Psychiatr., 122, 326 (1965)
37. Massey, L.W.C., Can.Med.Assoc. J., 92, 186 (1965)
38. Ellis, P.P., Arch. Ophthalmol., 74, 96 (1965)

38. Ellis, P.P., Arch. Ophthalmol., 74, 96 (1965)
39. Huang, C.L., Sands, F.L., J. Chromatog., 13, 246 (1964)
40. Huang, C.L., Sands, F.L., J.Pharm. Sci., 56, 259 (1967)
41. Mercier, M.J. Dumont, P.A., J.Pharm. Pharmacol., 24, 706 (1972)
42. Feimeister, A., Schaubman, R., J.Pharm. Sci., 58, 1232 (1969)
43. Johnson, B.E., Proc. R.Soc.Med., 67, 871 (1974)
44. Koizumi, M., Obata, H., Hayashi, S., Bull. Chem.Soc.(Japan), 37, 108(1964)
45. Usui, Y., ibid. , 38, 206 (1965)
46. Keizumi, M., Usui, Y., Mol. Photochem., 4, 57 (1972)
47. Somer, G., Green, M.E., Photochem. Photobiol., 17, 179 (1973)
48. Falkenberg, G., Ringertz, H., Acta Crystallogr., 23, IIII(1967)
49. Mc.Dowell, J.J.H., ibid., 25, 2175 (1969)
50. Gordon, M., Craig, P.N., Zirkle, C.L., Adv. Chem., series no 45, 140 (1964)
51. Joyce, J.K., Inter.J.Quantum Chem., 6 , 319 (1972)
52. Kier, L.B., J.Theor. Biol., 40, 211 (1973) w
53. Simov.D., Kamenov, L., Stojanov, S., Proc.Conf.Appl.Phys. Chem. 2 nd., 387 (1971)
54. Osol, A., Pratt, R. "The United States Dispensatory", 27 th.edt., Lippincott Com., Philadelphia (1973)
55. Karl, T., Eberhard, V., Pharm. Ztg., 119, 159 (1974)
56. Beckett, A.H., Essien, E.E., Franklin, S.W., J.Pharm. Pharmacol., 26, 339(1974)

57. Sorby, D.L., Plein, E.M., Benjaman, J.D., J.Pharm.Sci., 55, 787 (1966)
58. Marshall, P.B., Br. J.Pharmac. Chemother., 10, 270 (1955)
59. Bishop, E., "Indicators", Pergamon Press, New York (1972)
60. Felmeister, A., Disher, A.C., J.Pharmaceu. Sci., 53, 756 (1964)
61. Orloff, M.K., Fitts, D.D., Biochim.Biophys. Acta, 47, 529 (1961)
62. Billon, J.P., Cauquis, G., Combrisson, J., Compt.Rend., 253, 1593 (1961)
63. Gutmanns, F., Netschey, A., Nature, 191, 1390 (1961)
64. Sorby, D.L., Plein, E.M., J.Pharm. Sci., 50, 355 (1961)
65. Borg, D.C., Cotzias, G.C., Proc.Natl.Acad.Sci., 48, 623 (1962)
66. Cavnaugh, D.J., Science, 125, 1040 (1957)
67. Clark, W.M., "Oxidation-reduction Potentials of Organic Systems", Williams-Wilkins Com., Baltimore (1960)
68. Bernard, G., Karczmar, A.G., Int.J.Neuropharmacol., 2, 95 (1963)
69. Martin, H.F., Price, S., Gudzinowicz, B.J., Arch. Biochem. Biophys., 103, 196 (1963)
70. Forrest, I.S., Piette, L.H., Proc. Metting coll. Inter. Neuro-psychopharmacol., 3rd. Munich 1962, 397 (pub. 1964)
71. Ragland, J.B., Kinross-Wright, J.V., Anal.Chem., 36, 1356 (1964)
72. Merkle, F.H., Disher, C.A., Anal.Chem., 36, 1639 (1964)
73. Mellinger, T.J., Keeler, C.E., ibid., 36, 1840 (1964)
74. Mellinger, T.J., Mellinger, M.E., Smith, W.T., International J. Neuropsychiatry, I, 466 (1965)

75. Ragland, J.B., Kinross-Wright, J.V., Ragland, R.S., Anal.Biochem.,  
12, 60 (1965)
76. Sorby,D.L., Plein, E.M., Benjaman, J.D., J.Pharmceut.Sci., 55, 785 (1965)
77. Warren, R.J., Eisdorfer, W.E., Thomson, W.E., Zarembo, J.E., ibid.,55,144 (1965)
78. Blazek, J., Kracmar,J. Pinkasova,M., Agressologie, 9,69 (1968)
79. Fales, H.F., Milne, G.W.A., Law.C.N., Arch.Mass Spec. Data, 2, 692 (1971)
80. Fulton,A.,Lyons, L.E., Aust.J.Chem., 21, 873 (1968)
81. Wallace, J.E., Biggs, J.D., J.Pharmaceu.Sci., 60, 1346 (1971)
82. Pungor, E., Feher, Z., Nagy, G., Proc. Conf. Appl. Phys. Chem. 2.nd.,I  
435 (1971)
83. Dumontier, A.G., Patriarche, G.J., Z.Anal.Chem., 246, 153 (1973)
84. Michaelis,,L., J.Biol. Chem., 96, 703 (1932)
85. Michaelis, L., Chem. Rev., 16, 243 (1965)
86. Borg, D.C., Cotzias, G.C., Proc.Natl.Acad.Sci., 48, 643 (1962)
87. Michaelis, L.,Schubert, M.P.,Granick, S., J.Amer. Chem.Soc., 62,  
204 (1940)
88. Borg.D.C,Cotzias G.c,Proc.Natl.Acad.Sci. 48,617 (1962)
89. Forrest, I.S.,Forrest, F.M.,Berger, M., Biochim, Biophys. Acta,29  
441 (1958)
90. Langerantz, C., Psychopharmacol. Serv.Center, Bullet., 2,53 (1962)
91. Huang, L.C., ibid., 2, 54 (1962)
92. Iwaoka, T., Kondo, M., Bulletin Chem. Soc.Japan, 47, 980 (1974)

93. Iwaoka, T., Kokubun, H., Koizumi, M., Bulletin Chem.Soc.Japan. 44, 341(1971)
94. White, V.R., Christopher, S.F., Villafranca, J.E., Fitzgerald, J.M., W  
Anal.Chem., 48, 1314 (1976)
95. Leighton, P.A., "Photochemistry of air pollution ", Academic Press, New York  
(1961)
96. Temizer, A., "Derişik Tiyonin Çözeltisinin Fotokimyası",  
Hacettepe Üniversitesi Kimya (Ecz.)prog.Doktora Tezi (1976)
97. Calvert, J.G. Theurer, K., Rankin, G.T. Macnevin, M.W.,  
J.Amer.Chem.Soc., 76, 2575 (1954)
98. Goldstein, A., "Biostatistics and Introductory text", MacMillan Co.,  
New York (1964)
99. Kirchner, J.G. , " Technique of Organic Chemistry, Vol XII. Thin Layer  
Chromatography", 2nd. edt., Academic Press, New York (1968)
100. Randerath, K., "Thin Layer Chromatography", 2nd. edt., Academic Press,  
New York (1968)
101. Aminco-Bowman Spectrophotofluorometre "Luminescence data sheet- No:2392-AIA"
102. Porter, G.S., J.Pharm. Pharmacol., 16, 24 (1964)
103. Porter, G.S. Beresford, J., ibid. 18, 223 (1966)
104. Blaedel, J.W. , Jenkins, A.R., Anal.Chem., 47, 1337 (1975)
105. Leager, L. , Salkind.W., "Techniques of Electrochemistry",  
Vol I,II, Wiley Intersci., New York (1972)
106. Delahay, P., "New Instrumental Methods in Electrochemistry", John  
Wiley, New York (1954)

107. Galen Ewing, W., "Instrumental Methods of Chemical Analysis";  
3rd. edt., McGraw-Hill Book Com., New, York (1969)
108. Heyrovsky, J., "Practical Polarography ", Academic Press, New York (1968)
109. Grow, D.R., Westwood, J.V., "Polarography", Methuen Ltd.,London (1968)
110. Zuman, P., Kolthoff,I.M., "Progress in Polarography", vol II., Academic  
Sci., New York (1963)
111. Schmidt, H.Stackelberg, M.V., "Modern Polarographic Methods",  
Academic Sci., New York (1963)
112. Parker, C.A., Proc.Rey.Sec. (London), A220, 104 (1953)
113. Parker, C.A., Hatchard, G.C., ibid., A235, 518 (1956)
114. Cooper, D.G., DeGraff, B.A., J.Phys. Chem., 75, 19 (1971)
115. Kurien, K.C. , J.Chem.Soc., (B), 2081 (1971)
116. Wegner, E.E., Adamson, W.A. , J.Ann.Chem. Soc., 88, 394 (1966)
117. Discher, C.A. Smith, P.F.Lipmann, I., Turse, R., J.Phys.Chem.,  
67, 2501 (1963)
118. Murov, S.L., "Handbook of Photochemistry", Marcel Deccer Inc.,  
New York (1973)
119. Porter, G., Wright, M.R., Diss. Farad.Soc., 27, 18 (1957)
120. Stevens,B., Nature,192 , 725 (1961)
121. Colpa,J.P., 5.Avrupa Moleküler Spektroskopi Kongresi,  
Amsterdam (1961)